

รายงานวิจัยฉบับสมบูรณ์

การศึกษาฤทธิ์ระงับปวดของสารสกัดหอมแดง

โดย

นางสาวนุตติยา วีระวันชัยและคณะ

ธันวาคม 2557



รายงานวิจัยฉบับสมบูรณ์

การศึกษาฤทธิ์ระงับปวดของสารสกัดหอมแดง

(The Study of Analgesic Activity of the Extract from *Allium ascalonicum*)

คณะผู้วิจัย

นางสาวนุตติยา วีระวันชัย คณะเภสัชศาสตร์ มหาวิทยาลัยอุบลราชธานี
นางสาวระวิวรรณ แก้วอมดวงค์ คณะเภสัชศาสตร์ มหาวิทยาลัยอุบลราชธานี

โครงการวิจัยนี้ได้รับทุนอุดหนุนการวิจัยจากสำนักงบประมาณแผ่นดิน

ประจำปีงบประมาณ 2554 และ 2555

(ความเห็นในรายงานนี้เป็นของผู้วิจัย ม.อ.บ. ไม่จำเป็นต้องเห็นด้วยเสมอไป)

กิตติกรรมประกาศ

ในโครงการวิจัยเรื่อง การศึกษาถือรังับป้าดของสารสกัดหอมแดงนี้ คณะผู้วิจัยขอขอบคุณบุคลา
และหน่วยงานต่อไปนี้ที่มีส่วนร่วมให้ความช่วยเหลือ จนโครงการวิจัยสามารถสำเร็จลุล่วงได้

ขอขอบพระคุณ ศาสตราจารย์ ดร. บังอร ศรีพานิชกุลชัย ห้องปฏิบัติการศูนย์วิจัยและพัฒนา^{ผลิตภัณฑ์สุขภาพจากสมุนไพรและคณะเภสัชศาสตร์ มหาวิทยาลัยขอนแก่น} ซึ่งให้ความช่วยเหลืออย่างดียิ่งและ^{กรุณาให้คำแนะนำและข้อคิดเห็นต่าง ๆ ของการวิจัย}

ขอขอบพระคุณ ผู้ช่วยศาสตราจารย์ ดร.ชิตินันท์ ประสิทธิ์ภูริปรีชา คณบดี คณะเภสัชศาสตร์^{มหาวิทยาลัยอุบลราชธานีที่อนุญาตให้คณะผู้วิจัยได้ใช้เครื่องมือ สถานที่และอุปกรณ์ต่างๆ ในการทำวิจัย}

ขอขอบคุณเจ้าหน้าที่วิทยาศาสตร์ และเจ้าหน้าที่ฝ่ายห้องปฏิบัติการ คณะเภสัชศาสตร์ มหาวิทยาลัย<sup>อุบลราชธานีและห้องปฏิบัติการศูนย์วิจัยและพัฒนาผลิตภัณฑ์สุขภาพจากสมุนไพร มหาวิทยาลัยขอนแก่น ทุกท่านที่ช่วยอำนวยความสะดวกเกี่ยวกับสถานที่ อุปกรณ์ เครื่องมือ และสารเคมีต่าง ๆ ที่ใช้ในงานวิจัย ทำให้
งานวิจัยสำเร็จลุล่วงไปได้ด้วยดี</sup>

ขอขอบคุณคณาจารย์ คณะเภสัชศาสตร์ มหาวิทยาลัยอุบลราชธานีที่มีส่วนช่วยเหลือให้ข้อคิดที่เป็น^{ประโยชน์ในการดำเนินการวิจัยและให้กำลังใจมาโดยตลอด}

ขอขอบคุณ National Research Council of Thailand-Japan Society for the Promotion of Science (NRCT-JSPS) joint research program ที่ให้การสนับสนุนเงินทุนในการทำวิจัยระยะสั้น ณ ประเทศญี่ปุ่น Effect of Shallot Extract on the Expression of Inflammatory Mediators, iNOS and COX-2

ขอขอบคุณมหาวิทยาลัยอุบลราชธานี ที่ให้การสนับสนุนงบประมาณเงินรายได้ มหาวิทยาลัย^{อุบลราชธานี ประจำปีงบประมาณ 2554-2555 ในการทำวิจัย}

| | |
|----------------------|---|
| รายงานการวิจัยเรื่อง | การศึกษาฤทธิ์รับปอดของสารสกัดหอมแดง |
| หัวหน้าโครงการวิจัย | นางสาวนุตติยา วีระวันชัย |
| ผู้ร่วมโครงการวิจัย | นางสาวรรภิววรรณ แก้วอมดวงค์ |
| ปีงบประมาณ | 2555 |
| คำสำคัญ | หอมแดง กระเทียม ฤทธิ์รับปอด ฤทธิ์ต้านอักเสบ iNOS COX-2 COX-1 TNF- α IL-1 β IL-6 ปริมาณสารฟีนอลรวม ปริมาณสารฟลาโวนอยด์รวม |

บทคัดย่อ

หอมแดง (*Allium ascalonicum* L.) และกระเทียม (*Allium sativum* L.) เป็นพืชสมุนไพรที่รู้จักกันดีและถูกใช้อย่างแพร่หลาย การศึกษารังนั้นทดสอบฤทธิ์ทางชีวภาพของสารสกัดจากส่วนหัวของหอมแดงและส่วนหัวของกระเทียมที่สกัดด้วยตัวทำละลายเอทานอล ทำการศึกษาฤทธิ์รับปอดของสารสกัดหอมแดงและกระเทียม ในหนูถีบจักรเพศผู้พันธุ์ ICR ด้วยวิธี Hot-plate และ tail-flick จับเวลาที่หนูสามารถทนอยู่บนแผ่นร้อนหรือเวลาที่หนูทนต่อความร้อนได้โดยไม่กระดกหาง ก่อนให้สารทดสอบในกลุ่มต่าง ๆ ได้แก่ น้ำเกลือ (10 มล./กก. ทางช่องท้อง) มอร์ฟิน (10 มก./กก. ทางช่องท้อง) สารสกัดหอมแดงและสารสกัดกระเทียมขนาด 100-1200 มก./กก. ทางช่องท้อง หลังให้สารทดสอบ ทำการจับเวลาที่หนูสามารถทนอยู่บนแผ่นร้อนหรือเวลาที่หนูทนต่อความร้อนได้โดยไม่กระดกหางที่เวลา 15, 30, 45, 60, 90, 120 นาที คำนวณค่าเฉลี่ยเปอร์เซ็นต์สูงสุดที่หนูสามารถทนต่อความร้อนได้ (% maximum possible effect, %MPE) แล้วนำมาคำนวณหาพื้นที่ใต้กราฟระหว่าง %MPE และเวลา พบร่วมว่า สารสกัดหอมแดงและสารสกัดกระเทียมทุกขนาดที่ใช้ในการทดสอบไม่มีฤทธิ์รับปอด การศึกษาฤทธิ์ต้านการอักเสบของสารสกัดหอมแดงและสารสกัดกระเทียมในเซลล์เพาะเลี้ยงมาโคโรฟ่า (RAW 264.7) ที่ได้รับการกระตุ้นให้มีการแสดงออกของยีน inducible nitric oxide synthase (iNOS), cyclooxygenase (COX)-2, COX-1, tumor necrosis factor (TNF)- α , interleukin (IL)-1 β และ IL-6 ด้วยสาร *E. coli* Lipopolysaccharide ผลการศึกษาพบว่าสารสกัดหอมแดงและสารสกัดกระเทียมที่ความเข้มข้น 0.0625-0.250 มก./㎖. ไม่เป็นพิษต่เซลล์ เมื่อทำการวัดปริมาณยีนที่แสดงออกด้วย reverse transcription polymerase chain reaction (RT-PCR) พบร่วมว่า สารสกัดหอมแดงและสารสกัดกระเทียมมีฤทธิ์

ยับยั้งการแสดงออกของยีน iNOS, TNF- α , IL-1 β และ IL-6 เพิ่มขึ้นตามความเข้มข้น สารสกัดกระเทียมยับยั้งการแสดงออกของยีน COX-2 และ COX-1 ในขณะที่สารสกัดหอยแดงยับยั้งการแสดงออกของยีน COX-1 และไม่มีผลต่อการแสดงออกของยีน COX-2 ถุที่ต้านการอักเสบของสารสกัดหอยแดงและกระเทียมน่าจะเกี่ยวข้องกับความสามารถในการยับยั้งการแสดงออกของยีน iNOS เอนไซม์ cyclooxygenase และสาร pro-inflammatory cytokines การวิเคราะห์หาปริมาณสารฟีนอลรวมในสารสกัดหอยแดงและกระเทียมโดยใช้ปฏิกิริยาการเกิดสีกับสาร Folin-Ciocalteu พบว่าสารสกัดหอยแดงและสารสกัดกระเทียมมีปริมาณสารฟีนอลรวม เป็น 15.964 ± 0.122 และ 4.020 ± 0.009 มก.สมมูลกับกรดแฟลลิก/g. ของสารสกัด ตามลำดับ การวิเคราะห์ปริมาณสารฟลาโวนอยด์รวมในสารสกัดโดยใช้ปฏิกิริยาการเกิดสีกับสารอลูมิเนียมคลอไรด์ พบว่าสารสกัดหอยแดงและสารสกัดกระเทียมมีปริมาณสารฟลาโวนอยด์รวมเป็น 11.742 ± 0.012 และ 7.669 ± 0.038 มก.สมมูลกับสารเคอร์ซิทิน/g. ของสารสกัด ตามลำดับ ผลที่ได้จากการศึกษาครั้งนี้เป็นข้อมูลสนับสนุนการใช้สารสกัดหอยแดงและสารสกัดกระเทียมในการรักษาภาวะข้ออักเสบรุนแรงอยู่หรือโรคที่เกิดจากภาวะการอักเสบอื่นและทำการวิเคราะห์หาสารสำคัญในสารสกัดหอยแดงและสารสกัดกระเทียมในเอรานอลที่มีถุที่ในการต้านการอักเสบต่อไป

| | |
|------------------------|---|
| Research Title | The Study of Analgesic Activity of the Extract from <i>Allium ascalonicum</i> |
| Head of Project | Nuttiya Werawattanachai |
| Co-researcher | Rawiwun Kaewamatawong |
| Fiscal Year | 2012 |
| Keywords | shallot, garlic, analgesic action, anti-inflammatory action, iNOS, COX-2, COX-1, TNF- α , IL-1 β , IL-6, total phenolic compounds, total flavonoid compounds |

ABSTRACT

Shallot (*Allium ascalonicum* L.) and garlic (*Allium sativum* L.) are well known and widely used medicinal herb. This study was aimed to investigate the biological activities of the ethanolic extracts obtained from the bulbs of shallot and garlic. The antinociceptive activity of the extracts of shallot and garlic were determined using hot-plate and tail-flick models in mice. Hot-plate and tail-flick latencies were determined in male ICR mice prior to the administration of normal saline solution (10 ml/kg, i.p.), morphine (10 mg/kg, i.p.), and various doses of shallot and garlic (100-1200 mg/kg, i.p.) and were subsequently determined at 15, 30, 45, 60, 90, 120 and 240 min. The mean percent maximum possible effect (%MPE) were calculated and used in the determination of the area of analgesia (%MPE-min). All doses of shallot and garlic extracts did not produce analgesic response in the hot-plate and tail-flick tests. The anti-inflammatory effects of shallot and garlic extracts on *E. coli* lipopolysaccharide (*E. coli* LPS) induced expression of inducible nitric oxide synthase (iNOS), cyclooxygenase (COX)-2, COX-1, tumor necrosis factor (TNF)- α , interleukin (IL)-1 β and IL-6 in the murine macrophage cell line RAW 264.7 were examined. In MTT assays, shallot and garlic extracts at the concentration 0.0625-0.250 mg/ml did not show any significant cytotoxic

effect on RAW 264.7. The gene expressions were investigated by reverse transcription polymerase chain reaction (RT-PCR). The results showed that shallot and garlic extracts significantly attenuated the expression of iNOS, TNF- α , IL-1 β and IL-6 in a concentration-dependent manner. The garlic extract caused reduction in *E. coli* LPS-induced COX-2 and COX-1 mRNA expression. The shallot extract suppressed production of mRNA for COX-1, while did not significantly affect COX-2. These results suggest that the anti-inflammatory properties of shallot and garlic extracts may be due to the inhibitory effects on iNOS, cyclooxygenase enzymes and pro-inflammatory cytokines. Total phenolic content analysis were performed by Folin-Ciocalteu reaction. The total phenolic compounds of shallot and garlic extracts were 15.964 ± 0.122 , 4.020 ± 0.009 mg gallic acid equivalent. g⁻¹ plant extract, respectively. Total flavonoid contents were determined by aluminium chloride colorimetric method. Total flavonoid contents of shallot and garlic extracts in term of quercetin equivalent were 11.742 ± 0.012 , 7.669 ± 0.038 mg quercetin equivalent. g⁻¹ plant extract, respectively. This study supports the traditional use of shallot and garlic for the treatment of rheumatoid arthritis and other inflammatory disorder and further investigations are required to determine the active compounds responsible for the potent anti-inflammatory activity of the ethanolic extracts of shallot and garlic.

สารบัญ

| | หน้า |
|--|-----------|
| กิตติกรรมประกาศ | ก |
| บทคัดย่อ | ข |
| ABSTRACT | ๑ |
| สารบัญเรื่อง | ๘ |
| สารบัญตาราง | ๙ |
| สารบัญภาพ | ๙ |
| คำอธิบายสัญลักษณ์ | ๑๔ |
| บทที่ 1 บทนำ | 1 |
| 1.1 ความสำคัญและที่มาของปัญหาที่ทำการวิจัย | 1 |
| 1.2 วัตถุประสงค์ของโครงการวิจัย | 3 |
| 1.3 ขอบเขตของการวิจัย | 4 |
| 1.4 ประโยชน์ที่คาดว่าจะได้รับ | 4 |
| บทที่ 2 ทบทวนวรรณกรรม | 5 |
| 2.1 หอมเดง | 5 |
| 2.2 กระเทียม | 6 |
| 2.3 ความเจ็บปวด | 8 |
| 2.4 การอักเสบ | 10 |
| บทที่ 3 ระเบียบวิธีวิจัย | 14 |
| 3.1 สารเคมี วัสดุอุปกรณ์และสัตว์ทดลอง | 14 |
| 3.1.1 สารเคมี | 14 |
| 3.1.2 วัสดุอุปกรณ์ | 14 |
| 3.1.3 สัตว์ทดลอง | 15 |

| | |
|--|----|
| 3.2 วิธีดำเนินการวิจัย | 15 |
| 3.2.1 การเตรียมสารสกัดจากห้อมแดง (<i>Allium ascalonicum</i> L.) และสารสกัดจากกระเทียม (<i>Allium sativum</i> L.) ในอุรานอล | 15 |
| 3.2.2 การศึกษาผลของสารสกัดห้อมแดงและสารสกัดกระเทียมต่อการระงับความปวดในสัตว์ทดลอง | 18 |
| 3.2.2.1 การทดสอบฤทธิ์ระงับปวดด้วย Mouse Hot-Plate Method | 18 |
| 3.2.2.2 การทดสอบฤทธิ์ระงับปวดด้วย Mouse Tail-Flick Method | 20 |
| 3.2.2.3 การศึกษากลไกการออกฤทธิ์ต้านการอักเสบจากสารสกัดห้อมแดงและกระเทียมในเซลล์เพาะเลี้ยงมาโคร์ฟاج RAW 264.7 | 22 |
| 3.2.2.3.1 การเลี้ยงเซลล์ | 22 |
| 3.2.2.3.2 การศึกษาความเป็นพิษของสารสกัดห้อมแดงและกระเทียมต่อเซลล์เพาะเลี้ยงมาโคร์ฟاج RAW 264.7 ด้วยวิธี MTT reduction assay | 22 |
| 3.2.2.3.3 การศึกษาผลสารสกัดห้อมแดงและสารสกัดกระเทียมต่อการแสดงออกของยีน inducible nitric oxide (iNOS), cyclooxygenase (COX)-2, COX-1, TNF- α , IL-1 β และ IL-6 ในเซลล์เพาะเลี้ยงมาโคร์ฟاجที่ถูกกระตุ้นด้วย <i>E. coli</i> LPS โดยการตรวจการเปลี่ยนแปลงของระดับ mRNA ที่มีการสังเคราะห์ขึ้นโดยใช้เทคนิค Reverse Transcriptase-Polymerase Chain Reaction (RT-PCR) | 23 |
| 3.2.2.4 การวิเคราะห์หาปริมาณสารฟีโนลรวม (Total phenolic compound) ในสารสกัดห้อมแดงและสารสกัดกระเทียม โดยวิธี Folin- Ciocalteus | 26 |
| 3.2.2.5 การวิเคราะห์ปริมาณสารฟลาโวนอยด์รวม (Total Flavonoid compound) ในสารสกัดห้อมแดงและสารสกัดกระเทียม | 28 |
| 3.3. การรายงานผลการทดลองและการวิเคราะห์ข้อมูลทางสถิติ | 30 |
| 3.4 สถานที่ทำการวิจัย | 31 |
| บทที่ 4 ผลการวิจัย | 32 |

| | |
|--|----|
| 4.1 ผลการเตี๊ยมสารสกัดหอมแดงและสารสกัดกระเทียมในเօรานอล | 32 |
| 4.2 ผลการศึกษาฤทธิ์ระงับปวดของสารสกัดสมุนไพรหอมแดงและกระเทียมในเօรานอลใน | 33 |
| สัตว์ทดลอง | |
| 4.2.1 ผลการศึกษาฤทธิ์ระงับปวดของสารสกัดสมุนไพรหอมแดงและกระเทียมใน Hot plate test | 33 |
| 4.2.2 ผลการศึกษาฤทธิ์ระงับปวดของสารสกัดสมุนไพรหอมแดงและกระเทียมใน Tail-Flick test | 36 |
| 4.3 ผลการศึกษากลไกการออกฤทธิ์ต้านการอักเสบจากสารสกัดหอมแดงและสารสกัดกระเทียมในเซลล์เพาะเลี้ยงมาโคโรฟاج RAW 264.7 | 39 |
| 4.3.1 ผลการทดสอบความเป็นพิษของสารสกัดหอมแดงและสารสกัดกระเทียมด้วย MTT Test | 39 |
| 4.3.2 ผลของสารสกัดหอมแดงและสารสกัดกระเทียมต่อการแสดงออกของยีน iNOS, COX-2, COX-1, COX-1, TNF- α , IL-1 β และ IL-6 ในเซลล์เพาะเลี้ยงมาโคโรฟاجที่ถูกกระตุ้นด้วย E. coli LPS โดยการตรวจการเปลี่ยนแปลงของระดับ mRNA ที่มีการสังเคราะห์ขึ้นโดยใช้เทคนิค RT-PCR | 40 |
| 4.3.2.1 ผลของสารสกัดหอมแดงและสารสกัดกระเทียมต่อการแสดงออกของยีน iNOS | 41 |
| 4.3.2.2 ผลของสารสกัดหอมแดงและสารสกัดกระเทียมต่อการแสดงออกของยีน COX-2 | 44 |
| 4.3.2.3 ผลของสารสกัดหอมแดงและสารสกัดกระเทียมต่อการแสดงออกของยีน COX-1 | 47 |
| 4.3.2.4 ผลของสารสกัดหอมแดงและสารสกัดกระเทียมต่อการแสดงออกของยีน TNF- α | 50 |
| 4.3.2.5 ผลของสารสกัดหอมแดงและสารสกัดกระเทียมต่อการแสดงออกของยีน IL-1 β | 53 |
| 4.3.2.6 ผลของสารสกัดหอมแดงและสารสกัดกระเทียมต่อการแสดงออกของยีน IL-6 | 56 |
| 4.4 ผลการวิเคราะห์หาปริมาณสารฟีโนลรวม (Total phenolic compounds) ในสารสกัดหอมแดงและสารสกัดกระเทียม โดยวิธี Folin-Ciocalteus | 59 |
| 4.5 ผลการวิเคราะห์ปริมาณสารฟลาโวนอยด์รวม (Total Flavonoid compounds) ในสารสกัดหอมแดงและสารสกัดกระเทียม โดยที่ 5 อภิราย สรุปผลการทดลองและข้อเสนอแนะ | 61 |
| 5.1 อภิรายและสรุปผลการทดลอง | 63 |

| | |
|---|-----|
| 5.2 ข้อเสนอแนะ | 70 |
| เอกสารอ้างอิง | 71 |
| ภาคผนวก | 78 |
| การขอรับใบรับรองการอนุมัติให้ดำเนินการเลี้ยงและใช้สัตว์ทดลอง มหาวิทยาลัยอุบลราชธานี | 79 |
| การดำเนินการขออนุญาตชื่อยาเสพติดให้โทษประเภทที่ 2 จากสำนักงานคณะกรรมการอาหารและยา | 82 |
| NRCT-JSPS RESEARCH REPORT PRELIMINARY STUDY “Effect of Shallot Extract on the Expression of Inflammatory Mediators, iNOS and COX-2” | 93 |
| การทดสอบฤทธิ์ทางชีวภาพอื่นๆ ของสารสกัดหอมแดงและสารสกัดกระเทียมโดยศูนย์พันธุวิศวกรรมและเทคโนโลยีชีวภาพแห่งชาติ (BIOTEC) | 106 |
| 6.1 ฤทธิ์ยับยั้งการเจริญเติบโตของเซลล์มะเร็ง (Cancer cell growth inhibition) ได้แก่ | 107 |
| - เซลล์มะเร็งในช่องปาก (KB: human oral cavity carcinoma ATCC CCL-17) | |
| - เซลล์มะเร็งเต้านม (MCF-7: human breast adenocarcinoma ATCC HTB22) | |
| - เซลล์มะเร็งปอด (NCI-H187: human small cell lung carcinoma ATCC CRL-5804) | |
| 6.2 ความเป็นพิษต่อเซลล์ไตของลิง (Vero cells) | 108 |
| 6.3 ฤทธิ์ยับยั้งเชื้อยีสต์ <i>Candida albicans</i> | 108 |
| 6.4 ฤทธิ์ยับยั้งเชื้อวัณโรค <i>Mycobacterium tuberculosis</i> ($H_{37}Ra$) | 109 |
| 6.5 ฤทธิ์ยับยั้งเชื้อรากโรคใบใหม่ในข้าว <i>Magnaporthe grisea</i> | 110 |
| 6.6 ฤทธิ์ยับยั้งเชื้อรากเมล็ดด่างในข้าว <i>Curvularia lunata</i> | 111 |
| 6.7 ฤทธิ์ยับยั้งเชื้อแบคทีเรียแกรมบวก <i>Bacillus cereus</i> | 111 |
| 6.8 ฤทธิ์ยับยั้งเอนไซม์ Neuramidase ของไวรัสไข้หวัดนก H5N1 | 112 |
| ผลการทดสอบฤทธิ์ทางชีวภาพโดยศูนย์พันธุวิศวกรรมและเทคโนโลยีชีวภาพแห่งชาติ | 114 |
| POSTER PRESENTATION In 18th World Congress on Clinical Nutrition (WCCN) | 117 |

“Agriculture, Food and Nutrition for Health and Wellness”

December 1-3, 2014: Ubon Ratchathani, THAILAND

Manuscript สำหรับการตีพิมพ์ในวารสารงานวิจัยระดับนานาชาติ

121

ประวัตินักวิจัย

134

สารบัญตาราง

| | ตาราง | หน้า |
|--------------|--|------|
| ตารางที่ 3-1 | Oligonucleotide primers ที่ใช้ในกระบวนการ RT-PCR | 24 |
| ตารางที่ 3-2 | ระบบที่ใช้ในการเพิ่มปริมาณ DNA | 25 |
| ตารางที่ 3-3 | การเตรียมสารละลายมาตรฐาน Gallic acid เพื่อใช้วิเคราะห์หาปริมาณสารฟีโนลธรรม | 27 |
| ตารางที่ 3-4 | การเตรียมสารละลายมาตรฐาน Quercetin เพื่อใช้วิเคราะห์หาปริมาณสารฟลาโวนอยด์รวม | 29 |
| ตารางที่ 4-1 | แสดงน้ำหนักของสมุนไพรแห้ง น้ำหนักสารสกัดหยาบ ค่า % yield และ ลักษณะของสารสกัดหยาบจากส่วนหัวของหомแดงและกระเทียม | 33 |
| ตารางที่ 4-2 | Mouse Hot-Plate Test แสดงค่าพื้นที่ได้กราฟ Area of analgesia (%MPE-min) ในช่วง 0-240 นาที หลังจากฉีด normal saline solution (NSS) และสารสกัดหومแดงและสารสกัดกระเทียมในเอรานอล (100 – 1200 มิลลิกรัม/กิโลกรัมน้ำหนักตัว) เข้าทางช่องท้อง แต่ละกลุ่มใช้หนูจำนวน 10 ตัว | 35 |
| ตารางที่ 4-3 | Mouse Tail-Flick Test แสดงค่าพื้นที่ได้กราฟ Area of analgesia (%MPE-min) ในช่วง 0-240 นาที หลังจากฉีด normal saline solution (NSS) และสารสกัดหومแดงในเอรานอล (100 – 1200 มิลลิกรัม/กิโลกรัมน้ำหนักตัว) เข้าทางช่องท้อง แต่ละกลุ่มใช้หนูจำนวน 10 ตัว | 38 |
| ตารางที่ 4-4 | ผลการวิเคราะห์ปริมาณสารฟีโนลธรรม (Total phenolic compounds) และปริมาณสารฟลาโวนอยด์รวม (Total flavonoid compounds) ในสารสกัดหومแดงและสารสกัดกระเทียมในเอรานอล | 62 |
| ตารางที่ 6-1 | ผลการทดสอบฤทธิ์ทางชีวภาพของสารสกัดหومแดงและสารสกัดกระเทียมในเอรานอลที่ความเข้มข้น 50 มิลลิกรัม/มิลลิลิตรโดยศูนย์ BIOTEC | 116 |

สารบัญภาพ

| รูปที่ | หน้า |
|---|------|
| รูปที่ 3-1 ตัวอย่างหัวหอมแดงและหัวกระเทียม | 16 |
| รูปที่ 3-2 การหมักหัวหอมแดงและหัวกระเทียม | 16 |
| รูปที่ 3-3 การระเหยแห้งโดยใช้เครื่อง Rotary evaporator | 17 |
| รูปที่ 3-4 การทำให้สารสกัดแห้งโดยใช้เครื่อง Freeze dryer | 17 |
| รูปที่ 3-5 เครื่องมือ Hot-plate analgesia meter | 18 |
| รูปที่ 3-6 Mouse restrainer และเครื่องมือ Tail-flick analgesia meter | 20 |
| รูปที่ 4-1 แสดงลักษณะของสารสกัดหลายของหอมแดงและกระเทียมที่ผ่านการทำให้แห้งโดยเครื่อง Freeze dryer | 32 |
| รูปที่ 4-2 Mouse Hot-Plate Test แสดงค่าพื้นที่ต่อกراف Area of analgesia (%MPE-min) ในช่วง 0-240 นาที หลังจากฉีด normal saline solution (NSS) และมอร์ฟีน (morphine sulfate; 10 มิลลิกรัม/กิโลกรัมน้ำหนักตัว) เข้าทางช่องท้อง แต่ละกลุ่มใช้หนูจำนวน 10 ตัว | 34 |
| รูปที่ 4-3 Mouse Tail-Flick Test แสดงค่าพื้นที่ต่อกراف Area of analgesia (%MPE-min) ในช่วง 0-240 นาที หลังจากฉีด normal saline solution (NSS) และมอร์ฟีน (morphine sulfate; 10 มิลลิกรัม/กิโลกรัมน้ำหนักตัว) เข้าทางช่องท้อง แต่ละกลุ่มใช้หนูจำนวน 10 ตัว | 37 |
| รูปที่ 4-4 ลักษณะเซลล์ Murine macrophage RAW 264.7 ที่ใช้ในการศึกษาวิจัย | 39 |
| รูปที่ 4-5 ผลของสารสกัดสารสกัดหอมแดง (Shallot) และสารสกัดกระเทียม (Garlic) ที่ความเข้มข้นต่าง ๆ ต่อการร้อยละการลดชีวิตของเซลล์ RAW 264.7 เมื่อทดสอบด้วย MTT Assay | 40 |
| รูปที่ 4-6 ปริมาณการแสดงออกของยีน iNOS และ β -actin ในเซลล์ RAW 264.7 ที่ถูกกระตุ้นด้วย <i>E. coli</i> LPS เมื่อ incubated ร่วมกับสารสกัดจากหอมแดงและสารสกัดจากกระเทียมความเข้มข้น 0.0625, 0.125, 0.250 มิลลิกรัม/มิลลิลิตร | 42 |
| รูปที่ 4-7 ปริมาณการแสดงออกของยีน iNOS โดยคิดเป็นสัดส่วนกับ β -actin ในเซลล์ เพาะเลี้ยง RAW 264.7 ที่ถูกกระตุ้นโดย <i>E. coli</i> LPS เมื่อ incubated ร่วมกับสาร | 43 |

- สารสกัดจากหومแ Deng และสารสกัดจากกระเทียมความเข้มข้น 0.0625, 0.125, 0.250 มิลลิกรัม/มิลลิลิตร ($n = 3$)
- รูปที่ 4-8 ปริมาณการแสดงออกของยีน COX-2 และ β -actin ในเซลล์ RAW 264.7 ที่ถูกกระตุ้นด้วย *E. coli* LPS เมื่อ incubated ร่วมกับสารสกัดจากหومแ Deng และสารสกัดจากกระเทียมความเข้มข้น 0.0625, 0.125, 0.250 มิลลิกรัม/มิลลิลิตร 45
- รูปที่ 4-9 ปริมาณการแสดงออกของยีน COX-2 โดยคิดเป็นสัดส่วนกับ β -actin ในเซลล์เพาะเลี้ยง RAW 264.7 ที่ถูกกระตุ้นโดย *E. coli* LPS เมื่อ incubated ร่วมกับสารสกัดจากหومแ Deng และสารสกัดจากกระเทียมความเข้มข้น 0.0625, 0.125, 0.250 มิลลิกรัม/มิลลิลิตร ($n = 3$) 46
- รูปที่ 4-10 ปริมาณการแสดงออกของยีน COX-1 และ β -actin ในเซลล์ RAW 264.7 ที่ถูกกระตุ้นด้วย *E. coli* LPS เมื่อ incubated ร่วมกับสารสกัดจากหومแ Deng และสารสกัดจากกระเทียมความเข้มข้น 0.0625, 0.125, 0.250 มิลลิกรัม/มิลลิลิตร 48
- รูปที่ 4-11 ปริมาณการแสดงออกของยีน COX-1 โดยคิดเป็นสัดส่วนกับ β -actin ในเซลล์เพาะเลี้ยง RAW 264.7 ที่ถูกกระตุ้นโดย *E. coli* LPS เมื่อ incubated ร่วมกับสารสกัดจากหومแ Deng และสารสกัดจากกระเทียมความเข้มข้น 0.0625, 0.125, 0.250 มิลลิกรัม/มิลลิลิตร ($n = 3$) 49
- รูปที่ 4-12 ปริมาณการแสดงออกของยีน TNF- α และ β -actin ในเซลล์ RAW 264.7 ที่ถูกกระตุ้นด้วย *E. coli* LPS เมื่อ incubated ร่วมกับสารสกัดจากหومแ Deng และสารสกัดจากกระเทียมความเข้มข้น 0.0625, 0.125, 0.250 มิลลิกรัม/มิลลิลิตร 51
- รูปที่ 4-13 ปริมาณการแสดงออกของยีน TNF- α โดยคิดเป็นสัดส่วนกับ β -actin ในเซลล์เพาะเลี้ยง RAW 264.7 ที่ถูกกระตุ้นโดย *E. coli* LPS เมื่อ incubated ร่วมกับสารสกัดจากหومแ Deng และสารสกัดจากกระเทียมความเข้มข้น 0.0625, 0.125, 0.250 มิลลิกรัม/มิลลิลิตร ($n = 3$) 52
- รูปที่ 4-14 ปริมาณการแสดงออกของยีน IL-1 β และ β -actin ในเซลล์ RAW 264.7 ที่ถูกกระตุ้นด้วย *E. coli* LPS เมื่อ incubated ร่วมกับสารสกัดจากหومแ Deng และสารสกัดจากกระเทียมความเข้มข้น 0.0625, 0.125, 0.250 มิลลิกรัม/มิลลิลิตร 54
- รูปที่ 4-15 ปริมาณการแสดงออกของยีน IL-1 β โดยคิดเป็นสัดส่วนกับ β -actin ในเซลล์เพาะเลี้ยง RAW 264.7 ที่ถูกกระตุ้นโดย *E. coli* LPS เมื่อ incubated ร่วมกับสาร

สกัดจากหومแดงและสารสกัดจากกระเทียมความเข้มข้น 0.0625, 0.125, 0.250 มิลลิกรัม/มิลลิลิตร ($n = 3$)

- รูปที่ 4-16 ปริมาณการแสดงออกของยีน IL-6 และ β -actin ในเซลล์ RAW 264.7 ที่ถูกกระตุ้น ด้วย *E. coli* LPS เมื่อ incubated ร่วมกับสารสกัดจากหومแดงและสารสกัดจากกระเทียมความเข้มข้น 0.0625, 0.125, 0.250 มิลลิกรัม/มิลลิลิตร 57
- รูปที่ 4-17 ปริมาณการแสดงออกของยีน IL-6 โดยคิดเป็นสัดส่วนกับ β -actin ในเซลล์ เพาะเลี้ยง RAW 264.7 ที่ถูกกระตุ้นโดย *E. coli* LPS เมื่อ incubated ร่วมกับสารสกัดจากหومแดงและสารสกัดจากกระเทียมความเข้มข้น 0.0625, 0.125, 0.250 มิลลิกรัม/มิลลิลิตร ($n = 3$) 58
- รูปที่ 4-18 กราฟมาตรฐานแสดงความสัมพันธ์ระหว่างความเข้มข้นของ Gallic acid (มิลลิกรัม/มิลลิลิตร) และค่าการดูดกลืนแสงที่ความยาวคลื่น 765 นาโนเมตร เมื่อทดสอบหา Total Phenolic Compounds ด้วยวิธี Folin-Ciocalteus 60
- รูปที่ 4-19 กราฟมาตรฐานแสดงความสัมพันธ์ระหว่างความเข้มข้นของ Quercetin (ไมโครกรัม/มิลลิลิตร) และค่าการดูดกลืนแสงที่ความยาวคลื่น 415 นาโนเมตร เมื่อทดสอบหา Total Flavonoid Compounds 62

คำอธิบายสัญลักษณ์และคำย่อ

| | | |
|--------------------|---|---|
| ก. | = | กรัม |
| กก. | = | กิโลกรัม |
| มก. | = | มิลลิกรัม |
| มคก. | = | ไมโครกรัม |
| มล. | = | มิลลิลิตร |
| AUC | = | Area under the curve |
| COX-1 | = | Cyclooxygenase-1 |
| COX-2 | = | Cyclooxygenase-2 |
| DMEM | = | Dulbecco's modification of Eagle's medium |
| DMSO | = | Dimethyl sulfoxide |
| <i>E. coli</i> LPS | = | <i>Escherichia coli</i> lipopolysaccharide |
| iNOS | = | inducible nitric oxide synthase |
| LPS | = | lipopolysaccharide |
| %MPE | = | percent of maximum possible effect |
| MTT | = | 3-(4,5-diamethylthiazol-2-yl)-2,5-diphynyltetrazolium bromide |
| NO | = | Nitric oxide |
| TNF- α | = | Tumor necrosis factor-alpha |
| % | = | ร้อยละ |
| °C | = | องศาเซลเซียส |
| Kg | = | กิโลกรัม |
| mg | = | มิลลิกรัม |
| ml | = | มิลลิลิตร |
| nm | = | นาโนเมตร |

| | | |
|------------------|---|-----------|
| $\mu_{\text{ก}}$ | = | ไมโครกรัม |
| μ_{l} | = | ไมโครลิตร |
| M | = | โมลาร์ |

บทที่ 1

บทนำ

(Introduction)

1.1 ความสำคัญ และที่มาของปัญหาที่ทำการวิจัย

ความเจ็บปวด (pain) เป็นประสบการณ์ที่ไม่พึงพอใจทั้งทางด้านความรู้สึกและการมรณ์ โดยมีส่วนเกี่ยวข้องกับการทำลายหรือศักยภาพในการทำให้เกิดการทำลายของเนื้อเยื่อของร่างกาย กลไกการเกิดความเจ็บปวดประกอบด้วยองค์ประกอบ 3 ประการคือ สิ่งกระตุ้นความเจ็บปวด ตัวรับความรู้สึกเจ็บปวด (Nociceptors) ซึ่งกระจายอยู่ทั่วร่างกาย เช่น ผิวนัง อวัยวะภายใน หลอดเลือด หรือเนื้อเยื่อต่าง ๆ และวิถีประสาทนำความรู้สึกเจ็บปวด (Pain impulse pathways) ที่รับสัญญาณขึ้นไปสู่สมองเพื่อแปลเป็นความรู้สึก และมีการแสดงออกทางพฤติกรรมต่าง ๆ เพื่อตอบสนองสิ่งที่กระตุ้น ความเจ็บปวดเป็นอาการที่พบได้บ่อย ๆ ซึ่งอาจสัมพันธ์กับการเกิดการอักเสบ หรืออาจเกิดจากการที่มีสิ่งกระตุ้น เช่นความร้อน แรงกล สารเคมี มาทำให้เจ็บปวดโดยตรง (อำนวย ฤทธาพันธ์, 2009)

การอักเสบ (inflammation) เป็นกระบวนการที่ซับซ้อนเกิดจากปฏิกิริยาการตอบสนองของเซลล์ภายในร่างกายต่อเซลล์หรือเนื้อเยื่อที่เสียหายหรือตายลง หรือสิ่งกระตุ้นที่ก่ออันตราย เช่น จุลชีพ เพื่อพยายามขัดสิ่งที่ก่อให้เกิดอันตรายนั้นออกไป รวมทั้งเพื่อซ่อมแซมนื้อเยื่อที่ถูกทำลาย การอักเสบก่อให้เกิดการเปลี่ยนแปลงที่หลอดเลือดเล็ก ๆ ส่งผลให้สารภายในหลอดเลือดร้าวสูงกว่าระหว่างเซลล์และมีการเปลี่ยนแปลงทำให้เกิดการหลังของสารสื่อกลางในการอักเสบ (inflammatory mediators) ชนิดต่าง ๆ เช่น Prostaglandins (PGs) ในตริกօอกไซด์ (nitric oxide, NO) Leukotrienes (LTs) Tumor necrosis factor (TNF)- α , Interleukin (IL), platelet activating factor (PAF), bradykinin, histamine, interferons (IFN) และ complement system โดยสารเคมีต่าง ๆ เหล่านี้จะกระตุ้นเซลล์ประสาทส่วนปลายในบริเวณที่ได้รับบาดเจ็บ และในระบบประสาทส่วนกลางทำให้ร่างกายมีความรู้สึกเจ็บปวดเกิดขึ้น (ปราโมทย์ มหาณรงค์, 2553)

สาร NO และ prostaglandins PGE₂ ถูกสร้างมาจากเซลล์เม็ดเลือดขาว เช่น neutrophil และ macrophage โดยเอนไซม์ cyclooxygenase-2 (COX-2) และ inducible nitric oxide synthase (iNOS)

ตามลำดับ ชีงเอนไซม์เหล่านี้จัดเป็น inducible enzyme โดยจะถูกขักนำให้สร้างขึ้นเป็นจำนวนมากด้วยสาร pro-inflammatory cytokine และ endotoxin ทำให้เกิดอาการปวด บวม แดง ร้อนอย่างต่อเนื่องหากสารสื่อสารการอักเสบนี้มากขึ้นและพบเป็นระยะเวลานานในร่างกายอาจทำให้เกิดการอักเสบแบบเรื้อรังและเกิดโรคเสื่อมต่างๆ ภาวะหลอดเลือดแดงแข็ง โรคข้ออักเสบภูมิคุ้มกัน ภาวะซ้อกที่เกิดขึ้นจากการติดเชื้ออย่างรุนแรงทั่วร่างกาย (Calixto et al., 2004) ดังนั้นการยับยั้งทำงานของเอนไซม์ iNOS, COX-2 และการยับยั้งการทำงานของสาร TNF- α , IL-1 β และ IL-6 จึงเป็นแนวทางหลักสำคัญทางหนึ่งในการควบคุมการอักเสบได้

การรักษาอาการเจ็บปวดและการอักเสบในปัจจุบันมักใช้ยาต้านการอักเสบที่ไม่ใชสเตียรอยด์ (Nonsteroidal anti-inflammatory drugs, NSAIDs) เมจจะให้ผลการรักษาดีแต่อาจก่อให้เกิดผลข้างเคียง เช่น เกิดแพลงในกระเพาะอาหารและมีความเป็นพิษต่อไต ปัจจุบันมียารุ่นใหม่ที่มีฤทธิ์ข้างเคียงเหล่านี้น้อยลงแต่มีราคาค่อนข้างแพง เป็นที่ทราบกันดีว่าพืชสมุนไพรหลายชนิดเป็นแหล่งของยาที่สำคัญ เนื่องจากพืชเหล่านี้มักจะมีสารสำคัญหลายชนิด และแต่ละชนิดก็ยังมีฤทธิ์ทางเภสัชวิทยาอย่างกว้างขวางและถูกนำมาใช้ประโยชน์ด้านต่างๆ รวมถึงใช้เป็นยา.rกษาโรคได้อีกด้วย การพัฒนาสมุนไพรเพื่อใช้ประโยชน์ทางการแพทย์นับเป็นทางหนึ่งที่จะช่วยลดการเสียดุลทางเศรษฐกิจและเป็นทางเลือกหนึ่งที่จะทำให้ผู้ที่มีความเจ็บปวดหรือมีอาการอักเสบมีคุณภาพชีวิตที่ดีขึ้น

หอมแดงเป็นพืชเศรษฐกิจที่สำคัญของประเทศไทยในแบบอาเซียนตะวันออกเฉียงใต้ โดยเฉพาะประเทศไทย มีการปลูกมากทั้งในพื้นที่ภาคเหนือและภาคตะวันออกเฉียงเหนือ หอมแดง มีชื่อภาษาอังกฤษ คือ shallot และชื่อวิทยาศาสตร์คือ *Allium ascalonicum* L. จัดเป็นพืชในสปีชีส์ *Allium* โดยตัวอย่างพืชในสปีชีส์นี้ได้แก่ กระเทียม (*Allium sativum* L.) หอมใหญ่ (*Allium cepa* L.) ปัจจุบันพบผลิตภัณฑ์ระเทียมของการจำหน่ายในท้องตลาด ซึ่งได้รับความนิยมและการยอมรับจากผู้บริโภคว่าเป็นผลิตภัณฑ์ที่สามารถป้องกันโรคที่เกี่ยวข้องกับระบบหัวใจและหลอดเลือด และใช้ในผู้ป่วยหลอดเลือดแดงแข็งตัว (atherosclerosis) ไขมันในเลือดสูง (hyperlipidemia) ลิ่มเลือดอุดตัน (thrombosis) ความดันโลหิตสูง (hypertension) และเบาหวาน(diabetes) (Banerjee and Maulik, 2002)

รายงานการวิจัยที่แสดงฤทธิ์รับประทานของหอมแดง ได้แก่ Owoyele และคณะ (2006) ทำการทดสอบฤทธิ์รับประทานของสารสกัดของ *Allium ascalonicum* ในเมธานอลและในน้ำ พบร่วมกันว่าสารสกัดในน้ำ เมธานอลสามารถรับประทานได้ดีใน formalin test ในหนูขาว และสามารถรับประทานในหนูที่ถูกกระตุ้นให้เกิด

ความเจ็บปวดด้วยความร้อน ในขณะที่สารสกัด *Allium ascalonicum* ในขันน้ำมีฤทธิ์ระงับปวดที่อ่อน Oloyede และคณะ (2008) รายงานการศึกษาฤทธิ์ทางเภสัชวิทยาของเครื่องดื่มสมุนไพร (herbal cocktail) JOLOO ที่มีส่วนสกัดของหอมแดงในสูตรเครื่องดื่มสมุนไพร เมื่อเมื่อให้เครื่องดื่มสมุนไพรดังกล่าวในหนูทดลองในขนาด 400-1600 มิลลิกรัม/กิโลกรัมน้ำหนักตัว แสดงฤทธิ์ระงับปวดใน formalin pain model , acetic acid induced abdominal constriction และใน mouse hot-plate test โดยมีค่า reaction time นานกว่ากลุ่มควบคุม

จากการที่หอมแดงเป็นพืชทางเศรษฐกิจที่สำคัญของประเทศไทยและเป็นพืชในวงศ์เดียวกับกระเทียม และมีศักยภาพในการระงับปวด ต้านอักเสบ ดังนั้นจึงน่าสนใจที่จะศึกษาฤทธิ์ระงับปวด กลไกการออกฤทธิ์ต้านการอักเสบของสารสกัดหอมแดงและสารสกัดกระเทียมในเอรานอลเซลล์เพาะเลี้ยงมาโคร์ฟ้าจ RAW 264.7 ที่ได้รับการกระตุ้นด้วยสาร *E. coli* LPS ให้มีการแสดงออกของยีนที่เป็นoenzymeที่มีบทบาทสำคัญในการเกิดการอักเสบและเป็นสารสื่อกลางในการอักเสบ ได้แก่ inducible nitric oxide synthase (iNOS), cyclooxygenase (COX)-2, COX-1, tumor necrosis factor (TNF)- α , interleukin (IL)-1 β และ IL-6 ตลอดจนทำการวิเคราะห์หาปริมาณสารประกอบพื้นอุรุรวมและสารฟลาโวนอยด์รวมของสารสกัดหอมแดงและสารสกัดกระเทียมเพื่อจะทำให้ได้ข้อมูลทางวิทยาศาสตร์ที่สนับสนุนให้นำไปสู่การพัฒนาสารสกัดหอมแดงและสารสกัดกระเทียมเป็นยา ระงับปวด ต้านอักเสบเพื่อใช้ประโยชน์ในทางคลินิกต่อไป นับเป็นการเพิ่มคุณค่าของพืชสมุนไพรพื้นบ้านและส่งเสริมและสนับสนุนการใช้สมุนไพรไทยประจำท้องถิ่นอย่างมีเหตุผล

1.2 วัตถุประสงค์ของโครงการวิจัย

1. ศึกษาฤทธิ์ระงับปวดของสารสกัดหอมแดงและกระเทียมในเอรานอล ในหนูถีบจักรเพศผู้พันธุ์ ICR ด้วยวิธี Hot-plate และ Tail-flick
2. ศึกษากลไกการออกฤทธิ์ต้านการอักเสบของสารสกัดหอมแดงและสารสกัดกระเทียมในเอรานอลในเซลล์เพาะเลี้ยงมาโคร์ฟ้าจ RAW 264.7 ที่ได้รับการกระตุ้นให้มีการแสดงออกของยีน inducible nitric oxide synthase (iNOS), cyclooxygenase (COX)-2, COX-1, tumor necrosis factor (TNF)- α , interleukin (IL)-1 β และ IL-6 ด้วยสาร *E. coli* LPS
3. วิเคราะห์หาปริมาณสารพื้นอุรุรวมในสารสกัดหอมแดงและสารสกัดกระเทียมในเอรานอลโดยใช้

ปฏิกริยาการเกิดสีกับสาร Folin-Ciocalteu

4. วิเคราะห์ปริมาณสารฟลาโวนอยด์รวมในสารสกัดหอมแดงและสารสกัดกระเทียมในเอรานอลโดยใช้ปฏิกริยาการเกิดสีกับสารอลูมิเนียมคลอไรด์

1.3 ขอบเขตของการวิจัย

โครงการวิจัยนี้ศึกษาถึงทางชีวภาพของสารสกัดหอมแดงและสารสกัดกระเทียมโดยเลือกทดสอบในสารสกัดที่ใช้เอรานอลเป็นตัวทำละลาย ทำการศึกษาถึงรับประทานในสัตว์ทดลอง และศึกษาผลของสารสกัดต่อการแสดงออกของยีนที่เกี่ยวข้องกับการอักเสบ ได้แก่ iNOS, COX-2, COX-1, TNF- α , IL-1 β และ IL-6 ในเซลล์เพาะเลี้ยงมาโครฟاج RAW 264.7 ทำการวิเคราะห์หาปริมาณสารฟีนอลและสารฟลาโวนอยด์ในสารสกัด เพื่อให้ได้ข้อมูลเบื้องต้นในการประเมินความเป็นไปได้ในการพัฒนาหอมแดงเป็นยาต่อไป

1.4 ประโยชน์ที่คาดว่าจะได้รับ

1. เป็นแหล่งใหม่ของสารออกฤทธิ์แก้ปวด ซึ่งเป็นพืชสมุนไพรที่หาได้ง่ายในประเทศไทย
2. ได้รับข้อมูลกลไกการออกฤทธิ์ต้านการอักเสบของสารสกัดหอมแดงและสารสกัดกระเทียม ที่มีความเกี่ยวข้องกับการแสดงออกของยีน inducible nitric oxide synthase (iNOS), cyclooxygenase (COX)-2, COX-1, tumor necrosis factor (TNF)- α , interleukin (IL)-1 β และ IL-6 ในเซลล์เพาะเลี้ยงมาโครฟاج RAW 264.7 ที่ได้รับการระคุนด้วยสาร *E. coli* LPS
3. เป็นข้อมูลวิทยาศาสตร์สนับสนุนสรรคุณของพืชสมุนไพรพื้นบ้าน โดยเผยแพร่ความรู้ให้แก่ ประชาชนทั่วไป เป็นการส่งเสริมและสนับสนุนการใช้สมุนไพรไทยประจำท้องถิ่นอย่างเหมาะสม
4. เป็นข้อมูลพื้นฐานที่สามารถใช้เป็นแนวทางในการศึกษาวิจัยในมนุษย์ ต่อไป เช่น การวิจัยทางเภสัช จลนศาสตร์ หรือการวิจัยทางคลินิก
5. เป็นข้อมูลในการพัฒนาผลิตภัณฑ์ยาจากสมุนไพรที่หาได้ง่ายในประเทศไทย นำไปสู่การพัฒนาทรัพยากรธรรมชาติอย่างยั่งยืน

บทที่ 2

ทบทวนวรรณกรรม (Literature Review)

2.1 หอมแดง

หอมแดง (shallot) ชื่อวิทยาศาสตร์ *Allium ascalonicum* Linn. ชื่อท้องถิ่น ได้แก่ หอมแดง หอมเล็ก หอมหัว หอมไทย (ภาคกลาง) หอมบัว หอมป่า (ภาคเหนือ) หัวหอมแดง (ภาคใต้) ปะเซี้ยส่า (ปะเหรียง-แม่ฮ่องสอน) ปะเซอก่อ (กระเหรียง-ตาก) ส่วนที่ใช้คือส่วนต้นหรือส่วนหัว หัวหอมแดงเป็นทั้งเครื่องเทศและสมุนไพร จัดเป็นพืชในสปีชีส์ *Allium* สรรพคุณของหอมแดง ได้แก่ ส่วนหัวใช้ขับลมในลำไส้ แก้ไข้ ขับเสมหะ เจริญไฟธาตุ แก้อาการมาค้างจากเหล้า บำรุงหัวใจ ฟ้าพยาธิ แก้อาการซักในเด็ก แก้อาการอักเสบต่าง ๆ แก้อักเสบ เพราะตะปูและหนามตำแหน่ง แก้พิษปวดแสบปวดร้อนจากไฟลวก น้ำร้อนลง แก้พิษสัตว์กัดด้วยองค์ประกอบทางเคมีที่พบ ได้แก่สาร allicin, *Allium ascalonicum* lectin, *allium ascalonicum* lectin AAA, arbutin และ calcium oxalate (นันทวัน บุณยะประภัศรและอรุณ โชคชัยเจริญพร, 2543) และพบสาร flavonoids ได้แก่ quercetin aglycone และ quercetin glucosides (Wiczkowski, et al., 2008) ฤทธิ์ทางเภสัชวิทยาที่สำคัญ ได้แก่ ฤทธิ์ต้านเชื้อแบคทีเรีย (Amin and Kapadnis, 2005) ต้านเชื้อรา (Yin. and Tsao, 1999; Wang and Ng, 2002) ต้านการซัก ลดความดันโลหิต แก้ปวด ทำให้หัวใจเต้นช้ากว่าปกติ กระตุ้นระบบประสาทเชิงพาณิชย์ มีผลต่อระบบเลือด ละลายไฟบริน ทำให้ลิ่มเลือดถลایตัวเร็วขึ้น ลดคลอเรสเตอรอล ยับยั้งการเกิดเนื้องอก ยับยั้งการหดเกร็งของลำไส้ คลายกล้ามเนื้อเรียบ สารสกัดหอมแดงมีฤทธิ์ต้านอนุมูลอิสระ (Leelarungrayub, et al., 2004; Leelarungrayub, et al., 2006) สามารถช่วยลดอาการไม่พึงประสงค์ต่อไตของยา cyclosporine ในหมูขาว (Wongmekiat, et al., 2008) ช่วยลดระดับน้ำตาลในเลือดในหมูขาวที่ได้รับการกระตุ้นให้มีภาวะดื้อต่ออินสูลินด้วยฟรุคโตส (Jalal et al., 2007) ฤทธิ์ยับยั้งการสร้างหลอดเลือดใหม่ (Seyfi et al., 2010) ฤทธิ์ต้านมะเร็งและฤทธิ์ต้านการอักเสบ (Mohammadi-Motlagh et al., 2011).

Oloyede AM และคณะ (2008) รายงานการศึกษาฤทธิ์ทางเภสัชวิทยาของเครื่องดื่มสมุนไพร (herbal cocktail) JOLOO ที่มีส่วนสกัดของหอมแดงในสูตรเครื่องดื่มสมุนไพร โดย JOLOO ประกอบด้วยพืชสมุนไพร

ของประเทศไทย จำนวน 7 ชนิด คือสารสกัดจากเมล็ดของพืช *Butyrospermum paradoxum* (PCGH 437), เปเลือกถั่นของ *Securidata longepunculata* (PCGH439), ถั่นของ *Tetrapleura tetraptera* (PCGH 382), ส่วนใบของ *Hoslurdia opposite* (PCGH 322), เมล็ดของ *Xylopia aethiopica* seed (PCGH 441), ถั่นของ *Olax subscorpioidea* (PCGH 438) และไม่ปรากฏส่วนที่ใช้ของ *Allium ascalonicum* (PCGH 440) ในอัตราส่วน 5:1:3:2:4:1:3 เมื่อให้สูตรเครื่องดื่มสมุนไพรดังกล่าวในหมู่ทดลองในขนาด 400-1600 มิลลิกรัม/กิโลกรัม แสดงฤทธิ์ระงับปวดใน formalin pain model , acetic acid induced abdominal constriction และใน mouse hot-plate test โดยมีค่า reaction time นานกว่ากลุ่มควบคุม

Owoyele และคณะ (2006) ทดสอบฤทธิ์ต้านการอักเสบในหมูขาวของสารสกัด *Allium ascalonicum* ในเมรานอลและในขันน้ำ ในขนาด 50-200 มิลลิกรัม/กิโลกรัม ด้วยวิธี albumin-induced paw edema พบร่วมกับการอักเสบได้โดยสามารถลดการอักเสบแบบเฉียบพลันของเห้าหมูที่ได้รับการฉีกน้ำให้เกิดการบวมด้วยสาร albumin ได้คิดเป็นร้อยละ 40.5-85.5 และสารสกัดในขันเมรานอลสามารถลดการบวมของเห้าหมูได้ดีกว่าสารสกัดในขันน้ำ Mohammadi-Motlagh และคณะ (2011) รายงานฤทธิ์ต้านการอักเสบเมื่อทดสอบด้วยวิธี acetic acid induced vascular permeability พบร่วมกับการอักเสบแบบเฉียบพลันของเห้าหมูที่ได้รับการฉีกน้ำ ในขนาด 50-400 มิลลิกรัม/กิโลกรัม ให้โดยการป้อนทางปากในหมูถีบจักร พบร่วมกับการลดสภาพการซึมผ่านของสาร Evans blues ผ่านผนังหลอดเลือด เข้ามาอยู่ในช่องห้องของหมูถีบจักรได้ตามความเข้มข้นของสารสกัดที่ได้รับ คิดเป็นร้อยละ 10-80

2.2 กระเทียม

กระเทียมมีชื่อทางวิทยาศาสตร์ว่า *Allium sativum Linn.* อัญญิวงศ์ Alliaceae ชื่อท้องถิ่น ได้แก่ กระเทียมขาว กระเทียมจีน เทียม ปะเชัว ห้อมขาว หومเทียม หัวเทียม ลักษณะทั่วไปเป็นพืชล้มลุกที่มีหัวอยู่ใต้ดิน แต่ละหัวประกอบด้วยกลีบเรียงช้อนกันประมาณ 4-15 กลีบ บางพันธุ์จะมีเพียงกลีบเดียวเรียกว่า กระเทียมโหน แต่ละกลีบมีกาบเป็นเยื่อบางๆ สีขาวอมชมพุทึมอยู่โดยรอบ มีรากไม้ยานัก ใบมีลักษณะยาวแบน ปลายใบแหลมแคบ โคนมีใบหุ้มช้อนกัน เป็นใบประกอบชนิดมีใบย่อยใบเดียว เรียงสลับ รูปร่างเรียบเรียบไปขอน ขนาดกว้าง 3-5 ซม. ยาว 4-8 ซม. เนื้อใบมีจุดน้ำมันกระจาย ดอกเป็นดอกเดี่ยวหรือช่อ มีสีขาวติดเป็นกระจุกที่ปลายก้านช่อดอก ที่ปลายกิ่งและที่ซอกใบกลีบดอกสีขาว กลีนหอม ร่วงง่าย กิ่งอ่อนมีห่านам ผลเป็นผลสด กลม เกลี้ยงช้ำน้ำ มีกลิ่นหอมคุณ รสชาติเผ็ดร้อน

สารสำคัญที่พบในกระเทียม คือ Allicin (Diallydisulphide oxide) ซึ่งเป็นสารประกอบจำพวกกำมะถัน มีลักษณะเป็นน้ำมันใส ละลายน้ำและสลายตัวเมื่อถูกความร้อน นอกจากนี้ในกระเทียมยังประกอบด้วย โปรตีน น้ำตาล กรดไขมัน กรดอะมิโน แร่ธาตุ และวิตามินหลายชนิด เช่น วิตามินบี 1 วิตามินบี 2 และวิตามินซี เป็นต้น นอกจากนี้ยังมีเอนไซม์ Allinase ซึ่งเป็นเอนไซม์ที่สามารถเปลี่ยน Alliin ให้เป็น Allicin และมีสาร Quercetin ออกฤทธิ์ยับยั้งเอนไซม์และCytokines ที่เกี่ยวข้องกับกระบวนการอักเสบได้ (วันดี กฤษณพันธ์, 2539)

ฤทธิ์ทางเภสัชวิทยาของกระเทียมได้แก่ฤทธิ์ลดการบีบตัวของลำไส้ ฤทธิ์ขับน้ำดี ฤทธิ์ฆ่าเชื้อแบคทีเรียที่เป็นสาเหตุของการแన่นจุกเสียด ฤทธิ์ลดการอักเสบ ฤทธิ์ป้องกันตับอักเสบ ฤทธิ์ต้านเชื้อร้ายที่เป็นสาเหตุของโรคกลาก (สำนักงานข้อมูลสมุนไพร คณะเภสัชศาสตร์ มหาวิทยาลัยมหิดล, 2009) นอกจากนี้ยังมีคุณสมบัติในการลดระดับไขมันในเลือด ลดความดันโลหิต ยับยั้งการจับกลุ่มกันของเกร็ดเลือด สลายลิ่มเลือด (Kendler, 1987; Kunnumakkara et al., 2009), ต้านเชื้อแบคทีเรีย (Lee et al., 2003) ต้านอนุมูลอิสระ (Shobana and Naidu, 2000; Leelarungrayub et al., 2006) ลดระดับน้ำตาลในเลือด (Eidi, 2006) มีฤทธิ์ต้านมะเร็ง (Thomson and Ali, 2003; Tsubura et al., 2011) และต้านการอักเสบ (Dirsch and Vollmar, 2001; Leelarungrayub, et al., 2004; Park et al., 2012) Kumar และ Reddy (1999) ศึกษาฤทธิ์ลดระดับน้ำตาลในเลือดและฤทธิ์รังับปวดในหนูที่ได้รับการเหนี่ยวนำให้เกิดเบาหวานด้วยสาร alloxan โดยให้สารสกัดกระเทียมชั้นเอทานอล ในขนาด 45 มิลลิกรัม/กิโลกรัม น้ำหนักตัว นาน 28 วัน พบว่าสารสกัดดังกล่าวสามารถลดระดับน้ำตาลกลูโคสได้อย่างมีนัยสำคัญทางสถิติ และ เมื่อทดสอบฤทธิ์รังับปวดด้วยวิธี tail-flick, hot plate และ formalin test พบร่วมกันว่าสามารถบรรเทาอาการปวดได้อย่างมีนัยสำคัญทางสถิติ Gorji (2003) รายงานว่ากระเทียมเป็นพืชสมุนไพรที่ปราฏภูในตำราของชาวเปอร์เซีย สามารถบรรเทาอาการปวดศีรษะ แบบ cold humour headache และ Sarrell และคณะ (2003) รายงานว่ามีการใช้สมุนไพรกระเทียมเป็นส่วนประกอบของยาสมุนไพรทางเลือกที่ใช้รักษาอาการเจ็บทูในเด็ก

ปัจจุบันพบผลิตภัณฑ์กระเทียมจากการนำเข้ามาในห้องทดลอง ซึ่งได้รับความนิยมและการยอมรับจากผู้บริโภคว่าเป็นผลิตภัณฑ์ที่สามารถป้องกันโรคที่เกี่ยวข้องกับระบบหัวใจและหลอดเลือด และใช้ในผู้ป่วยหลอดเลือดแดงแข็งตัว (atherosclerosis) ไขมันในเลือดสูง(hyperlipidemia) ลิ่มเลือดอุดตัน (thrombosis) ความดันโลหิตสูง (hypertension) และเบาหวาน(diabetes) (Banerjee and Maulik, 2002)

2.3 ความเจ็บปวด

International Association for the Study of Pain (IASP) ได้ให้คำนิยามของ Pain (ความปวด) ไว้ดังนี้ : “Pain is an unpleasant sensory and emotional experience associated with actual or potential tissue damage or described in terms of such damage ” (IASP, 1979) ซึ่งแปลความได้ว่า ความเจ็บปวดเป็นประสบการณ์ที่ไม่พึงพอใจทั้งทางด้านความรู้สึกและอารมณ์ โดยมีส่วนเกี่ยวข้องกับการทำลาย หรือศักยภาพในการทำให้เกิดการทำลายของเนื้อเยื่อของร่างกาย แนวความคิดในปัจจุบันได้ยอมรับว่ามีองค์ประกอบทางมิติต่าง ๆ เข้ามาเกี่ยวข้องได้แก่มิติด้านสรีรวิทยา ด้านการรับความรู้สึก ด้านอารมณ์ ด้านความเข้าใจและพฤติกรรม ตลอดจนด้านสังคมและวัฒนธรรม กลไกการเกิดความเจ็บปวดประกอบด้วยองค์ประกอบ 3 ประการคือ สิ่งกระตุ้นความเจ็บปวด (Pain stimuli or Noxious stimuli) ตัวรับความรู้สึกเจ็บปวด (Pain receptors or Nociceptors) และวิถีประสาทนำความรู้สึกเจ็บปวด (Pain impulse pathways)

1. สิ่งกระตุ้นความเจ็บปวด (Pain stimuli or noxious stimuli) แบ่งเป็น 3 ประเภท คือ

1.1 สิ่งกระตุ้นเชิงกล (Mechanical stimuli) ได้แก่ การการทำลายเนื้อเยื่อจากการผ่าตัด

1.2 การบวมจากการอักเสบ การอุดตันของหลอดเลือด และการหดเกร็งของกล้ามเนื้อ

1.3 สิ่งกระตุ้นอุณหภูมิ (Thermal stimuli) ได้แก่ ความร้อน ความเย็น และกระแทกไฟฟ้า

สิ่งกระตุ้นที่เป็นสารเคมี (Chemical stimuli) ซึ่งมีทั้งสารเคมีภายใน และภายนอกร่างกาย สารชีวเคมีภายในร่างกายได้แก่ ฮิสตามีน (Histamine) โพรสตาแกลนдин (Prostaglandin) แบรดีคินิน (Bradykinin) และสารภายนอกร่างกาย ได้แก่ กรดด่าง สิ่งที่กระตุ้นความเจ็บปวดเหล่านี้จะไปกระตุ้นโดยตรงต่อตัวรับความเจ็บปวด (Primary afferent nociceptor) หรือความเจ็บปวดนั้นอาจเกิดขึ้นได้จากสิ่งกระตุ้นนั้นไปทำลายเนื้อเยื่อ ทำให้มีการหลั่งสารเคมีบางอย่างออกไปกระตุ้นตัวรับความเจ็บปวด ได้แก่ โพตัสเซียมไอโอน (K^+) Bradykinin Serotonin Histamine และ Neurokinin สารเหล่านี้จะกระตุ้นเซลล์ประสาทรับความรู้สึก ทำให้มีการเปลี่ยนแปลงศักย์ไฟฟ้าที่ผิวเซลล์ประสาท (Depolarization) ทำให้มีการนำกระแสประสาทเกิดขึ้น ถ่ายทอดเป็นสัญญาณประสาทส่งไปตามเส้นประสาท เข้าสู่ไขสันหลังและสมองเพื่อให้รับรู้และตอบสนองต่อความเจ็บปวด ตามลำดับ ขณะเดียวกันเนื้อเยื่อที่ถูกทำลายและมีการอักเสบจะหลั่งสารชีวเคมีบางอย่างทำให้เซลล์ประสาทรับความรู้สึกໄວต่อการกระตุ้น คือ Prostaglandin Substance P เป็นผลให้เนื้อเยื่อໄວต่อความเจ็บปวดง่ายขึ้น bradykinin และ cytokines (เช่น TNF- α , interleukin 1, interleukin 8) มีส่วนสำคัญในการทำให้เกิดความ

เจ็บปวดในภาวะที่มีการอักเสบ โดยกระตุ้นให้มีการหลั่ง prostaglandins และสารสื่อกลางอื่น ๆ ออกมากำทำให้เกิดภาวะไข้ในการรับความรู้สึกเจ็บปวด

2. ตัวรับความรู้สึกปวด (Pain receptor or nociceptors) สามารถรับการกระตุ้นจากสิ่งกระตุ้นที่เป็นอันตราย เป็นปลายประสาಥอสระ (Free nerve ending) ตัวรับความเจ็บปวดที่สำคัญมีอยู่ 3 กลุ่มใหญ่ๆ ดังนี้ กลุ่มแรก คือ ตัวรับความเจ็บปวดเชิงกลที่มีความทนต่อความเจ็บปวดในระดับสูง (High threshold) รับความรู้สึกปวดคล้ายเข็มแทง (Pain prick) และตัวรับความเจ็บปวดจากความร้อน (Heat nociceptor) ซึ่งกลุ่มนี้ ส่วนใหญ่อยู่บนผิวหนังทั้งหมด กลุ่มที่สอง คือ ตัวรับความเจ็บปวดที่มาจากหลายทาง (Polymodal nociceptor) รับสิ่งกระตุ้นที่เป็นแรงกด แรงทับ ความร้อน และสารเคมีทั้งหมด ตัวรับความเจ็บปวดชนิดนี้จะอยู่ทั่วไปทุกเนื้อเยื่อทั้งในระดับตื้น และลึกโดยเฉพาะที่อวัยวะภายใน เมื่อมีสิ่งกระตุ้นเชิงกล อุณหภูมิ และสารเคมี ปลายประสาಥอสระจะถูกกระตุ้นจนถึงระดับความทนต่อความเจ็บปวด (Pain threshold) เกิดเป็นกระแสประสาทความรู้สึกปวด (Pain impulse) ส่งไปตามเส้นประสาทสู่ไขสันหลังและสมอง สำหรับตัวรับความรู้สึกเฉพาะเรียกว่า ตัวรับความเจ็บปวดเชิงกลที่มีความทนต่อความเจ็บปวดในระดับต่ำ (Low threshold mechanoreceptor) จะรับความรู้สึกการสัมผัส การสั่นสะเทือน ถ้าถูกกระตุ้นด้วยการสั่นสะเทือนหรือการนวด จะสามารถยับยั้งสารสื่อสารกระตุ้นความเจ็บปวดได้ในระดับไขสันหลัง

3. วิถีประสาทนำความรู้สึกปวด (Pain impulse pathways) ประกอบด้วย

3.1 ไยประสาท เอ – เบต้า หรือไยประสาทใหญ่ที่มีเปลือกหุ้ม (A – beta fiber or large myelinated fiber) จะนำความรู้สึกได้เร็ว รับสัญญาณประสาทจากตัวรับความเจ็บปวดเชิงกลที่มีความทนต่อความเจ็บปวดในระดับต่ำ ซึ่งเป็นตัวรับเฉพาะ เช่นความรู้สึกสัมผัสการสั่นสะเทือน เป็นต้น

3.2 ไยประสาทเอ – เดลต้า หรือไยประสาทเล็กที่มีเปลือกหุ้ม (A – delta fiber or small myelinated fiber) ตัวรับความเจ็บปวดเชิงกลที่มีความทนต่อความเจ็บปวดในระดับสูง และตัวรับความเจ็บปวดจากความร้อน จะนำความเจ็บปวดชนิดแหลมคมหรือความรู้สึกร้อน จะนำความรู้สึกได้ช้ากว่าไยประสาทเอ – เบต้า สามารถบอกตำแหน่งที่ปวดได้ชัดเจน และความรู้สึกปวดจะหมดไปเร็ว

3.3 ไยประสาทซีหรือไยประสาทเล็กที่ไม่มีเปลือกหุ้ม (C – fiber or small unmyelinated fiber) ตัวรับความเจ็บปวดที่มาจากการหล่ายทางจะนำความรู้สึกได้ช้ากว่าไยประสาท เอ – เดลต้า โดยจะนำความเจ็บปวดแบบตื้อๆ (Dull pain) ปวดแสงปวดร้อน (Burning) หรือปวดร้าว (Aching pain) บอกตำแหน่งไม่ได้ชัดเจน

ในร่างกายมีกลไกการเกิดการปรับเปลี่ยน (modulation) ของ nociception ทำให้ปวดมากขึ้น (facilitation) หรือลดลง (inhibition) ได้ โดยในส่วนไขสันหลัง มีการเกิด Spinal modulation หรือ central sensitization :ซึ่งทั้ง stimuli และ nerve injury ทำให้มีการเปลี่ยนแปลงใน dorsal horn โดยพบการเปลี่ยนแปลงในลักษณะ dynamic คือ neuroplasticity ทำให้ตอบสนองต่อ mechanical stimuli เพิ่มมากเป็นความรู้สึกปวดมากขึ้น (secondary hyperalgesia) เรียกว่าเกิด "wind up" จากการศึกษาเกี่ยวกับ neurotransmitter พบว่าบริเวณ dorsal horn ที่ส่วนปลายของ primary nociceptive afferents มี receptor ทั้ง presynapse และ postsynapse โดย receptor ชนิด N-methyl -D- aspartate (NMDA) จะถูก excitatory amino acid คือ glutamate และ aspartate มาจับทำให้มี "wind up" และปวดมากขึ้นตรงข้ามกับ opioid, alpha adrenergic, gamma aminobutyric acid (GABA) และ serotonin receptor ที่เมื่อถูกจับด้วย neurotransmitter เผพะจะลดความปวดได้ และในระดับเหนือไขสันหลัง จะเกิด Supraspinal modulation ร่างกายปรับเปลี่ยนให้ความปวดลดลงโดยผ่านทาง descending inhibitory tract จากกระดับ brain stem (periaqueductal gray matter และ reticular formation) ส่งลงมา synapse ที่ dorsal horn โดยปล่อย inhibitory neurotransmitter (endorphins, norepinephrine) ออกมายับยั้งทำให้ความปวดลดลง

ความรู้สึกปวดจะเกิดขึ้นในส่วนของ thalamus และมีการแปลความรู้สึกที่สมองส่วน cortex และเกิด พฤติกรรมแสดงอาการปวดอุบกมา (อำนวย ถิฐะพันธ์, 2009) จากการที่กลไกความเจ็บปวดมีความซับซ้อนและ มีความเกี่ยวข้องกับสารสื่อประสาทหลายประการ ในปัจจุบันมีกลุ่มยาที่ใช้ในทางคลินิกในการบรรเทาปวดหลายกลุ่ม ซึ่งมีกลไกการออกฤทธิ์ที่เกี่ยวข้องกับ pain pathway

2.4 การอักเสบ (inflammation)

การอักเสบเป็นปฏิกิริยาตอบสนองที่ซับซ้อนของเนื้อเยื่อ ต่อสิ่งที่ก่อภัยนตราย (injurious agent) และตัวเซลล์หรือเนื้อเยื่อที่เสียหายหรือตายลง ปฏิกิริยาที่สำคัญในการอักเสบ ได้แก่ การเปลี่ยนแปลงของหลอดเลือด การเคลื่อนตัวของเซลล์เม็ดเลือดขาว (leukocyte) ออกจากหลอดเลือดเข้าสู่เนื้อเยื่อ และ/หรือการเปลี่ยนแปลงในหล่ายระบบของร่างกาย ปฏิกิริยาเหล่านี้ก็คือขั้นในระบบหลอดเลือดฝอยภายในเนื้อเยื่อ (microcirculation) เป็นปฏิกิริยาที่ช่วยปกป้องเนื้อเยื่อและกำจัดสิ่งที่ก่อภัยนตราย โดยใช้วิธี กำจัดหรือ ทำให้เจือจางหรือจำกัด

บริเวณ) รวมทั้งกำจัดเนื้อเยื่อที่เสียหายหรือตายลงด้วย ผลจากการอักเสบทำให้เนื้อเยื่อบริเวณนั้นเกิดอาการ 4 ประการ คือ ปวด (pain) บวม (swelling) แดง (redness) และร้อน (heat)

โดยทั่วไป อาจจำแนกชนิดของการอักเสบตามลักษณะการเกิดโรคทางคลินิก และระยะเวลาที่เกิดปฏิกิริยาการอักเสบ โดยแบ่งออกเป็น การอักเสบเฉียบพลัน (acute inflammation) มีอาการของการอักเสบในช่วงเวลาเป็นนาที ชั่วโมงหรือวัน และการอักเสบเรื้อรัง (chronic inflammation) มีอาการของการอักเสบในช่วงเวลาหลายสัปดาห์หรือหลายเดือน นอกจากนี้ ยังพบความแตกต่างของชนิดของสารสื่อกลาง (chemical mediator) ในการอักเสบที่พับเป็นหลักในการอักเสบเฉียบพลันและการอักเสบเรื้อรัง การอักเสบแบบเรื้อรังจะส่งผลทำให้เนื้อเยื่อหรืออวัยวะบริเวณนั้นเกิดความเสียหายหรือพิการได้

สารสื่อกลางการอักเสบ (Inflammatory mediators) ในการอักเสบมีแหล่งที่มาจาก plasma โดยอยู่ในรูปของสารตั้งต้น (precursor) หรือหลั่งออกมายโดยเซลล์บางชนิด mediator เหล่านี้จะไปจับกับ receptor ซึ่งมีความจำเพาะต่อกันบนเซลล์ต่างๆที่มีบทบาทในการอักเสบ ซึ่งจะถูกกระตุ้นให้มีปฏิกิริยาเกี่ยวข้องกับกระบวนการอักเสบได้แตกต่างกันไปตามชนิดของ mediator และชนิดของเซลล์ที่เป็นเป้าหมาย (target cell) mediator ส่วนใหญ่มีอายุสั้น มีระยะเวลาการออกฤทธิ์ไม่นาน mediator บางชนิดกระตุ้นให้เซลล์สร้าง secondary mediator ต่อไปอีกเป็นการขยายผลปฏิกิริยาการอักเสบ Mediator กลุ่มที่สำคัญได้แก่ (สุรพันธุ์ คุณอมรพงศ์, 2555; ปราโมทย์ มหาณาร, 2553)

1. Vasoactive amine ได้แก่ histamine และ serotonin
2. Nitric oxide (NO) เป็น free radical gas ที่ละลายในน้ำได้ จัดเป็น inflammatory mediator ที่สำคัญในกระบวนการอักเสบ สร้างขึ้นโดย activated macrophage และ endothelial cell ออกฤทธิ์สั้นและเฉพาะที่ มีฤทธิ์สำคัญในการส่งเสริมการอักเสบ ได้แก่ ทำให้หลอดเลือดขยายตัว เพิ่มความสามารถในการซึมผ่านของผนังหลอดเลือด ทำให้เกิดอาการบวมในบริเวณที่มีการอักเสบและออกฤทธิ์เป็น cytotoxic free radical NO ถูกสร้างขึ้นโดยเอนไซม์ inducible nitric oxide synthase (iNOS) ซึ่งจัดเป็น inducible enzyme โดยจะถูกขักนำให้สร้างขึ้นเป็นปริมาณมากจากสาร pro-inflammatory cytokine และ endotoxin
3. Arachidonic acid (AA) metabolites ได้แก่ prostaglandins และ leukotrienes หรือเรียกรวมกันว่า eicosanoids สาร prostaglandins ถูกสร้างขึ้นจากเอนไซม์ cyclooxygenase มีฤทธิ์ในการกระตุ้นการอักเสบเกือบทุกขั้นตอน ทั้ง PGI₂ และ PGE₂ มีบทบาทสำคัญในการขยายหลอดเลือด โดยการเพิ่ม cAMP

และลดปริมาณแคลเซียมในเซลล์กล้ามเนื้อเรียบก่อให้เกิดการบวมและการเพิ่มปริมาณเม็ดเลือดขาวโดยการเพิ่มการไหลเวียนในบริเวณที่มีการอักเสบ สาร PGE₂ มีบทบาทในการ เหนี่ยวนำการสร้าง inflammatory mediator อื่นๆ อีกหลายชนิด ทำให้เกิดอาการปวด บวม แดง และมีไข้ ในปัจจุบันมีการผลิตและจำหน่ายยาต้านการอักเสบที่ไม่ใช่สเตียรอยด์ (non-steroidal anti-inflammatory drugs : NSAIDs) โดยมีกลไกการออกฤทธิ์ที่สำคัญคือ ยับยั้งสาร prostaglandins ที่ก่อให้เกิดการอักเสบ ยกตัวอย่าง NSAIDs ให้ผลในการต้านการอักเสบที่มีกรณีที่ผู้ป่วยมีอาการอักเสบเรื้อรัง อาจต้องให้ในระยะเวลานานทำให้มีผลยับยั้งการสร้าง prostaglandins ซึ่งเป็น protective mediators ในระบบอาหารถูกยับยั้งไปด้วย ดังนั้น เยื่อบุกระเพาะอาหารจึงถูกทำลายโดยกรดเพิ่มมากขึ้น เมื่อใช้ยากลุ่มนี้เป็นเวลานานจะพบอาการไม่พึงประสงค์ได้บ่อย เช่น ปวดท้อง เป็นแผลในระบบทางเดินอาหาร ส่วนยาที่มีผลข้างเคียงต่ำยังมีราคาค่อนข้างสูง

4. Cytokines เป็น polypeptides ที่สังเคราะห์โดยเซลล์หล่ายชนิด เช่น mononuclear phagocytes, lymphocytes, endothelial และ epithelial cells, fibroblasts และ chondrocytes โดย cytokines มีบทบาทสำคัญทั้งในกระบวนการอักเสบแบบเฉียบพลันและการอักเสบแบบเรื้อรัง Tumor necrosis factor (TNF)-α จัดเป็นสารไซโตคีนที่ก่อให้เกิดการอักเสบ (proinflammatory cytokine) มีฤทธิ์ทำลายเนื้อเยื่อ และกระตุ้นการผลิตสารตัวกลางสำหรับกระบวนการอักเสบ (inflammatory mediator) หล่ายชนิด เช่น interleukin-1 (IL-1) interleukin 6 (IL-6) interleukin 8 (IL-8) และ granulocyte monocyte colony stimulating factor (GM-CSF) กระตุ้นให้มีการรวมตัวของเซลล์เม็ดเลือดขาวบริเวณที่มีการอักเสบเพิ่มมากขึ้น และกระตุ้น gene expression และการสังเคราะห์โปรตีนในเซลล์หล่ายชนิดที่เกี่ยวข้องและก่อให้เกิดการอักเสบ

5. Oxygen-derived free radicals

6. สารสื่อกลางที่สร้างขึ้นจากสารประกอบใน plasma ได้แก่ complement system, kinin system และ clotting system

7. Platelet-activating factor มีฤทธิ์กระตุ้น platelet aggregation และ degranulation

8. สารที่หลั่งจากเม็ดเลือดขาว neutrophil และ monocyte

9. สารสื่อกลางชนิดอื่น neuropeptides (substance P) ทำให้เกิดการหดตัวของหลอดเลือดและเพิ่มการซึมผ่านของผนังหลอดเลือด

รายงานการศึกษาเกี่ยวกับสารสื่อกลางการอักเสบ (inflammatory mediators) ข้างต้นที่ให้เห็นว่า การยับยั้งการทำงานของ mediators ที่สำคัญในกระบวนการอักเสบจะเป็นแนวทางสำคัญในการบรรเทาอาการอักเสบ ตั้งนั้นยาหรือสารเคมีที่สามารถยับยั้งการสร้างหรือยับยั้งการทำงานของ iNOS, COX-2, TNF- α , IL-1 β และ IL-6 ได้ก็จะสามารถยับยั้งหรือบรรเทาการอักเสบได้

บทที่ 3

ระเบียบวิธีวิจัย

(Methodology)

3.1 สารเคมี วัสดุอุปกรณ์และสัตว์ทดลอง

3.1.1 สารเคมี (Chemicals)

95% Ethanol, Morphine sulfate (1 mg/ml) (สำนักงานคณะกรรมการอาหารและยา กระทรวงสาธารณสุข), Normal saline (0.9%NaCl)

Molecular biology agarose (Bio-Rad, Spain), 1kb DNA ladder (Promega, USA), Blue/Orange 6X loading dye (Promega, USA), Primer β -actin, iNOS, COX-2, COX-1, TNF- α , IL-1 β , IL-6 (Eurofins MWG Operon, Germany), Tris base, glacial acetic acid, EDTA (Ajax/Australia), Omiscript RT Kit (QIAGEN, Germany), TopTaq MasterMix kit (QIAGEN, Germany), Novel Juice (GeneDirex), RNA extraction kit (GE Healthcare, UK), 3-[4, 5-dimethylthiazol-2-yl]-2,5-diphenyl tetra-zolium bromide (Invitrogen, USA), DMEM (Dulbecco's modification of Eagle's medium, Invitrogen, UK), FBS (Fetal bovine serum, Invitrogen, UK), *Escherichia coli* lipopolysaccharide (*E. coli* LPS, QIAGEN, Germany), RNase free DNase Set (QIAGEN, Germany)

Folin-Ciocalteau reagent, Sodium carbonate, Gallic acid, Methanol A.R.Grade

Quercetin dihydrate, Aluminium chloride, Potassium acetate

3.1.2 วัสดุอุปกรณ์ (Instruments)

Percolator, เครื่องระเหยสาร (Rotary evaporator; Buchi Rotavapor, R-134, Switzerland), เครื่องระเหยแห้ง (Christ Laboratory Freeze dryer, UK)

เครื่องซั่งน้ำหนักสัตว์ทดลอง Mettler-Toledo Model AT 200, Switzerland, Hot-plate apparatus (Socrel model-DS37), Syringe ขนาด 0.5 มิลลิลิตร & needle no.26, Tail-flick analgesia meter (Harvard Apparatus), Mouse restrainers, Mouse cages

เครื่องปั่นหัวรี่ง (Centrifuge), ตู้เพาะเลี้ยงเซลล์ (CO_2 incubator), Autoclave, Laminar air flow cabinet, Microplate reader (Bio-Rad, Model 680, USA), Gel casting platform, Horizontal gel electrophoresis apparatus, Thermal cycler PCR (AB Applied Biosystems GeneAmp PCR system 2400), Gel Documentation InGenius L (Gel Documentation and Analysis system), UV spectrophotometer

3.1.3 สัตว์ทดลอง

หนูถีบจักร (Mouse) เพศผู้ พันธุ์ ICR ที่ใช้จัดซื้อมาจากสำนักสัตว์ทดลองแห่งชาติ มหาวิทยาลัยมหิดล ศala ya มีน้ำหนักอยู่ ระหว่าง 18-20 กรัม นำหมูมาเลี้ยงไว้ในห้องเลี้ยงสัตว์ทดลองล่วงหน้าอย่างน้อย 1 สัปดาห์ เพื่อให้คุณเคยกับสภาวะแวดล้อมในห้องเลี้ยงสัตว์ทดลองที่ควบคุมอุณหภูมิ $25 \pm 2^\circ\text{C}$ ควบคุมความชื้นและความ สว่างโดยเปิดและปิดไฟทุก 12 ชั่วโมง ความชื้นสัมพัทธ์ 50-60% โดยให้อาหารเม็ดสำเร็จรูปตามมาตรฐานของ สำนักงานสัตว์ทดลองแห่งชาติ ทรงที่ใช้เลี้ยงหนูทดลองจะปูรองพื้นด้วยฟิล์มที่ผ่านการอบฆ่าเชื้อโรคเพื่อใช้ดูด ซับอุจจาระและปัสสาวะ ที่ทรงจะมีช่องสำหรับให้น้ำและอาหารแก่หนู โดยหนูสามารถกินและดื่มน้ำได้ ตลอดเวลา ในวันที่ทำการทดลองซึ่งน้ำหนักหนูแต่ละตัวจะเดินทางมาที่ห้องทดลองแต่ละตัวเพื่อแสดงกลุ่มและ หมายเลขของหนู

3.2 วิธีการดำเนินงานวิจัย (Methods)

3.2.1 การเตรียมสารสกัดจากหอมแดง (*Allium ascalonicum* L.) และสารสกัดจากกระเทียม (*Allium sativum* L.) ในเอทานอล

- ดำเนินการซื้อหัวหอมและกระเทียมจากร้านค้าในจังหวัดศรีสะเกษ ตรวจสอบซื้อวิทยาศาสตร์ให้ ถูกต้องและเก็บตัวอย่างไว้ที่คณะเภสัชศาสตร์ มหาวิทยาลัยอุบลราชธานี
- นำส่วนหัวของหอมแดงและกระเทียมมาปอกเปลือกและปั่นย่อยให้มีขนาดเล็กลง จากนั้นนำมาใส่ลง ใน percolator ไม่ให้อัดแน่นจนเกินไป (เป็นการหมักหัวหอมแดงและหัวกระเทียมในเครื่อง percolator)
- นำ 95% เอทานอล ใส่ลงใน percolator ที่ใส่พีชลงไปแล้วโดยให้ท่วมพีชขึ้นมาประมาณ 1 นิ้ว ปิด ปาก percolator ด้วย aluminium foil ทิ้งไว้ 24 ชั่วโมง
- เมื่อครบ 24 ชั่วโมงแล้วใช้สารสกัดออกเก็บไว้ แล้วเติม 95% เอทานอล เข้าไปใหม่ให้ท่วมพีชขึ้นมา

ประมาณ 1 นิ้ว ปิดปาก percolator ด้วย aluminium foil และทิ้งไว้ 48 ชั่วโมง จึงไขออก

5. รวบรวมสารละลายที่สกัดได้มาทำให้เข้มข้นโดยใช้เครื่องระเหยแห้งแบบความดันต่ำ (rotary evaporator) เพื่อระเหยตัวทำละลายออกให้หมด
6. จากนั้น นำสารสกัดที่ได้มาทำให้แห้งด้วยวิธีการ freeze dry เพื่อระเหยน้ำออกไป เก็บสารสกัดหอม และกระเทียมในอุณหภูมิในภาชนะปิดสนิทเพื่อทดสอบคุณภาพ
7. คำนวณหา % yield จากสมการ
$$\% \text{ yield} = \frac{\text{น้ำหนักพืชที่สกัดได้}}{\text{น้ำหนักพืชแห้ง}} \times 100$$



หอมแดง - shallot

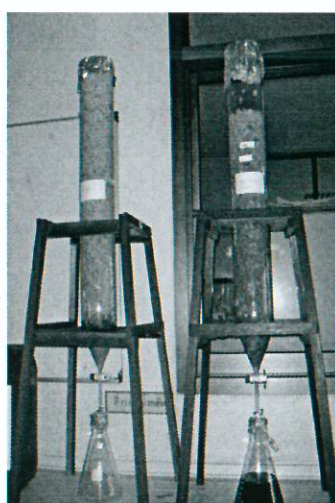
(*Allium ascalonicum* L.)



กระเทียม - Garlic

(*Allium sativum* L.)

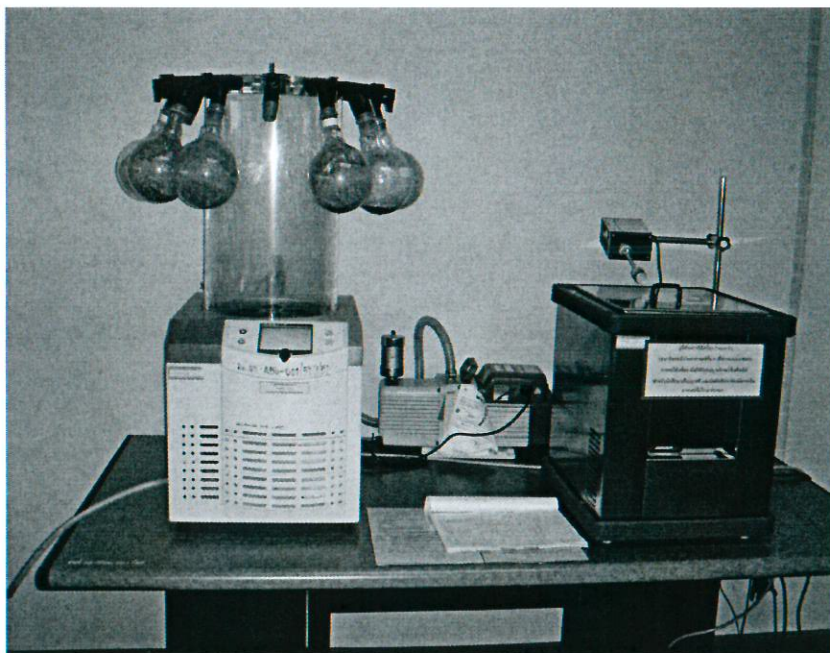
รูปที่ 3-1 ตัวอย่างหัวหอมแดงและหัวกระเทียม



รูปที่ 3-2 การหมักหัวหอมแดงและหัวกระเทียมในเครื่อง Percolator



รูปที่ 3-3 การระเหยแห้งโดยใช้เครื่อง Rotary evaporator



รูปที่ 3-4 การทำให้สารสกัดแห้งโดยใช้เครื่อง Freeze dryer

3.2.2 การศึกษาผลของสารสกัดหอมแดงและสารสกัดกระเทียมต่อการระงับความปวดในสัตว์ทดลอง (Animal models)

3.2.2.1 การทดสอบฤทธิ์ระงับปวดด้วย Mouse Hot-Plate Method (Woolfe and Macdonald, 1944)



รูปที่ 3-5 เครื่องมือ Hot-plate analgesia meter

หลักการ เนี่ยวนำให้หนูเกิดความเจ็บปวดด้วยความร้อน โดยวางหนูลงบนแผ่นความร้อน และวัดระยะเวลาที่หนูสามารถทนต่อความร้อนได้โดยไม่ยกอุ้งเท้าหลังขึ้นมาเลียหรือกระโดดอย่างแรง หนูที่ได้รับยาจะรับประคบซึ่งออกฤทธิ์ระงับปวดในระดับไขสันหลังและระดับเหนือสันหลังจะสามารถทนต่อความร้อนได้นานขึ้น

วิธีทดลอง ใช้หนูเม้าส์ เพศผู้ น้ำหนักระหว่าง 18-25 กรัม โดยหนูแต่ละตัวจะถูกวางลงบน hot-plate surface ซึ่งตั้งอุณหภูมิไว้ที่ 55 ± 0.5 องศาเซลเซียส ครอบด้วยแก้วใส แบ่งหนูเป็นกลุ่มด้วยวิธีสุ่ม กลุ่มละ 10 ตัว แต่ละกลุ่มทำ pre-drug baseline trials 3 ครั้งห่างกันครั้งละ 10 นาที โดยมี cut-off time ที่ 45 วินาทีเพื่อป้องกันการเกิดอันตรายต่อเนื้อเยื่อของสัตว์ทดลอง สังเกตพฤติกรรมการเลียอุ้งเท้าหลัง หรือกระโดดอย่างรุนแรง บันทึกเวลาที่สัตว์ทดลองแสดงพฤติกรรมนั้น หนูที่มี pre-drug baseline มากกว่า 45 วินาที จะถูกตัดออกจากทดลอง (หนูตัวที่มี pre-drug baseline มากกว่า 45 วินาทีจะถูกตัดออกจากทดลอง เนื่องจาก การที่หนูทดลองที่สามารถทนความร้อนเมื่อถูกวางบน hot-plate โดยไม่เลียอุ้งเท้าหลังหรือกระโดดอย่างรุนแรง

มี pre-drug baseline หากกว่าค่า cut-off time ที่ 45 วินาที อาจเกิดจากพฤติกรรมของหนูทดลองนั้นที่สามารถทนต่อความปวดได้มาก ตัวกระตุ้นด้วยแผ่นความร้อนไม่สามารถกระตุ้นให้หนูเกิดความเจ็บปวดและเกิดการตอบสนองต่อความเจ็บปวดได้ เมื่อให้สารทดสอบหนูทดลองอาจยังคงสามารถกอดอยู่บน hot-plate โดยไม่เลี่ยงเท้าหลังหรือกระโดดอย่างรุนแรงโดยใช้เวลานานใกล้เคียงกับค่า cut-off time ที่ 45 วินาทีด้วย ซึ่งจะทำให้ไม่สามารถสรุปผลการทดสอบที่รีจับปวดได้ว่าเกิดจากสารทดสอบหรือไม่ โดยการแปลผลการทดสอบจะหาค่า %MPE ของหนูแต่ละตัวในแต่ละช่วงเวลา (นำ pre-drug baseline ครั้งที่ 2 และ 3 มาหาค่าเฉลี่ยเพื่อใช้เป็น baseline ของหนูตัวนั้น จากนั้นให้สารทดสอบในขนาดต่าง ๆ 5 ความเข้มข้น ยาระจับปวดมาตรฐาน (morphine 10 มิลลิกรัม/กิโลกรัมน้ำหนักตัว) หรือ vehicle ทางช่องท้อง แล้วทำการทดสอบ post-drug latency ที่เวลา 15, 30, 45, 60, 90, 120 และ 240 นาทีหลังให้ยา

วิธีคำนวณ หาค่า Test latency (TL) ของหนูแต่ละตัว โดยค่า

$$\text{Mean of Baseline TL} = (\text{TL ครั้งที่ } 2 + \text{TL ครั้งที่ } 3) / 2$$

แปลผลเป็น % MPE (percent maximum possible effect) ของหนูแต่ละตัวในแต่ละช่วงเวลาโดย

$$\% \text{ MPE} = [(TL \text{ หลังได้รับสารทดสอบ} - \text{baseline TL}) / (\text{cut-off time} - \text{baseline TL})] \times 100$$

ค่า Cut-off time = 45 วินาที

คำนวณพื้นที่ใต้กราฟ (Area under the curve, AUC) ของแต่ละกลุ่ม พื้นที่ใต้กราฟที่ได้คือ Area of analgesia

สำหรับ Mean of Baseline Test Latency สามารถคำนวณได้จากค่าเฉลี่ยของ Test Latency ครั้งที่สองและครั้งที่สาม จากการทดสอบ pre-drug baseline สามครั้ง โดยครั้งที่หนึ่งจะเป็นการปรับให้หนูทดลองมีความคุ้นเคยกับสภาพของการทดลองก่อน จึงไม่นำค่า Test Latency ครั้งที่หนึ่งมาคำนวณด้วย)

การศึกษาใน Mouse hot-plate method ประกอบด้วย การศึกษา dose-response curve ของสารสกัดห้อมแดงและสารสกัดกระเทียมชั้นเอทานอล ขนาดตั้งแต่ 100 – 1200 มิลลิกรัม/กิโลกรัมน้ำหนักตัว

ในแต่ละการทดลอง แบ่งหนูออกเป็น 12 กลุ่ม กลุ่มละ 10 ตัว ใช้หนูจำนวน 120 ตัวต่อ 1 การทดลอง ย่อย โดยทำการแบ่งกลุ่ม ดังนี้

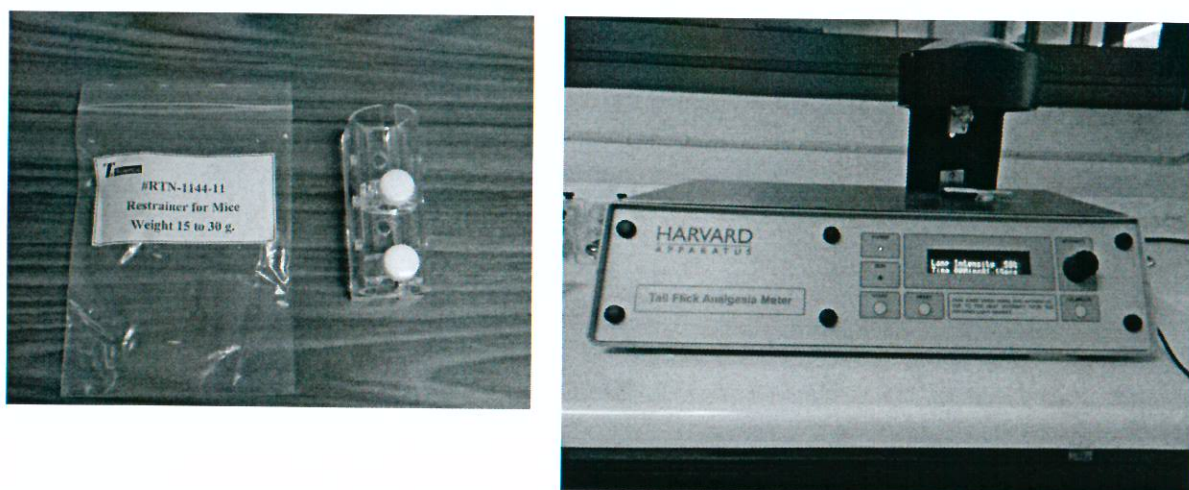
กลุ่มที่ 1 จัดเป็นกลุ่มควบคุม ให้ตัวทำละลาย

กลุ่มที่ 2 ให้ยาระงับปวดมาตรฐาน (morphine 10 มิลลิกรัม/กิโลกรัมน้ำหนักตัว)

กลุ่มที่ 3-7 ให้สารสกัดathomแดงเพื่อทดสอบฤทธิ์ระงับปวด ขนาดตั้งแต่ 100 – 1200 มิลลิกรัม/กิโลกรัมน้ำหนักตัว

กลุ่มที่ 8-12 ให้สารสกัดกระเทียมเพื่อทดสอบฤทธิ์ระงับปวด ขนาดตั้งแต่ 100 – 1200 มิลลิกรัม/กิโลกรัมน้ำหนักตัว

3.2.2.2 การทดสอบฤทธิ์ระงับปวดด้วย Mouse Tail-Flick Method (D'Amour and Smith, 1941)



รูปที่ 3-6 Mouse restrainer และเครื่องมือ Tail-flick analgesia meter
หลักการ เหนี่ยวนำให้หนูเกิดความเจ็บปวดด้วยรังสีความร้อน โดยใช้แสงส่องลงบนหางหนู และวัดระยะเวลาที่หนูสามารถทนต่อรังสีความร้อนได้โดยไม่สะบัดหางหนาน้ำเงิน หนูที่ได้รับยาจะระงับปวดซึ่งออกฤทธิ์ระงับปวดในระดับไขสันหลังจะสามารถทนต่อรังสีความร้อนได้นานขึ้น

วิธีทดลอง ใช้หนูเม้าส์ เพศผู้ น้ำหนักระหว่าง 18-25 กรัม แบ่งหนูเป็นกลุ่มด้วยวิธีสุ่ม กลุ่มละ 10 ตัว หนูแต่ละตัวจะถูกใส่ไว้ใน Plexiglass restrainer ที่สามารถให้หางหนูลอดออกมากได้ ระยะหางหนูด้วยสีดำให้มีขนาด 1 เซนติเมตรที่ตำแหน่ง 4 เซนติเมตรจากปลายหาง นำหางหนูมาวางลงบน Tail-flick analgesic meter ซึ่งตั้งความเข้มของแสงคงที่ที่ 3.7 °A ให้ตำแหน่งที่แสงส่องผ่านอยู่ตรงกลางของส่วนที่ทำเครื่องหมายไว้ สังเกต

และบันทึกเวลาที่หนูสะบัดหางออกจากแสง โดยมี cut-off time ที่ 4 วินาที ทำ pre-drug baseline trials 3 ครั้งทั่งกันครั้งละ 10 นาที (หนูตัวที่มี pre-drug baseline มาากกว่า 4 วินาทีจะถูกตัดออกจากทดลอง เนื่องจาก การที่หนูทดลองที่สามารถสะบัดหางออกจากแสงมี pre-drug baseline มาากกว่าค่า cut-off time ที่ 4 วินาที อาจเกิดจากพฤติกรรมของหนูทดลองนั้นที่สามารถทนต่อความปวดได้มาก ตัวกระตุนด้วยความร้อนที่ หางไม่สามารถกระตุนให้หนูเกิดความเจ็บปวดและเกิดการตอบสนองต่อความเจ็บปวดได้ เมื่อให้สารทดสอบหนู ทดลองอาจยังคงสามารถสะบัดหางออกจากแสงโดยใช้เวลานานใกล้เคียงกับค่า cut-off time ที่ 4 วินาทีด้วย ซึ่ง จะทำให้ไม่สามารถสรุปผลการทดสอบถูกหรือผิดได้ว่าเกิดจากสารทดสอบหรือไม่ โดยการแปลผลการทดสอบ จะหาค่า %MPE ของหนูแต่ละตัวในแต่ละช่วงเวลา) จากนั้นให้สารทดสอบ ในขนาดต่าง ๆ 5 ความเข้มข้น ยา ระงับปวดมาตรฐาน (morphine 10 มิลลิกรัม/กิโลกรัมน้ำหนักตัว) หรือ vehicle ทางช่องท้อง แล้วทำการ ทดสอบ post-drug latency ที่เวลา 15, 30, 45, 60, 90, 120 และ 240 นาทีหลังให้ยา

วิธีคำนวณ หาค่า Test latency (TL) ของหนูแต่ละตัว โดยค่า

$$\text{Mean of Baseline TL} = (\text{TL ครั้งที่ } 2 + \text{TL ครั้งที่ } 3) / 2$$

แปลผลเป็น % MPE (percent maximum possible effect) ของหนูแต่ละตัวในแต่ละช่วงเวลาโดย

$$\% \text{ MPE} = [(TL \text{ หลังได้รับสารทดสอบ- baseline TL}) / (\text{cut-off time} - \text{baseline TL})] \times 100$$

ค่า Cut-off time = 4 วินาที

คำนวณพื้นที่ใต้กราฟ (Area under the curve, AUC) ของแต่ละกลุ่ม พื้นที่ใต้กราฟที่ได้คือ Area of analgesia

สำหรับ Mean of Baseline Test Latency สามารถคำนวณได้จากค่าเฉลี่ยของ Test Latency ครั้งที่ ส่องและครั้งที่สาม จากการทดสอบ pre-drug baseline สามครั้ง โดยครั้งที่หนึ่งจะเป็นการปรับให้หนูทดลองมี ความคุ้นเคยกับสภาวะของการทดลองก่อน จึงไม่นำค่า Test Latency ครั้งที่หนึ่งมาคำนวณด้วย)

การศึกษาใน Mouse tail-flick method ประกอบด้วย การศึกษา dose-response curve ของสาร สกัดหอมแดงและสารสกัดกระเทียมขั้นเօราโนล ขนาดตั้งแต่ 100 – 1200 มิลลิกรัม/กิโลกรัมน้ำหนักตัว ในแต่ ละการทดลอง แบ่งหนูออกเป็น 12 กลุ่ม กลุ่มละ 10 ตัว ใช้หนูจำนวน 120 ตัวต่อ 1 การทดลองย่อย โดยทำการ แบ่งกลุ่ม ดังนี้

กลุ่มที่ 1 จัดเป็นกลุ่มควบคุม ให้ตัวทำละลาย

กลุ่มที่ 2 ให้ยาอะจับปวดมาตรฐาน (morphine 10 มิลลิกรัม/กิโลกรัมน้ำหนักตัว)

กลุ่มที่ 3-7 ให้สารสกัดหอมแดงเพื่อทดสอบฤทธิ์อะจับปวด ขนาดตั้งแต่ 100 – 1200 มิลลิกรัม/กิโลกรัมน้ำหนักตัว

กลุ่มที่ 8-12 ให้สารสกัดกระเทียมเพื่อทดสอบฤทธิ์อะจับปวด ขนาดตั้งแต่ 100 – 1200 มิลลิกรัม/กิโลกรัมน้ำหนักตัว

3.2.3 การศึกษากลไกการออกฤทธิ์ต้านการอักเสบจากการสกัดหอมแดงและกระเทียมในเซลล์เพาะเลี้ยงมาโครฟاج RAW 264.7

3.2.3.1 การเลี้ยงเซลล์

เลี้ยงเซลล์ Murine macrophage (RAW 264.7) ใช้อาหารเลี้ยงเซลล์ที่ประกอบด้วย DMEM, 10% FBS และ 1% penicillin-streptomycin เลี้ยงภายใต้สภาวะที่มี CO_2 5%, 37 °C

3.2.3.2 การศึกษาความเป็นพิษของสารสกัดหอมแดงและกระเทียมต่อเซลล์เพาะเลี้ยงมาโครฟاج RAW 264.7 ด้วยวิธี MTT reduction assay (Mossmann, 1983)

หลักการ เอนไซม์ mitochondrial dehydrogenase ในเซลล์ที่มีชีวิตสามารถเปลี่ยน MTT ซึ่งเป็นสาร tetrazolium salt (3-(4, 5-Dimethylthiazol-2-yl)-2,5-diphenyl tetrazolium bromide) เป็นผลึกสีม่วงที่ไม่ละลายน้ำ (violet formazan crystal) เมื่อละลายด้วยตัวทำละลายอินทรีย์ ความเข้มข้นของการดูดกลืนแสงจะเป็นปฏิภาคโดยตรงกับเซลล์ที่มีชีวิตและการแบ่งตัวเพิ่มจำนวนของเซลล์โดยสามารถตรวจวัดการดูดกลืนแสงของ formazan ที่ 570 นาโนเมตร

ทดสอบเพื่อหาความเข้มข้นที่เหมาะสมของสารสกัดที่ไม่เป็นพิษต่อเซลล์ โดยเพาะเลี้ยงเซลล์ RAW 264.7 ให้มีจำนวน 10^4 cells/well ใน 96 well plate แล้ว incubate ใน CO_2 incubator, 5% CO_2 เป็นเวลา 24 ชั่วโมง จากนั้นเติมสารสกัดความเข้มข้น 0.03125, 0.0625, 0.125, 0.250 และ 0.50 มิลลิกรัม/มิลลิลิตร แล้ว incubate ใน CO_2 incubator, 5% CO_2 , 37 องศาเซลเซียสเป็นเวลา 24 ชั่วโมง เปลี่ยนอาหารเลี้ยงเซลล์

และเติมสาร MTT วัดสี formazan ที่เกิดจากการทำงานของ mitochondrial dehydrogenases ซึ่งเป็นตัวชี้วัดการรอดชีวิตของเซลล์ โดยใช้เครื่อง microplate reader ที่ 570 นาโนเมตรทำซ้ำ 3 ครั้ง

(หมายเหตุ สำหรับการทดสอบ MTT จาก preliminary study ในโครงการ NRCT-JSPS joint research program เป็นการศึกษาความเป็นพิษของสารสกัดathomแดงและกระเทียมต่อเซลล์เพาะเลี้ยงมาโคโรฟ่าจ RAW 264.7 ด้วยวิธี MTT reduction assay โดยศึกษาผลของสารสกัดathomแดงและกระเทียมในช่วงความเข้มข้น 0-1.0 มิลลิกรัม/มิลลิลิตร และทำการทดลองโดยคัดกรองเบื้องต้น จึงมีจำนวนการทดลองไม่เพียงพอ จึงต้องทำการทดลองเพื่อหาความเข้มข้นของสารสกัดathomแดงและกระเทียมที่เหมาะสม ไม่เกิดความเป็นพิษต่อเซลล์ใหม่ เพื่อใช้ในการทดสอบต่อการแสดงออกของยีนที่เกี่ยวข้องกับการอักเสบต่อไป)

3.2.3.3 การศึกษาผลสารสกัดathomแดงและสารสกัดกระเทียมต่อการแสดงออกของยีน inducible nitric oxide (iNOS), cyclooxygenase (COX)-2, COX-1, TNF- α , IL-1 β และ IL-6 ในเซลล์เพาะเลี้ยงมาโคโรฟ่าจที่ถูกกระตุ้นด้วย *E. coli* LPS โดยการตรวจการเปลี่ยนแปลงของระดับ mRNA ที่มีการสังเคราะห์ขึ้นโดยใช้เทคนิค Reverse Transcriptase-Polymerase Chain Reaction (RT-PCR)

วิธีการและขั้นตอนการสกัด RNA และ reverse transcription-polymerase chain reaction

1. Split cell ความเข้มข้น 10^6 cells/ml ปริมาตร 1 ml ลงใน 12 well plate จากนั้น incubated เป็นเวลา 24 ชั่วโมง
2. เติมสารทดสอบ ความเข้มข้นที่กำหนด incubated เป็นเวลา 22 ชั่วโมง
3. กระตุ้นด้วย *E. coli* LPS แล้ว incubated ต่ออีก 2 ชั่วโมง
4. เก็บ และสกัด RNA โดยใช้ RNA extraction kit (GE Healthcare, UK) และใช้วิธีการสกัดตามที่ระบุมาในชุดสกัด ซึ่งประกอบด้วยขั้นตอนการทำให้เซลล์แตก และตามด้วยการทำให้ขั้นส่วนของเซลล์ที่แตกนั้นมีขนาดลดลง และเมื่อใช้ Column ที่สามารถจับกับ RNA ได้ total RNA จะจับอยู่บริเวณ Column นี้ จากนั้นล้างด้วยบัฟเฟอร์ต่างๆ และกำจัด DNA ที่ปนเปื้อนด้วย DNase enzyme สุดท้ายล้าง RNA ที่ได้ออกจาก Column โดยใช้น้ำที่ไม่มี RNase วัดปริมาณ total RNA ที่ได้ด้วย UV spectrophotometer ที่ 260 และ 280 นาโนเมตร แล้วคำนวณหาปริมาณ total RNA ที่ได้ โดยใช้สูตร

$$\text{Concentration of RNA sample} = 40 \mu\text{g/ml} \times A_{260} \times \text{dilution factor}$$

ใช้ Omiscript RT Kit (QIAGEN, Germany) เปลี่ยน RNA เป็น cDNA โดยเอนไซม์ reverse transcriptase ซึ่งใช้ปริมาณ RNA เริ่มต้น 40 ng แล้วตรวจหาปริมาณของ β -actin, iNOS, COX-2, COX-1, TNF- α , IL-1 β และ IL-6 ด้วยวิธี RT-PCR ซึ่งใช้ cDNA เริ่มต้น 3 μ โดยใช้ primer สำหรับ β -actin, iNOS, COX-2, COX-1, TNF- α , IL-1 β และ IL-6 ดังแสดงในตารางที่ 1 เพิ่มปริมาณ cDNA ด้วยเครื่อง thermal cycler PCR แต่ละยืนใช้ 27 รอบในการเพิ่มปริมาณซึ่งระบบที่ใช้ดังตารางที่ 3-2

ตารางที่ 3-1 Oligonucleotide primers ที่ใช้ในกระบวนการ RT-PCR

| Genes | Primer | Sequence : (5'-3') | Expected sizes (bp) | References |
|----------------|---------|-----------------------------|---------------------|------------------------|
| β -actin | Forward | TCATGAAGTGTGACGTTGACATCCGT | 285 | Won et al. (2006) |
| | Reverse | CCTAGAACATTTGCAGGTGCACGATG | | |
| iNOS | Forward | AATGGCAACATCAGGTCGGCCATCACT | 454 | Won et al. (2006) |
| | Reverse | GCTGTGTGTACAGAAGTCTCGAACTC | | |
| IL-1 β | Forward | CAGGATGAGGACATGAGCACC | 447 | Sugawara et al. (2003) |
| | Reverse | CTCTGCAGACTCAAACCTCCAC | | |
| IL-6 | Forward | CATCCAGTTGCCTTCTTGGGA | 463 | Sugawara et al. (2003) |
| | Reverse | GCATTGGAAATTGGGGTAGGAAG | | |
| TNF- α | Forward | ATGAGCACAGAAAGCATGATC | 276 | Won et al. (2006) |
| | Reverse | TACAGGCTTGTCACTCGAATT | | |
| COX-2 | Forward | GGAGAGACTATCAAGATAGT | 861 | Won et al. (2006) |
| | Reverse | ATGGTCAGTAGACTTTACA | | |
| COX-1 | Forward | AGTGCAGGTCCAACCTTATCC | 382 | Won et al. (2006) |
| | Reverse | CCGCAGGTGATACTGTCGTT | | |

ตารางที่ 3-2 ระบบที่ใช้ในการเพิ่มปริมาณ DNA

| Genes | Denaturation / RT Inactivation | For Cycles | | | Final Extension | Hold |
|----------------|--------------------------------|------------------|------------------|-------------------|------------------|------|
| | | Denaturation | Annealing | Extension | | |
| β -actin | 95 °C, 2 min | 94 °C, 1 min | 60 °C, 1 min | 72 °C, 1 min | | |
| iNOS | 95 °C, 2 min | 95 °C, 1 min | 60 °C, 1 min | 72 °C, 1.5 min | | |
| COX-2 | 95 °C, 2 min | 94 °C, 1 min | 60 °C, 1 min | 72 °C, 1 min | | |
| COX-1 | 95 °C, 2 min | 94 °C, 1 min | 55 °C, 1 min | 72 °C, 1 min | | |
| TNF- α | 94 °C, 2 min | 94 °C, 15 Sec | 60 °C, 1 min | 72 °C, 1 min | | |
| IL-1 β | 94 °C, 2 min | 94 °C, 45 Sec | 60 °C, 45 Sec | 72 °C, 1 min | | |
| IL-6 | 94 °C, 2 min | 94 °C, 15 Sec | 60 °C, 1 min | 72 °C, 1 min | | |
| | | | | | 72 °C, 10 min | 4 °C |

ทำการตรวจสอบ RT-PCR products ที่ได้โดยวิธีอิเล็กโทรโฟเรชิส (electrophoresis) บน 1.5% Agarose gel ใช้ TAE buffer 1X เป็นตัวทำละลาย วัดความเข้มของแบบ products โดยอาศัยการทำปฏิกิริยาของ Novel Juice (GeneDirex) กับ DNA และสามารถเรืองแสงได้เมื่อตรวจสอบด้วยเครื่อง Gel Documentation InGenius L (Gel Documentation and Analysis system) เพื่อแสดงถึงระดับการแสดงออกของ iNOS, COX-2, COX-1, TNF- α , IL-1 β , IL-6 และ β -actin จากนั้นคำนวณเป็นปริมาณการแสดงออกของยีนโดยคิดเป็นสัดส่วน (relative ratio) กับ mRNA ของ β -actin ที่ใช้เป็น internal standard ทำการศึกษาขั้น 3 ครั้ง

3.2.4 การวิเคราะห์หาปริมาณสารฟีโนลรวม (Total phenolic compounds) ในสารสกัดหอยดองและสารสกัดกระเทียม โดยวิธี Folin-Ciocalteus (Singletion and Rossi, 1965)

หลักการ สารในกลุ่มฟีโนลสามารถเกิดปฏิกิริยาออกซิเดชันกับสาร Folin-ciocalteu reagent เกิดสารสีน้ำเงินแกมเขียวที่สามารถดูดกลืนแสง UV-Visible ที่ ความยาว คลื่น 765 นาโนเมตร ทำการหาปริมาณของสารฟีโนลรวม (total phenolic compounds) เทียบเท่าเป็นปริมาณของกรดแกลลิก (gallic acid monohydrate) ซึ่งใช้เป็นสารฟีโนลมาตรฐาน

การเตรียมสารละลาย 20% โซเดียมคาร์บอเนต (Na_2CO_3)

ใช้ Sodium carbonate anhydrous 20 กรัม ละลายด้วยน้ำกลั่น 100 มิลลิลิตร.

การเตรียมสารมาตรฐาน Gallic acid stock solution

เตรียม Gallic acid stock solution ด้วยการละลาย Gallic acid 125 มิลลิกรัมใน 95% เอทานอล, ปริมาตร 4 มิลลิลิตร จากนั้นปรับปริมาตรด้วยน้ำกลั่นจนครบ 25 มิลลิลิตร ได้สารละลาย Gallic acid stock solution ความเข้มข้น 5 มิลลิกรัมต่อมิลลิลิตร.

การเตรียมสารละลายฟีโนลมาตรฐานความเข้มข้นต่าง ๆ ทำได้โดยใช้ปีเปต์ดูดสารละลาย Gallic acid stock solution ความเข้มข้น 5 มิลลิกรัมต่อมิลลิลิตร ในปริมาตรต่างๆ ดังตารางที่ 3-3 แล้วปรับปริมาตรด้วยน้ำกลั่นให้เป็น 10 มิลลิลิตรจะได้สารละลายน้ำมาตรฐานเข้มข้น 0.05, 0.10, 0.15, 0.20, 0.25 และ 0.30 มิลลิกรัม/มิลลิลิตร ตามลำดับ

ตารางที่ 3-3 การเตรียมสารละลายน้ำมาร์ธา Gallic acid เพื่อใช้วิเคราะห์หาปริมาณสารฟีโนอลร่วม

| หลอดที่ | ความเข้มข้นของสารละลายน้ำมาร์กาลิก-acid (mg/ml) | ปริมาตรที่เตรียมมาจากการตัดต่อของน้ำมาร์กาลิก-acid stock solution (μl) |
|---------|---|--|
| 1 | 0.05 | 100 |
| 2 | 0.10 | 200 |
| 3 | 0.15 | 300 |
| 4 | 0.20 | 400 |
| 5 | 0.25 | 500 |
| 6 | 0.30 | 600 |

การสร้างกราฟมาตรฐาน

- ปีเปตสารละลายน้ำมาร์กาลิก-acid ในแต่ละความเข้มข้น ปริมาตร 350 ไมโครลิตรลงในหลอดทดลองหั้งหมด 6 หลอด
- เติม Folin-Ciocalteau reagent 700 ไมโครลิตรและน้ำกลัน 7 มิลลิลิตรเขย่าให้เข้ากันแล้วนำไปเก็บในที่มืดเป็นเวลา 10 นาที
- เติม 20% Sodium carbonate ปริมาตร 3.5 มิลลิลิตรโดยทึบให้ทั่วทุก部分แล้วเติมเฉพาะส่วนในเสลงไปในแต่ละหลอดทดลอง เขย่าให้เข้ากัน ตั้งทิ้งไว้ 1 ชั่วโมง
- วัดค่าการดูดกลืนแสงที่ 765 นาโนเมตร โดยใช้สารละลายน้ำมาร์กาลิก-acid ความเข้มข้น 0 มิลลิกรัม/มิลลิลิตรเป็นสารเปรียบเทียบ (blank)
- สร้างกราฟมาตรฐานระหว่างความเข้มข้นของสารประกอบฟีโนอลมาร์กาลิก-acid กับค่าการดูดกลืนแสงที่วัดได้

การตรวจวัดปริมาณสารฟีโนลรวมในสารสกัดหอยแองแคระเทียม

เตรียมตัวอย่างสารละลายหอยแองแคระเทียม โดยละลายสารสกัดหอยแองแคร์ 40 มิลลิกรัมในน้ำ 10 มิลลิลิตร จะได้ความเข้มข้นของสารละลายหอยแองแคร์เท่ากับ 4 มิลลิกรัม/มิลลิลิตร และละลายสารสกัดหอยแคระเทียม 400 มิลลิกรัมในน้ำ 10 มิลลิลิตรจะได้ความเข้มข้นของสารละลายหอยแคระเทียมเท่ากับ 40 มิลลิกรัม/มิลลิลิตร

จากนั้นปีเปตสารละลายตัวอย่างหอยแองแคระเทียมปริมาตร 350 มิลลิลิตรลงในหลอดทดลอง จากนั้น เดิมสารต่างๆ เมื่อถูกต้องกับการสร้างกราฟมาตรฐาน คือ เดิม Folin-Ciocalteau reagent 700 มิลลิลิตรและน้ำกลั่น 7 มิลลิลิตรเขย่าให้เข้ากันแล้วนำไปเก็บในที่มืดเป็นเวลา 10 นาที จากนั้นเติม 20% Sodium carbonate 3.5 มิลลิลิตรเขย่าให้เข้ากัน ตั้งทิ้งไว้ 1 ชั่วโมง นำไปวัดค่าการดูดกลืนแสงที่ 765 นาโนเมตร

การคำนวณหาปริมาณสารฟีโนลรวม

นำค่าการดูดกลืนแสงของสารมาตรฐาน Gallic acid ที่ความเข้มข้นต่างๆ มาสร้างกราฟมาตรฐาน (calibration curve) ระหว่างค่าการดูดกลืนแสงกับค่าความเข้มข้นของสารมาตรฐาน Gallic acid จะได้สมการเส้นตรง. นำค่าการดูดกลืนแสงของสารตัวอย่าง นำมาคำนวณในสมการเส้นตรงที่ได้ จะได้ปริมาณของสารฟีโนลรวมที่มีในสารตัวอย่างแต่ละชนิดในรูปมิลลิกรัมของ Gallic Acid Equivalent (GAE) โดยคิดเทียบกับน้ำหนักของสารสกัดจำนวน 1 กรัม

3.2.5 การวิเคราะห์ปริมาณสารฟลาโวนอยด์รวม (Total Flavonoid compounds) ในสารสกัดหอยแองแคร์และสารสกัดกระเทียม (Pourmorad et al., 2006)

หลักการ สารในกลุ่มฟลาโวนอยด์สามารถเกิดปฏิกิริยากับสาร Aluminium chloride และ Potassium acetate เกิดสารที่สามารถดูดกลืนแสง UV-Visible ที่ความยาวคลื่น 415 นาโนเมตร ทำการหาปริมาณของสารฟลาโวนอยด์รวม เทียบเท่าเป็นปริมาณของ Quercetin ซึ่งใช้เป็นสารฟลาโวนอยด์มาตรฐาน

การเตรียม 10% Aluminium chloride

เตรียมโดยละลาย Aluminium chloride 1 กรัมใน methanol 10 มิลลิลิตร

การเตรียม 1 M Potassium acetate

เตรียมโดยละลาย Potassium acetate 0.9814 กรัม ในน้ำ 10 มิลลิลิตร

การเตรียมสารละลายมาตรฐาน Quercetin

เตรียม Quercetin stock solution ด้วยการละลาย Quercetin dihydrate 7.8125 มิลลิกรัม

(เท่ากับ Quercetin 5 มิลลิกรัม) ใน methanol แล้วปรับปริมาตรด้วย methanol จนครบ 25 มิลลิลิตร จะได้ Quercetin stock solution ความเข้มข้น 0.2 มิลลิกรัม/มิลลิลิตร จากนั้นนำมาเจือจางให้ได้สารละลายความเข้มข้น 20, 40, 60, 80, 100 ไมโครกรัม/มิลลิลิตร โดยเตรียมจาก Quercetin stock solution ในปริมาตรต่างๆ ดังตารางที่ 3-4 แล้วปรับปริมาตรด้วยน้ำกลั่นให้เป็น 10 มิลลิลิตร

ตารางที่ 3-4 การเตรียมสารละลายมาตรฐาน Quercetin เพื่อใช้เคราะห์หาปริมาณสารฟลาโวนอยด์รวม

| หลอดที่ | ความเข้มข้นของสารละลาย Quercetin(μg/ml) | ปริมาตรที่เตรียมมาจาก Quercetin stock solution (ml) |
|---------|--|--|
| 1 | 20 | 1 |
| 2 | 40 | 2 |
| 3 | 60 | 3 |
| 4 | 80 | 4 |
| 5 | 100 | 5 |

การสร้างกราฟมาตรฐาน

1. ปีเปตสารละลาย Quercetin ปริมาตร 600 ไมโครลิตรในแต่ละความเข้มข้น ลงในหลอดทดลอง ทึ้งหมด 5 หลอด
2. เติม methanol 3.4 มิลลิลิตรเขย่าให้เข้ากัน
3. เติม 10% Aluminium chloride และ 1 M Potassium acetate อย่างละ 200 ไมโครลิตรและน้ำกลั่น 5.6 มิลลิลิตรลงในหลอดทดลอง ตั้งทิ้งไว้ที่อุณหภูมิห้อง 30 นาที

4. วัดค่าการดูดกลืนแสงที่ 415 นาโนเมตร โดยใช้สารละลาย Quercetin ความเข้มข้น 0 มิลลิกรัม/มิลลิลิตรเป็นสารเปรียบเทียบ (blank)

5. สร้างกราฟมาตราฐานระหว่างความเข้มข้นของสารละลายมาตราฐาน Quercetin กับค่าการดูดกลืนแสงที่วัดได้

การตรวจวัดปริมาณฟลาโวนอยด์รวมในสารสกัดหอยแงะและกระเทียม

เตรียมตัวอย่างสารละลายหอยแงะและกระเทียม โดยละลายสารสกัดหอยแงะ 200 มิลลิกรัมในน้ำ 10 มิลลิลิตรจะได้ความเข้มข้นของสารละลายหอยแงะเท่ากับ 20 มิลลิกรัม/มิลลิลิตร และละลายสารสกัดหอยแงะ 400 มิลลิกรัมในน้ำ 10 มิลลิลิตรจะได้ความเข้มข้นของสารละลายกระเทียมเท่ากับ 40 มิลลิกรัม/มิลลิลิตร

จากนั้น ปีเปตสารละลายตัวอย่าง หอยแงะและกระเทียมปริมาตร 600 ไมโครลิตรลงในหลอดทดลอง จากนั้น เติมสารต่างๆ เพื่อปรับแต่งค่า pH ให้เป็น 7.0 นำตัวอย่างที่เตรียมมาใส่ในหลอดทดลอง ตั้งทิ้งไว้ที่อุณหภูมิห้อง 30 นาที นำไปวัดค่าการดูดกลืนแสงที่ 415 นาโนเมตร โดยใช้สารละลาย Quercetin ความเข้มข้น 0 มิลลิกรัม/มิลลิลิตรเป็นสารเปรียบเทียบ

การคำนวณปริมาณฟลาโวนอยด์รวม

นำค่าการดูดกลืนแสงของสารมาตราฐาน Quercetin ที่ความเข้มข้นต่าง ๆ มาสร้างกราฟมาตราฐาน (calibration curve) ระหว่างค่าการดูดกลืนแสงกับความเข้มข้นของสารมาตราฐาน Quercetin จากสมการเส้นตรง. จากนั้นนำค่าดูดกลืนแสง (absorbance) ที่วัดได้ ไปเปรียบเทียบกับกราฟมาตราฐานของสารละลายมาตราฐาน Quercetin คำนวณในสมการเส้นตรงที่ได้ จะได้ปริมาณของฟลาโวนอยด์รวมหรือ Total flavonoid compounds ที่มีในสารตัวอย่างที่มีในสารตัวอย่างแต่ละชนิดในรูปมิลลิกรัมของ Quercetin Equivalent โดยคิดเทียบกับน้ำหนักของสารสกัดจำนวน 1 กรัม

3.3. การรายงานผลการทดลองและการวิเคราะห์ข้อมูลทางสถิติ

การศึกษาฤทธิ์รับปวดใน hot-plate และ tail-flick test การศึกษาฤทธิ์ต้านการอักเสบ เปรียบเทียบความแตกต่างระหว่างกลุ่มในการทดสอบฤทธิ์ต้านการอักเสบ การแสดงออกของยีน β -actin, COX-1, IL-1 β ,

COX-2, TNF- α , IL-6, iNOS รายงานผลการทดลองเป็นค่าเฉลี่ย \pm ค่าความคลาดเคลื่อนมาตรฐานของค่าเฉลี่ย (mean \pm standard error of the means) วิเคราะห์ความแตกต่างระหว่างกลุ่มทดลองต่างๆ และกลุ่มควบคุม โดยใช้ one way analysis of variance (ANOVA) และเปรียบเทียบผลด้วย multiple comparisons ด้วย LSD (Least Significant Difference) statistics พิจารณาค่าความแตกต่างอย่างมีนัยสำคัญทางสถิติที่ระดับความเชื่อมั่นที่ 95% ($P < 0.05$)

การวิเคราะห์หาปริมาณสารฟีโนอลรวม (Total phenolic compound) รายงานผลปริมาณสารฟีโนอลรวมที่มีในสารสกัดในรูปค่าเฉลี่ยมิลลิกรัมของ Gallic acid equivalent (GAE) \pm ค่าความคลาดเคลื่อนมาตรฐานของค่าเฉลี่ย ต่อสารสกัด 1 กรัม

การวิเคราะห์หาปริมาณสารฟลาโวนอยด์รวม (Total flavonoid compound) รายงานผลปริมาณสารฟลาโวนอยด์รวมที่มีในสารสกัดในรูปมิลลิกรัมของ Quercetin equivalent \pm ค่าความคลาดเคลื่อนมาตรฐานของค่าเฉลี่ย ต่อสารสกัด 1 กรัม

3.4 สถานที่ทำการวิจัย

ห้องปฏิบัติการ คณะเภสัชศาสตร์ มหาวิทยาลัยอุบลราชธานี

ห้องปฏิบัติการศูนย์วิจัยและพัฒนาผลิตภัณฑ์สุขภาพจากสมุนไพร มหาวิทยาลัยขอนแก่น

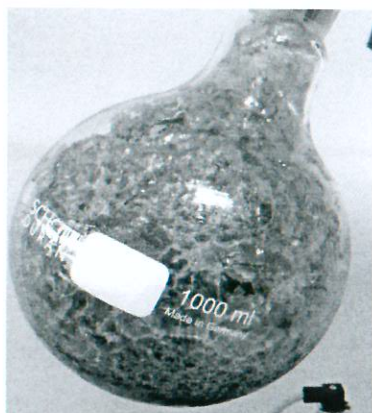
บทที่ 4

ผลการวิจัย

(Results)

4.1 ผลการเตรียมสารสกัดหอมแดงและสารสกัดกระเทียมในเอทานอล

เมื่อนำส่วนหัวของหอมแดงและกระเทียมที่ปอกกาบใบออกแล้ว มาปั่นย่อยให้มีขนาดเล็กลงและนำมาหมักโดยใช้วิธี Maceration ด้วย 95% เอทานอล แล้วนำสารละลายที่สกัดได้ไปเทให้แห้งโดยวิธี Freeze dry เพื่อให้ได้สารสกัดหยาบ (Crude extract) สารสกัดหอมแดงจะมีสีน้ำตาลอ่อน มีลักษณะแข็งและเหนียวเล็กน้อย สารสกัดกระเทียม มีสีเหลืองอ่อน มีลักษณะแข็ง เมื่อใช้ช้อนขุด สามารถตักออกจากขวดได้ง่าย ลักษณะของสารสกัดหอมแดง กระเทียม ดังแสดงในรูปที่ 4-1 โดยมี % yield ดังแสดงในตารางที่ 4-1 ซึ่งปริมาณสารสกัดที่ได้มีปริมาณเพียงพอต่อการใช้จุนสิ่งสุดการศึกษาผลการวิจัย



หอมแดง - shallot

(*Allium ascalonicum* L.)



กระเทียม - Garlic

(*Allium sativum* L.)

รูปที่ 4-1 แสดงลักษณะของสารสกัดหยาบของหอมแดงและกระเทียมที่ผ่านการทำให้แห้งโดยเครื่อง Freeze dryer

ตารางที่ 4-1 แสดงน้ำหนักของสมุนไพรแห้ง น้ำหนักสารสกัดหมาย ค่า % yield และลักษณะของสารสกัดหมายจากส่วนหัวของหอยแดงและกระเทียม

| ข้อมูล | สารสกัดหมาย จากส่วนหัวของหอยแดง | สารสกัดหมาย จากส่วนหัวของกระเทียม |
|---------------------------|------------------------------------|--------------------------------------|
| น้ำหนักสมุนไพร (กรัม) | 2237.91 | 1810.62 |
| น้ำหนักสารสกัดหมาย (กรัม) | 160.36 | 128.01 |
| ค่า % yield | 7.17 | 7.07 |
| ลักษณะของสารสกัดหมาย | สีน้ำตาลอ่อน ขันหนึดเล็กน้อย | สีเหลืองอ่อน ผงแห้ง |

4.2 ผลการศึกษาฤทธิ์ระงับปวดของสารสกัดสมุนไพรหอยแดงและกระเทียมในเօรานอลในสัตว์ทดลอง

ทำการศึกษาฤทธิ์ระงับปวด (analgesic activity) ของสารสกัดสมุนไพรหอยแดงและกระเทียมในเօรานอลในสัตว์ทดลองหนูถีบจักรเพศผู้ ด้วยวิธี hot plate test และ tail-flick test

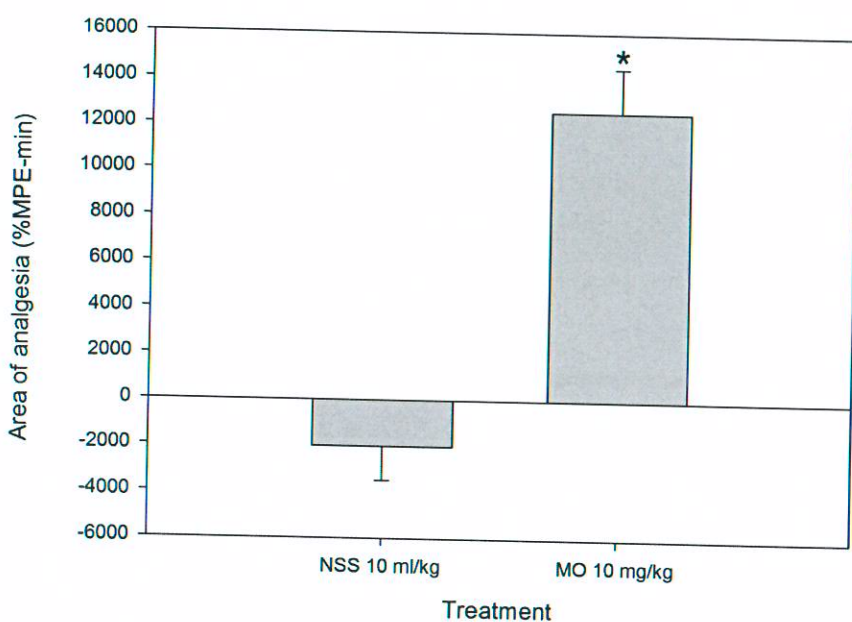
4.2.1 ผลการศึกษาฤทธิ์ระงับปวดของสารสกัดสมุนไพรหอยแดงและกระเทียมใน Hot plate test

การทดสอบฤทธิ์ระงับปวดของสารสกัดหอยแดงและสารสกัดกระเทียมในเօรานอล มีวัตถุประสงค์เพื่อทดสอบฤทธิ์ระงับปวดของสารสกัดเปรียบเทียบกับยาสารระงับปวดมอร์ฟีน (Morphine sulfate) ขนาด 10 มิลลิกรัม/กิโลกรัมน้ำหนักตัว โดยทำการทดสอบในหนูถีบจักรเพศผู้ที่ได้รับยาสารมอร์ฟีนและสารสกัดหอยแดงและสารสกัดกระเทียมในเօรานอล ในขนาด 100 – 1200 มิลลิกรัม/กิโลกรัมน้ำหนักตัว โดยการฉีดเข้าทางช่องท้อง (intraperitoneal injection) ก่อนนำไปทดสอบด้วยวิธี hot plate test ซึ่งตั้งอุณหภูมิไว้ที่ 55 ± 0.5 องศาเซลเซียส ครอบด้วยแก้วใส โดยมี cut-off time ที่ 45 วินาทีเพื่อป้องกันการเกิดอันตรายต่อเนื้อเยื่อของสัตว์ทดลอง สังเกตพฤติกรรมการเลี้ยงอุ้งเท้าหลัง หรือการกระโดดอย่างรุนแรง บันทึกเวลาที่สัตว์ทดลองแสดงพฤติกรรมนั้น โดยทำการทดสอบ pre-drug baseline trials 3 ครั้งทั่งกันครั้งละ 10 นาที (การคำนวณ Mean of Baseline Test Latency คำนวณได้จากค่าเฉลี่ยของ Test Latency ครั้งที่สองและครั้งที่สาม จากการทดสอบ pre-drug baseline สามครั้ง โดยครั้งที่หนึ่งจะเป็นการปรับให้หนูทดลองมีความคุ้นเคย

กับสภาวะของการทดลองก่อน จึงไม่คำนึงถึง Test Latency ครั้งที่หนึ่งมาคำนวณด้วย) และ post-drug latency ที่เวลา 15, 30, 45, 60, 90 , 120 และ 240 นาทีหลังให้ยาเพื่อคำนวณหาค่า percent maximum possible effect และพื้นที่ใต้กราฟ (Area under the curve, AUC) ของแต่ละกลุ่ม

ผลการทดลองพบว่า หนูถูกจัดกลุ่มควบคุมที่ได้รับ placebo Normal saline (NSS ; solvent control) มีค่า Area of analgesia เท่ากับ -2033.28 ± 1464.86 % Maximum possible effect-minute (% MPE-min) และหนูถูกจัดให้รับยาระงับปวด Morphine ในขนาด 10 มิลลิกรัม/กิโลกรัมน้ำหนักตัว มีค่า Area of analgesia เท่ากับ 12555.32 ± 1933.79 %MPE-min แตกต่างจากกลุ่มควบคุมอย่างมีนัยสำคัญทางสถิติ ($P < 0.05$) ดังแสดงในรูปที่ 4-2

Mouse Hot-Plate test



รูปที่ 4-2 Mouse Hot-Plate Test แสดงค่าพื้นที่ใต้กราฟ Area of analgesia (%MPE-min) ในช่วง 0-240 นาที หลังจากฉีด normal saline solution (NSS) และมอร์ฟิน (morphine sulfate; 10 มิลลิกรัม/กิโลกรัมน้ำหนักตัว) เข้าทางช่องห้อง แต่ละกลุ่มใช้หนูจำนวน 10 ตัว

* $P < 0.05$ แสดงความแตกต่างอย่างมีนัยสำคัญทางสถิติเมื่อเปรียบเทียบกับกลุ่มควบคุมที่ได้รับ NSS

ในการทดลองเพื่อหาความสัมพันธ์ระหว่างขนาดของสารสกัดหอมแดงและสารสกัดกระเทียมในการระงับปวดใน mouse hot-plate test พบร่วมกันว่าสารสกัดหอมแดงและสารสกัดกระเทียมในเօรานอล ขนาด 100, 300, 600, 900 และ 1200 มิลลิกรัมต่อกิโลกรัมน้ำหนักตัว มีค่า Area of analgesia (%MPE-min) ดังแสดงในตารางที่ 4-2 ทั้งนี้ไม่พบความแตกต่างทางสถิติเมื่อเปรียบเทียบกับกลุ่มควบคุมที่ได้รับ Normal Saline ($P > 0.05$)

ตารางที่ 4-2 Mouse Hot-Plate Test แสดงค่าพื้นที่ต่อกراف Area of analgesia (%MPE-min) ในช่วง 0-240 นาที หลังจากฉีด normal saline solution (NSS) และสารสกัดหอมแดงและสารสกัดกระเทียมในเօรานอล (100 – 1200 มิลลิกรัม/กิโลกรัมน้ำหนักตัว) เข้าทางช่องท้อง แต่ละกลุ่มใช้หนูจำนวน 10 ตัว

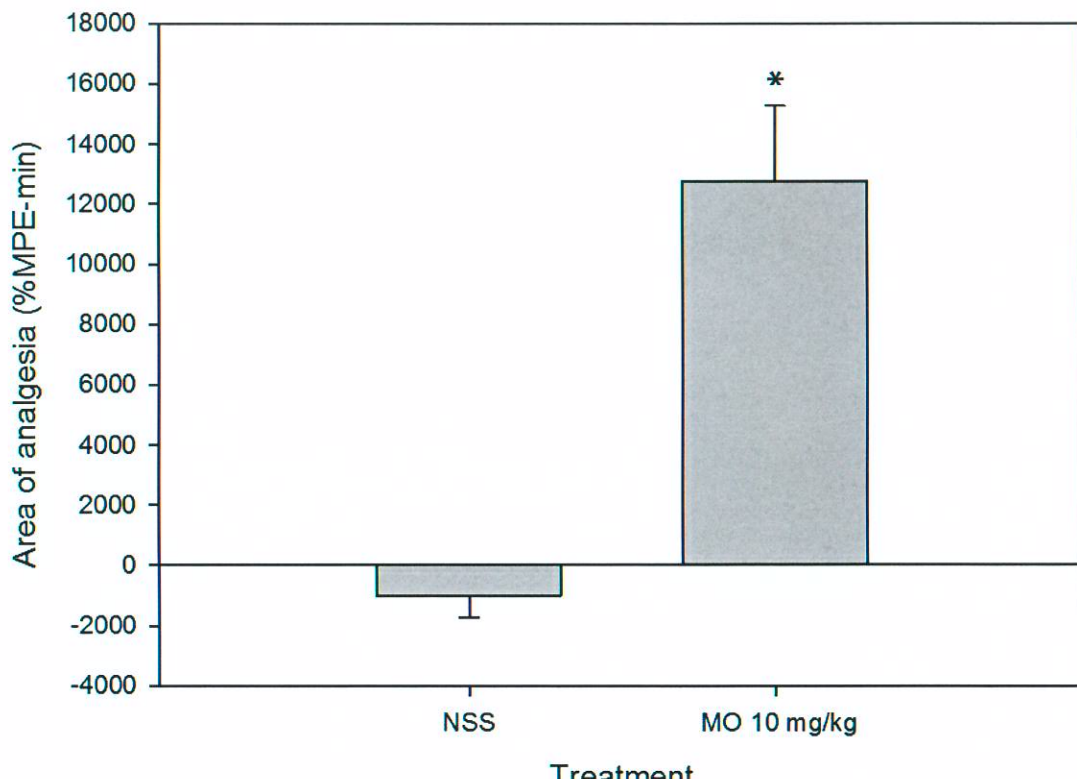
| สารทดสอบ | Area of analgesia \pm Standard error of mean (% MPE-min \pm SE) |
|--|---|
| Normal Saline | -3145.38 \pm 1960.80 |
| สารสกัดหอมแดงในเօรานอล 100 มิลลิกรัม/กิโลกรัมน้ำหนักตัว | -5419.93 \pm 2506.58 |
| สารสกัดหอมแดงในเօรานอล 300 มิลลิกรัม/กิโลกรัมน้ำหนักตัว | -289.60 \pm 1476.19 |
| สารสกัดหอมแดงในเօรานอล 600 มิลลิกรัม/กิโลกรัมน้ำหนักตัว | 148.35 \pm 2279.37 |
| สารสกัดหอมแดงในเօรานอล 900 มิลลิกรัม/กิโลกรัมน้ำหนักตัว | 2369.63 \pm 3738.60 |
| สารสกัดหอมแดงในเօรานอล 1200 มิลลิกรัม/กิโลกรัมน้ำหนักตัว | -2372.66 \pm 1082.34 |
| สารสกัดกระเทียมในเօรานอล 100 มิลลิกรัม/กิโลกรัมน้ำหนักตัว | -5306.35 \pm 1426.90 |
| สารสกัดกระเทียมในเօรานอล 300 มิลลิกรัม/กิโลกรัมน้ำหนักตัว | -1306.09 \pm 3171.28 |
| สารสกัดกระเทียมในเօรานอล 600 มิลลิกรัม/กิโลกรัมน้ำหนักตัว | -4073.63 \pm 2662.24 |
| สารสกัดกระเทียมในเօรานอล 900 มิลลิกรัม/กิโลกรัมน้ำหนักตัว | -4301.13 \pm 1998.34 |
| สารสกัดกระเทียมในเօรานอล 1200 มิลลิกรัม/กิโลกรัมน้ำหนักตัว | -2320.96 \pm 1017.41 |

4.2.2 ผลการศึกษาฤทธิ์ระงับปวดของสารสกัดสมุนไพรหอมแดงและกระเทียมใน Tail-Flick test

การทดสอบฤทธิ์ระงับปวดของสารสกัดหอมแดงและสารสกัดกระเทียมในเอ oran ol มีวัตถุประสงค์เพื่อทดสอบฤทธิ์ระงับปวดของสารสกัดเปรียบเทียบกับยา rate jang ปวดมอร์ฟีน (Morphine sulfate) ในขนาด 10 มิลลิกรัม/กิโลกรัมน้ำหนักตัว โดยทำการทดสอบในหนูถึบจักรเพศผู้ที่ได้รับยา morphine และสารสกัดหอมแดงและสารสกัดกระเทียมในเอ oran ol ในขนาด 100 – 1200 มิลลิกรัม/กิโลกรัมน้ำหนักตัว โดยการฉีดเข้าทางช่องท้อง (intraperitoneal injection) ก่อนนำไปทดสอบด้วยวิธี Tail-flick test โดยนำหนูที่เตรียมไว้สำหรับการทดลองที่ใส่ไว้ใน Plexiglass restrainer มาทดสอบ นำทางหนูมาวางลงบน Tail-flick analgesic meter ซึ่งตั้งความเข้มของแสงคงที่ที่ 3.7 °A ให้ตำแหน่งที่แสงส่องผ่านอยู่ตรงกลางของส่วนที่ทำเครื่องหมายไว้ สังเกตและบันทึกเวลาที่หนูสะบัดหางออกจากแสง โดยมี cut-off time ที่ 4 วินาที เพื่อป้องกันการเกิดอันตรายต่อเนื้อเยื่อของสัตว์ทดลอง ทำ pre-drug baseline trials 3 ครั้งทั่งกันครั้งละ 10 นาที (การคำนวณ Mean of Baseline Test Latency คำนวนได้จากค่าเฉลี่ยของ Test Latency ครั้งที่สองและครั้งที่สาม จากการทดสอบ pre-drug baseline สามครั้ง โดยครั้งที่หนึ่งจะเป็นการปรับให้หนูทดลองมีความคุ้นเคยกับสภาวะของการทดลองก่อน จึงไม่นำค่า Test Latency ครั้งที่หนึ่งมาคำนวณด้วย) และ post-drug latency ที่เวลา 15, 30, 45, 60, 90 , 120 และ 240 นาทีหลังให้ยาเพื่อคำนวณหาค่า percent maximum possible effect และพื้นที่ใต้กราฟ (Area under the curve, AUC) ของแต่ละกลุ่ม

ผลการทดลองพบว่า หนูถึบจักรกลุ่มควบคุมที่ได้ตัวทำละลาย Normal saline (NSS ; solvent control) มีค่า Area of analgesia เท่ากับ -1000.39 ± 721.66 % MPE-min และหนูถึบจักรได้รับยา rate jang ปวด Morphine ในขนาด 10 มิลลิกรัม/กิโลกรัมน้ำหนักตัว มีค่า Area of analgesia เท่ากับ 12751.35 ± 2523.79 %MPE-min แตกต่างจากกลุ่มควบคุมอย่างมีนัยสำคัญทางสถิติ ($P < 0.05$) ดังแสดงในรูปที่ 4-3

Mouse Tail - Flick test



รูปที่ 4-3 Mouse Tail-Flick Test แสดงค่าพื้นที่ใต้กราฟ Area of analgesia (%MPE-min) ในช่วง 0-240 นาที หลังจากฉีด normal saline solution (NSS) และมอร์ฟีน (morphine sulfate; 10 มิลลิกรัม/กิโลกรัมน้ำหนักตัว) เข้าทางช่องท้อง แต่ละกลุ่มใช้หนูจำนวน 10 ตัว

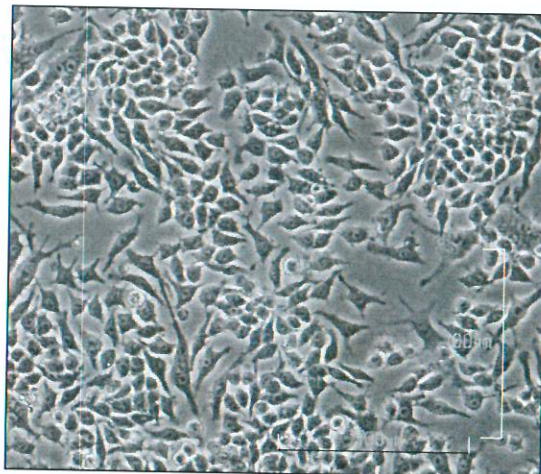
* $P < 0.05$ แสดงความแตกต่างอย่างมีนัยสำคัญทางสถิติเมื่อเปรียบเทียบกับกลุ่มควบคุมที่ได้รับ NSS

ในการทดลองเพื่อหาความสัมพันธ์ระหว่างขนาดของสารสกัดathomแดงและสารสกัดกระเทียมและฤทธิ์ในการระงับปวดใน mouse tail-flick test พบร้าสารสกัดathomแดงและสารสกัดกระเทียมในอ่อนลอกขนาด 100, 300, 600, 900 และ 1200 มิลลิกรัมต่อกิโลกรัมน้ำหนักตัว มีค่า Area of analgesia (%MPE-min) ดังแสดงในตารางที่ 4-3 ทั้งนี้ไม่พบความแตกต่างทางสถิติเมื่อเปรียบเทียบกับกลุ่มควบคุมที่ได้รับ Normal Saline ($P > 0.05$)

ตารางที่ 4-3 Mouse Tail-Flick Test แสดงค่าพื้นที่ใต้กราฟ Area of analgesia (%MPE-min) ในช่วง 0-240 นาที หลังจากฉีด normal saline solution (NSS) และสารสกัดหومแ Deng ในเօรานอล (100 – 1200 มิลลิกรัม/กิโลกรัมน้ำหนักตัว) เข้าทางช่องท้อง แต่ละกลุ่มใช้หนูจำนวน 10 ตัว

| สารทดสอบ | Area of analgesia \pm Standard error of mean (% MPE-min \pm SE) |
|--|---|
| Normal Saline | -1000.39 \pm 721.66 |
| สารสกัดหومแ Deng ในเօرานอล 100 มิลลิกรัม/กิโลกรัมน้ำหนักตัว | 509.10 \pm 897.00 |
| สารสกัดหومแ Deng ในเօรานอล 300 มิลลิกรัม/กิโลกรัมน้ำหนักตัว | -4546.03 \pm 2693.52 |
| สารสกัดหومแ Deng ในเօรานอล 600 มิลลิกรัม/กิโลกรัมน้ำหนักตัว | -2244.52 \pm 1798.39 |
| สารสกัดหومแ Deng ในเօรานอล 900 มิลลิกรัม/กิโลกรัมน้ำหนักตัว | -5612.02 \pm 3173.41 |
| สารสกัดหومแ Deng ในเօรานอล 1200 มิลลิกรัม/กิโลกรัมน้ำหนักตัว | -7988.20 \pm 5928.62 |
| สารสกัดกระเทียมในเօรานอล 100 มิลลิกรัม/กิโลกรัมน้ำหนักตัว | 59.44 \pm 837.24 |
| สารสกัดกระเทียมในเօรานอล 300 มิลลิกรัม/กิโลกรัมน้ำหนักตัว | 850.00 \pm 1166.80 |
| สารสกัดกระเทียมในเօรานอล 600 มิลลิกรัม/กิโลกรัมน้ำหนักตัว | 1720.67 \pm 669.03 |
| สารสกัดกระเทียมในเօรานอล 900 มิลลิกรัม/กิโลกรัมน้ำหนักตัว | 1547.03 \pm 735.67 |
| สารสกัดกระเทียมในเօรานอล 1200 มิลลิกรัม/กิโลกรัมน้ำหนักตัว | 2256.36 \pm 1397.03 |

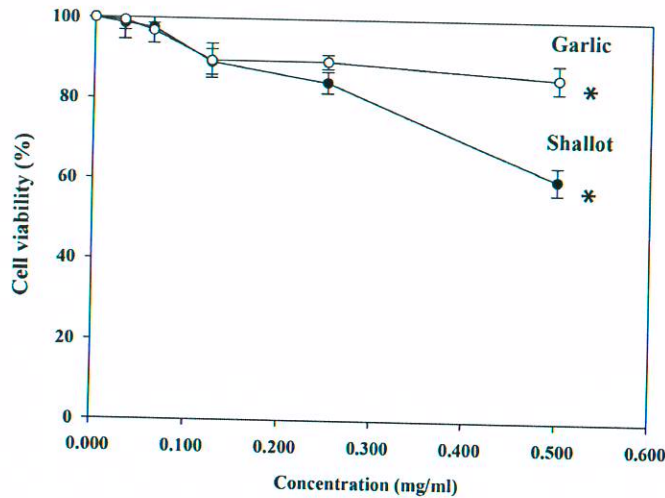
4.3 ผลการศึกษากลไกการออกฤทธิ์ต้านการอักเสบจากสารสกัดหอยแองแอลสารสกัดกระเทียมในเซลล์เพาะเลี้ยงมาโครฟ้าจ RAW 264.7



รูปที่ 4-4 ลักษณะเซลล์ Murine macrophage RAW 264.7 ที่ใช้ในการศึกษาวิจัย

4.3.1 ผลการทดสอบความเป็นพิษของสารสกัดหอยแองแอลสารสกัดกระเทียมด้วย MTT Test

ลักษณะของเซลล์ RAW 264.7 ที่ใช้ในการศึกษามีลักษณะดังแสดงในรูปที่ 4-4 ใน การศึกษาครั้นี้ได้ทำการประเมินความเป็นพิษต่อเซลล์ของสารสกัดหอยแองแอลสารสกัดกระเทียม โดยการ incubate เซลล์กับสารสกัดหอยแองแலสารสกัดกระเทียมที่ความเข้มข้นต่างๆ กัน (0.03125 , 0.0625 , 0.125 , 0.250 และ 0.50 มิลลิกรัม/มิลลิลิตร) เป็นเวลา 24 ชั่วโมง และวัดค่า cell viability โดยใช้ MTT assay เพื่อหาความเข้มข้นของสารสกัดสูงสุดที่สามารถใช้ในการทดสอบในการแสดงออกของยีนที่เกี่ยวข้องกับการอักเสบโดยที่ไม่เกิดความเป็นพิษต่อเซลล์ ผลการศึกษาพบว่าสารสกัดหอยแองแலสารสกัดกระเทียมที่ความเข้มข้น 0.5 มิลลิกรัม/มิลลิลิตร ทำให้เซลล์นี้มีการลดชีวิตลดลง (cell viability) เท่ากับ 60.31% และ 85.74% ตามลำดับ ดังแสดงในรูปแสดงความสัมพันธ์ระหว่างขนาดของสารสกัดหอยแองแலสารสกัดกระเทียมที่ได้รับและร้อยละของการลดชีวิตของเซลล์ รูปที่ 4-5 ทั้งนี้มีความแตกต่างอย่างมีนัยสำคัญเมื่อเปรียบเทียบกับกลุ่มที่ไม่ได้รับสารทดสอบ ($P < 0.05$) ดังนั้นความเข้มข้นของสารสกัดทั้งสองชนิดที่เลือกใช้ในการศึกษาต่อไปคือ $0.0625-0.250$ มิลลิกรัม/มิลลิลิตร



รูปที่ 4-5 ผลของสารสกัดสารสกัดหอมแดง (Shallot) และสารสกัดกระเทียม (Garlic) ที่ความเข้มข้น 0.03125, 0.0625, 0.125, 0.250 และ 0.50 มิลลิกรัม/มิลลิลิตร ต่อการร้อยละการรอดชีวิตของเซลล์ RAW 264.7 เมื่อทดสอบด้วย MTT Assay (ค่าเฉลี่ยจากการทดลอง 3 การทดลอง, $n = 3$) * แตกต่างจากกลุ่มควบคุมอย่างมีนัยสำคัญทางสถิติ ($P < 0.05$)

4.3.2 ผลของสารสกัดหอมแดงและสารสกัดกระเทียมต่อการแสดงออกของยีน iNOS, COX-2, COX-1, TNF- α , IL-1 β และ IL-6 ในเซลล์เพาะเลี้ยงมาโครฟajeที่ถูกกระตุ้นด้วย *E. coli* LPS โดยการตรวจวัดการเปลี่ยนแปลงของระดับ mRNA ที่มีการสังเคราะห์ขึ้นโดยใช้เทคนิค RT-PCR

การศึกษาการแสดงออกของยีน iNOS, COX-2, COX-1, TNF- α , IL-1 β และ IL-6 โดยตรวจสอบการสังเคราะห์ mRNA ที่สร้างขึ้นภายในเซลล์ RAW 264.7 ด้วยวิธี RT-PCR ผลการศึกษาพบว่าเซลล์ที่ไม่ถูกกระตุ้นด้วยสาร *E. coli* LPS (unstimulated RAW 264.7 cells) และกลุ่มที่ได้รับเฉพาะสารสกัดหอมแดงหรือสารสกัดกระเทียมความเข้มข้น 0.250 มิลลิกรัม/มิลลิลิตร มีการแสดงออกของยีน iNOS, COX-2, TNF- α , IL-1 β และ IL-6 น้อย ในขณะที่เซลล์ RAW 264.7 ที่ได้รับการกระตุ้นด้วย *E. coli* LPS 10 ไมโครกรัม/มิลลิลิตร พบร่วมกับการแสดงออกของยีน iNOS, COX-2, TNF- α , IL-1 β และ IL-6 ในปริมาณที่เพิ่มขึ้น โดยพบร่วมกับปริมาณการแสดงออก

ของยืน iNOS, COX-2, TNF- α , IL-1 β และ IL-6 ที่คิดเป็นสัดส่วนกับยืน β -actin ที่ใช้เป็น internal control ในกลุ่มเซลล์ RAW 264.7 ที่ไม่ได้รับการกระตุนด้วย *E. coli* LPS และในกลุ่มเซลล์ RAW 264.7 ที่ได้รับสารสกัด มีความแตกต่างกับกลุ่มที่ได้รับการกระตุนด้วย *E. coli* LPS เพียงอย่างเดียวอย่างมีนัยสำคัญทางสถิติ ($P < 0.05$)

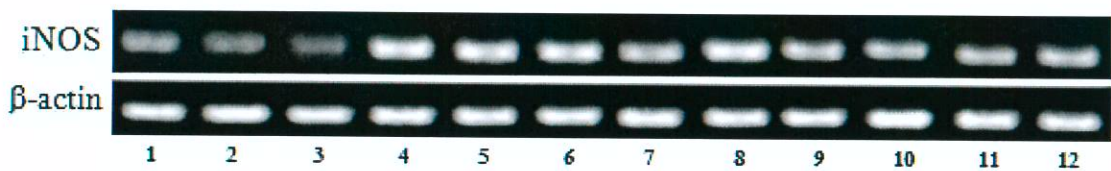
ในการศึกษาถูกยืนยันการแสดงออกของยืน iNOS, COX-2, COX-1, TNF- α , IL-1 β และ IL-6 ใน เซลล์ RAW 264.7 ที่ได้รับการกระตุนด้วย *E. coli* LPS ความเข้มข้น 10 μ มิลลิกรัม/มิลลิลิตร ทำได้โดยการ เปรียบเทียบปริมาณการแสดงออกของยืนที่เกี่ยวข้องที่คิดเป็นสัดส่วนกับยืน β -actin ที่ใช้เป็น internal control ระหว่างกลุ่มควบคุมซึ่งเป็นเซลล์ RAW 264.7 ที่ได้รับการกระตุนด้วย *E. coli* LPS เพียงอย่างเดียวและกลุ่ม ทดสอบ ได้แก่ กลุ่มเซลล์ RAW 264.7 ที่ได้รับการกระตุนด้วย *E. coli* LPS และได้รับสารสกัดความเข้มข้นต่างๆ หรือสาร positive control โดยจากการทดลองพบว่า กลุ่มควบคุม เซลล์ RAW 264.7 ที่ได้รับการกระตุนด้วย *E. coli* LPS สามารถชักนำให้เซลล์มีการแสดงออกของ iNOS, COX-2, COX-1, TNF- α , IL-1 β และ IL-6 mRNA อย่างเห็นได้ชัด ดังแสดงในรูปที่ 4-6, 4-8, 4-10, 4-12, 4-14 และ 4-16 ตามลำดับ

สาร Aminoguanidine 0.125 มิลลิกรัม/มิลลิลิตร และ Indomethacin 0.125 มิลลิกรัม/มิลลิลิตร ซึ่ง ใช้เป็น Positive control groups ในการทดลองสามารถยืนยันการแสดงออกของยืน iNOS, COX-2, TNF- α , IL-1 β และ IL-6 ในเซลล์ RAW 264.7 ที่ได้รับการกระตุนด้วย *E. coli* LPS ดังแสดงในรูปที่ 4-6, 4-8, 4-10, 4-12, 4-14 และ 4-16 ตามลำดับ เมื่อเปรียบเทียบปริมาณการแสดงออกของยืน iNOS, COX-2, TNF- α , IL-1 β และ IL-6 ที่คิดเป็นสัดส่วนกับ β -actin ระหว่างกลุ่มเซลล์ RAW 264.7 ที่ถูกกระตุนด้วย *E. coli* LPS และได้รับสาร Aminoguanidine 0.125 มิลลิกรัม/มิลลิลิตร และ Indomethacin 0.125 มิลลิกรัม/มิลลิลิตร และกลุ่มควบคุม เซลล์ RAW 264.7 ที่ได้รับการกระตุนด้วย *E. coli* LPS เพียงอย่างเดียวพบว่ามีความแตกต่างอย่างมีนัยสำคัญ ทางสถิติ ($P < 0.05$) ดังแสดงในรูปที่ 4-7, 4-9, 4-13, 4-15 และ 4-17 ตามลำดับ

4.3.2.1 ผลของสารสกัดห้อมแดงและสารสกัดกระเทียมต่อการแสดงออกของยืน iNOS

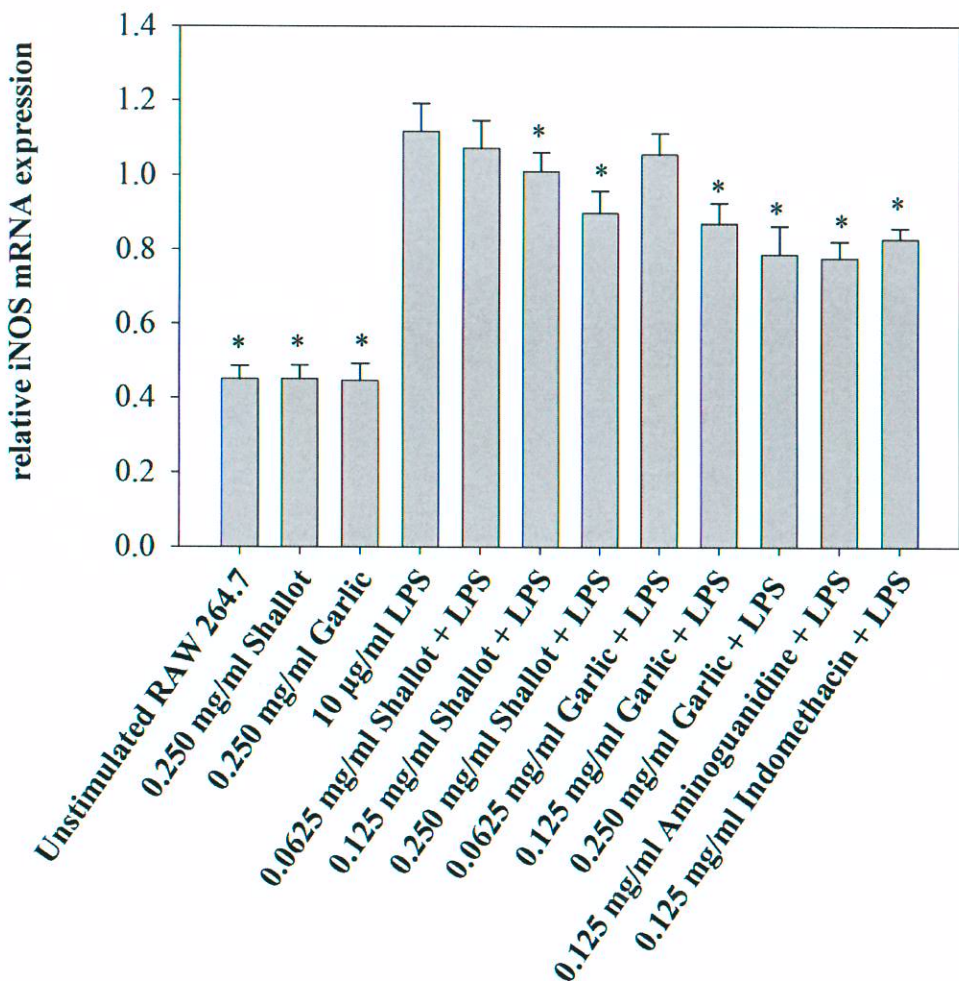
สารสกัดห้อมแดงและสารสกัดกระเทียมที่ความเข้มข้น 0.0625-0.250 มิลลิกรัม/มิลลิลิตร สามารถยืนยัน การแสดงออกของ iNOS mRNA ได้ และเมื่อเปรียบเทียบปริมาณการแสดงออกของ iNOS mRNA โดยคิดเป็น สัดส่วนกับ β -actin mRNA กับกลุ่มควบคุม (กลุ่มเซลล์ RAW 264.7 ที่ได้รับการกระตุนด้วย *E. coli* LPS) พบร่วม

มีฤทธิ์ในการยับยั้ง iNOS mRNA ในลักษณะที่เป็น dose dependent manner ในลักษณะเดียวกัน โดยปริมาณการแสดงออกของยีน iNOS ที่คิดเป็นสัดส่วนกับ β -actin ของกลุ่มเซลล์ที่ได้รับการกระตุนด้วย *E. coli* LPS และได้รับสารสกัดหومแดงและสารสกัดกระเทียมความเข้มข้น 0.125 มิลลิกรัม/มิลลิลิตร และ 0.250 มิลลิกรัม/มิลลิลิตร มีความแตกต่างจากกลุ่มควบคุมอย่างมีนัยสำคัญทางสถิติ ($P < 0.05$) ดังแสดงในรูปที่ 4-6 และ รูปที่ 4-7



รูปที่ 4-6 ปริมาณการแสดงออกของยีน iNOS และ β -actin ในเซลล์ RAW 264.7 ที่ถูกกระตุนด้วย *E. coli* LPS เมื่อ incubated ร่วมกับสารสกัดจากหومแดงและสารสกัดจากกระเทียมความเข้มข้น 0.0625, 0.125, 0.250 มิลลิกรัม/มิลลิลิตร โดยที่

- 1 = Unstimulated RAW 264.7 cells
- 2 = RAW 264.7 cells และสารสกัดหومแดง (0.25 mg/ml)
- 3 = RAW 264.7 cells และสารสกัดกระเทียม (0.25 mg/ml)
- 4 = RAW 264.7 cells ถูกกระตุนด้วย *E. coli* LPS
- 5 = RAW 264.7 cells ถูกกระตุนด้วย *E. coli* LPS และได้รับสารสกัดหومแดง 0.0625 mg/ml
- 6 = RAW 264.7 cells ถูกกระตุนด้วย *E. coli* LPS และได้รับสารสกัดหومแดง 0.125 mg/ml
- 7 = RAW 264.7 cells ถูกกระตุนด้วย *E. coli* LPS และได้รับสารสกัดหومแดง 0.25 mg/ml
- 8 = RAW 264.7 cells ถูกกระตุนด้วย *E. coli* LPS และได้รับสารสกัดกระเทียม 0.0625 mg/ml
- 9 = RAW 264.7 cells ถูกกระตุนด้วย *E. coli* LPS และได้รับสารสกัดกระเทียม 0.125 mg/ml
- 10 = RAW 264.7 cells ถูกกระตุนด้วย *E. coli* LPS และได้รับสารสกัดกระเทียม 0.25 mg/ml
- 11 = RAW 264.7 cells ถูกกระตุนด้วย *E. coli* LPS และได้รับ Aminoguanidine 0.125 mg/ml
- 12 = RAW 264.7 cells ถูกกระตุนด้วย *E. coli* LPS และได้รับ Indometacin 0.125 mg/ml



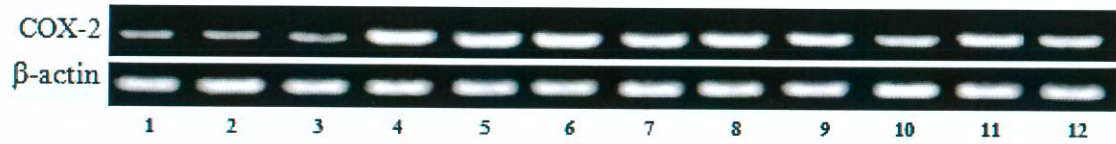
รูปที่ 4-7 ปริมาณการแสดงออกของยีน iNOS โดยคิดเป็นสัดส่วนกับ β -actin ในเซลล์เพาะเลี้ยง RAW 264.7 ที่ถูกกระตุ้นโดย *E. coli* LPS เมื่อ incubated ร่วมกับสารสกัดจากหอยแungและสารสกัดจากกระเทียมความเข้มข้น 0.0625, 0.125, 0.250 มิลลิกรัม/มิลลิลิตร ($n = 3$)

* แตกต่างจากกลุ่มควบคุม RAW 264.7 cells ที่ถูกกระตุ้นด้วย *E. coli* LPS อย่างมีนัยสำคัญทางสถิติ ($P < 0.05$)

4.3.2.2 ผลของสารสกัดหومแดงและสารสกัดกระเทียมต่อการแสดงออกของยีน COX-2

สารสกัดหومแดงที่ความเข้มข้น 0.0625-0.250 มิลลิกรัม/มิลลิลิตร ไม่ยับยั้งการแสดงออกของยีน COX-2 โดยเมื่อเปรียบเทียบปริมาณการแสดงออกของยีน COX-2 โดยคิดเป็นสัดส่วนกับ β -actin ของกลุ่มเซลล์ RAW 264.7 ที่ได้รับการกระตุ้นด้วย *E. coli* LPS และได้รับสารสกัดหومแดงที่ความเข้มข้น 0.0625-0.250 มิลลิกรัม/มิลลิลิตร กับกลุ่มควบคุมที่ได้รับการกระตุ้นด้วย *E. coli* LPS พบร่วมกันที่ไม่มีความแตกต่างกันทางสถิติ

สารสกัดกระเทียมในช่วงความเข้มข้น 0.0625-0.250 มิลลิกรัม/มิลลิลิตร สามารถยับยั้งการแสดงออกของยีน COX-2 ได้ในลักษณะเป็น dose dependent manner และเมื่อเปรียบเทียบปริมาณการแสดงออกของยีน COX-2 โดยคิดเป็นสัดส่วนกับ β -actin ของกลุ่มเซลล์ RAW 264.7 ที่ได้รับการกระตุ้นด้วย *E. coli* LPS และได้รับสารสกัดกระเทียมที่ความเข้มข้น 0.0625-0.250 มิลลิกรัม/มิลลิลิตร กับกลุ่มควบคุมที่ได้รับการกระตุ้นด้วย *E. coli* LPS พบร่วมกันที่ไม่มีความแตกต่างอย่างมีนัยสำคัญทางสถิติ ($P < 0.05$) โดยฤทธิ์ในการยับยั้งการแสดงออกของ COX-2 นี้มีฤทธิ์ใกล้เคียงกับกลุ่มเซลล์ที่ได้รับการกระตุ้นด้วย *E. coli* LPS และได้รับสาร Aminoguanidine 0.125 มิลลิกรัม/มิลลิลิตร และกลุ่มที่ได้รับยา Indometacin 0.125 มิลลิกรัม/มิลลิลิตร ด้วย ดังแสดงในรูปที่ 4-8 และ 4-9



รูปที่ 4-8 ปริมาณการแสดงออกของยีน COX-2 และ β -actin ในเซลล์ RAW 264.7 ที่ถูกกระตุ้นด้วย *E. coli* LPS เมื่อ incubated ร่วมกับสารสกัดจากหومแดงและสารสกัดจากระเทียมความเข้มข้น 0.0625, 0.125, 0.250 มิลลิกรัม/มิลลิลิตร โดยที่

1 = Unstimulated RAW 264.7 cells

2 = RAW 264.7 cells และสารสกัดหومแดง (0.25 mg/ml)

3 = RAW 264.7 cells และสารสกัดกระเทียม (0.25 mg/ml)

4 = RAW 264.7 cells ถูกกระตุ้นด้วย *E. coli* LPS

5 = RAW 264.7 cells ถูกกระตุ้นด้วย *E. coli* LPS และได้รับสารสกัดหومแดง 0.0625 mg/ml

6 = RAW 264.7 cells ถูกกระตุ้นด้วย *E. coli* LPS และได้รับสารสกัดหومแดง 0.125 mg/ml

7 = RAW 264.7 cells ถูกกระตุ้นด้วย *E. coli* LPS และได้รับสารสกัดหومแดง 0.25 mg/ml

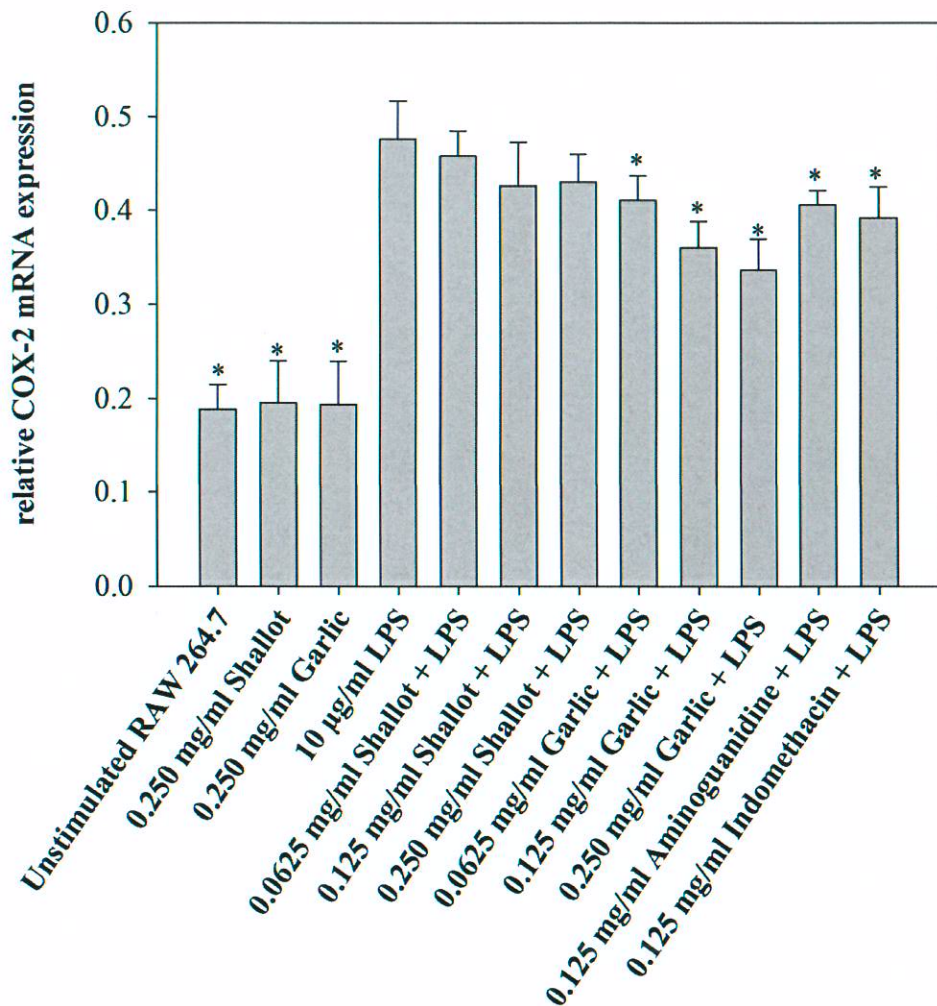
8 = RAW 264.7 cells ถูกกระตุ้นด้วย *E. coli* LPS และได้รับสารสกัดกระเทียม 0.0625 mg/ml

9 = RAW 264.7 cells ถูกกระตุ้นด้วย *E. coli* LPS และได้รับสารสกัดกระเทียม 0.125 mg/ml

10 = RAW 264.7 cells ถูกกระตุ้นด้วย *E. coli* LPS และได้รับสารสกัดกระเทียม 0.25 mg/ml

11 = RAW 264.7 cells ถูกกระตุ้นด้วย *E. coli* LPS และได้รับ Aminoguanidine 0.125 mg/ml

12 = RAW 264.7 cells ถูกกระตุ้นด้วย *E. coli* LPS และได้รับ Indometacin 0.125 mg/ml



รูปที่ 4-9 ปริมาณการแสดงออกของยีน COX-2 โดยคิดเป็นสัดส่วนกับ β -actin ในเซลล์เพาะเลี้ยง RAW 264.7 ที่ถูกกระตุ้นโดย *E. coli* LPS เมื่อ incubated ร่วมกับสารสกัดจากหอยแครงและสารสกัดจากกระเทียมความเข้มข้น 0.0625, 0.125, 0.250 มิลลิกรัม/มิลลิลิตร ($n = 3$)

* แตกต่างจากกลุ่มควบคุม RAW 264.7 cells ที่ถูกกระตุ้นด้วย *E. coli* LPS อย่างมีนัยสำคัญทางสถิติ ($P < 0.05$)

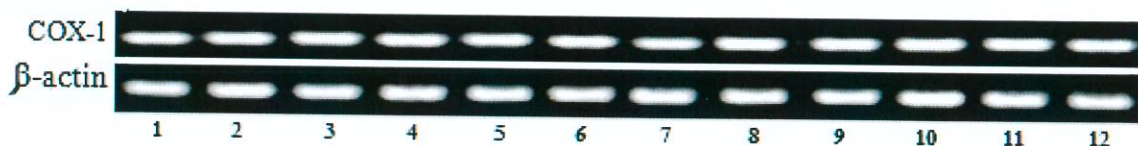
4.3.2.3 ผลของสารสกัดห้อมแดงและสารสกัดกระเทียมต่อการแสดงออกของยีน COX-1

กลุ่มเซลล์ RAW 264.7 ที่ถูกกระตุ้นด้วย *E. coli* LPS กระตุ้นเซลล์ให้มีการแสดงออกของยีน COX-1 สูงกว่าเซลล์ปกติที่ไม่ได้รับการกระตุ้นเล็กน้อย เมื่อเปรียบเทียบปริมาณการแสดงออกของยีน COX-1 ที่คิดเป็นสัดส่วนกับยีน β -actin ระหว่างกลุ่มที่ไม่ได้รับการกระตุ้นด้วย *E. coli* LPS หรือกลุ่มเซลล์ RAW 264.7 ที่ไม่ได้รับการกระตุ้นด้วย *E. coli* LPS และได้รับสารสกัดห้อมแดงและสารสกัดกระเทียม ที่ความเข้มข้น 0.250 มิลลิกรัม/มิลลิลิตร กับกลุ่มควบคุม เซลล์ RAW 264.7 ที่ถูกกระตุ้นด้วย *E. coli* LPS เพียงอย่างเดียวพบว่าไม่มีความแตกต่างทางสถิติ ดังแสดงในรูปที่ 4-10 และ 4-11

สารสกัดห้อมแดงที่ความเข้มข้น 0.0625-0.25 มิลลิกรัม/มิลลิลิตร มีความสามารถในการยับยั้งการแสดงออกของยีน COX-1 ได้ในลักษณะเป็น dose dependent manner โดยเมื่อเปรียบเทียบปริมาณการแสดงออกของยีน COX-1 โดยคิดเป็นสัดส่วนกับ β -actin ของกลุ่มเซลล์ RAW 264.7 ที่ได้รับการกระตุ้นด้วย *E. coli* LPS และได้รับสารสกัดห้อมแดงที่ความเข้มข้น 0.0625, 0.125 และ 0.250 มิลลิกรัม/มิลลิลิตร กับกลุ่มควบคุมที่ได้รับการกระตุ้นด้วย *E. coli* LPS พบว่ามีความแตกต่างกันอย่างมีนัยสำคัญทางสถิติ ($P < 0.05$) ดังแสดงในรูปที่ 4-10 และ 4-11

สารสกัดกระเทียมแสดงฤทธิ์ในการยับยั้งการแสดงออกของยีน COX-1 ที่ความเข้มข้น 0.250 มิลลิกรัม/มิลลิลิตร โดยเมื่อเปรียบเทียบปริมาณการแสดงออกของยีน COX-1 โดยคิดเป็นสัดส่วนกับยีน β -actin ของกลุ่มเซลล์ RAW 264.7 ที่ได้รับการกระตุ้นด้วย *E. coli* LPS และได้รับสารสกัดกระเทียมที่ความเข้มข้น 0.250 มิลลิกรัม/มิลลิลิตร กับกลุ่มควบคุมที่ได้รับการกระตุ้นด้วย *E. coli* LPS พบว่ามีความแตกต่างกันอย่างมีนัยสำคัญทางสถิติ ($P < 0.05$) ดังแสดงในรูปที่ 4-10 และ 4-11

เมื่อเปรียบเทียบปริมาณการแสดงออกของยีน COX-1 ที่คิดเป็นสัดส่วนกับยีน β -actin ซึ่งเป็น internal control ระหว่างกลุ่มเซลล์ RAW 264.7 ที่ถูกกระตุ้นด้วย *E. coli* LPS และได้รับสาร Aminoguanidine 0.125 มิลลิกรัม/มิลลิลิตร และ Indomethacin 0.125 มิลลิกรัม/มิลลิลิตร (Positive control groups) และกลุ่มควบคุม เซลล์ RAW 264.7 ที่ได้รับการกระตุ้นด้วย *E. coli* LPS เพียงอย่างเดียวพบว่ามีความแตกต่างอย่างมีนัยสำคัญทางสถิติ ($P < 0.05$) ดังแสดงในรูปที่ 4-10 และ 4-11



รูปที่ 4-10 ปริมาณการแสดงออกของยีน COX-1 และ β -actin ในเซลล์ RAW 264.7 ที่ถูกกระตุ้นด้วย *E. coli* LPS เมื่อ incubated ร่วมกับสารสกัดจากหอมแดงและสารสกัดจากการเทียมความเข้มข้น 0.0625, 0.125, 0.250 มิลลิกรัม/มิลลิลิตร โดยที่

1 = Unstimulated RAW 264.7 cells

2 = RAW 264.7 cells และสารสกัดหอมแดง (0.25 mg/ml)

3 = RAW 264.7 cells และสารสกัดกระเทียม (0.25 mg/ml)

4 = RAW 264.7 cells ถูกกระตุ้นด้วย *E. coli* LPS

5 = RAW 264.7 cells ถูกกระตุ้นด้วย *E. coli* LPS และได้รับสารสกัดหอมแดง 0.0625 mg/ml

6 = RAW 264.7 cells ถูกกระตุ้นด้วย *E. coli* LPS และได้รับสารสกัดหอมแดง 0.125 mg/ml

7 = RAW 264.7 cells ถูกกระตุ้นด้วย *E. coli* LPS และได้รับสารสกัดหอมแดง 0.25 mg/ml

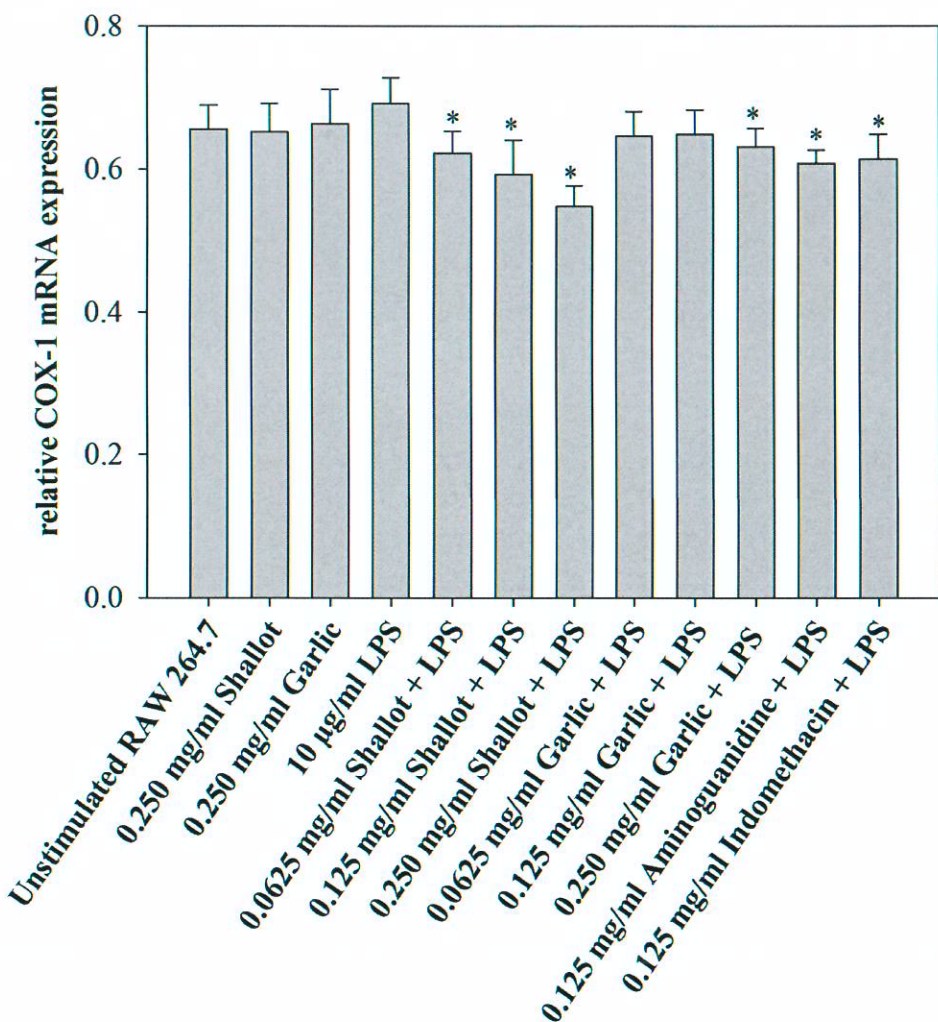
8 = RAW 264.7 cells ถูกกระตุ้นด้วย *E. coli* LPS และได้รับสารสกัดกระเทียม 0.0625 mg/ml

9 = RAW 264.7 cells ถูกกระตุ้นด้วย *E. coli* LPS และได้รับสารสกัดกระเทียม 0.125 mg/ml

10= RAW 264.7 cells ถูกกระตุ้นด้วย *E. coli* LPS และได้รับสารสกัดกระเทียม 0.25 mg/ml

11 = RAW 264.7 cells ถูกกระตุ้นด้วย *E. coli* LPS และได้รับ Aminoguanidine 0.125 mg/ml

12 = RAW 264.7 cells ถูกกระตุ้นด้วย *E. coli* LPS และได้รับ Indometacin 0.125 mg/ml



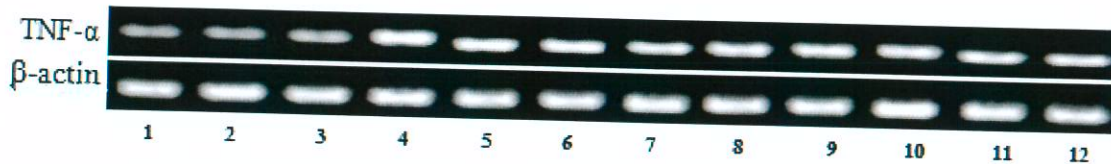
รูปที่ 4-11 ปริมาณการแสดงออกของยีน COX-1 โดยคิดเป็นสัดส่วนกับ β -actin ในเซลล์เพาะเลี้ยง RAW 264.7 ที่ถูกกระตุ้นโดย *E. coli* LPS เมื่อ incubated ร่วมกับสารสกัดจากหอยแungและสารสกัดจากกระเทียมความเข้มข้น 0.0625, 0.125, 0.250 มิลลิกรัม/มิลลิลิตร ($n = 3$)

* แตกต่างจากกลุ่มควบคุม RAW 264.7 cells ที่ถูกกระตุ้นด้วย *E. coli* LPS อย่างมีนัยสำคัญทางสถิติ ($P < 0.05$)

4.3.2.4 ผลของสารสกัดหอยแดงและสารสกัดกระเทียมต่อการแสดงออกของยีน TNF- α

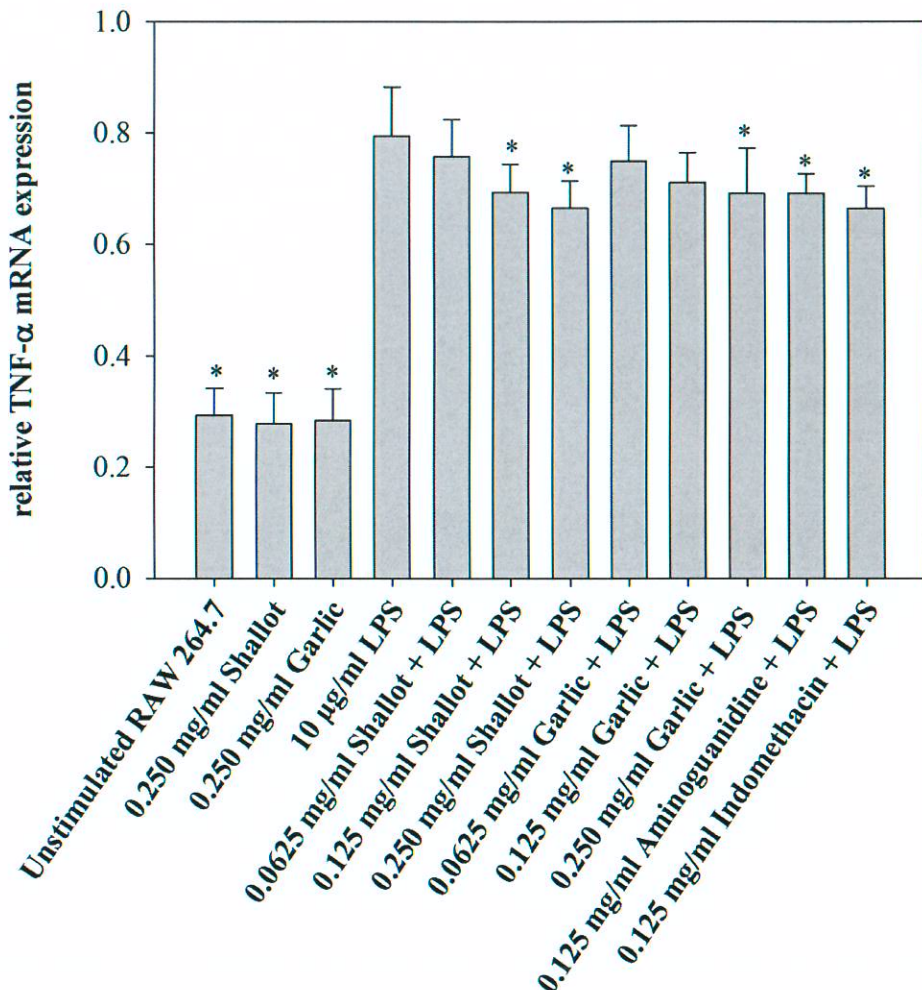
สารสกัดหอยแดงที่ความเข้มข้น 0.0625-0.25 มิลลิกรัม/มิลลิลิตร มีความสามารถในการยับยั้งการแสดงออกของยีน TNF- α ได้ในลักษณะเป็น dose dependent manner โดยเมื่อเปรียบเทียบปริมาณการแสดงออกของยีน TNF- α โดยคิดเป็นสัดส่วนกับ β -actin ของกลุ่มเซลล์ RAW 264.7 ที่ได้รับการกระตุ้นด้วย *E. coli* LPS และได้รับสารสกัดหอยแดงที่ความเข้มข้น 0.125 และ 0.250 มิลลิกรัม/มิลลิลิตร กับกลุ่มควบคุมที่ได้รับการกระตุ้นด้วย *E. coli* LPS พบร่วมกันอย่างมีนัยสำคัญทางสถิติ ($P < 0.05$) ดังแสดงในรูปที่ 4-12 และ 4-13

สารสกัดกระเทียมแสดงฤทธิ์ในการยับยั้งการแสดงออกของยีน TNF- α ที่ความเข้มข้น 0.250 มิลลิกรัม/มิลลิลิตร โดยเมื่อเปรียบเทียบปริมาณการแสดงออกของยีน TNF- α โดยคิดเป็นสัดส่วนกับยีน β -actin ของกลุ่มเซลล์ RAW 264.7 ที่ได้รับการกระตุ้นด้วย *E. coli* LPS และได้รับสารสกัดกระเทียมที่ความเข้มข้น 0.250 มิลลิกรัม/มิลลิลิตร กับกลุ่มควบคุมที่ได้รับการกระตุ้นด้วย *E. coli* LPS พบร่วมกันอย่างมีนัยสำคัญทางสถิติ ($P < 0.05$) ดังแสดงในรูปที่ 4-12 และ 4-13



รูปที่ 4-12 ปริมาณการแสดงออกของยีน TNF- α และ β -actin ในเซลล์ RAW 264.7 ที่ถูกกระตุ้นด้วย *E. coli* LPS เมื่อ incubated ร่วมกับสารสกัดจากหومแดงและสารสกัดจากกระเทียมความเข้มข้น 0.0625, 0.125, 0.250 มิลลิกรัม/มิลลิลิตร โดยที่

- 1 = Unstimulated RAW 264.7 cells
- 2 = RAW 264.7 cells และสารสกัดหومแดง (0.25 mg/ml)
- 3 = RAW 264.7 cells และสารสกัดกระเทียม (0.25 mg/ml)
- 4 = RAW 264.7 cells ถูกกระตุ้นด้วย *E. coli* LPS
- 5 = RAW 264.7 cells ถูกกระตุ้นด้วย *E. coli* LPS และได้รับสารสกัดหومแดง 0.0625 mg/ml
- 6 = RAW 264.7 cells ถูกกระตุ้นด้วย *E. coli* LPS และได้รับสารสกัดหومแดง 0.125 mg/ml
- 7 = RAW 264.7 cells ถูกกระตุ้นด้วย *E. coli* LPS และได้รับสารสกัดหومแดง 0.25 mg/ml
- 8 = RAW 264.7 cells ถูกกระตุ้นด้วย *E. coli* LPS และได้รับสารสกัดกระเทียม 0.0625 mg/ml
- 9 = RAW 264.7 cells ถูกกระตุ้นด้วย *E. coli* LPS และได้รับสารสกัดกระเทียม 0.125 mg/ml
- 10 = RAW 264.7 cells ถูกกระตุ้นด้วย *E. coli* LPS และได้รับสารสกัดกระเทียม 0.25 mg/ml
- 11 = RAW 264.7 cells ถูกกระตุ้นด้วย *E. coli* LPS และได้รับ Aminoguanidine 0.125 mg/ml
- 12 = RAW 264.7 cells ถูกกระตุ้นด้วย *E. coli* LPS และได้รับ Indometacin 0.125 mg/ml



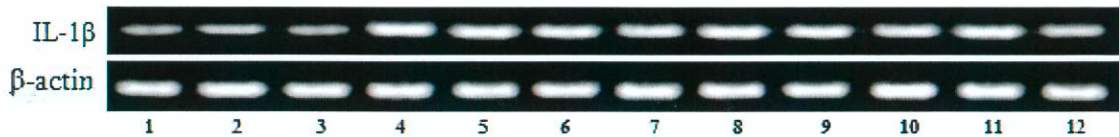
รูปที่ 4-13 ปริมาณการแสดงออกของยีน TNF- α โดยคิดเป็นสัดส่วนกับ β -actin ในเซลล์เพาะเลี้ยง RAW 264.7 ที่ถูกกระตุ้นโดย *E. coli* LPS เมื่อ incubated ร่วมกับสารสกัดจากหอยแครงและสารสกัดจากกระเทียมความเข้มข้น 0.0625, 0.125, 0.250 มิลลิกรัม/มิลลิลิตร ($n = 3$)

* แตกต่างจากกลุ่มควบคุม RAW 264.7 cells ที่ถูกกระตุ้นด้วย *E. coli* LPS อย่างมีนัยสำคัญทางสถิติ ($P < 0.05$)

4.3.2.5 ผลของสารสกัดหอมแดงและสารสกัดกระเทียมต่อการแสดงออกของยีน IL-1 β

สารสกัดหอมแดงที่ความเข้มข้น 0.0625-0.25 มิลลิกรัม/มิลลิลิตร มีความสามารถในการยับยั้งการแสดงออกของยีน IL-1 β ได้ในลักษณะเป็น dose dependent manner โดยเมื่อเปรียบเทียบปริมาณการแสดงออกของยีน IL-1 β โดยคิดเป็นสัดส่วนกับ β -actin ของกลุ่มเซลล์ RAW 264.7 ที่ได้รับการกระตุ้นด้วย *E. coli* LPS และได้รับสารสกัดหอมแดงที่ความเข้มข้น 0.0625, 0.125 และ 0.250 มิลลิกรัม/มิลลิลิตร กับกลุ่มควบคุมที่ได้รับการกระตุ้นด้วย *E. coli* LPS พบร่วมกันอย่างมีนัยสำคัญทางสถิติ ($P < 0.05$) ดังแสดงในรูปที่ 4-14 และ 4-15

สารสกัดกระเทียมในช่วงความเข้มข้น 0.0625-0.25 มิลลิกรัม/มิลลิลิตร มีความสามารถในการยับยั้งการแสดงออกของยีน IL-1 β ได้ในลักษณะเป็น dose dependent manner โดยเมื่อเปรียบเทียบปริมาณการแสดงออกของยีน IL-1 β โดยคิดเป็นสัดส่วนกับยีน β -actin ของกลุ่มเซลล์ RAW 264.7 ที่ได้รับการกระตุ้นด้วย *E. coli* LPS และได้รับสารสกัดกระเทียมที่ความเข้มข้น 0.125 และ 0.250 มิลลิกรัม/มิลลิลิตร กับกลุ่มควบคุมที่ได้รับการกระตุ้นด้วย *E. coli* LPS พบร่วมกันอย่างมีนัยสำคัญทางสถิติ ($P < 0.05$) ดังแสดงในรูปที่ 4-14 และ 4-15



รูปที่ 4-14 ปริมาณการแสดงออกของยีน IL-1 β และ β -actin ในเซลล์ RAW 264.7 ที่ถูกกระตุ้นด้วย *E. coli* LPS เมื่อ incubated ร่วมกับสารสกัดจากหอมแดงและสารสกัดจากกระเทียมความเข้มข้น 0.0625, 0.125, 0.250 มิลลิกรัม/มิลลิลิตร โดยที่

1 = Unstimulated RAW 264.7 cells

2 = RAW 264.7 cells และสารสกัดหอมแดง (0.25 mg/ml)

3 = RAW 264.7 cells และสารสกัดกระเทียม (0.25 mg/ml)

4 = RAW 264.7 cells ถูกกระตุ้นด้วย *E. coli* LPS

5 = RAW 264.7 cells ถูกกระตุ้นด้วย *E. coli* LPS และได้รับสารสกัดหอมแดง 0.0625 mg/ml

6 = RAW 264.7 cells ถูกกระตุ้นด้วย *E. coli* LPS และได้รับสารสกัดหอมแดง 0.125 mg/ml

7 = RAW 264.7 cells ถูกกระตุ้นด้วย *E. coli* LPS และได้รับสารสกัดหอมแดง 0.25 mg/ml

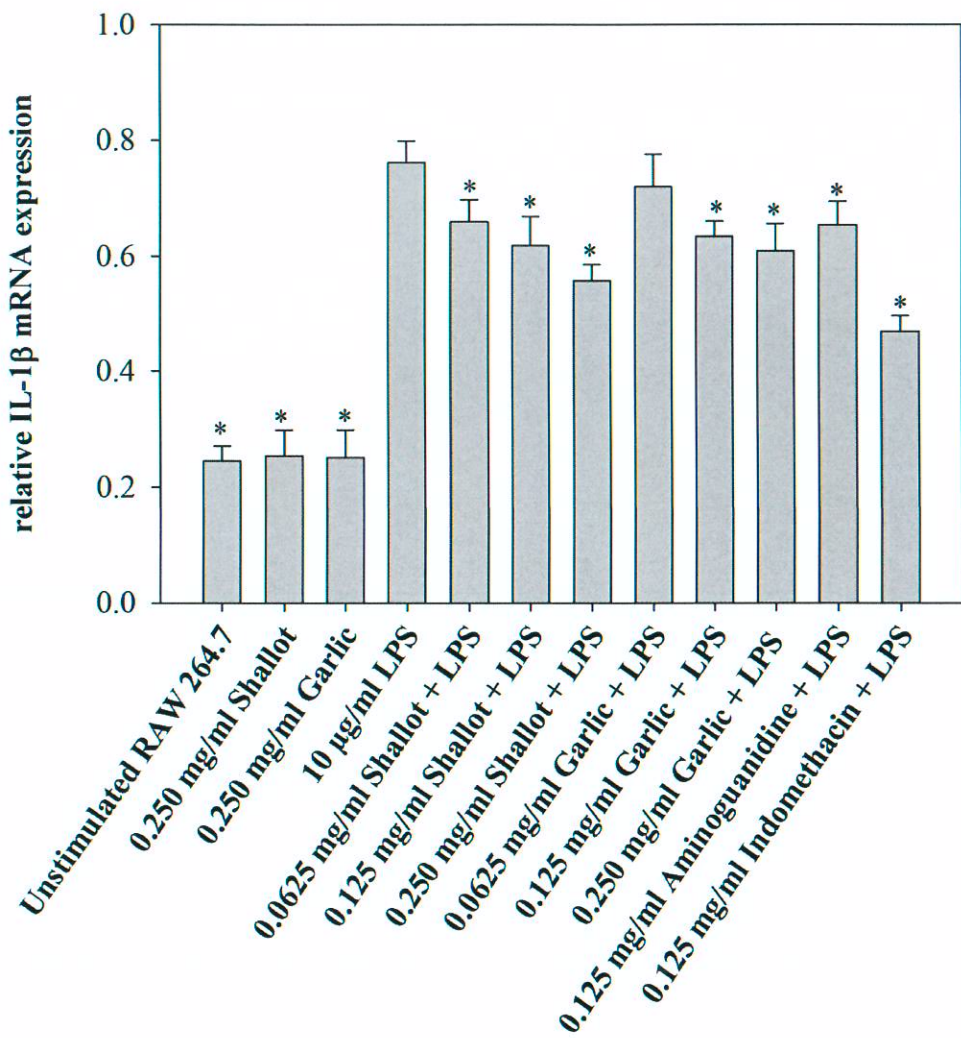
8 = RAW 264.7 cells ถูกกระตุ้นด้วย *E. coli* LPS และได้รับสารสกัดกระเทียม 0.0625 mg/ml

9 = RAW 264.7 cells ถูกกระตุ้นด้วย *E. coli* LPS และได้รับสารสกัดกระเทียม 0.125 mg/ml

10 = RAW 264.7 cells ถูกกระตุ้นด้วย *E. coli* LPS และได้รับสารสกัดกระเทียม 0.25 mg/ml

11 = RAW 264.7 cells ถูกกระตุ้นด้วย *E. coli* LPS และได้รับ Aminoguanidine 0.125 mg/ml

12 = RAW 264.7 cells ถูกกระตุ้นด้วย *E. coli* LPS และได้รับ Indometacin 0.125 mg/ml



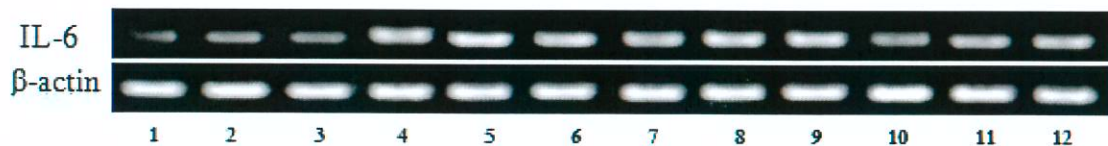
รูปที่ 4-15 ปริมาณการแสดงออกของยีน IL-1 β โดยคิดเป็นสัดส่วนกับ β -actin ในเซลล์เพาะเลี้ยง RAW 264.7 ที่ถูกกระตุ้นโดย *E. coli* LPS เมื่อ incubated ร่วมกับสารสกัดจากหอยดงและสารสกัดจากกระเทียมความเข้มข้น 0.0625, 0.125, 0.250 มิลลิกรัม/มิลลิลิตร ($n = 3$)

* แตกต่างจากกลุ่มควบคุม RAW 264.7 cells ที่ถูกกระตุ้นด้วย *E. coli* LPS อย่างมีนัยสำคัญทางสถิติ ($P < 0.05$)

4.3.2.6 ผลของสารสกัดหومแดงและสารสกัดกระเทียมต่อการแสดงออกของยีน IL-6

สารสกัดหومแดงที่ความเข้มข้น 0.125 และ 0.250 มิลลิกรัม/มิลลิลิตร มีความสามารถในการยับยั้งการแสดงออกของยีน IL-6 ได้ในลักษณะเป็น dose dependent manner โดยเมื่อเปรียบเทียบปริมาณการแสดงออกของยีน IL-6 โดยคิดเป็นสัดส่วนกับ β -actin ของกลุ่มเซลล์ RAW 264.7 ที่ได้รับการกระตุ้นด้วย *E. coli* LPS และได้รับสารสกัดหومแดงที่ความเข้มข้น 0.125 และ 0.250 มิลลิกรัม/มิลลิลิตร กับกลุ่มควบคุมที่ได้รับการกระตุ้นด้วย *E. coli* LPS พบร่วมกับมีความแตกต่างกันอย่างมีนัยสำคัญทางสถิติ ($P < 0.05$) ดังแสดงในรูปที่ 4-16 และ 4-17

สารสกัดกระเทียมที่ความเข้มข้น 0.0625-0.25 มิลลิกรัม/มิลลิลิตร มีความสามารถในการยับยั้งการแสดงออกของยีน IL-6 ได้ในลักษณะเป็น dose dependent manner โดยเมื่อเปรียบเทียบปริมาณการแสดงออกของยีน IL-6 โดยคิดเป็นสัดส่วนกับยีน β -actin ของกลุ่มเซลล์ RAW 264.7 ที่ได้รับการกระตุ้นด้วย *E. coli* LPS และได้รับสารสกัดกระเทียมที่ความเข้มข้น 0.125 และ 0.250 มิลลิกรัม/มิลลิลิตร กับกลุ่มควบคุมที่ได้รับการกระตุ้นด้วย *E. coli* LPS พบร่วมกับมีความแตกต่างกันอย่างมีนัยสำคัญทางสถิติ ($P < 0.05$) ทั้งนี้ สารสกัดกระเทียมยังมีฤทธิ์ในการยับยั้งการแสดงออกของยีน IL-6 ได้ดีกว่าสารสกัดหومแดงอีกด้วย ดังแสดงในรูปที่ 4-16 และ 4-17



รูปที่ 4-16 ปริมาณการแสดงออกของยีน IL-6 และ β -actin ในเซลล์ RAW 264.7 ที่ถูกกระตุ้นด้วย *E. coli* LPS เมื่อ incubated ร่วมกับสารสกัดจากหอมแดงและสารสกัดจากการเทียมความเข้มข้น 0.0625, 0.125, 0.250 มิลลิกรัม/มิลลิลิตร โดยที่

1 = Unstimulated RAW 264.7 cells

2 = RAW 264.7 cells และสารสกัดหอมแดง (0.25 mg/ml)

3 = RAW 264.7 cells และสารสกัดกระเทียม (0.25 mg/ml)

4 = RAW 264.7 cells ถูกกระตุ้นด้วย *E. coli* LPS

5 = RAW 264.7 cells ถูกกระตุ้นด้วย *E. coli* LPS และได้รับสารสกัดหอมแดง 0.0625 mg/ml

6 = RAW 264.7 cells ถูกกระตุ้นด้วย *E. coli* LPS และได้รับสารสกัดหอมแดง 0.125 mg/ml

7 = RAW 264.7 cells ถูกกระตุ้นด้วย *E. coli* LPS และได้รับสารสกัดหอมแดง 0.25 mg/ml

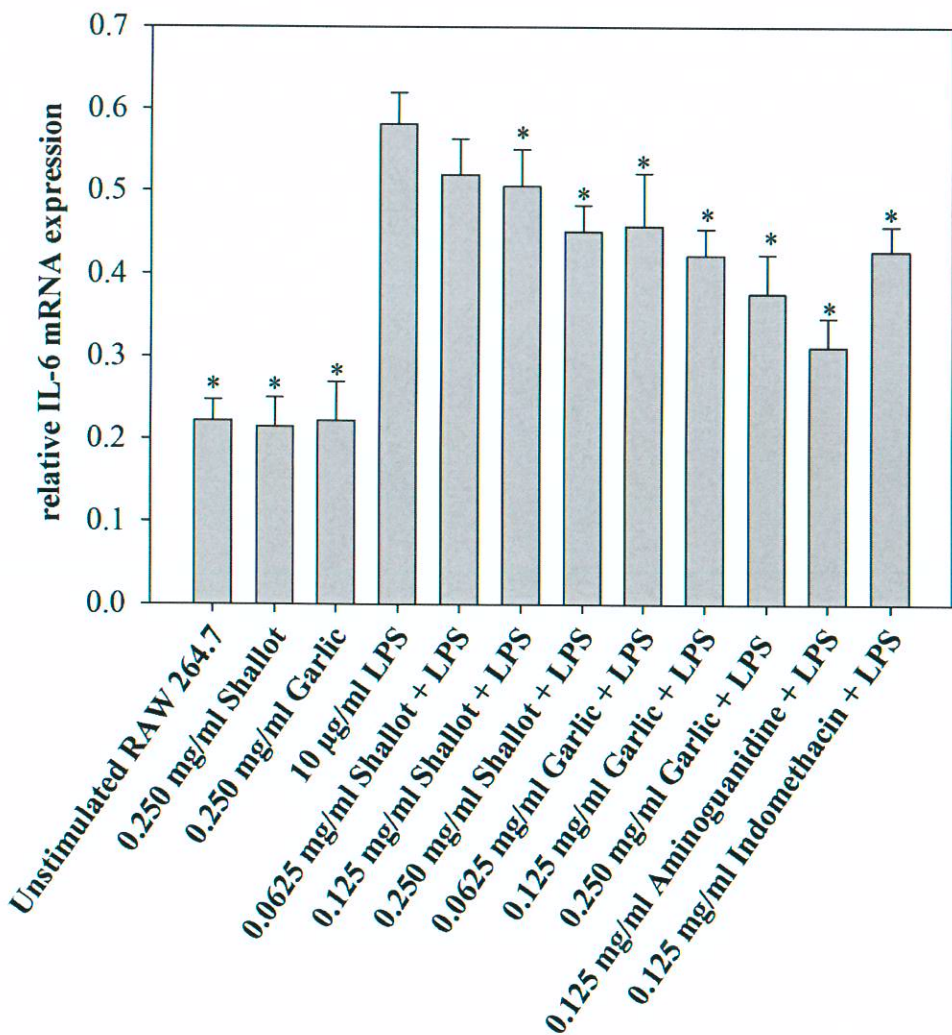
8 = RAW 264.7 cells ถูกกระตุ้นด้วย *E. coli* LPS และได้รับสารสกัดกระเทียม 0.0625 mg/ml

9 = RAW 264.7 cells ถูกกระตุ้นด้วย *E. coli* LPS และได้รับสารสกัดกระเทียม 0.125 mg/ml

10 = RAW 264.7 cells ถูกกระตุ้นด้วย *E. coli* LPS และได้รับสารสกัดกระเทียม 0.25 mg/ml

11 = RAW 264.7 cells ถูกกระตุ้นด้วย *E. coli* LPS และได้รับ Aminoguanidine 0.125 mg/ml

12 = RAW 264.7 cells ถูกกระตุ้นด้วย *E. coli* LPS และได้รับ Indometacin 0.125 mg/ml



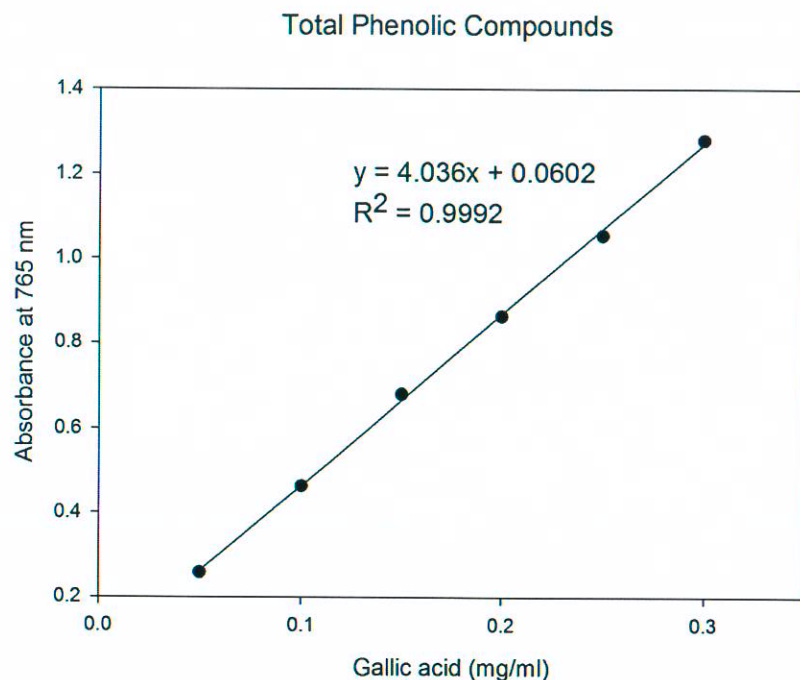
รูปที่ 4-17 ปริมาณการแสดงออกของยีน IL-6 โดยคิดเป็นสัดส่วนกับ β -actin ในเซลล์เพาะเลี้ยง RAW 264.7 ที่ถูกกระตุ้นโดย *E. coli* LPS เมื่อ incubated ร่วมกับสารสกัดจากหอยแดงและสารสกัดจากกระเทียมความเข้มข้น 0.0625, 0.125, 0.250 มิลลิกรัม/มิลลิลิตร ($n = 3$)

* แตกต่างจากกลุ่มควบคุม RAW 264.7 cells ที่ถูกกระตุ้นด้วย *E. coli* LPS อย่างมีนัยสำคัญทางสถิติ ($P < 0.05$)

4.4 ผลการวิเคราะห์หาปริมาณสารฟีนอลรวม (Total phenolic compounds) ในสารสกัดห้อมแดงและสารสกัดกระเทียม โดยวิธี Folin-Ciocalteus

การวิเคราะห์ปริมาณสารประกอบฟีนอลรวมในสารสกัดห้อมแดงและสารสกัดกระเทียม โดยพิจารณาจากการเทียบกับกราฟมาตรฐานของ Gallic acid ในการทดลองนี้ได้เตรียมสารละลายน้ำตราชูน Gallic acid ความเข้มข้น 0.05, 0.10, 0.15, 0.20, 0.25 และ 0.30 มิลลิกรัม/มิลลิลิตร และทำปฏิกิริยากับ Folin-Ciocalteau reagent และ Sodium carbonate และนำไปวัดค่าการดูดกลืนแสงที่ความยาวคลื่น 765 นาโนเมตรผลการวิเคราะห์พบว่า ทำการดูดกลืนแสงของ Gallic acid มีความสัมพันธ์ในเชิงบางกับความเข้มข้นของ Gallic acid และได้สมการเส้นตรงแสดงความสัมพันธ์ดังนี้ $y = 4.036x + 0.0602$ ค่า $R^2 = 0.9992$ ดังแสดงในรูปที่ 4-18 เมื่อนำค่าการดูดกลืนแสงของสารสกัดห้อมแดงและสารสกัดกระเทียมไปหาปริมาณ Total phenolic compounds โดยใช้วิธี Folin-Ciocalteus และคำนวนหาปริมาณสมมูลกับ Gallic acid ซึ่งใช้เป็นสารมาตรฐาน พบร่วมกับสารสกัดห้อมแดงมีปริมาณสารประกอบฟีนอลรวมเท่ากับ 15.964 ± 0.122 มิลลิกรัมสมมูลของกรดแกลลิกต่อน้ำหนักของสารสกัด 1 กรัม ($n=3$) และสารสกัดกระเทียมมีปริมาณสารฟีนอลรวมเท่ากับ 4.020 ± 0.009 มิลลิกรัมสมมูลของกรดแกลลิกต่อน้ำหนักของสารสกัด 1 กรัม ($n=3$) ดังแสดงในตารางที่ 4-4

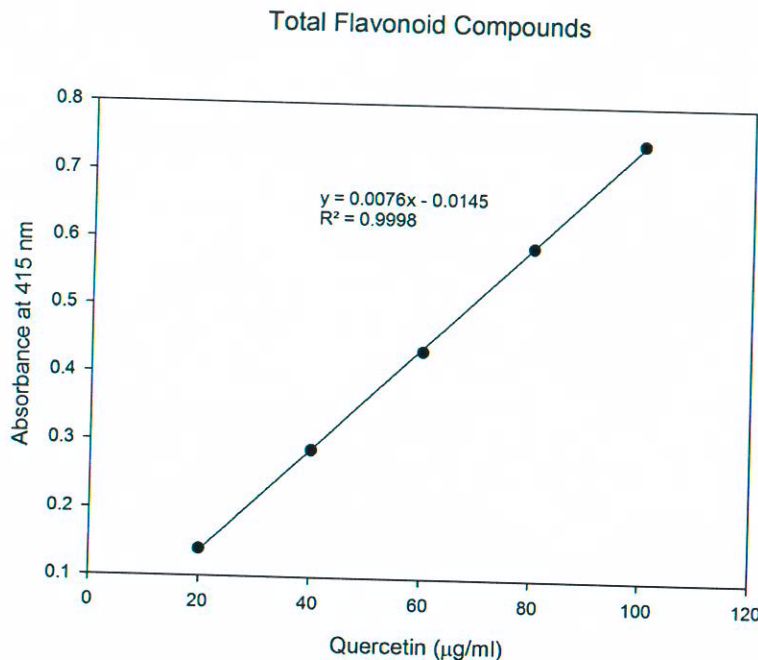
ในที่นี้หมายความถึงใน 1 กรัมของสารสกัดห้อมแดงมีปริมาณสารฟีนอลรวมเทียบเท่ากับสารมาตรฐาน Gallic acid ประมาณ 15 มิลลิกรัม และใน 1 กรัมของสารสกัดกระเทียมมีปริมาณสารฟีนอลรวมเทียบเท่ากับสารมาตรฐาน Gallic acid ประมาณ 4 มิลลิกรัมสารสกัดห้อมแดงในเอรานอลมีปริมาณสารฟีนอลรวมสูงกว่าสารสกัดกระเทียมในเอรานอล



รูปที่ 4-18 กราฟม่าตรฐานแสดงความสัมพันธ์ระหว่างความเข้มข้นของ Gallic acid (มิลลิกรัม/มิลลิลิตร) และค่าการดูดกลืนแสงที่ความยาวคลื่น 765 นาโนเมตร เมื่อทดสอบหา Total Phenolic Compounds ด้วยวิธี Folin-Ciocalteus

4.5 ผลการวิเคราะห์ปริมาณสาร flavonoid รวม (Total Flavonoid compounds) ในสารสกัดหอยดงและสารสกัดกระเทียม

การวิเคราะห์หาปริมาณของสาร flavonoid รวมในสารสกัดหอยดงและสารสกัดกระเทียมพิจารณาโดยเทียบเท่าเป็นปริมาณของ Quercetin ซึ่งใช้เป็นสารมาตรฐานในการทดลองนี้ได้เตรียมสารละลายน้ำตราชาน Quercetin ความเข้มข้น 20, 40, 60, 80 และ 100 มิโครกรัม/มิลลิลิตร และทำปฏิกิริยา กับสาร Aluminium chloride และ Potassium acetate และนำไปวัดค่าการดูดกลืนแสงที่ความยาวคลื่น 415 นาโนเมตรผลการวิเคราะห์พบว่า ค่าการดูดกลืนแสงของ Quercetin มีความสัมพันธ์ในเชิงบวกกับความเข้มข้นของ Quercetin และได้สมการเส้นตรงแสดงความสัมพันธ์ดังนี้ $y = 0.0076x + 0.0145$ ค่า $R^2 = 0.9998$ ดังแสดงในรูปที่ 4-19 เมื่อนำค่าการดูดกลืนแสงของสารสกัดหอยดงและสารสกัดกระเทียมไปหาปริมาณ Total flavonoid compounds คำนวณเป็นปริมาณสมมูลกับ Quercetin ซึ่งใช้เป็นสารมาตรฐาน พบร้าสารสกัดหอยดงมีปริมาณสาร flavonoid รวมเท่ากับ 11.742 ± 0.012 มิลลิกรัมสมมูลของ Quercetin ต่อน้ำหนักของสารสกัด 1 กรัม ($n=3$) และสารสกัดกระเทียมมีปริมาณสาร flavonoid รวมเท่ากับ 7.669 ± 0.038 มิลลิกรัมสมมูลของ Quercetin ต่อน้ำหนักของสารสกัด 1 กรัม ($n=3$) ดังแสดงในตารางที่ 4-4



รูปที่ 4-19 กราฟมาตรฐานแสดงความสัมพันธ์ระหว่างความเข้มข้นของ Quercetin ($\mu\text{g}/\text{ml}$) และค่าการดูดกลืนแสงที่ความยาวคลื่น 415 นาโนเมตร เมื่อทดสอบหา Total Flavonoid Compounds

ตารางที่ 4-4 ผลการวิเคราะห์ปริมาณสารพีโนลรวม (Total phenolic compounds) และปริมาณสาร flavonoid รวม (Total flavonoid compounds) ในสารสกัดหอมแดงและสารสกัดกระเทียมในเอทานอล

| สารทดสอบ | Total phenolic compounds (มิลลิกรัม/กรัม สารสกัดหยาบ) | Total flavonoid compounds (มิลลิกรัม/กรัม สารสกัดหยาบ) |
|--------------------------|---|--|
| สารสกัดหอมแดงในเอทานอล | 15.964 ± 0.122 | 11.742 ± 0.012 |
| สารสกัดกระเทียมในเอทานอล | 4.020 ± 0.009 | 7.669 ± 0.038 |

บทที่ 5

อภิปราย สรุปผลการทดลองและข้อเสนอแนะ (Discussion, Conclusion and Suggestions)

5.1 อภิปรายและสรุปผลการทดลอง

การทดสอบฤทธิ์ทางชีวภาพของสารสกัดจากส่วนหัวของหอยแดงและส่วนหัวของกระเทียมที่สกัดด้วยตัวทำละลายเอทานอล พบว่า

สารสกัดหอยแดงและสารสกัดกระเทียมในเอทานอล ในขนาด 100-1200 มิลลิกรัม/กิโลกรัมน้ำหนักตัว ที่ใช้ในการทดสอบไม่มีฤทธิ์ระงับปวดเมื่อทดสอบฤทธิ์ระงับปวดในหนูถีบจักรเพศผู้พันธุ์ ICR ด้วยวิธี Hot-plate และ tail-flick โดยหนูถีบจักรที่ได้รับสารสกัดหอยแดงและสารสกัดกระเทียมขนาด 100-1200 มิลลิกรัม/กิโลกรัมน้ำหนักตัว ทางช่องห้อง ไม่สามารถทนอยู่บนแผ่นร้อนได้นานกว่าและไม่สามารถต่อความร้อนได้โดยไม่กระดกหางเมื่อเปรียบเทียบกับหนูถีบจักรกลุ่มควบคุมที่ได้รับน้ำเกลือ (Normal saline , NSS 10 มิลลิลิตร/กิโลกรัม) ทั้งนี้เมื่อคำนวณค่าเฉลี่ยเปอร์เซ็นต์สูงสุดที่หนูสามารถทนต่อความร้อนได้ (% maximum possible effect, %MPE) ที่เวลา 15,30,45,60,90,120 นาทีแล้วนำมาคำนวณหาพื้นที่ได้กราฟระหว่าง %MPE และเวลา พบว่าหนูถีบจักรที่ได้รับสารสกัดหอยแดงและสารสกัดกระเทียมขนาด 100-1200 มก./กг. ทางช่องห้องมีค่า Area of analgesia ไม่แตกต่างจากกลุ่มควบคุม ในขณะที่หนูถีบจักรกลุ่มที่ได้รับยาจะระงับปวดมาตรฐานมอร์ฟีนในขนาด 10 มิลลิกรัม/กิโลกรัมน้ำหนักตัว แสดงฤทธิ์ระงับปวด โดยมีค่า Area of analgesia ที่มากกว่ากลุ่มควบคุมอย่างมีนัยสำคัญทางสถิติทั้งในวิธี Hot-Plate และ Tail-Flick

Mouse Hot-Plate และ Mouse Tail-Flick method เป็นวิธีการทดสอบฤทธิ์ระงับปวดในหนูถีบจักร โดยการกระตุนให้หนูเกิดความเจ็บปวดด้วยความร้อน ทั้งนี้ตัวกระตุนจะทำให้มีการส่งสัญญาณผ่านตัวรับรู้ความเจ็บปวดผ่านไขสันหลังไปสู่สมองและแสดงออกเป็นพฤติกรรมที่ตอบสนองต่อความเจ็บปวด ใน Hot-Plate test หนูที่ได้รับสารทดสอบและสามารถต่อการยืนบนแผ่นร้อนได้นานกว่ากลุ่มควบคุมจะถือว่าสารทดสอบนั้นมี

ถูกกระตุ้นที่ระดับเหนือไขสันหลัง (Supraspinal level) ใน Tail-Flick test หนูที่ได้รับสารทดสอบและสามารถทนต่อการกระตุ้นด้วยความร้อนที่บริเวณหางโดยไม่กระตุกหางออกจากแสงนานกว่ากลุ่มควบคุมจะถือว่าสารทดสอบนั้นมีฤทธิ์ระงับปวดที่ระดับไขสันหลัง (Spinal level) (Barrot, 2012) จากการทดสอบฤทธิ์ระงับปวดพบว่าสารสกัดหอมแดงและสารสกัดกระเทียมในเอรานอลไม่แสดงฤทธิ์ระงับปวดในทั้งสองวิธีการทดสอบนี้สารสกัดหอมแดงและสารสกัดกระเทียมในเอรานอลไม่มีฤทธิ์ระงับปวดแบบเฉียบพลันที่ถูกกระตุ้นด้วยความร้อนและไม่ออกฤทธิ์ระงับปวดที่ถูกกระตุ้นด้วยความร้อนในระบบประสาทส่วนกลาง สารสกัดหอมแดงและสารสกัดกระเทียมในเอรานอลที่ใช้ในการศึกษาอาจออกฤทธิ์ระงับปวดโดยออกฤทธิ์ผ่านระบบประสาทส่วนปลายโดยอาจยับยั้งการหลั่งของสารสื่อกลางการอักเสบต่าง ๆ ผลการวิจัยนี้สอดคล้องกับงานวิจัยของ Owoyele และคณะ (2006) ทำการทดสอบฤทธิ์ระงับปวดของสารสกัด ในเมรานอลและในขันน้ำ พบว่า สารสกัดของ *Allium ascalonicum* ในขันเมรานอลขนาด 200 มิลลิกรัม/กิโลกรัมน้ำหนักตัว ไม่สามารถระงับปวดในหนูที่ถูกกระตุ้นให้เกิดความเจ็บปวดด้วยความร้อนที่อุณหภูมิ 55 และ 60 องศาเซลเซียส แต่สามารถระงับปวดในหนูที่ถูกกระตุ้นให้เกิดความเจ็บปวดด้วยความร้อนที่อุณหภูมิ 45 และ 50 องศาเซลเซียส และสารสกัด *Allium ascalonicum* ในขันเมรานอลสามารถกระงับปวดได้ดีใน Formalin test ทั้ง early phase (neurogenic phase) และ late phase (inflammatory phase) ในหนูขาว Formalin test เป็นการทดสอบฤทธิ์ระงับปวดที่สัมพันธ์กับการอักเสบ (inflammatory analgesia) โดยกระตุ้นให้หนูเกิดความเจ็บปวดด้วยการฉีดสารเคมี formalin เข้าที่ฝ่าเท้าและสังเกตพฤติกรรมการเลียเท้าของหนูหลังฉีด formalin ในระยะ early phase ทำให้เกิดการทำลายเนื้อเยื่ออ่อน弱 เช่น histamine serotonin และ bradykinin การยับยั้งใน early phase จะมีผลยับยั้งผ่านระบบประสาทรับความรู้สึก หรือผ่าน opioid receptors ในระบบประสาทส่วนกลาง และการยับยั้งในระยะ late phase จะเกิดจากการยับยั้งการสร้างสารสื่อกลางการอักเสบ (ปราโมทย์ มหาชนก, 2553)

การศึกษาฤทธิ์ต้านการอักเสบของสารสกัดหومแ Deng และสารสกัดกระเทียมในเซลล์เพาะเลี้ยงมาโครฟ้า RAW 264.7 ที่ได้รับการกระตุ้นให้มีการแสดงออกของยีน iNOS, COX-2, COX-1, TNF- α , IL-1 β และ IL-6 ด้วยสาร *E. coli* LPS จากการทดสอบความเป็นพิษต่อเซลล์ด้วยวิธี MTT Assay พบว่าสารสกัดหومแ Deng และสารสกัดกระเทียมที่ความเข้มข้น 0.0625, 0.125 และ 0.250 มิลลิกรัม/มิลลิลิตรไม่แสดงความเป็น

พิษต่อเซลล์ ในการศึกษาการแสดงออกของยีน iNOS, COX-2, COX-1, TNF- α , IL-1 β และ IL-6 ทำโดย ตรวจสอบการสังเคราะห์ mRNA ที่เซลล์เพาะเลี้ยงมาโคร์ฟاج RAW 264.7 ที่ได้รับการกระตุ้นด้วย *E. coli* LPS (10 ไมโครกรัม/มิลลิลิตร) สร้างขึ้นด้วยวิธี RT-PCR พบว่ากลุ่มควบคุมเซลล์เพาะเลี้ยงมาโคร์ฟاج RAW 264.7 ที่ได้รับการกระตุ้นด้วย *E. coli* LPS (10 ไมโครกรัม/มิลลิลิตร) มีการสังเคราะห์ mRNA ของ iNOS, COX-2, COX-1, TNF- α , IL-1 β และ IL-6 ในปริมาณสูง การใช้สารยับยั้งการอักเสบมาตรฐานคือ Aminoguanidine และ Indomethacin ในขนาด 0.125 มิลลิกรัมต่อมิลลิลิตรสามารถยับยั้งการแสดงออกของยีน iNOS, COX-2, COX-1, TNF- α , IL-1 β และ IL-6 ได้ เมื่อเปรียบเทียบปริมาณการแสดงออกของยีน iNOS, COX-2, COX-1, TNF- α , IL-1 β และ IL-6 โดยคิดเป็นสัดส่วนกับ β -actin ระหว่างกลุ่มเซลล์เพาะเลี้ยงมาโคร์ฟاج RAW 264.7 ที่ได้รับการกระตุ้นด้วย *E. coli* LPS (10 ไมโครกรัม/มิลลิลิตร) และได้รับสารสกัดห้อมแดงและสารสกัดกระเทียมที่ความเข้มข้น 0.0625, 0.125 และ 0.250 มิลลิกรัม/มิลลิลิตร กับกลุ่มควบคุมเซลล์เพาะเลี้ยงมาโคร์ฟاج RAW 264.7 ที่ได้รับการกระตุ้นด้วย *E. coli* LPS เพียงอย่างเดียวพบว่า สารสกัดห้อมแดงและสารสกัดกระเทียมยับยั้งการแสดงออกของยีน iNOS, TNF- α , IL-1 β และ IL-6 โดยมีความแรงเปรียบตามความเข้มข้นของสารสกัด และสารสกัดกระเทียมยับยั้งการแสดงออกของยีน COX-2 และ COX-1 ในขณะที่สารสกัดห้อมแดงยับยั้งการแสดงออกของยีน COX-1 และไม่มีผลต่อการแสดงออกของ COX-2

จากการทดลองที่สารสกัดห้อมแดงและสารสกัดกระเทียมที่ความเข้มข้น 0.125 และ 0.250 มิลลิกรัม/มิลลิลิตรสามารถยับยั้งการแสดงออกของยีน iNOS ในเซลล์เพาะเลี้ยง RAW 264.7 ที่ได้รับการกระตุ้นด้วยสาร *E. coli* LPS นั้น ผลการทดลองมีความสอดคล้องกับงานวิจัยที่มีการรายงานผลของสารสำคัญในกระเทียม ได้แก่ diallyl sulfide, diallyl trisulfide, s-allyl cysteine, และ allicin ที่สามารถลดการหลั่งของ nitric oxide โดยการยับยั้งการแสดงออกของยีนและโปรตีน iNOS ในเซลล์เพาะเลี้ยง RAW 264.7 ที่ได้รับการกระตุ้นด้วยสาร LPS (Chang et al., 2005; Liu et al., 2006; Kim et al., 2001; Shin et al., 2013) เอนไซม์ iNOS เป็นเอนไซม์ที่เปลี่ยนแปลงสาร L-arginine ให้เป็น nitric oxide ปริมาณ nitric oxide ที่เพิ่มขึ้นมากเกินไปภายในเซลล์จะส่งผลให้เกิดความเป็นพิษต่อเซลล์ เนื้อเยื่ออุကำทำลายและร่างกายเกิดพยาธิสภาพ ในปัจจุบันได้มีการพัฒนาหาสารที่มีคุณสมบัติในการยับยั้งการทำงานของเอนไซม์ iNOS เพื่อรักษาโรคที่เกิดขึ้นจากการทำงานของเอนไซม์ iNOS ที่มากเกินไปได้แก่ ภาวะซึ่องจากการติดเชื้อ ข้ออักเสบ ภาวะหลอดเลือดแดงแข็ง โรค

หีด โรคที่เกี่ยวข้องกับภาวะอักเสบและโรคมะเร็ง (Zamora et al., 2000). จากคุณสมบัติที่สามารถยับยั้งการแสดงออกของยีน iNOS ในผลการทดลองนี้ สารสกัดหอยแดงและสารสกัดกระเทียมในเอรานอล่าจะเป็นตัวเลือกหนึ่งที่จะพัฒนาเพื่อเป็นยาที่ใช้ในการรักษาภาวะโรคที่เกี่ยวข้องกับภาวะอักเสบ

Cyclooxygenase หรือ COX เป็นเอนไซม์ที่ทำหน้าที่เปลี่ยน arachidonic acid ซึ่งพบที่เซลล์เมมเบรนของเซลล์ทั่วทั้งร่างกาย ไปเป็น Prostaglandins และ Thromboxane (TXA₂) เมื่อเนื้อเยื่อของร่างกายได้รับการบาดเจ็บ จะเกิดการสร้าง Arachidonic acid ขึ้นมาจากการ phospholipids โดยอาศัยเอนไซม์ Phospholipase A₂ แล้ว Arachidonic acid จะถูกเอนไซม์ COX และ lipoxygenase (LOX) เปลี่ยนไปเป็น Prostaglandins และ Leukotrienes (LT) ตามลำดับ ปัจจุบันได้มีการตรวจพบว่าเอนไซม์ Cyclooxygenase ที่สำคัญ 2 isoform ได้แก่ Cyclooxygenase-1 (COX-1) และ Cyclooxygenase-2 (COX-2) โดยที่เอนไซม์ COX-1 เป็น constitutive form พบรูปในภาวะปกติ มีหน้าที่ดูแล สมดุลของร่างกาย โดยจะเปลี่ยน Arachidonic acid ให้เป็น Thromboxane A₂ (TxA₂), Prostaglandin E₂ (PGE₂) และ Prostacyclin (PGI₂) ร่วมกับหน้าที่ควบคุมการทำงานของเกร็ดเลือด และยับยั้งการจับกลุ่มของเกร็ดเลือดที่ผิดปกติจนทำให้เกิดการอุดตันของหลอดเลือด นอกจากนี้ยังทำให้หลอดเลือดขยายตัวขึ้น เพิ่มการหล่อเยื่อเมือก เพิ่มการหล่อ bicarbonate บริเวณกระเพาะอาหาร และควบคุมการไหลเวียนของเลือดไปที่ต่อมทั้งการกรองการขับโซเดียม และน้ำของไต (Schafer, 1999). ในขณะที่เอนไซม์ COX-2 ซึ่งทำหน้าที่เหมือนกัน ส่วนใหญ่จะเป็น inducible form คือจะพบมากขึ้นในภาวะที่ร่างกายได้รับบาดเจ็บหรือเมื่อมีตัวกระตุ้นที่เกี่ยวข้องกับการอักเสบ (de Leval, 2000). เนื่องจาก prostaglandins มีบทบาทสำคัญในกระบวนการอักเสบ ทำให้เกิดอาการปวดและการไข้ ดังนั้นการยับยั้งการทำงานของเอนไซม์ cyclooxygenase ซึ่งเป็นกลไกการออกฤทธิ์ที่สำคัญของยาต้านอักเสบชนิดไม่ใชสเตียรอยด์ (Non-steroidal Anti-inflammatory drugs, NSAIDs) จึงเป็นผลให้การสร้าง prostaglandins ลดลงมากนั้นในขนาดต่ำจะสามารถออกฤทธิ์ได้ทั้งลดอาการไข้และการปวดทั้งที่เป็นแบบเฉียบพลันและเรื้อรัง และถ้าใช้ในขนาดสูงจะสามารถลดการอักเสบได้ดี อาจแบ่งยากลุ่มนี้ NSAIDs ตามฤทธิ์ในการยับยั้งเอนไซม์ cyclooxygenase ว่าจะมีความสามารถในการยับยั้งเอนไซม์ COX-1 หรือ COX-2 มากกว่ากัน โดยจะใช้ค่า IC₅₀ (Inhibition concentration at 50% คือ ความเข้มข้นของยาที่มีผลต่อการยับยั้งการสร้าง prostaglandin ได้ร้อยละ 50) COX-2 : COX-1 (ทำให้สามารถแบ่งยากลุ่มนี้ได้เป็น 3 กลุ่ม ได้แก่ Non-specific cox inhibitors หรือ traditional NSAIDs หรือ classical NSAIDs หมายถึง ยาต้านอักเสบชนิดไม่ใชส

เติร์รอยด์ที่มี IC_{50} COX-2 : COX-1 มากกว่า 1 ได้แก่ aspirin indomethacin ibuprofen, กลุ่มที่ 2 คือ COX-2 selective inhibitors หมายถึง ยาต้านอักเสบชนิดไม่ใช่สเตียรอยด์ที่มีค่า IC_{50} COX-2: COX-1 อยู่ระหว่าง 1-0.01 ได้แก่ meloxicam nimesulide และ etodolac และกลุ่มที่ 3 คือ COX-2 specific inhibitors หมายถึง ยาต้านอักเสบชนิดไม่ใช่สเตียรอยด์ที่มีค่า IC_{50} COX-2: COX-1 น้อยกว่า 0.01 ยกเว้นที่ยังไม่ถูกถอนออกจากตลาดได้แก่ celecoxib parecoxib และ etoricoxib ยาในกลุ่มนี้มีราคาค่อนข้างสูง (พรทวี เลิศรีสกิต สุชิตา จันทร์วิทยานุชิต) การยับยั้งการทำงานของเอนไซม์ COX-2 จะช่วยลดการเกิดการอักเสบ ถูกนำไปลดการอักเสบและระงับปวดจึงเกี่ยวข้องกับการยับยั้งการทำงานของเอนไซม์ COX-2 ในขณะที่การยับยั้งการทำงานของเอนไซม์ COX-1 อาจทำให้เกิดอาการไม่พึงประสงค์ เช่นการเกิดแพลงในกระเพาะอาหาร มีผลเสียต่อการทำงานของไตและการจับกลุ่มกันของเกร็ดเลือด ทำให้มีอุบัติการณ์ของการเจ็บป่วยและการเสียชีวิตเพิ่ม (Lanas, 2009). การแสดงออกของโปรตีน COX-2 ถูกกระตุ้นโดย growth factors สาร Pro-inflammatory cytokines และสารก่อมะเร็ง (carcinogens) ดังนั้นเอนไซม์ COX-2 จึงมีบทบาทสำคัญทั้งในการอักเสบและการควบคุมการเจริญเติบโตของเซลล์ด้วย สารที่มีฤทธิ์ในการยับยั้งการทำงานของเอนไซม์ COX-2 จึงสามารถพัฒนาเป็นยาต้านอักเสบและยา抗มะเร็งได้ (Dirsch and Vollmar, 2001) มีรายงานการศึกษาว่าสาร diallyl sulfides, ajoene, thiacremonone ซึ่งเป็นสาร sulfur compounds ที่แยกได้จากการเทียมสามารถยับยั้งการแสดงออกของยีน COX-2 ในเซลล์มะเร็งเพาะเลี้ยงได้ (Sengupta et al., 2004; Elango et al., 2004; Ban et al., 2007; Raman et al., 2008; Lee da et al., 2012) จากการเปรียบเทียบปริมาณการแสดงออกของยีน COX-2 โดยคิดเป็นสัดส่วนกับ β -actin และ COX-1 โดยคิดเป็นสัดส่วนกับ β -actin ระหว่างกลุ่มเซลล์เพาะเลี้ยงมาโคโรฟ่า RAW 264.7 ที่ได้รับการกระตุ้นด้วย *E. coli* LPS และได้รับสารสกัดหอยแungและสารสกัดกระเทียมที่ความเข้มข้นต่าง ๆ กับกลุ่มควบคุมเซลล์เพาะเลี้ยงมาโคโรฟ่า RAW 264.7 ที่ได้รับการกระตุ้นด้วย *E. coli* LPS เพียงอย่างเดียว พบร่วมสารสกัดกระเทียมที่ยับยั้งการแสดงออกของยีน COX-2 และ COX-1 จึงอาจสรุปในเบื้องต้นได้ว่า สารสกัดกระเทียมในeronanolสามารถยับยั้งการทำงานของเอนไซม์ COX-2 และ COX-1 ได้ ถูกยับยั้งการอักเสบมีความเกี่ยวข้องกับการสร้างสาร prostaglandins และในขนาดที่มีฤทธิ์ในการต้านอักเสบอาจทำให้เกิดอาการไม่พึงประสงค์จากการยับยั้งการทำงานของเอนไซม์ COX-1 และในการทดลองพบว่าสารสกัดหอยแungยับยั้งการแสดงออกของยีน COX-1 โดยประมาณความแรงของความเข้มข้น และไม่มีผลต่อการแสดงออกของ COX-2 จึงอาจสรุปในเบื้องต้นได้ว่า ถูกยับยั้งการอักเสบของสารสกัดหอยแungอาจเกี่ยวข้องกับ

การยับยั้งการทำงานของเอนไซม์ COX-2 น้อย โดยอาจมีกลไกต้านการอักเสบอื่นที่เด่นกว่า เช่นการยับยั้งการทำงานของเอนไซม์ iNOS หรือเกี่ยวข้องกับการยับยั้งการหลังของสาร Pro-inflammatory cytokines อื่น ๆ

ไซโตคีนเป็นโปรตีนหรือไกลโคโปรตีนที่มีขนาดเล็กสร้างจากเซลล์เม็ดเดือดขาวและเซลล์ต่าง ๆ ในร่างกายเพื่อตอบสนองต่อสิ่งกระตุ้น เช่น การได้รับสาร *E. coli* LPS จะทำให้มีการแสดงออกของยีนของไซโตคีนในปริมาณที่สูงขึ้นและทำให้เกิดปฏิกิริยาที่เกี่ยวข้องกับการอักเสบ ไซโตคีนสำคัญที่เกี่ยวข้องกับในขั้นตอนแรกของการอักเสบได้แก่ Tumor necrosis factor (TNF)- α , ซึ่งจะเป็นตัวกระตุ้นให้มีการสร้างสารไซโตคีนอื่น ๆ ตามมา เช่น Interleukin(IL)-1 β และ IL-6. ทั้ง TNF- α , IL-1 β และ IL-6 จัดเป็น Pro-inflammatory cytokines และเป็นไซโตคีนที่เกี่ยวข้องกับการอักเสบเช่นข้ออักเสบเรื้อรังและทำให้มีการทำลายของเซลล์กระดูกอ่อนและเซลล์กระดูก (Zhao et al., 2013) จากผลการทดลอง พบร่วมสารสกัดหอยแดงและสารสกัดกระเทียมในเอทานอลสามารถยับยั้งการแสดงออกของยีน TNF- α , IL-1 β และ IL-6 โดยมีความแรงประมาณความเข้มข้นที่เพิ่มขึ้น ดังนั้นสารสกัดหอยแดงและสารสกัดกระเทียมในเอทานอลนี้มีฤทธิ์ในการต้านการอักเสบที่เกี่ยวข้องกับการสร้างสาร Pro-inflammatory cytokines ได้แก่ TNF- α , IL-1 β และ IL-6 และน่าจะสามารถนำไปพัฒนาเป็นยารักษาโรคที่เกี่ยวข้องกับภาวะอักเสบได้

สารสกัดหอยแดงและสารสกัดกระเทียมที่ความเข้มข้น 0.125 และ 0.250 มิลลิกรัม/มิลลิลิตรสามารถยับยั้งการแสดงออกของยีน iNOS ในเซลล์เพาะเลี้ยง RAW 264.7 ที่ได้รับการกระตุ้นด้วยสาร *E. coli* LPS นั้น ผลการทดลองมีความสอดคล้องกับงานวิจัยที่มีการรายงานผลของสารสำคัญในกระเทียม ได้แก่ diallyl sulfide, diallyl trisulfide, s-allyl cysteine, และ allicin ที่สามารถลดการหลังของ nitric oxide โดยการยับยั้งการแสดงออกของยีนและโปรตีน iNOS ในเซลล์เพาะเลี้ยง RAW 264.7 ที่ได้รับการกระตุ้นด้วยสาร *E. coli* LPS

การศึกษาปริมาณสารประกอบฟินอลิรวมโดยวิธี Folin-Ciocalteu colorimetric ของสารสกัดหอยแดง และสารสกัดกระเทียมในเอทานอล สรุปได้ว่า ปริมาณสารประกอบฟินอลิรวมที่พบในสารสกัดหอยแดงอยู่ที่ระดับ 15.964 ± 0.122 มิลลิกรัมสมมูลกับกรดแกลลิก/กรัมของสารสกัด และสารสกัดกระเทียมในเอทานอลมีสารประกอบฟินอลิรวมที่ระดับ 4.020 ± 0.009 มิลลิกรัมสมมูลกับกรดแกลลิก/กรัมของสารสกัด และจากการวิเคราะห์ปริมาณสารฟลาโวนอยด์รวมในสารสกัดโดยใช้ปฏิกิริยาการเกิดสีกับสารอลูมิเนียมคลอไรด์ พบร่วมสารสกัดหอยแดงมีปริมาณสารฟลาโวนอยด์รวมเป็น 11.742 ± 0.012 มิลลิกรัมสมมูลกับสารเคอร์ชิทิน/กรัมของสาร

สกัด และสารสกัดกระเทียมในเอรานอลมีปริมาณสารฟลาโวนอยด์รวมเป็น 7.669 ± 0.038 มิลลิกรัมสมมูล/g สารเคอร์ซิทิน/กรัมของสารสกัด ซึ่งแสดงให้เห็นว่า ในสารสกัดหอมแดงและสารสกัดกระเทียมในเอรานอลนี้มี ส่วนประกอบของสารฟีนอลและสารฟลาโวนอยด์ สอดคล้องกับงานวิจัยของ Fattorusso และคณะ (2002) การ วิเคราะห์ทางพฤกษศาสตร์ของส่วนหัวของหอมแดงพบสาร Furostanol saponins, ascalonicoside A1/A2 และ ascalonicoside B และในหอมแดงพบสารประกอบ โพลีฟีนอลและสารประกอบฟลาโวนอยด์ในปริมาณที่สูง ได้แก่ isoliquiritigenin, quercetin และ quercetin glycosides สารประกอบฟีนอลและสารฟลาโวนอยด์ นับเป็นสารที่มีฤทธิ์ทางชีวภาพในด้านการต้านอนุมูลอิสระ การต้านการอักเสบ และสามารถนำมาใช้เป็นอาหาร เสริมได้ สารฟีนอลและสารฟลาโวนอยด์ที่เป็นส่วนประกอบในสารสกัดหอมแดงและสารสกัดกระเทียมใน เอรานอลอาจเป็นสารสำคัญที่มีฤทธิ์ในการต้านการอักเสบอย่างไรก็ตาม ยังต้องมีการศึกษาเพิ่มเติมเพื่อหา โครงสร้างสารสำคัญในสารสกัดหอมแดงและสารสกัดกระเทียมในเอรานอล

กล่าวโดยสรุป สารสกัดหอมแดงและสารสกัดกระเทียมในเอรานอลไม่แสดงฤทธิ์ระงับปวดในการทดสอบ ฤทธิ์ระงับปวดด้วยวิธี Mouse Hot-Plate และ Mouse Tail-Flick สารสกัดหัวหอมแดงในเอรานอลมีฤทธิ์ยับยั้ง การแสดงออกของยีนที่เกี่ยวข้องกับการอักเสบ ได้แก่ iNOS, TNF- α , IL-1 β , IL-6 และมีผลยับยั้งการแสดงออก ของ COX-1 โดยไม่ยับยั้งการแสดงออกของ COX-2 และสารสกัดหัวกระเทียมในเอรานอลมีฤทธิ์ยับยั้ง การ แสดงออกของยีนที่เกี่ยวข้องกับการอักเสบ ได้แก่ iNOS, TNF- α , IL-1 β , IL-6, COX-2 และ COX-1 โดยสาร สำคัญที่เกี่ยวข้องกับการยับยั้งการแสดงออกของยีนที่เกี่ยวข้องกับการอักเสบอาจเป็นสารที่เป็นฟีนอลหรือสาร ฟลาโวนอยด์ ผลการทดลองเหล่านี้สนับสนุนรายงานการวิจัยที่รายงานฤทธิ์ต้านการอักเสบของหอมแดงและ กระเทียม (Keiss et al., 2003; Lee et al., 2011; Shin et al., 2013; Leelarungrayub et al., 2006; Park et al., 2012) ผลที่ได้จากการศึกษาครั้งนี้เป็นข้อมูลสนับสนุนการใช้สารสกัดหอมแดงและสารสกัดกระเทียมใน การรักษาโรคที่เกิดจากภาวะการอักเสบอื่นและควรทำการวิเคราะห์หาสารสำคัญในสารสกัดหอมแดงและสาร สกัดกระเทียมในเอรานอลที่มีฤทธิ์ในการต้านการอักเสบท่อไป

5.2 ข้อเสนอแนะ

จากผลการวิจัยผู้วิจัยขอเสนอแนะดังต่อไปนี้

1. ผลที่ได้จากการศึกษาครั้งนี้เป็นข้อมูลสนับสนุนการใช้สารสกัดหอมแดงในเօรานอลและสารสกัดกระเทียมในเօรานอลการรักษาภาวะข้ออักเสบรูมาโตย์หรือโรคที่เกิดจากภาวะการอักเสบอื่น ควรทำการวิเคราะห์หาสารสำคัญในสารสกัดหอมแดงและสารสกัดกระเทียมในเօรานอลที่มีฤทธิ์ในการต้านการอักเสบเพื่อเป็นแนวทางในการนำสารดังกล่าวมาใช้ให้เกิดประโยชน์ต่อไป
2. หากสามารถหาสารสำคัญในสารสกัดหอมแดงและสารสกัดกระเทียมได้ ควรทำการทดสอบเบรียบเทียบกับ major component ซึ่งเป็นสารที่ทราบแล้ว เช่น ใช้สาร Allicin ซึ่งเป็นสารสำคัญที่พบในกระเทียมมาทดสอบเพื่อเบรียบเทียบฤทธิ์ต้านอักเสบ ก็จะทำให้ได้ข้อมูลเกี่ยวกับฤทธิ์ทางเภสัชวิทยาเพิ่มมากขึ้น แต่ทั้งนี้ ควรแยกสารอื่นๆ เพื่อศึกษาฤทธิ์ทางชีวภาพอื่นด้วย
3. แม้ว่าผลการศึกษาเบื้องต้น ในการทดสอบฤทธิ์ระงับปวดของสารสกัดหอมแดงและกระเทียมในเօรานอลให้ผลลบ แต่การศึกษาฤทธิ์ต้านการอักเสบทองหอมแดงให้ผลบวก ซึ่งเป็นไปได้ว่าสารสกัดหอมแดงอาจมีฤทธิ์ระงับปวดในสภาวะที่มีการอักเสบร่วมด้วย จึงควรทดสอบฤทธิ์ระงับปวดของสารสกัดหอมแดงด้วย Writhing test และควรพิสูจน์ฤทธิ์ต้านการอักเสบในสัตว์ทดลองด้วย Rat-paw edema model
4. การทดสอบฤทธิ์ทางชีวภาพอื่นควรเลือกสารสกัดหอมแดงและสารสกัดกระเทียมที่สกัดด้วยตัวทำละลายต่าง ๆ กัน เพื่อเบรียบเทียบฤทธิ์และควรเลือกใช้หลักความเข้มข้น เพื่อให้ได้ข้อมูลที่ชัดเจนและสามารถสรุปและเบรียบเทียบฤทธิ์ทางเภสัชวิทยาของสารสกัดหอมแดงและสารสกัดกระเทียมได้
5. สารสกัดหอมแดงและสารสกัดกระเทียมในเօรานอลมีสารประกอบฟีโนอลเป็นองค์ประกอบ แสดงว่าสารสกัดหอมแดงและสารสกัดกระเทียมในเօรานอลน่าจะมีประโยชน์ต่อสุขภาพ โดยสารฟีโนอลและสารฟลาโนയ์ด มีคุณสมบัติทั้งในการออกฤทธิ์ต้านอนุมูลอิสระได้ แม้ว่าในตัวอย่างสารสกัดจะมีปริมาณสารประกอบฟีโนอลรวมที่มาก-น้อยแตกต่างกัน แต่เมื่อได้บ่งบอกถึงคุณสมบัติในการต้านอนุมูลอิสระ จึงจำเป็นต้องทำการพิสูจน์ฤทธิ์ในการต้านอนุมูลอิสระ ด้วยวิธีการทดสอบอื่นๆ อีก

เอกสารอ้างอิง

จิราภา จอมไธสง. (2549). สาระน่ารู้จากผัก หอมแดง ใน จดหมายข่าว ส่วนส่งเสริมการผลิตผัก ไม้ดอกไม้ประดับและสมุนไพร. สำนักส่งเสริมและจัดการสินค้าเกษตร. ปีที่ 3 ฉบับที่ 15.

บุญเหลือ ศรีมุงคุณและอรอนงค์ วรรณาวงศ์. (2552). ปลูกหอมแดงที่ยางชุมน้อย ใน น.ส.พ. กสิกร ปีที่ 82 ฉบับที่ 1 มกราคม – กุมภาพันธ์.

ปราโมทย์ มหาภูมิการ และคณะ. (2553) รายงานวิจัยฉบับสมบูรณ์โครงการ การศึกษากลไกการออกฤทธ์ต้านอักเสบของสารสกัดจากใบราชเจ้า (Study on the anti-inflammatory mechanisms of *Thunbergia laurifolia* leaf extracts). สำนักงานกองทุนสนับสนุนการวิจัย.

นันทawan บุณยะประภัศรและอรนุช โชคชัยเจริญพร. (2543). สมุนไพรไม้พื้นบ้าน เล่ม 5. กรุงเทพฯ: บริษัทประชาชน จำกัด.

พรทวี เลิศศรีสกิต สุขีลา จันทร์วิทยานุชิต. ยาต้านอักเสบชนิดไม่ใช่สเตียรอยด์ (Non-steroidal anti-inflammatory drugs). Available at:

<http://med.mahidol.ac.th/med/sites/default/files/public/pdf/medicinebook1/NSAIDS.pdf>
Accessed 15/06/2557.

วันดี กฤษณพันธ์. (2539). เกร็ดความรู้สมุนไพร. พิมพ์ครั้งที่ 2. กรุงเทพฯ : เมดิคอล มีเดีย.

สุรพันธุ์ คุณอมรพงศ์. การอักเสบและการซ่อมแซม. Available at:

<http://www.med.cmu.ac.th/dept/patho/Lecture/07-09-inflammation&repair-text.pdf>
Accessed 30/3/2555.

สำนักงานข้อมูลสมุนไพร คณะเภสัชศาสตร์ มหาวิทยาลัยมหิดล. สมุนไพรที่ใช้ในงานสาธารณสุขมูลฐาน เรื่อง กระเทียม. Available at: <http://www.medplant.mahidol.ac.th/pubhealth/index.asp>
Accessed 9/9/2009.

อำนวย ถิรพันธ์. Posted 04/20/2009. ความปวด Pain : concept & mechanism. ศูนย์การศึกษาต่อเนื่อง

คณะแพทยศาสตร์โรงพยาบาลรามาธิบดี. Available at:

<http://ramacme.ra.mahidol.ac.th/?q=node/44>. Accessed 9/9/2009.

Amin M, Kapadnis BP. (2005). Heat stable antimicrobial activity of *Allium ascalonicum* against bacteria and fungi. Indian J Exp Biol. 43: 751-754.

Barrot M. (2012). Tests and models of nociception and pain in rodents. Neuroscience. 211:39-50.

Banerjee SK, and Maulik S. (2002). Effect of garlic on cardiovascular disorders : a review. Nutri J. 4-18.

Ban JO, et al. (2007). Inhibition of cell growth and induction of apoptosis via inactivation of NF-kappaB by a sulfurcompound isolated from garlic in human colon cancer cells. J Pharmacol Sci. 104: 374-383.

Calixto JB, Campos MM, Otuki MF, Santos AR. (2004). Anti-inflammatory compounds of plant origin. Part II. modulation of pro-inflammatory cytokines, chemokines and adhesion molecules. PlantaMed. 70: 93-103.

Chang HP, Huang SY, Chen YH. (2005). Modulation of cytokine secretion by garlic oil derivatives is associated with suppressed nitric oxide production in stimulated macrophages. J Agric FoodChem. 53: 2530-2534.

D'Amour FE. and Smith DL. (1941). A method for determining loss of pain sensation. J Pharmacol Exp Ther. 72: 74-79.

de Leval X, Delarge J, Somers F, de Tullio p, Henrotin Y, Pirotte B, Dogne JM. (2000). Recent advances in inducible cyclooxygenase (COX-2) inhibition. Curr Med Chem. 7: 1041-1062.

Dirsch VM, Vollmar AM. (2001). Ajoene, a natural product with non-steroidal anti-inflammatory drug (NSAID)-like properties? Biochem Pharmacol. 61: 587-593.

- Eidi A, Eidi M, Esmaeili E. (2006). Anti diabetic effect of garlic (*Allium sativum* L.) in normal and streptozotocin-induced diabetic rats. *Phytomedicine.* 13: 624-629.
- Elango EM, Asita H, Nidhi G, Seema P, Banerji A, Kuriakose MA. (2004). Inhibition of cyclooxygenase-2 by diallyl sulfides (DAS) in HEK 293T cells. *J Appl Genet.* 45: 469-471.
- Fattorusso E, Iorizzi M, Lanzotti V, Taglialatela-Scafati O. (2002). Chemical composition of shallot (*Allium ascalonicum* Hort.). *J Agric Food Chem* 50, 5686-5690.
- Gorji A. (2003). Pharmacological treatment of headache using traditional persian medicine. *Trends in Pharmacological Sciences.* 24 : 331-334.
- Jalal R, Bagheri SM, Moghimi A, Rasuli MB. (2007). Hypoglycemic effect of aqueous shallot and garlic extracts in rats with fructose-induced insulin resistance. *J Clin Biochem Nutr.* 41: 218-223.
- Keiss HP, Dirsch VM, Hartung T, Haffner T, Trueman L, Auger J, Kahane R, Vollmar AM. (2003). Garlic (*Allium sativum* L.) modulates cytokine expression in lipopolysaccharide-activated human blood thereby inhibiting NF-kappaB activity. *J Nutr.* 133: 2171-2175.
- Kendler BS. (1987). Garlic (*Allium sativum*) and onion (.*Allium cepa*): a review of their relationship to cardiovascular disease. *Prev Med.* 16: 670-685.
- Kim KM, et al. (2001). Differential regulation of NO availability from macrophages and endothelial cells by the garlic component S-allyl cysteine. *Free Radic Biol Med.* 30: 747756.
- Kunnumakkara AB, et al. (2009). Traditional uses of spices: an overview. In: Aggarwal BB and Kunnumakkara AB (ed) Molecular targets and therapeutic uses of spices- modern uses of ancient medicine, World Scientific Publishing Co. Pte. Ltd, Singapore, pp 1-24.
- Kumar GR and Reddy KP. (1999). Reduced nociceptive response in mice with alloxan induced hyperglycemia after garlic (*Allium sativum* Linn.) treatment. 37 :662-666. [Abst]

- Lanas A, Sopena F (2009). Nonsteroidal anti-inflammatory drugs and lower gastrointestinal complications. *Gastroenterol Clin North Am.* 38 : 333-352.
- Lee EN, et al (2011). Chloroform extract of aged black garlic attenuates TNF-alpha- induced ROS generation, VCAM-1 expression, NF-kappaB activation and adhesiveness for monocytes in human umbilical vein endothelial cells. *Phytother Res.* 25: 92-100.
- Lee YL, Cesario T, Wang Y, Shanbrom E, Thrupp L. (2003). Antibacterial activity of vegetables and juices. *Nutrition.* 19: 994-996.
- Lee da Y, Li H, Lim HJ, Lee HJ, Jeon R, Ryu JH. (2012). Anti-inflammatory activity of sulfur-containing compounds from garlic. *J Med Food.* 15: 992-999.
- Leelarungrayub N, Rattanapanone V, Chanarat N, Gebicki JM. (2006). Quantitative evaluation of the antioxidant properties of garlic and shallot preparations. *Nutrition.* 22: 266-274.
- Leelarungrayub N, Rattanapanone V, Srichairatanakool S, Channarat , Gebicki JM. (2004). Anti-oxidative stress and anti-inflammatory effects of Thai shallot (*Allium ascalonicum* L.) extracts in human monocytic (U937) cells. *Niigata J Health Welfare* 4, 11-21.
- Liu KL, Chen HW, Wang RY, Lei YP, Sheen LY, Lii CK. (2006). DATS reduces LPS- induced iNOS expression, NO production, oxidative stress, and NF-kappaB activation in RAW 264.7 macrophages. *J Agric Food Chem.* 54: 3472-3478.
- Mosmann T. (1983). Rapid colorimetric assay for cellular growth and survival: application to proliferation and cytotoxicity assays. *J Immunol Methods.* 65: 55-63
- Mohammadi-Motlagh HR, Mostafaie A, Mansouri K. (2011). Anticancer and anti-inflammatory activities of shallot (*Allium ascalonicum*) extract. *Arch Med Sci* 7, 38-44.
- Owoyele BV, Abioye AIR, Afinowi NO, Jimoh SA, Soladoye AO. (2006). Analgesic and anti-inflammatory effects of *Allium ascalonicum*. *Trop J Health Sci.* 13: 28-32.

Park HJ, Jeon BT, Kim HC, Roh GS, Shin JH, Sung NJ, Han J, Kang D. (2012). Aged red garlic extract reduces lipopolysaccharide-induced nitric oxide production in RAW 264.7 macrophages and acute pulmonary inflammation through haeme oxygenase-1 induction. *Acta Physiol (Oxf)*. 205: 61-70.

Pourmorad F, HosseiniMehr SJ, Shahabimajd N. (2006). Antioxidant activity, phenol and flavonoid contents of some selected Iranian medicinal plants. *Afr J Biotechnol*. 5: 1142-1145.

Raman p, Dewitt DL, Nair MG. (2008) Lipid peroxidation and cyclooxygenase enzyme inhibitory activities of acidic aqueous extracts of some dietary supplements. *Phytother Res*. 22: 204-212.

Sarrell EM, Cohen HA, & Kahan E. (2003). Naturopathic treatment for ear pain in children. *Pediatrics*. 111: 574-579. [Abst]

Singleton VL, Joseph A and Rossi Jr. (1965). Colorimetry of total phenolics with phosphomolybdic- phosphotungstic acid reagents. *Am. J. Enol. Viticult.* 16:144-158.

Schafer Al. (1999). Effects of nonsteroidal anti-inflammatory therapy on platelets. *Am J Med*. 106: 25S-36S.

Sengupta A, Ghosh S, Das S. (2004). Modulatory influence of garlic and tomato on cyclooxygenase-2 activity, cell proliferation and apoptosis during azoxymethane induced colon carcinogenesis in rat. *Cancer Lett*. 208: 127-136.

Seyfi p, Mostafaie A, Mansouri K, Arshadi D, Mohammadi-Motlagh HR, Kiani A. (2010). In vitro and in vivo anti-angiogenesis effect of shallot (*Allium ascalonicum*): a heat-stable and flavonoid-rich fraction of shallot extract potently inhibits angiogenesis. *Toxicol In Vitro*. 24: 1655-1661.

- Shin JH, Ryu JH, Kang MJ, Hwang CR, Han J, Kang D. (2013). Short-term heating reduces the anti-inflammatory effects of fresh raw garlic extracts on the LPS-induced production of NO and pro-inflammatory cytokines by downregulating allicin activity in RAW 264.7 macrophages. *Food Chem Toxicol.* 58: 545-551
- Shobana S, Naidu KA. (2000). Antioxidant activity of selected Indian spices. *Prostaglandins Leukot Essent Fatty Acids.* 62: 107-110.
- Sugawara I, Yamada H, Mizuno S. (2003). Relative importance of STAT4 in murine tuberculosis. *J Med Microbiol.* 52: 29-34
- Thomson M, Ali M. (2003). Garlic [*Allium sativum*] , a review of its potential use as an anti-cancer agent. *Curr Cancer Drug Targets.* 3: 67-81.
- Tsubura A, Lai YC, Kuwata M, Uehara N, Yoshizawa K. (2011). Anticancer effects of garlic and garlic-derived compounds for breast cancer control. *Anticancer Agents Med Chem.* 11: 249-253.
- Wiczkowski W, et al. (2008). Quercetin from shallots (*Allium cepa L. var. aggregatum*) is more bioavailable than its glucosides. *J Nutr.* 138: 885-888.
- Wang HX, Ng TB. (2002). Ascalin, a new anti-fungal peptide with human immunodeficiency virus type 1 reverse transcriptase-inhibiting activity from shallot bulbs. *Peptides.* 23: 1025-1029.
- Won JH, Im HT, Kim YH, Yun KJ, Park HJ, Choi JW, Lee KT. (2006). Anti-inflammatory effect of budlejasaponin IV through the inhibition of iNOS and COX-2 expression in RAW 264.7 macrophages via the NF-kappaB inactivation. *Br J Pharmacol.* 148: 216-225
- Wongmekiat O, et al. (2008). Beneficial effect of shallot (*Allium ascalonicum* L.) extract on cyclosporine nephrotoxicity in rats. *Food Chem Toxicol.* 46(5): 1844-1850.
- Woolfe G, MacDonald AD. (1944). The evaluation of the analgesic action of pethidine hydrochloride (Demerol). *J Pharmacol Exp Ther.* 80: 300-7.

- Yin MC, Tsao SM. (1999). Inhibitory effect of seven Allium plants upon three Aspergillus species. *Int J Food Microbiol.* 49: 49-56.
- Zamora R, Vodovotz Y, and Billiar TR. (2000). Inducible nitric oxide synthase and inflammatory diseases. *Mol Med.* 6: 347-373.
- Zhao R, Zhou H, Su SB. (2013). A critical role for interleukin-1beta in the progression of autoimmune diseases. *Int Immunopharmacol.* 17: 658-669.

ภาคผนวก

การขอรับใบอนุญาติการรับรองให้ดำเนินการเลี้ยงและใช้สัตว์ มหาวิทยาลัยอุบลราชธานี



บันทึกข้อความ

ส่วนราชการ โครงการจัดตั้งกองส่งเสริมการวิจัยฯ สำนักงานอธิการบดี โทร. 3035, 3042

ที่ ๘๙ ๐๕๒๙.๑.๔/ ๒๔๒๔ วันที่ ๕ ๑๐ ๘ ๒๕๕๗

เรื่อง แจ้งรับรองการอนุมัติให้ดำเนินการเลี้บงและใช้สัด*

मानविकी एवं सामाजिक
शिक्षा के लिए विद्यार्थी
कोष
संख्या 1059
तुला - 6 W.P.I. 2552
दिन 11-12-1957

ເວັບໄຊ ການຕຶກຜະເກົ້າຂາຍ

ตามบันทึกข้อความพะเกต้าชาศรที่ ๕๙ ๐๕๒๙.๑๑/๙๐๐๒ ลงวันที่ ๙ ตุลาคม ๒๕๕๒ หน่วยงานของท่านได้ส่งข้อเสนอการวิจัย เรื่อง การศึกษาถูกที่รับปัจจุบันของสารตัดห้อมแดง ฉบับแก้ไขตามมติคณะกรรมการกำกับดูแลการเดินทางและใช้สัตว์ซึ่งเก็บรวบรวมให้ปรับปรุงแก้ไขและชี้แจงเหตุผลการขออนุญาตใช้สัตว์เพื่องานวิจัยให้คณะกรรมการฯ พิจารณาเรียบร้อยแล้ว

ขั้นนี้ การพิจารณาการขออนุญาตใช้สัดท่วงข้อเสนอการวิจัยดังกล่าวให้ดำเนินการเรียบร้อยแล้ว คณะกรรมการกำกับคุณภาพการเดี่ยวและใช้สัดท่วงเห็นชอบการใช้สัดท่วงคลองตามข้อเสนอการวิจัยฉบับเดียว และได้นำเรียนขอการติดพิจารณาและลงนามในใบรับรองอนุมัติให้ดำเนินการเดี่ยวและใช้สัดท่วงแล้ว ดังนั้น จึงได้ร่วมแจ้งรับรองการอนุมัติให้ดำเนินการเดี่ยวและใช้สัดท่วงตามข้อเสนอการวิจัยดังกล่าว โดยมีเอกสารรับรองตามแนบ

จึงเรียนมาเพื่อโปรดทราบ และโปรดแจ้งผู้เกี่ยวข้องทราบ จักของคุณบึ้ง

front Books

(น.สพ.ดร.นนทกร ย์ อุร โสภน)

รองประธานคณะกรรมการกำกับดูแลการเลี้ยงและใช้สัตว์

มหาวิทยาลัยขอนแก่น

ମୁଣ୍ଡ ପାଇଁ କିମ୍ବା
ମୁଣ୍ଡ ପାଇଁ କିମ୍ବା
ମୁଣ୍ଡ ପାଇଁ କିମ୍ବା

၁၃၂။ ၂၂၂၆

หน้า ๑๙๕

10

二

ใบรับรองการอนุมัติให้ดำเนินการเลี้ยงและใช้สัตว์

ID # 23 / 2552 / Research

ชื่อข้อเสนอการวิจัย

(ภาษาไทย) การศึกษาฤทธิ์ของน้ำพากของสารสกัดหอมแดง

(ภาษาอังกฤษ) The Study of Analgesic Activity of the Extracts from *Allium ascalonicum*

ชื่อ-สกุลผู้เสนอข้อเสนอการวิจัย

(ภาษาไทย) ดร.นุตติยา วีระวัฒนาชัย

(ภาษาอังกฤษ) Miss Nuttiya Werawattanachai, Ph.D.

หน่วยงานที่สังกัด คณะเภสัชศาสตร์

มหาวิทยาลัยอุบลราชธานี

กระทรวงศึกษาธิการ

สถานที่ดำเนินการเลี้ยงและใช้สัตว์ คณะเภสัชศาสตร์ มหาวิทยาลัยอุบลราชธานี

ระยะเวลาดำเนินการวิจัย วันที่ 1 ตุลาคม พ.ศ.2553 ถึง วันที่ 30 กันยายน พ.ศ.2555

ข้อเสนอการวิจัยนี้ได้ผ่านการพิจารณาจากคณะกรรมการกำกับดูแลการเลี้ยงและใช้สัตว์ แล้ว เห็นว่ามีความสอดคล้องกับจรรยาบรรณการใช้สัตว์เพื่องานทางวิทยาศาสตร์ สถาบันที่ แห่งชาติ จึงเห็นสมควรให้ดำเนินการเลี้ยงและใช้สัตว์ ตามข้อเสนอการวิจัยนี้ได้ ตามระยะเวลาที่ กำหนดในใบรับรองนี้

ลงนาม 

(นาย.ดร.นุตติยา อุริสาภรณ์)

ตำแหน่ง แทนประธานคณะกรรมการกำกับดูแลการเลี้ยงและใช้สัตว์

มหาวิทยาลัยอุบลราชธานี

วันที่ 26 ตุลาคม พ.ศ.2552

ลงนาม 

(ศาสตราจารย์ ดร.ประภกน วีโรจน์วุฒิ)

ตำแหน่ง อธิการบดีมหาวิทยาลัยอุบลราชธานี

วันที่ 29 ตุลาคม พ.ศ.2552

การดำเนินการขออนุญาตซื้อยาเสพติดให้โทษประเภทที่ 2

จากสำนักงานคณะกรรมการอาหารและยา

๑๙.๑๕.๑...../....



บันทึกข้อความ

ผู้รายงาน กลุ่มวิชาชีวภัณฑ์ศาสตร์ คณะเภสัชศาสตร์ มหาวิทยาลัยอุบลราชธานี โทร. 3630
 ที่ พ.ศ. ๒๕๖๗/๔๗๗๓ วันที่ ๙ พฤษภาคม ๒๕๕๔
 เรื่อง ขออนุญาตขอข้อหาเสพติดให้ไทยในประเภท ๒ มอร์ฟีนชนิดฉีดเพื่อใช้ใน การวิจัยเรื่อง การศึกษาดูที่
 ระจับป่วยของสารสกัดหม่อนแดง

เรียน คณบดี คณะเภสัชศาสตร์มหาวิทยาลัยอุบลราชธานี

ข้าพเจ้านางสาวนุตติยา วีระวันนชัย อารยธรรมรัตน์ ชั้น ๗ คณะเภสัชศาสตร์ มหาวิทยาลัยอุบลราชธานี มี
 ความประสงค์ขอข้อหาเสพติดให้ไทยในประเภท ๒ มอร์ฟีน เพื่อใช้ในโครงการวิจัยเรื่อง “การศึกษาดูที่
 ระจับป่วยของสารสกัดหม่อนแดง” โดยใช้มอร์ฟีนเป็นสารมาตรฐานในการทดสอบฤทธิ์ระจับป่วยใน
 Mouse hot-plate model และ Mouse tail-flick model สถานที่ดำเนินการวิจัยคือ คณะเภสัชศาสตร์
 มหาวิทยาลัยอุบลราชธานี

ในการนี้ คณะเภสัชศาสตร์ มหาวิทยาลัยอุบลราชธานี มีใบอนุญาตมิไว้ในครอบครองซึ่งข้อหาเสพติด
 ให้ไทย ในประเภท ๒ ในอนุญาตที่ ๘๓/๒๕๕๐ หมวด ก ต่ออายุครั้งที่ ๔ วันหมดอายุ วันที่ ๓๑ ธันวาคม ๒๕๕๔
 แล้ว ข้าพเจ้าจึงได้ขออนุญาตขอข้อหาเสพติดให้ไทยในประเภท ๒ คือ Morphine for injection ชนิด ไม่มี
 preservative (กล่องสีม่วง) ขนาด 10 mg/ampule จำนวน 10 ampules จากกองควบคุมวัสดุเสพติด
 สำนักงานคณะกรรมการอาหารและยา กระทรวงสาธารณสุขเพื่อใช้ในงานวิจัย ดังกล่าว

จึงเรียนมาเพื่อโปรดพิจารณา หากอนุญาตขอได้โปรดลงนามในร่างหนังสือ และ แบบ ข.ส. ๔ คำขอ
 ข้อหาเสพติดให้ไทยในประเภท ๒ ที่แนบมาพร้อมนี้

นุตติยา วีระวันนชัย
 (นางสาวนุตติยา วีระวันนชัย)
 อารยธรรมรัตน์ ชั้น ๗

ปรีดา คงสา
 (ผู้ช่วยศาสตราจารย์ปานจารี ทองออก)
 หัวหน้ากลุ่มวิชาชีวภัณฑ์ศาสตร์

เจ้าหน้าที่ ลงนาม
 ๑๑/๕/๕๘.



ที่ ศษ 0529.11/ ๔๘๖๗

คณะเภสัชศาสตร์
มหาวิทยาลัยอุบลราชธานี
อ.กาฬวันชาราน
จังหวัดอุบลราชธานี 34190

๑๑ พฤษภาคม ๒๕๕๔

เรื่อง ขอส่งเอกสารเพื่อประกอบคำขอเข็มยาเสพติดให้ไทยในประเภท 2

เรียน เลขานิการคณะกรรมการอาหารและยา

สิ่งที่ส่งมาด้วย 1. แบบ บ.ส. 4

2. ดำเนินเงื่อนไขไว้ในครอบครองซึ่งยาเสพติดให้ไทยในประเภท 2 จำนวน 1 ชุด
3. สำเนาบัตรประจำตัวข้าราชการ นางชุดันนท์ ประถิทธัญริปารีชา จำนวน 1 ชุด

ด้วยคณะเภสัชศาสตร์ มหาวิทยาลัยอุบลราชธานี มีความประสงค์ขอเข็มยาเสพติดให้ไทยในประเภท 2 นอร์ฟิน เพื่อใช้ในการวิจัยเรื่อง “การศึกษาฤทธิ์รับรู้ปัจจุบันของสารสกัดหอยแครง” ซึ่งมีนางสาวนุตติยา วีระวรรณ อายุ ๙ ปี สำเร็จการศึกษาชั้นมัธยมศึกษาตอนปลาย ๗ สังกัดคุณวิชาชีวเภสัชศาสตร์ คณะเภสัชศาสตร์ มหาวิทยาลัยอุบลราชธานีเป็นหัวหน้าโครงการวิจัย ทั้งนี้ ในการวิจัยต้องใช้นอร์ฟินเป็นสารมาตรฐานในการทดสอบฤทธิ์รับรู้ปัจจุบันใน Mouse hot-plate model และ Mouse tail-flick model

ในการนี้ คณะเภสัชศาสตร์ มหาวิทยาลัยอุบลราชธานี จึงได้ขอนำส่งเอกสารเพื่อประกอบคำขอเข็มยาเสพติดให้ไทยในประเภท 2 กีอิม Morphine for injection ชนิด ไนฟ์มี preservative (กล่องสีม่วง) ขนาด 10 mg/ampule จำนวน 10 ampules

จึงเรียนมาเพื่อโปรดพิจารณา

ขอแสดงความนับถือ

(ผู้ช่วยศาสตราจารย์ ดร.ชุดันนท์ ประถิทธัญริปารีชา)
คณะเภสัชศาสตร์

สำนักงานเลขานุการ
โทร. 045-353600
โทรสาร. 045-353626

แบบ อักษร 4

เลขที่รับ.....
วันที่.....
สัปดาห์.....

คำขอรับยาเสพติดให้ไทยในประเทศ 2

ผู้ยื่นที่ ... คณะเภสัชศาสตร์ มหาวิทยาลัยอุบลราชธานี.....

วันที่ 9..... เดือน ... พฤษภาคม พ.ศ..... 2554..

ข้าพเจ้า นางรุ่งนันท์ ประเสริฐอรุณรัตน์..... ซึ่งเป็นผู้

ท่านนี้มีกิจการรื่นเริงอยู่ในประเทศไทย ได้รับอนุญาตให้รับยาเสพติดให้ไทยในประเทศ 2 ตามใบอนุญาตที่ ... 83/2550.....

หมวด ก.....

ณ สถานที่ที่อยู่ คณะเภสัชศาสตร์ มหาวิทยาลัยอุบลราชธานี.....

อยู่เลขที่ 85..... ถนน/ซอย ถนน วารินชำราบ-เดชาอุดม.....

หมู่ที่ ตำบล/แขวง เมืองศรีสะเกษ อำเภอ/เขต วารินชำราบ.....

จังหวัด อุบลราชธานี..... โทรศัพท์ 045-353611-12.....

ขอรับคำสั่งต่อเลขานุการเพื่อยื่นขอรับยาเสพติดให้ไทยในประเทศ 2 ตามรายการดังต่อไปนี้

| ชื่อยาสั่งปัจจุบัน | ปริมาณ ของ ยาเสพติด | ชื่อยาเสพ ติด ให้ไทย | ปริมาณของ ยาเสพติด ให้ไทยคิด เป็นชักขลุก | ปริมาณยาเสพติดให้ไทย (ระบุเป็นหน่วย Amp, Tab, Cap, Patch) | | | |
|--|---------------------------|----------------------------|---|--|-------------------------------|----------------------------------|------------|
| | | | | ที่ขอรับ | ที่ได้รับ แต่เดินปีงวันนี้ | ที่ได้จำเป็น แต่เดินปีงวันนี้ | ที่คงเหลือ |
| Morphine Injection ไม่มี pres. (กล่องสีน้ำเงิน) | 10 mg/amp. | Morphine | - | 10 amp. | 0 amp. | 0 amp. | 0 amp. |

ขอรับรองว่ายาที่ขออนุญาตขึ้นนี้ไม่เกินปริมาณที่ข้าพเจ้าได้รับอนุญาตให้มีไว้ได้

(ลายมือชื่อ) ลงชื่อ (ผู้ขอรับ)

หมายเหตุ ให้จัดส่งทางไปรษณีย์

ใบรับรองสำหรับดูแลในกรณีที่รู้สึกอนุญาตไม่ได้มารับยาด้วยตนเอง

ข้อพิเศษขอรับรองว่า ผู้รับยาคงจะดูแลดี

เป็นครั้งหนึ่งที่ขอพูดเจ้าในการรับยาทั้งหมด และข้าพเจ้าขอรับมิตรภาพในการรับยาและนำส่งไปที่พัสดุโดยเบอร์ต่อไป

(ลายมือชื่อ) (ผู้ขอรับ)

หมายเหตุ ให้รีดฝ่าข้อความที่ไม่ต้องการออก

สำหรับเจ้าหน้าที่ผู้พิจารณาอนุมัติ

| | |
|--|--|
| <p>แบบ อ.ช. 3</p> <p>ในอนุญาต</p> <p>น้ำไว้ในครอบครองซึ่งยาเสพติดให้โทษ</p> <p>ในประเภท 2</p> <p>ใบอนุญาตที่ 83/2550 หน่วย ก.</p> <p>ใบอนุญาตฉบับนี้ให้ไว้แก่</p> <p>มหาวิทยาลัยอุบลราชธานี</p> <p>โดยมีวัตถุประสงค์ เพื่อ.....</p> <p>เป็นผู้ดำเนินกิจการ เพื่อแสวงจรฯ</p> <p>ให้ไว้ในกิจกรรมทางการค้าเชิงพาณิชย์ด้านการผลิตและจัดจำหน่ายของนักศึกษาและเก้าอี้ห้องเรียน</p> <p>หมายเหตุ ต้องอ้างอิงคือไปรษณีย์ คือ</p> <p>ยาเสพติดให้โทษในประเภท 2 ทุกชนิด</p> <p>ณ สถานที่ชื่อ . คณะเภสัชศาสตร์ มหาวิทยาลัยอุบลราชธานี</p> <p>อยู่เลขที่ 85 ตรอก/ซอย</p> <p>ถนน วารินชำราบ/อุดม หมู่ที่ ตำบล/แขวง เมืองอุบลราชธานี</p> <p>อำเภอ/เขต วารินชำราบ จังหวัด อุบลราชธานี 34190</p> <p>โทรศัพท์ 0.4535.3611-2</p> <p>ใบอนุญาตฉบับนี้ให้ไว้ได้นึ่งวันที่ 31 ธันวาคม พ.ศ. 2550 แห่งชาติ ให้ไว้แก่สถาบันที่ซึ่งระบุไว้ในใบอนุญาตท่านนี้</p> <p>ให้ไว้ ณ วันที่ ๖ เดือน ธันวาคม พ.ศ. 2550</p> <p>สำเนาของเอกสารนี้สามารถนำไปใช้ได้ทุกแห่งที่ได้ระบุไว้ในใบอนุญาตท่านนี้</p> <p>การต่ออายุใบอนุญาต</p> <p>การต่ออายุครั้งที่ 1 ให้ต่ออายุใบอนุญาตฉบับนี้ลง วันที่ 31 ธันวาคม พ.ศ. 2551</p> <p>การต่ออายุครั้งที่ 2 ให้ต่ออายุใบอนุญาตฉบับนี้ลง วันที่ 31 ธันวาคม พ.ศ. 2552</p> <p>การต่ออายุครั้งที่ 3 ให้ต่ออายุใบอนุญาตฉบับนี้ลง วันที่ 31 ธันวาคม พ.ศ. 2553</p> <p>หมายเหตุ การต่ออายุใบอนุญาตฉบับนี้จะดำเนินการตามวาระและกำหนดที่ระบุไว้ในใบอนุญาตท่านนี้ ไม่สามารถต่ออายุได้หากไม่มีวาระและกำหนดที่ระบุไว้</p> | <p>ในอนุญาต</p> <p>น้ำไว้ในครอบครองซึ่งยาเสพติดให้โทษ</p> <p>ในประเภท 2</p> <p>ใบอนุญาตฉบับนี้ให้ไว้แก่</p> <p>มหาวิทยาลัยอุบลราชธานี</p> <p>โดยมีวัตถุประสงค์ เพื่อ.....</p> <p>เป็นผู้ดำเนินกิจการ เพื่อแสวงจรฯ</p> <p>ให้ไว้ในกิจกรรมทางการค้าเชิงพาณิชย์ด้านการผลิตและจัดจำหน่ายของนักศึกษาและเก้าอี้ห้องเรียน</p> <p>หมายเหตุ ต้องอ้างอิงคือไปรษณีย์ คือ</p> <p>ยาเสพติดให้โทษในประเภท 2 ทุกชนิด</p> <p>ณ สถานที่ชื่อ . คณะเภสัชศาสตร์ มหาวิทยาลัยอุบลราชธานี</p> <p>อยู่เลขที่ 85 ตรอก/ซอย</p> <p>ถนน วารินชำราบ/อุดม หมู่ที่ ตำบล/แขวง เมืองอุบลราชธานี</p> <p>อำเภอ/เขต วารินชำราบ จังหวัด อุบลราชธานี 34190</p> <p>โทรศัพท์ 0.4535.3611-2</p> <p>ใบอนุญาตฉบับนี้ให้ไว้ได้นึ่งวันที่ 31 ธันวาคม พ.ศ. 2550 แห่งชาติ ให้ไว้แก่สถาบันที่ซึ่งระบุไว้ในใบอนุญาตท่านนี้</p> <p>ให้ไว้ ณ วันที่ ๖ เดือน ธันวาคม พ.ศ. 2550</p> <p>สำเนาของเอกสารนี้สามารถนำไปใช้ได้ทุกแห่งที่ได้ระบุไว้ในใบอนุญาตท่านนี้</p> <p>การต่ออายุใบอนุญาต</p> <p>การต่ออายุครั้งที่ 1 ให้ต่ออายุใบอนุญาตฉบับนี้ลง วันที่ 31 ธันวาคม พ.ศ. 2551</p> <p>การต่ออายุครั้งที่ 2 ให้ต่ออายุใบอนุญาตฉบับนี้ลง วันที่ 31 ธันวาคม พ.ศ. 2552</p> <p>การต่ออายุครั้งที่ 3 ให้ต่ออายุใบอนุญาตฉบับนี้ลง วันที่ 31 ธันวาคม พ.ศ. 2553</p> <p>หมายเหตุ การต่ออายุใบอนุญาตฉบับนี้จะดำเนินการตามวาระและกำหนดที่ระบุไว้ในใบอนุญาตท่านนี้ ไม่สามารถต่ออายุได้หากไม่มีวาระและกำหนดที่ระบุไว้</p> |
|--|--|

การต่ออายุ ครั้งที่ 4

ให้ต่ออายุใบอนุญาตบันนีจันลิง
วันที่ 31 ธันวาคม พ.ศ. 2554

(นายสุกี้ ภูริพานิช)
ค้าขายยาและยาอันตราย

บริษัทฯ ขอสงวนสิทธิ์ไม่รับเอกสารขอต่ออายุและยกเลิก



อนุญาตให้เปลี่ยนผู้ดำเนินกิจการ จาก นางสาวนันธิ์ ธีระวัฒนสุข เป็น นางทุตินันท์ ประดิษฐ์ภูริพานิช

ทั้งนี้ตั้งแต่วันที่ 3 มกราคม 2554 เป็นต้นไป



ปฏิบัติราชการตามหน้าที่อย่างเคร่งครัด อย่างถูกต้อง

ล้านนาฤกต์long

Mr. Suki Phuripanich

THAI. FDA. A4 0304211



ใบแจ้งหนี้ / ใบกำกับภาษี / ใบสั่งของ

สำนักงานคณะกรรมการอาหารและยา
กลุ่มเงินทุนหมุนเวียนยาเสพติด
ถ.ด่วนนนทบ. อ.เมือง จ.นนทบุรี 11000
โทร. 0-2590-7732, 0-2590-7736, 0-2590-7739, 0-2590-7781
ไปรษณีย์ไทย ไปรษณีย์ 0-2590-7731

ต้นฉบับ

เอกสารออกเป็นชุด

วันที่ 01/06/2554

เลขที่ ช. 54/04403

เลขประจำตัวผู้เสียภาษีอากร 4 102030736

ชื่อผู้ซื้อ
มหาวิทยาลัยอุบลราชธานี
คณะเภสัชศาสตร์ มหาวิทยาลัยอุบลราชธานี
นางสาวศิรินันท์ ประสาทธัญวิริษา
85 ถ.วารินชำราบ-สุขุมวิท ต.เมืองศรีสะกา อ.วารินชำราบ จ.
อุบลราชธานี 34190

รหัสสถานที่
24245

รหัสผู้ดือใบอนุญาต
24245

เลขที่กำกับชื่อ
02-2845/54

วันที่ซื้อ
25/05/2554

กำหนดชำระ
90 วัน

วันเดือนปีที่
30/08/2554

| ลำดับ | รายการ | จำนวน | ราคาต่อหัว | จำนวนเงิน |
|-------|---|---------|------------|-----------|
| 1 | Morphine Sulfate Injection 10 mg/ml Ampoules (P 479D) | 1 : box | 60.00 | 60.00 |

เจ้าหน้าที่ทำคำขอเรื่องยาเสพติดและตัดสูญออกฤทธิ์
ส่งคำขอเข้ามาเสพติดและตัดสูญออกฤทธิ์ กรุณาระบุ
ผู้รับเรียนผู้อำนวยการกลุ่มเงินทุนหมุนเวียนยาเสพติด
กระทรวงคุณภาพชีวภาพ

ฝ่ายยา

จำนวนเงินรวมทั้งสิ้น (ดัวอังกฤษ) [หลักสิบบาทถ้วน]
เพื่อรับเข้าไปรอดำเนินกิจกรรมตามคณะกรรมการอาหารและยา ใน ด้วย ค่าน้ำเงินทั้งสิ้นที่ : 02-2845/54 จำนวนภาษีมูลค่าเพิ่ม
ให้รับก้ารของความภาระข้างตนนี้ครบถ้วนและสัมภูติว่าจะชำระเงินภาษีในวันที่ : 30/08/2554 จำนวนเงินที่ต้องชำระทั้งสิ้น

| | |
|--------------|-------|
| มูลค่าสินค้า | 56.07 |
| 7 % | 3.93 |
| 60.00 | |

ผู้รับยา _____ ผู้ออกใบแจ้งหนี้ _____ ผู้ส่งยา _____
(_____) (_____) (_____)

- * จำนวนยาในการสั่งซื้อโปรดระบุหน่วยเป็นหลอด เม็ด หรือ ชาด ให้ชัดเจน
- * ยาที่ซื้อไปทางสำนักงานคณะกรรมการอาหารและยา กลุ่มเงินทุนหมุนเวียนยาเสพติดไม่รับเปลี่ยน หรือคืน

๑/๖/๕๔

เลขกำกับเอกสาร 54 ช 001290

วันที่ออกใบแจ้งหนี้ ๘ มิ.ย.๖๔

| | | | | | |
|---|---|------------------------------------|----------------|---|-----------|
| | | ໃບບົດຂ່າຍຄວາມຮາຍເຫັນໄດ້ໄປກ່ອສືບທຸກ | | | |
| ລະຫວ່າງ | | | | | |
| ຄະນະຫາເຫັນຄວາມຮາຍ ມາວິທານສັບຄວາມຮາຍ | | | | | |
| ທີ່ວັນ 85 | | | | | |
| ມະນາຄາ ດັວນຮ່າງຕະຫຼາມ | | | | | |
| ກົດເພີ່ມເອົາກີ່ວິດ ດັວນຮ່າງຕະຫຼາມ | | | | | |
| ຮ່າງວິວດວນຕະຫຼາມນີ້ 34.1% | | | | | |
| ຄວາມຮາຍທີ່ມີກ່ອນທີ່ຂະໜາດ | : | ຫີນກ່ອ | | | |
| ຄວາມຮາຍທີ່ນີ້ກ່ອນ | : | | | | |
| <u>ການຮາຍຊູ່ວິວທີ່</u> | | | | | |
| ລົງຈອ້ວຍ | : | 54002845 | ໃບເສົ້າຮັບເກີນ | : | ລ 5404403 |
| Saline Sulfate Injection 10 mg/ml Ampoules (Preservative-Free) 4790 | | | ໃກ້ຈາກ | 1 | ບານ |
| <p style="text-align: center;">ລາຍລັດວິຊາມະນາຄາ ລາຍລັດວິຊາມະນາຄາ</p> <p style="text-align: right;">໨ຕົກມູນາ</p> <p style="text-align: right;">ວັນທີ 2 ພຶສ ພຶດມັນພຸນ ພ.ຊ. 2554</p> | | | | | |

แบบ บ.ส. 3



ใบอนุญาต
มีไว้ในครอบครองซึ่งยาเสพติดให้โทษ
ในประเภท 2

ใบอนุญาตที่ 83-2550 หน้าด้าน

ใบอนุญาตฉบับนี้ให้ไว้แก่

มหาวิทยาลัยอุบลราชธานี

โดยมี นางสาว นรนิษฐ์ ธรรมวนิชย์ เป็นผู้ดำเนินการ เพื่อแสดงว่า
เป็นผู้รับอนุญาตให้มีไว้ในครอบครองซึ่งยาเสพติดให้โทษ ในประเภท 2 โดยมีวัสดุประสงค์ เพื่อ
ในการเรียนการสอนรวมทั้งปฏิบัติการเก็บข้อมูลและเก็บข้อมูลของลักษณะเดียวกันตามที่ได้ระบุไว้
ระยะเวลาตั้งแต่ปัจจุบัน ถึง
ยาเสพติดให้โทษในประเภท 2 ทุกชนิด

ณ สถานที่ชื่อ คณะเภสัชศาสตร์ มหาวิทยาลัยอุบลราชธานี
อัตราราชที่ 85 ถนนกาฬสินธุ์ หมู่ 1 ตำบลป่าสัก อำเภอเมือง
อุบลราชธานี จังหวัดอุบลราชธานี รหัสไปรษณีย์ 44000
โทรศัพท์ 0-4535-3611-2

ใบอนุญาตฉบับนี้ให้ไว้ครั้งเดียวในวันที่ 31 ธันวาคม พ.ศ. 2550 แห่งปี ก่อนให้เพื่อพำนักที่จะรับไว้ในใบอนุญาตเท่านั้น
ให้ไว้ ณ วันที่ 6 เดือน



ใบอนุญาตนี้ต้องแสดงไว้ในที่ปิดเผยแพร่
และต้องคืออย่างภายนอกในวันที่ 31 ธันวาคม ทุกปี

การต่ออายุครั้งที่ 1
ให้ต่ออายุใบอนุญาตฉบับนี้ในเดือน
ธันวาคม พ.ศ. 2551
ลงนามโดย
(นายธนกร ธรรมวนิชย์)
(นายธนกร ธรรมวนิชย์)
ลงนาม
2 S.O. 2551

การต่ออายุครั้งที่ 2
ให้ต่ออายุใบอนุญาตฉบับนี้เดือน
ธันวาคม พ.ศ. 2552
(ลงนามโดย)
(นายธนกร ธรรมวนิชย์)
(นายธนกร ธรรมวนิชย์)
ลงนาม
26 พ.ศ. 2551

การต่ออายุครั้งที่ 3
ให้ต่ออายุใบอนุญาตฉบับนี้เดือน
ธันวาคม พ.ศ. 2553
(ลงนามโดย)
(นายธนกร ธรรมวนิชย์)
(นายธนกร ธรรมวนิชย์)
ลงนาม
30 ธ.ค. 2552

| | | |
|--|--|--|
| <p>การต่ออายุ ครั้งที่ 4 ให้ต่ออายุใบอนุญาตฉบับนี้เมื่อวัน วันที่ 31 ธันวาคม พ.ศ. 2554 (ผู้มีสิทธิ์) นางสาวกานต์ กานต์ ค้านายกานต์ ภานุราษฎร์พัฒนา ปฏิบัติงานและมีภาระดูแลงานภาระและยา ปฏิบัติราชการตามภาระและยา ใบอนุญาต 4 ธ.ค. 2554</p> | <p>การต่ออายุ ครั้งที่ 5 ให้ต่ออายุใบอนุญาตฉบับนี้เมื่อวัน วันที่ 31 ธันวาคม พ.ศ. 2555 (ผู้มีสิทธิ์) นางสาวกานต์ กานต์ ค้านายกานต์ ภานุราษฎร์พัฒนา ปฏิบัติงานและมีภาระดูแลงานภาระและยา ใบอนุญาต 4 ธ.ค. 2555</p> | <p>การต่ออายุ ครั้งที่ 6 ให้ต่ออายุใบอนุญาตฉบับนี้เมื่อวัน วันที่ 31 ธันวาคม พ.ศ. 2556 (ผู้มีสิทธิ์) นางสาวกานต์ กานต์ ค้านายกานต์ ภานุราษฎร์พัฒนา ปฏิบัติงานและมีภาระดูแลงานภาระและยา ใบอนุญาต 4 ธ.ค. 2556</p> |
|--|--|--|

รายการแก้ไขหรือเปลี่ยนแปลงใบอนุญาต

ครั้งที่ 1/2554

อนุญาตให้เปลี่ยนผู้ค้าในกิจการ จาก นางสาวนนันท์ ธีระวัฒน์ เป็น นางชุดนันท์ ประดิษฐ์ริริเวช





NRCT-JSPS RESEARCH REPORT

Preliminary study “Effect of Shallot Extract on the
Expression of Inflammatory Mediators, iNOS and COX-2”

**National Research Council of Thailand-Japan Society for the Promotion of Science
(NRCT-JSPS) joint research program**

**Core University Program
RESEARCH REPORT**

Name of visiting scientist: Nuttiya Werawattanachai

Host scientist: Professor Koichi Ueno

Department of Geriatric Pharmacology and Therapeutics.
Graduate School of Pharmaceutical Sciences, Chiba University, 1-
8-1, Inohana, Chuo-ku, Chiba, 260-8675, JAPAN.

Topic of research in Japan:

Effect of Shallot Extract on the Expression of Inflammatory Mediators, iNOS and COX-2

Effect of Shallot Extract on the Expression of Inflammatory Mediators, iNOS and COX-2

Allium ascalonicum L. or shallot is a major component of many Asian diets and is widely believed to be beneficial to health. The shallot is relative to garlic, *Allium sativa* L. Garlic is now recognized as an important medicinal food with anti-aging effects, helping to reduce the risk of age-related, oxidant-mediated conditions, heart disease, cancer and chronic disease. Shallot bulb is darker than garlic and has a stronger odor that correlates with its sulfide content. Shallot has been reported to exhibit antioxidative and free radical scavenging activity similar to that associated with garlic. Chemical constituents of shallot include high contents of flavone, sulfur-containing compounds, and poly-phenolic derivatives. Both garlic and shallot are economic agricultural plant for Thai export and grown well in Srisaket, a northeastern province, Thailand.

Inflammation is a complex phenomenon involving multiple cellular and molecular interactions which must be tightly regulated. Pro-inflammatory molecules including platelet-activating factor, prostaglandins, enzymes, and free radicals, such as nitric oxide (NO). Among a variety of inflammatory mediators, two of the most prominent are nitric oxide (NO) produced by inducible NO synthase (iNOS) and prostaglandins by cyclooxygenase-2 (COX-2; prostaglandin H₂ synthase). When iNOS was up-regulated in inflammatory cells, COX-2 expression increased in a similar pattern, suggesting the interaction between iNOS and COX-2. Inhibitory effect on the expression of iNOS and COX-2 suggesting anti-inflammatory activity of the test compound. It is likely that shallot may be useful to alleviate an inflammatory pain by inhibiting the expression of the inflammatory mediators.

Objectives :

1. To investigate the effect of shallot extract on the expression of iNOS compare to garlic extract.
2. To investigate the effect of shallot extract on the expression of COX-2 compare to garlic extract.

Material and Methods :

Plant materials :

The plant materials were purchased from local market in Si Saket Province, Thailand, and were identified by Assistant Professor Rawiwun Kaewammatawong, Faculty of Pharmaceutical Sciences, Ubon Ratchathani University, Ubon Ratchathani, Thailand.

Extraction : The plant materials were cut into small pieces and were macerated in ethanol for 3 days and filtered. The filtrate was evaporated under reduced pressure until dryness and then were lyophilized. All extracts are stored in the dessicator.

All of the tested materials were dissolved in MilliQ water at the concentration of 1.000 mg/ml as stock solutions.

Macrophage cell culture :

Mouse macrophage cell line, RAW 264.7 were cultured in RPMI-1640 medium, containing 10% fetal bovine serum and 1% antibiotics.

Macrophages were incubated at 37 °C in humidified atmosphere of 5% CO₂ /95% air.

Cell viability assay :

The effect of extract on cell viability was evaluated by MTT assay, in which MTT is reduced to formazan in viable cells. In brief, RAW264.7 cells were seeded onto a 96-well plat at a density of 3×10^4 cells per well and incubated at 37 °C for 24 h. The cells were then treated with various concentrations of extract. After 48 hour incubation, 100 μ l of the 0.25 mg/ml MTT solution was added to the wells. Cultures were incubated in a 5% CO₂ incubator at 37 °C for 1 hr and the culture medium in each well was aspirated off without disturbing the formazan precipitate. Then 100 μ l of DMSO was added to each well to solubilize the formazan crystals. The absorbance in each well was measured using microplate reader at a measuring wavelength of 540 nm and a reference wavelength of 650 nm. The cellular reduction of MTT which represents metabolic activity and viability was expressed as the percent absorbance of treated cells compared with the absorbance of control cells.

Nitrite assay or NO detection :

RAW 264.7 cells were seeded onto a 6-well culture plate at a density of 1×10^6 cells per well with 2,000 μL of culture medium and incubated for 24 h. Cells were treated with LPS (1 $\mu\text{g/mL}$) and different concentrations of test compounds (Garlic and Shallot extract; 250 $\mu\text{g/mL}$, 1,000 $\mu\text{g/mL}$). After 48 hour incubation, nitrite levels in the cultured media which reflect intracellular nitric oxide synthase activity were determined by Griess reaction. Briefly, The supernatants (0.05 ml) were simultaneously treated with 0.05 ml Griess solution (1% sulfanilamide, 0.1% naphthylethylenediamine dihydrochloride, and 5% phosphoric acid) for 10 min at room temperature. NaNO_2 was used to generate a standard curve; nitrite production was measured by a spectrophotometer at 540 nm. And the calculated concentration was taken as the indicator of NO production.

RNA extraction and reverse transcription-polymerase chain reaction :

RAW264.7 cells were co-treated with different concentration of extract and LPS (1 $\mu\text{g/mL}$). The total RNA was purified from the cells using RNeasy Mini Kit (QIAGEN) and subjected to semi-quantitative reverse transcription-polymerase chain reaction (RT-PCR) using an PCR Thermal Cycler (TaKaRa) with *PreMix Ex Taq* Hot Start Version (TaKaRa) according to the manufacturer's instructions. Sequences of primers used in a RT-PCR analysis for quantification of iNOS, eNOS, TNF- α , COX-2 and β -actin transcripts were as follows (F: forward, R: reverse) :

iNOS (449 bp)

F : 5'-ATGTCCGAAGCAAACATCAC-3' (Tm=62.5)

R : 5'-TAATGTCCAGGAAGTAGGTG-3' (Tm=56.6)

COX-2 (582 bp)

F : 5'-TTTGATTAGTAGTACTACTGTAGGGTTAATG-3' (Tm=62.4)

R : 5'-ACTCACTCAGTTGTTGAGTCTATTG-3' (Tm=57.1)

β -actin (101 bp)

F : 5'-TGTCCACCTTCCAGCAGATGT-3' (Tm=58.0)

R : 5'-AGCTCAGTAACAGTCCGCCTAGA-3' (Tm=60.0)

The mRNA of β -actin is used as an internal control.

Condition of reaction :

iNOS

95°C 5 min

95°C 30 sec

49°C 30 sec

68°C 90 sec

} 30 cycles

68°C 10min

4°C ∞

• COX2

95°C 5 min

95°C 30 sec

57°C 45 sec

72°C 60 sec

} 34 cycles

72°C 10 min

4°C ∞

The PCR products were analyzed on 3% agarose gel electrophoresis and stained with ethidium bromide and viewed with UV transillumination. The density of target bands were quantified by image. Results were expressed as relative ratios of band intensity between the mRNA of interest and β -actin mRNA.

Real time PCR analysis :

Macrophages were incubated for 48 hour with or without LPS (1 μ g/mL). After washing with PBS twice, total RNA was isolated from the cell pellet using the RNeasy Mini Kit (QIAGEN) according to the manufacturer's directions. Quantitative real time PCR was performed with the SYBR Premix Ex Taq (Perfect Real Time) (TaKaRa), and results were analyzed with the ABI StepOne Real Time PCR System (Applied Biosystems). Each 20 μ L PCR reaction contained 2 μ L of the original cDNA, 0.4 μ L (10 μ M) of each primer, 0.4 μ L of ROX Reference Dye (50X), 10 μ L of SYBR Premix Ex Taq (2X), and 7.2 μ L D.W. The PCR

amplification was performed under the following conditions: 40 cycles of denaturation at 95 °C for 10 s, annealing at 95 °C for 5 s and extension at 60 °C for 31 s. The fluorescence signal was detected at the end of each cycle. Melting curve analysis was used to confirm the specificity of the products.

Results :

1. Effects of Shallot and Garlic extracts on cell viability

RAW 264.7 macrophage viability in the presence of Shallot extract and Garlic extract are shown in Fig. 1 and Fig. 2, respectively. Shallot extract did not show obvious cytotoxicity to RAW 264.7 cells with the concentration of compound up to 1,000 µg/mL after 48 hour incubation. Garlic extract show concentration dependent to affect cell viability. At 1,000 µg/mL Garlic extract decreased percent cell viability to 17.59. With this result, concentrations 250 µg/mL and 1,000 µg/mL of Shallot extract and Garlic extract were chosen for subsequent experiments.

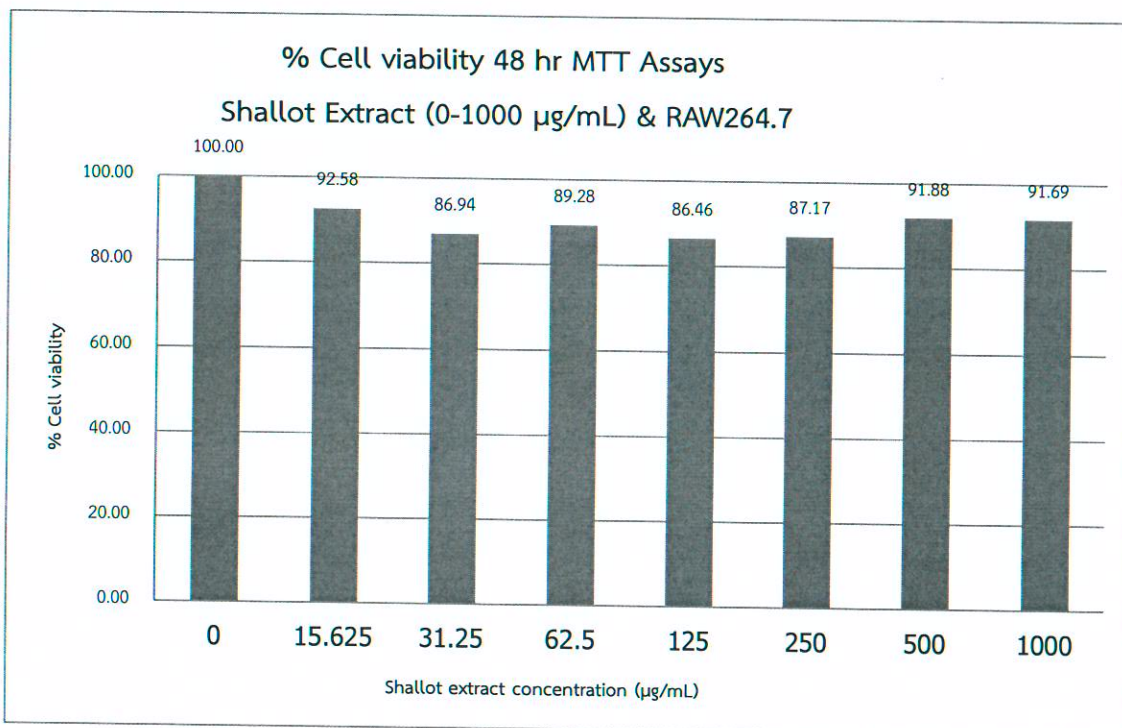


Fig. 1. Effects of Shallot extract on the cell viability. Cell viability was evaluated by MTT assay 48 hour after Shallot treatment in RAW 264.7 macrophages.

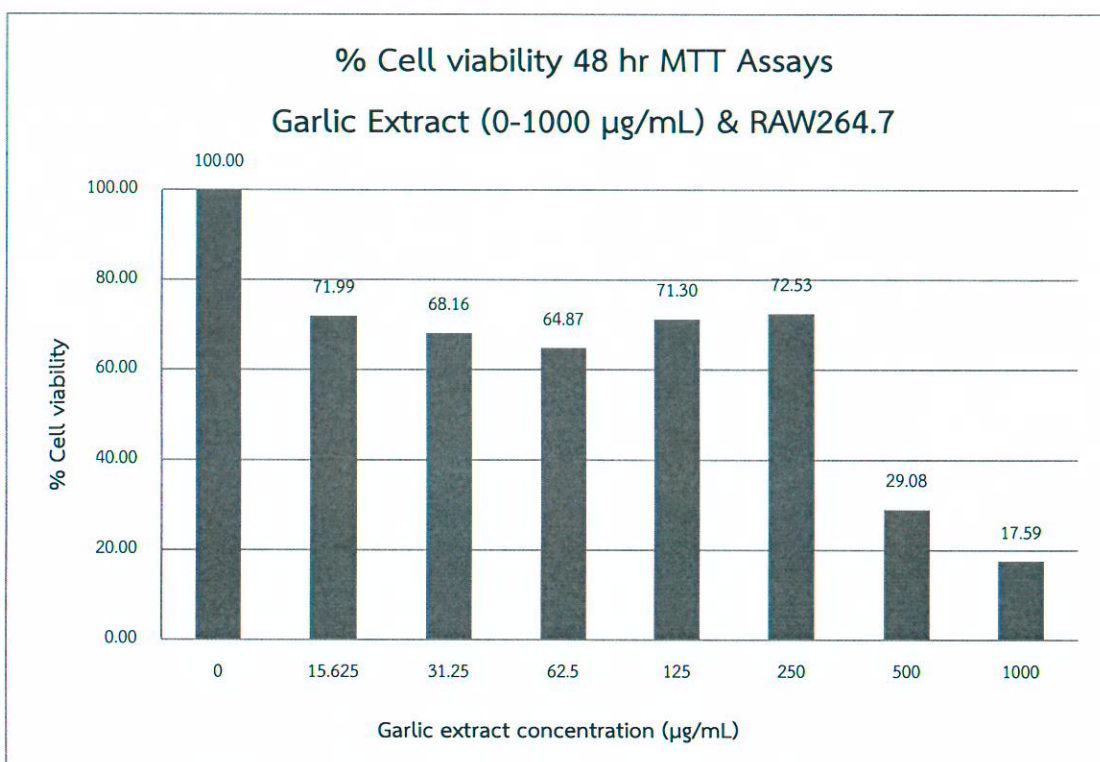


Fig. 2. Effects of Garlic extract on the cell viability. Cell viability was evaluated by MTT assay 48 hour after Garlic treatment in RAW 264.7 macrophages.

2. Effects of Shallot and Garlic extracts on NO production

The effects of Shallot and Garlic extracts on NO production in LPS-stimulated RAW 264.7 cells are shown in Fig. 3 (RAW 264.7 1×10^6 cells) and Fig. 4 (RAW 264.7 2.5×10^5 cells). RAW 264.7 cells were treated with extract at concentration 250 and 1,000 µg/mL and LPS (1 µg/mL) for 48 hour. Nitrite levels in LPS-stimulated cells increased significantly compared to control. LPS-induced NO production was decreased by Garlic extract at the concentration 250 µg/mL, however it was not shown a dose-dependent manner. In RAW 264.7 macrophage cell culture (2.5×10^5 cells), LPS-induced NO production was decreased by 250 µg/mL, 1,000 µg/mL Garlic extract and 1,000 µg/mL Shallot extract. To investigate the effects of Shallot and Garlic extracts on NO production in RAW 264.7 with or without LPS stimulation, the average ratio compare to no LPS and no extract condition were calculated and shown in Fig.5.

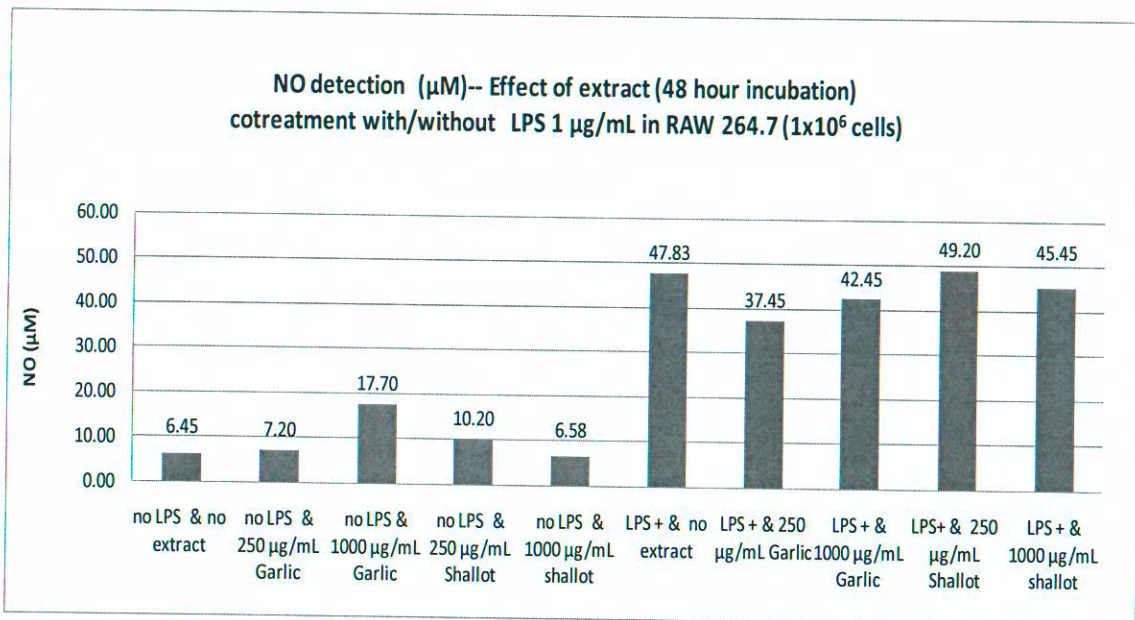


Fig. 3. Effects of Shallot and Garlic extracts on nitrite (NO) production in LPS-stimulated RAW 264.7 macrophages (1×10^6 cells/well). NO production was measured by the Griess reaction assay and expressed as a μM of NO.

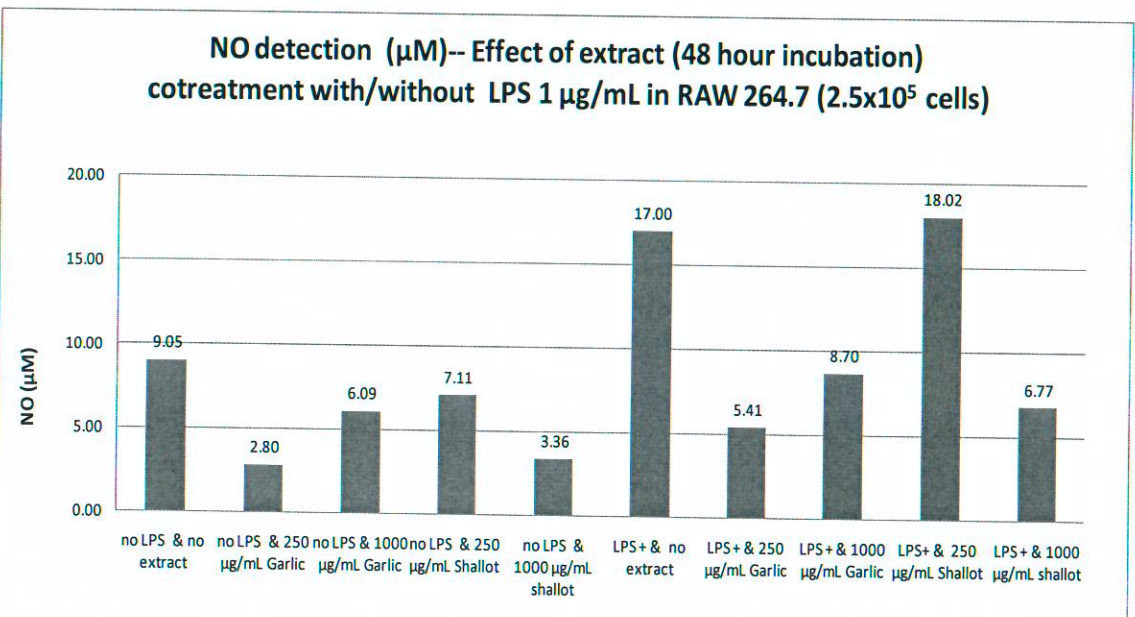


Fig. 4. Effects of Shallot and Garlic extracts on nitrite (NO) production in LPS-stimulated RAW 264.7 macrophages (2.5×10^5 cells/well). NO production was measured by the Griess reaction assay and expressed as a μM of NO.

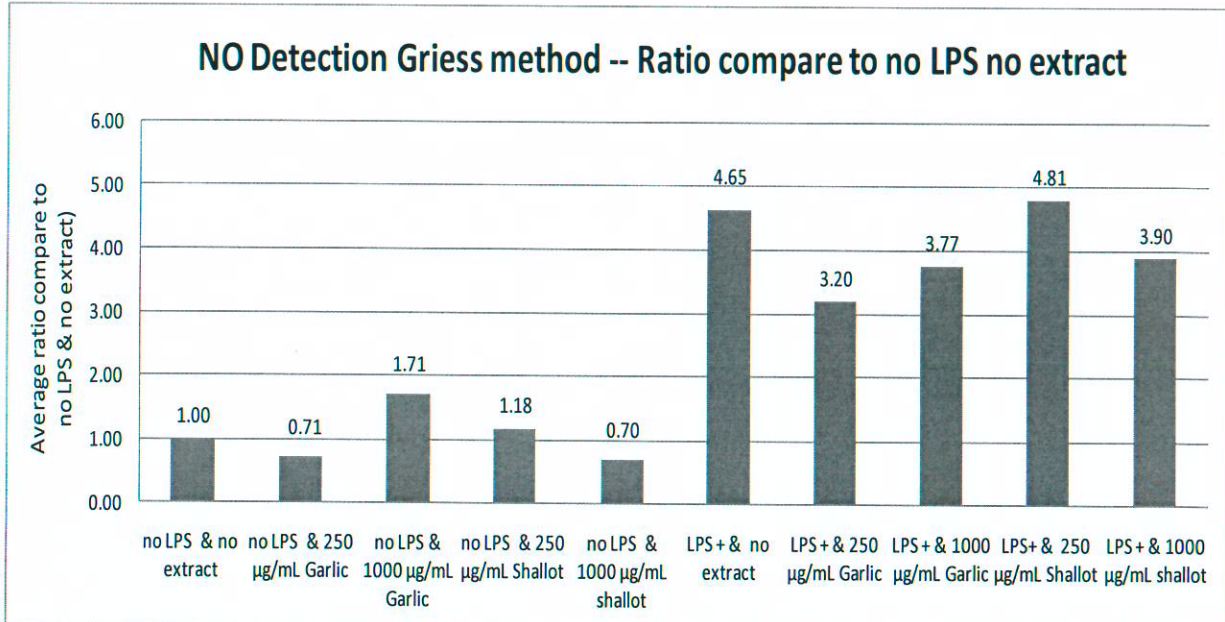


Fig. 5. Effects of Shallot and Garlic extracts on nitrite (NO) production in LPS-stimulated RAW 264.7 macrophages. The ratio of NO production in each experiment were compared to no LPS and no extract condition.

3. Effects of Shallot and Garlic extracts on the expression of iNOS and COX-2

3.1 Reverse transcription polymerase chain reaction analysis

LPS stimulation alone can induce iNOS and COX-2 transcription. The effects of Shallot and Garlic extracts on the expression of iNOS and COX-2 were not clearly by reverse transcription polymerase chain reaction experiments as shown in agarose gel UV transillumination in Fig.6 and Fig.7, respectively.

Lane 1 no LPS & no extract Lane 2 no LPS & 250 µg/mL Garlic
Lane 3 no LPS & 1000 µg/mL Garlic Lane 4 no LPS & 250 µg/mL Shallot
Lane 5 no LPS & 1000 µg/mL shallot Lane 6 LPS + & no extract
Lane 7 LPS + & 250 µg/mL Garlic Lane 8 LPS + & 1000 µg/mL Garlic
Lane 9 LPS+ & 250 µg/mL Shallot Lane 10 LPS + & 1000 µg/mL shallot



Fig.6. Expression of *iNOS* in RAW 264.7 after exposure to Shallot and Garlic for 24 hour after LPS stimulation

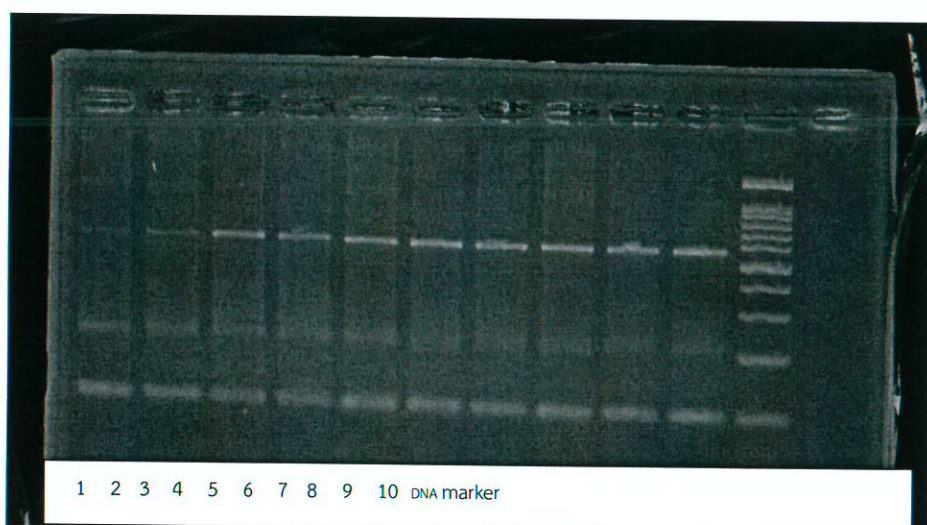


Fig.7. Expression of *COX-2* in RAW 264.7 after exposure to Shallot and Garlic for 24 hour after LPS stimulation

3.2 Real -time polymerase chain reaction analysis

In real-time PCR experiments, both Shallot and Garlic extract have no effect on iNOS expression in LPS-activated macrophage. Garlic extract at the concentration 250 $\mu\text{g}/\text{mL}$ and Shallot extract at the concentration 250 and 1,000 $\mu\text{g}/\text{mL}$ attenuates increase in COX-2 expression in LPS-activated macrophage.

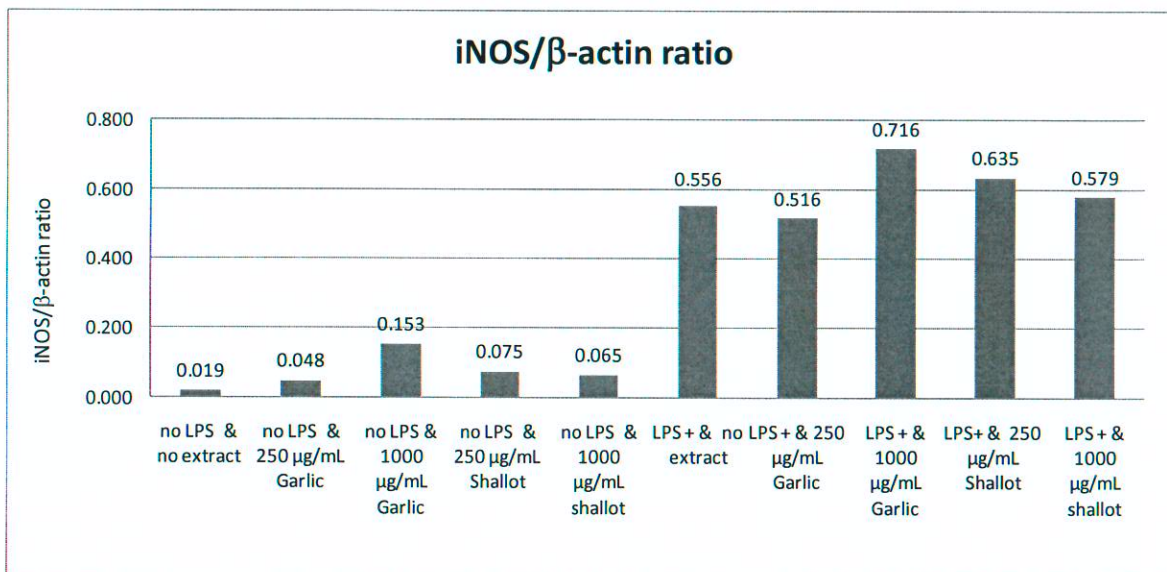


Fig.8. Real time PCR for the expression of *iNOS* in RAW 264.7 after coculture between Shallot or Garlic and LPS for 48 hour

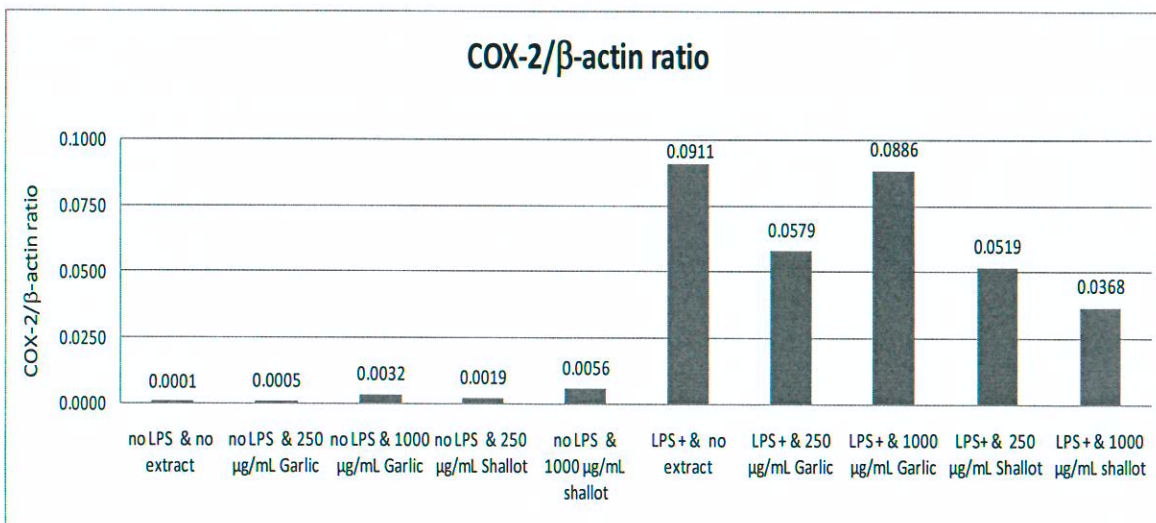


Fig.9. Real time PCR for the expression of *COX-2* in RAW 264.7 after coculture between Shallot or Garlic and LPS for 48 hour

Summary :

The numbers of viable murine RAW 264.7 macrophages were not altered by the Shallot extract (0 – 1,000 µg/mL) as determined by MTT assays, indicating that shallot did not show cytotoxicity. Garlic extract (1,000 µg/mL) markedly decreased RAW 264.7 cell viability to 17.59%.

LPS stimulation alone at the concentration 1 µg/mL can induce NO production. In Greiss Method, nitrite levels in LPS-stimulated cells increased significantly compared to control. To evaluate whether extracts could modulate NO production by activated macrophages, we examined the effects of Shallot and Garlic extract on NO production by RAW 264.7 cells. As shown in Fig.5, Shallot extract (1,000 µg/mL) and Garlic extract (250 and 1,000 µg/mL) inhibited LPS-induced NO production by RAW 264.7 cells. However, Shallot and Garlic extract did not attenuate the increase in iNOS expression in both reverse transcription-polymerase chain reaction and real-time polymerase chain reaction. these results suggest that the mechanism that Shallot and Garlic extract inhibited NO production maybe not involving the reduction of iNOS mRNA expression. Further studied would be needed to confirm these results.

In a variety of inflammatory cells, including macrophages, COX-2 is induced by LPS, resulting in the release of large amounts of PGE₂ at inflammatory sites. As shown in real-time polymerase chain reaction analysis in Fig. 9, the results suggested that Shallot extract (1,000 µg/mL) and Garlic extract (250 and 1,000 µg/mL) decreases the production of COX-2 by LPS-activated RAW 264.7 macrophages.

In summary of this preliminary study, we have shown that the ethanolic extract of Shallot and Garlic suppresses the production of proinflammatory mediators in murine macrophage cells exposed to LPS especially COX-2. Further investigations on the anti-inflammatory activity of these extracts need to be performed.

Acknowledgement :

The author thank Professor Koichi Ueno and Assistant Professor Hiromi Sato, Department of Geriatric Pharmacology and Therapeutics. Graduate School of Pharmaceutical Sciences, Chiba University, 1-8-1, Inohana, Chuo-ku, Chiba, 260-8675, JAPAN. This study was supported by the research grant from the NRCT-JSPS JFY2010.

การทดสอบฤทธิ์ทางชีวภาพอื่นๆ ของสารสกัดหอมแดงและสารสกัดกระเทียม
โดยศูนย์พันธุวิศวกรรมและเทคโนโลยีชีวภาพแห่งชาติ (BIOTEC)

การทดสอบฤทธิ์ทางชีวภาพโดยศูนย์พันธุวิศวกรรมและเทคโนโลยีชีวภาพแห่งชาติ

การทดสอบฤทธิ์ทางชีวภาพโดยส่ง ตัวอย่างสารสกัดทวยาบ 2 ตัวอย่าง ประกอบด้วยสารสกัด A เป็นสารสกัดห้อมแดงในเอรานอล ลักษณะข้นหนืด สีน้ำตาล ละลายน้ำได้ดี และสารสกัด B เป็นสารสกัดกระเทียมในเอรานอล ลักษณะเป็นผงสีเหลืองอ่อน ละลายน้ำได้ดี ไปทดสอบที่ศูนย์พันธุวิศวกรรมและเทคโนโลยีชีวภาพแห่งชาติ (BIOTEC) โดยส่งสารสกัดเพื่อทดสอบ

6.1 ฤทธิ์ยับยั้งการเจริญเติบโตของเซลล์มะเร็ง (Cancer cell growth inhibition) ได้แก่ ฤทธิ์ยับยั้งการเจริญเติบโตของเซลล์มะเร็งในช่องปาก (KB: human oral cavity carcinoma ATCC CCL-17) เซลล์มะเร็งเต้านม (MCF-7: human breast adenocarcinoma ATCC HTB22) และเซลล์มะเร็งปอด (NCI-H187: human small cell lung carcinoma ATCC CRL-5804) ด้วยวิธี Resazurin microplate assay (Brien et al., 2000) และใช้ Ellipticine, Doxorubicin และ Tamoxifen เป็น positive control และมี 0.5% DMSO และน้ำเป็น negative control

วิธีการทดสอบ

การทดสอบฤทธิ์ต้านหรือยับยั้งการเจริญเติบโตของเซลล์มะเร็งทำได้โดยนำ cell line ของมะเร็งแต่ละชนิดมาเพาะเลี้ยงและเจือจางให้มีความหนาแน่น ดังนี้ เซลล์มะเร็งในช่องปาก 2.2×10^4 cells/ml และเซลล์มะเร็งเต้านมและเซลล์มะเร็งปอดจำนวน 3.3×10^4 cells/ml ใส่เซลล์มะเร็งเพาะเลี้ยงปริมาตร 45 μl ในถ้วยหลุมชนิด 384-well plates พร้อมกับใส่สารสกัดทวยาบความเข้มข้น 50 $\mu\text{g}/\text{ml}$ ที่ละลายใน 5% DMSO ปริมาตร 5 μl ลงในถ้วยหลุม นำไปเพาะเลี้ยงที่อุณหภูมิ 37 องศาเซลเซียสใน สภาวะที่มี 5% CO_2 เป็นเวลาต่างๆ กันในแต่ละเซลล์มะเร็ง โดยเพาะเลี้ยงไว้นาน 3 วันสำหรับเซลล์มะเร็งในช่องปากและเซลล์มะเร็งเต้านม และเป็นเวลานาน 5 วันสำหรับเซลล์มะเร็งปอด เมื่อครบกำหนดเวลาเติมสารละลาย resazurin ความเข้มข้น 62.5 $\mu\text{g}/\text{ml}$ ลงไป 12.5 μl ในแต่ละหลุมทดสอบ นำไปเพาะเลี้ยงต่อที่อุณหภูมิ 37 องศาเซลเซียสเป็นเวลา 4 ชั่วโมง นำไปวัดค่าการเรืองแสง fluorescence ด้วยเครื่อง SpectraMax M5 microplate reader ที่ความยาวคลื่น 590 นาโนเมตร คำนวนหา % inhibition จากสมการ

$$\% \text{ inhibition} = [1 - (\text{FU}_T / \text{FU}_C)] * 100$$

โดยค่า FU_T หมายถึงค่าเฉลี่ยของการเรืองแสง fluorescence ของกลุ่มทดสอบ

FU_C หมายถึงค่าเฉลี่ยของการเรืองแสง fluorescence ของกลุ่มควบคุม

6.2 ความเป็นพิษต่อเซลล์ไตของลิง (Vero cells) ด้วยวิธี Green fluorescent protein (GFP) detection (Hunt et al., 1999) และใช้ Ellipticine เป็น positive control และ 0.5% DMSO เป็น negative control

วิธีการทดสอบ

การทดสอบความเป็นพิษต่อเซลล์ไตของลิง (Vero, ATCC CCL-81) ทำได้โดยเพาะเลี้ยงเซลล์ไตของลิง และติดเชลากด้วยโปรตีนเรืองแสงสีเขียว (GFP) โดย transfect cell ด้วย pEGFP-N1 plasmid (Clontech) และเลี้ยงเซลล์ในอาหารเลี้ยงเชื้อที่เติม 10% heat-inactivated fetal bovine serum, 2mM L-glutamine, 1mM sodium pyruvate, 1.5 g/l sodium bicarbonate และ geneticin 0.8 mg/ml เพาะเลี้ยงเซลล์ไตของลิง (Vero) ให้มีความหนาแน่น 3.3×10^4 cells/ml .ใส่เซลล์เพาะเลี้ยงปริมาตร 45 μ l ลงในถาดหลุมชนิด 384-well plates พร้อมกับใส่สารสกัดหยาบความเข้มข้น 50 μ g/ml ที่ละลายใน 5% DMSO ปริมาตร 5 μ l ลงในถาดหลุม นำไปเพาะเลี้ยงที่อุณหภูมิ 37 องศาเซลเซียสใน สภาวะที่มี 5% CO₂ เป็นเวลา 4 วัน นำไปวัดค่าการเรืองแสง ด้วยเครื่อง SpectraMax M5 microplate reader ที่ excitation wavelength 485 นาโนเมตรและ emission wavelength ที่ 535 นาโนเมตร คำนวนหา % cytotoxicity จากสมการ

$$\% \text{ cytotoxicity} = [1 - (\text{FU}_T / \text{FU}_C)] * 100$$

โดยค่า FU_T หมายถึงค่าเฉลี่ยของการเรืองแสง fluorescence ของกลุ่มทดสอบ

FU_C หมายถึงค่าเฉลี่ยของการเรืองแสง fluorescence ของกลุ่มควบคุม

คำนวนค่า IC₅₀ ของ Ellipticine จากกราฟแสดงความสัมพันธ์ระหว่างความเข้มข้น 6 ความเข้มข้น และ การเรืองแสง โดยใช้โปรแกรม SOFTMax Pro software (Molecular device)

6.3 ฤทธิ์ยับยั้งเชื้อยีสต์ *Candida albicans* ด้วยวิธี Resazurin microplate assay (Brien et al., 2000) และใช้ Amphotericin B เป็น positive control และ 0.5% DMSO เป็น negative control

วิธีการทดสอบ

การทดสอบฤทธิ์ยับยั้งการเจริญเติบโตของยีสต์ *Candida albicans* (ATCC 90028) ทำได้โดย เพาะเลี้ยงเซลล์ *Candida albicans* ในอาหารเลี้ยงเชื้อ potato dextrose agar (PDA) ที่อุณหภูมิ 30 องศาเซลเซียสนาน 3 วัน และนำโคลนีของยีสต์มาเพาะเลี้ยงต่อในอาหารเลี้ยงเชื้อ RPMI-1640 จนกระทั่งเซลล์

เพาะเลี้ยงมีความหนาแน่น 5×10^5 CFU/ml ใส่เซลล์ยีสต์ปริมาตร 45 μl ในถาดหลุมชนิด 384-well plates พร้อมกับใส่สารสกัดหยาบความเข้มข้น 50 $\mu\text{g}/\text{ml}$ ที่ละลายใน 5% DMSO ปริมาตร 5 μl ลงในถาดหลุม นำไปเพาะเลี้ยงที่อุณหภูมิ 37 องศาเซลเซียส ใน สภาวะที่มี 5% CO₂ เป็นเวลานาน 5 วัน เมื่อครบกำหนดเวลาเติมสารละลาย resazurin ความเข้มข้น 62.5 $\mu\text{g}/\text{ml}$ ลงไป 10 μl ในแต่ละหลุมทดสอบ นำไปเพาะเลี้ยงต่อที่ อุณหภูมิ 37 องศาเซลเซียสเป็นเวลา 30 นาที นำไปวัดค่าการเรืองแสง fluorescence ด้วยเครื่อง SpectraMax M5 microplate reader ที่ excitation wavelength 530 นาโนเมตรและ emission wavelength ที่ 590 นาโนเมตร คำนวณหา % inhibition จากสมการ

$$\% \text{ inhibition} = [1 - (\text{FU}_T / \text{FU}_C)] * 100$$

โดยค่า FU_T หมายถึงค่าเฉลี่ยของการเรืองแสง fluorescence ของกลุ่มทดสอบ

FU_C หมายถึงค่าเฉลี่ยของการเรืองแสง fluorescence ของกลุ่มควบคุม

คำนวณค่า IC₅₀ ของ Amphotericin B จากกราฟแสดงความสัมพันธ์ระหว่างความเข้มข้นและการเรืองแสง โดยใช้โปรแกรม SOFTMax Pro software (Molecular device) ช่วงความเข้มข้นของสารมาตรฐาน 6 ความเข้มข้นโดยเจือจางสารให้มีความเข้มข้นลดลงทุก 2 เท่า (2-fold serial dilution)

6.4 ฤทธิ์ยับยั้งเชื้อรังน้ำเงิน Mycobacterium tuberculosis (H₃₇Rv) ด้วยวิธี Green fluorescent protein (GFP) detection (Changsen et al., 2003; Collins et al., 1998) และใช้ Rifampicin, Ofloxacin, Streptomycin, Isoniazid และ Ethambutol เป็น positive control และ 0.5% DMSO เป็น negative control

วิธีการทดสอบ

การทดสอบฤทธิ์ยับยั้งเชื้อรังน้ำเงิน Mycobacterium tuberculosis (H₃₇Rv) และติดตามด้วยโปรตีนเรืองแสงสีเขียว (GFP) เพาะเลี้ยงเซลล์ให้มีความหนาแน่น 1×10^5 CFU/ml/well ใส่เซลล์เพาะเลี้ยงปริมาตร 45 μl ลงในถาดหลุมชนิด 384-well plates พร้อมกับใส่สารสกัดหยาบความเข้มข้น 50 $\mu\text{g}/\text{ml}$ ที่ละลายใน 5% DMSO ปริมาตร 5 μl ลงในถาดหลุม นำไปเพาะเลี้ยงที่อุณหภูมิ 37 องศาเซลเซียสใน สภาวะที่มี 5% CO₂ เป็นเวลา 10 วัน นำไปวัดค่าการเรืองแสง ด้วยเครื่อง SpectraMax M5 microplate reader ที่ excitation wavelength 485 นาโนเมตรและ emission wavelength ที่ 535 นาโนเมตร

คำนวณหา % inhibition จากสมการ

$$\% \text{ inhibition} = [1 - (\text{FU}_T / \text{FU}_C)] * 100$$

โดยค่า FU_T หมายถึงค่าเฉลี่ยของการเรืองแสง fluorescence ของกลุ่มทดสอบ

FU_C หมายถึงค่าเฉลี่ยของการเรืองแสง fluorescence ของกลุ่มควบคุม

หากค่า MIC (Minimum inhibitory concentration) ระดับความเข้มข้นต่ำสุดของสารมาตรฐานที่สามารถยับยั้งการเจริญเติบโตของเชื้อได้ 90% โดยเฉื่อยสารมาตรฐานให้มีความเข้มข้นลดลงทุก 2 เท่า (2-fold serial dilution)

6.5 ฤทธิ์ยับยั้งเชื้อรากใบใหม่ในข้าว *Magnaporthe grisea* ด้วยวิธี 5,(6) carboxy fluorescene diacetate (CFDA) fluorometric detection (Haugland, 2002; NCCLS, 2002) และใช้ Amphotericin B เป็น positive control และ 5% DMSO เป็น negative control

วิธีการทดสอบ

การทดสอบฤทธิ์ยับยั้งเชื้อรากใบใหม่ในข้าว ทำได้โดยนำสปอร์ของ *Magnaporthe grisea* (Mat 1-1 strain THL16, BCC 100008) ที่เพาะเลี้ยงใน 10% Salt medium ใส่ในถาดหลุมชนิด 384-well plates .ให้มีความหนาแน่น 1×10^5 spores/25 μl/well พร้อมกับใส่สารสกัดyahab ความเข้มข้น 50 μg/ml ที่ละลายใน 0.5% DMSO ปริมาตร 25 μl ลงในถาดหลุม บ่มไว้นาน 14-16 ชั่วโมง จากนั้นเติม distilled water 25 μl เติมสาร 5,(6) carboxy fluorescene diacetate (CFDA) ใน 70 %DMSO ปริมาตร 2 μl วางทึ้งไว้นาน 5 นาที ทำการล้างออกด้วยน้ำประปาและวางให้แห้งบนกระดาษ จากนั้น นำไปอ่านค่าการเรืองแสง ด้วยเครื่อง SpectraMax M5 microplate reader ที่ excitation wavelength 485 นาโนเมตรและ emission wavelength ที่ 535 นาโนเมตร คำนวณหา % inhibition จากสมการ

$$\% \text{ inhibition} = [1 - (\text{FU}_T / \text{FU}_C)] * 100$$

โดยค่า FU_T หมายถึงค่าเฉลี่ยของการเรืองแสง fluorescence ของกลุ่มทดสอบ

FU_C หมายถึงค่าเฉลี่ยของการเรืองแสง fluorescence ของกลุ่มควบคุม

หากค่า MIC (Minimum inhibitory concentration) ระดับความเข้มข้นต่ำสุดของ Amphotericin B ที่สามารถยับยั้งการเจริญเติบโตของเชื้อได้ 90% โดยเฉื่อยสารให้มีความเข้มข้นลดลงทุก 2 เท่า (2-fold serial

dilution)

6.6 ถุงยับยั้งเชื้อราโดยเม็ดด่างในข้าว *Curvularia lunata* ด้วยวิธี 5,(6) carboxy fluorescene diacetate (CFDA) fluorometric detection (Haugland, 2002; Josep et al., 1988; NCCLS, 2002) และใช้ Amphotericin B เป็น positive control และ 5% DMSO เป็น negative control

วิธีการทดสอบ

การทดสอบถุงยับยั้งเชื้อราโดยเม็ดด่างในข้าว ทำได้โดยนำสปอร์ของ *Curvularia lunata* DOAC 1479 (BCC 15558) ที่เพาะเลี้ยงใน 10% Salt medium ใส่ในถาดหลุมชนิด 384-well plates .ให้มีความหนาแน่น 1.4×10^5 spores/ml วางไว้ที่อุณหภูมิห้องนาน 2 ชั่วโมง เพื่อให้สปอร์ติดอยู่ที่บริเวณก้นหลุม จากนั้นใส่สารสกัดหยาบความเข้มข้น 50 µg/ml ที่ละลายใน 0.5% DMSO ปริมาตร 25 µl ลงในหลุม บ่มไว้นาน 16-18 ชั่วโมง จากนั้นเติม cocktail ประกอบด้วย 40% Glycerol และ 5,(6) carboxy fluorescene diacetate (CFDA) ความเข้มข้น 0.145 mM ใน 70 %DMSO ปริมาตร 25 µl. ลงในหลุมทดสอบ วางทึ้งไว้ในที่มีอุณหภูมิ 5 นาที ทำการล้างออกด้วยน้ำประปาและวางให้แห้งบนกระดาษ จากนั้น นำไปอ่านค่าการเรืองแสง ด้วยเครื่อง SpectraMax M5 microplate reader ที่ excitation wavelength 485 นาโนเมตรและ emission wavelength ที่ 535 นาโนเมตร คำนวณหา % inhibition จากสมการ

$$\% \text{ inhibition} = [1 - (FU_T / FU_C)] * 100$$

โดยค่า FU_T หมายถึงค่าเฉลี่ยของการเรืองแสง fluorescence ของกลุ่มทดสอบ

FU_C หมายถึงค่าเฉลี่ยของการเรืองแสง fluorescence ของกลุ่มควบคุม

หาค่า MIC (Minimum inhibitory concentration) ระดับความเข้มข้นต่ำสุดของ Amphotericin B ที่สามารถยับยั้งการเจริญเติบโตของเชื้อได้ 90% โดยเจือจางสารให้มีความเข้มข้นลดลงทุก 2 เท่า (2-fold serial dilution)

6.7 ถุงยับยั้งเชื้อแบคทีเรียแกรมบวก *Bacillus cereus* ด้วยวิธี Resazurin microplate assay (REMA) (Sarker et al., 2007) และใช้ Vancomycin เป็น positive control และ 0.5% DMSO เป็น negative control

วิธีการทดสอบ

การทดสอบฤทธิ์ยับยั้งเชื้อแบคทีเรีย *Bacillus cereus* ATCC 11778 (TISTR 687) ทำได้โดย Streaked เข็อบนอาหารเลี้ยงเชื้อ tryptic soy agar (TSA) และเพาะเลี้ยงไว้ที่อุณหภูมิ 37 องศาเซลเซียสเป็นเวลา 1 คืน จากนั้นแยกโคลนีเดียวออกมาใส่ในอาหารเลี้ยงเชื้อชนิด broth นำไปปั่นด้วยเครื่องปั่นเหวี่ยงที่อุณหภูมิ 37 องศาเซลเซียส 200 รอบต่อนาทีนาน 30 นาที ทำการเจือจางเชื้อในอาหารเลี้ยงเชื้อ ปริมาตร 20 มิลลิลิตร ปั่นด้วยเครื่องปั่นเหวี่ยงที่อุณหภูมิ 37 องศาเซลเซียส 200 รอบต่อนาทีนาน 3 ชั่วโมง เตรียมเชื้อแบคทีเรีย 15,000 cells ในอาหารเลี้ยงเชื้อ Mueller-Hinton broth ใส่เซลล์ปริมาตร 75 μ l ในถาดหลุมชนิด 384-well plates พร้อมกับใส่สารสกัดหยาบความเข้มข้น 50 μ g/ml ที่ละลายใน 5% DMSO ปริมาตร 7.5 μ l ลงในถาดหลุม ใส่สารละลาย resazurin ความเข้มข้น 0.25 mM 25 μ l ปั่นที่อุณหภูมิ 37 องศาเซลเซียสเป็นเวลา 2 ชั่วโมงนำไปวัดค่าการเรืองแสง fluorescence ด้วยเครื่อง SpectraMax M5 microplate reader ที่ excitation wavelength 530 นาโนเมตรและ emission wavelength ที่ 590 นาโนเมตร คำนวนหา % inhibition จากสมการ

$$\% \text{ inhibition} = [1 - (\text{FU}_T / \text{FU}_C)] * 100$$

โดยค่า FU_T หมายถึงค่าเฉลี่ยของการเรืองแสง fluorescence ของกลุ่มทดสอบ

FU_C หมายถึงค่าเฉลี่ยของการเรืองแสง fluorescence ของกลุ่มควบคุม

หากค่า MIC (Minimum inhibitory concentration) ระดับความเข้มข้นต่ำสุดของสารมาตราฐาน Vancomycin ที่สามารถยับยั้งการเจริญเติบโตของเชื้อได้ 90%

6.8 ฤทธิ์ยับยั้งเอนไซม์ Neuramidase ของไวรัสไข้หวัดนก H5N1 ด้วยวิธี Fluorometric determination (MUNANA-based enzyme inhibition assay) (Potier et al., 1979) และใช้ Oseltamivir เป็น positive control และ 1% DMSO เป็น negative control

วิธีการทดสอบ

การทดสอบฤทธิ์ยับยั้งเอนไซม์ Neuramidase ทำได้โดยใส่เอนไซม์ neuramidase 5 μ l (0.2 ยูนิต) ในถาดหลุมชนิด 384-well plates พร้อมกับใส่สารสกัดหยาบความเข้มข้น 50 μ g/ml ที่ละลายใน 5% DMSO ปริมาตร 5 μ l ลงในถาดหลุม ปั่นที่อุณหภูมิ 37 องศาเซลเซียสเป็นเวลา 30 นาที จากนั้นนำมารีเมสาร

fluorogenic substrate; 2'-4' Methylumbelliferyl)- α -D-N-acetylneuraminic acid (MUNANA) 10 μ l ทึ้งไว้ที่อุณหภูมิ 37 องศาเซลเซียสเป็นเวลา 60 นาที และหยุดปฏิกิริยาด้วยการเติมสาร 100 μ M glycine pH 10.7 ใน 25% เอธานอล ปริมาตร 30 μ l นำไปวัดค่าการเรืองแสง fluorescence ด้วยเครื่อง SpectraMax M5 microplate reader ที่ excitation wavelength 365 นาโนเมตรและ emission wavelength ที่ 450 นาโนเมตร คำนวณหา % inhibition จากสมการ

$$\% \text{ inhibition} = \{1 - [(FU_T - FU_B) / (FU_F - FU_B)]\} * 100$$

โดยค่า FU_T หมายถึงค่าเฉลี่ยของการเรืองแสง fluorescence ของกลุ่มทดสอบ

FU_F หมายถึงค่าเฉลี่ยของการเรืองแสง fluorescence ของกลุ่มควบคุมที่มีเฉพาะเอนไซม์นิวราไมเดส

FU_B หมายถึงค่าเฉลี่ยของการเรืองแสง fluorescence ของกลุ่มควบคุม

คำนวณค่า IC_{50} ของ Oseltamivir carboxylate จากกราฟแสดงความสัมพันธ์ระหว่างความเข้มข้นและการเรืองแสง โดยใช้โปรแกรม SOFTMax Pro software (Molecular device) ช่วงความเข้มข้นของสารมาตรฐาน 5 ความเข้มข้นโดยจ่อสารให้มีความเข้มข้นลดลงทุก 3 เท่า (3-fold serial dilution)

ผลการทดสอบฤทธิ์ทางชีวภาพโดยศูนย์พันธุวิศวกรรมและเทคโนโลยีชีวภาพแห่งชาติ

ผลการทดสอบฤทธิ์ของสารสกัดหอยแดงและสารสกัดกระเทียมในเอทานอล ที่ความเข้มข้น 50

ไมโครกรัม/มิลลิลิตร พบว่าสารสกัดหอยแดงและสารสกัดกระเทียมไม่มีฤทธิ์ในการต้านมะเร็งในซ่องปาก มะเร็งเต้านม มะเร็งปอด ไม่มีพิษต่อเซลล์ไข่ของลิง ไม่มีฤทธิ์ยับยั้งเชื้อยีสต์ เชื้อรากโรคไปใหม่ในข้าว เชื้อรากเมล็ดด่าง ในข้าว เชือแบคทีเรียแกรมบวกและเอนไซม์ Neuramidase ของไวรัสไข้หวัดนก H5N1 ดังแสดงในตารางที่ 6-1

สำหรับฤทธิ์ยับยั้งเชื้อวัณโรคพบว่าสารสกัดกระเทียมที่ความเข้มข้น 50 ไมโครกรัม/มิลลิลิตร สามารถยับยั้งเชื้อวัณโรค *Mycobacterium tuberculosis* ได้ ในขณะที่สารสกัดหอยแดงในเอทานอลที่ความเข้มข้นเดียวกันไม่มีฤทธิ์ในการยับยั้งเชื้อวัณโรค ดังแสดงในตารางที่ 6-1

ตารางที่ 6-1 ผลการทดสอบฤทธิ์ทางชีวภาพของสารสกัดหอยแดงและสารสกัดกระเทียม ในเอรานอลที่ความเข้มข้น 50 ไมโครกรัม/มิลลิลิตรโดยศูนย์ BIOTEC

| | การทดสอบฤทธิ์ | สารสกัดหอยแดงในเอรานอล (50 ไมโครกรัม/มิลลิลิตร) | สารสกัดกระเทียมในเอรานอล (50 ไมโครกรัม/มิลลิลิตร) |
|-----|---|---|---|
| 1. | ฤทธิ์ยับยั้งการเจริญเติบโตของเซลล์มะเร็งในช่องปาก (KB: human oral cavity carcinoma) | Inactive | Inactive |
| 2. | ฤทธิ์ยับยั้งการเจริญเติบโตของเซลล์มะเร็งเต้านม (MCF-7: human breast adenocarcinoma) | Inactive | Inactive |
| 3. | ฤทธิ์ยับยั้งการเจริญเติบโตของเซลล์มะเร็งปอด (NCI-H187: human small cell lung carcinoma ATCC CRL-5804) | Inactive | Inactive |
| 4. | ความเป็นพิษต่อเซลล์ต่อกัน (Vero cells) | Non-cytotoxic | Non-cytotoxic |
| 5. | ฤทธิ์ยับยั้งเชื้อยีสต์ <i>Candida albicans</i> | Inactive | Inactive |
| 6. | ฤทธิ์ยับยั้งเชื้อวัณโรค <i>Mycobacterium tuberculosis</i> | Inactive | Active |
| 7. | ฤทธิ์ยับยั้งเชื้อรากใบไห่มในข้าว <i>Magnaporthe grisea</i> | Inactive | Inactive |
| 8. | ฤทธิ์ยับยั้งเชื้อรากเม็ดด่างในข้าว <i>Curvularia lunata</i> | Inactive | Inactive |
| 9. | ฤทธิ์ยับยั้งเชื้อแบคทีเรียแกรมบวก <i>Bacillus cereus</i> | Inactive | Inactive |
| 10. | ฤทธิ์ยับยั้งเอนไซม์ Neuramidase ของไวรัสไข้หวัดนก H5N1 | Inactive | Inactive |

เอกสารอ้างอิงการทดสอบฤทธิ์ทางชีวภาพอื่นๆ

- Brien JO, Wilson I, Orton T, Pognan F. (2000). Investigation of the alamar blue (resazurin) fluorescent dye for the assessment of mammalian cell cytotoxicity. *Eur J Biochem.* 267:5421-6.
- Changsen C, Franzblau SG, Palittapongarnpim P. (2003). Improved green fluorescent protein reporter gene-based microplate screening for antituberculosis compounds by utilizing an acetamidase promoter. *Antimicrob. Agents Chemother.* 47:3682-7.
- Collins LA, Torrero MN, Franzblau SG. (1998). Green fluorescent protein reporter microplate assay for high-throughput screening of compounds against *Mycobacterium tuberculosis*. *Antimicrob. Agents Chemother.* 42:344-7.
- Haugland, RP. (2002). Assays for cell viability, proliferation and function. In *Handbook of fluorescent probes and research products* ed. Gregory, J. Oregon, USA: Molecular Probes, Inc. pp. 966.
- Hunt L, Jordan M, De Jesus M, Wurm FM. (1999). GFP-expressing mammalian cells for fast, sensitive, noninvasive cell growth assessment in a kinetic mode. *Biotechnol and Bioeng.* 65: 201-5.
- Josep G, Isabel P, Carmen A, Corries L and Joan F. (1998). Inoculum preparation for in-vitro susceptibility testing of filamentous fungi. *J Antimicrob Chemother.* 42: pp. 385 - 3871.
- Potier M, Mameli L, Belisle M, Dallaire L, Melancon SB. (1979). Fluorometric assay of neuraminidase with a sodium (4- methylumbelliferyl-a-D-N-acetylneuraminate) substrate. *Anal. Biochem.* 94: 287-296.
- Sarker SD, Nahar L, Kumarasamy Y. (2007). Microtitre plate-based antibacterial assay incorporating resazurin as an indicator of cell growth, and its application in the in vitro antibacterial screening of phytochemicals. *Methods.* 42: 321-324

POSTER PRESENTATION

In 18th World Congress on Clinical Nutrition (WCCN)

“Agriculture, Food and Nutrition for Health and Wellness”

December 1-3, 2014: Ubon Ratchathani, THAILAND



18th World Congress on Clinical Nutrition (WCCN)
“Agriculture, Food and Nutrition for Health and Wellness”

LETTER OF ACCEPTANCE

Technical Program Committee
Faculty of Agriculture,
Ubon Ratchathani University,
Warinchamrap, Ubon Ratchathani, 34190 THAILAND
Tel : +66-45-353-500, Fax : +66-45-288373
conference_food@ubu.ac.th

30 October, 2014

Dear Miss Nuttiya Werawattanachai,

We are pleased to inform you that the Technical Program committee of 18th WCCN has decided to **ACCEPT** your article to be presented in the 18th WCCN.

The 18th WCCN will be held at Sunee Grand Hotel & Convention Center, Ubon Ratchathani, Thailand, December 1-3, 2014.

Article Title: Anti-Inflammatory Potential of Ethanolic Bulb Extract of Allium ascalonicum Through Alteration in Production of Inducible Nitric Oxide Synthase and Pro-inflammatory Cytokines

Presentation Type: Poster Presentation

Please visit our website at <http://18thwccn.ubu.ac.th/index.php> to prepare the abstract and manuscript separately regarding to the instructions and the template. The submission of manuscripts proceeds fully online by connecting to <http://www.ubu.ac.th/wccn/>, in the same way you have already submitted your abstract. Please note that if you wish to publish your abstract and full paper in our proceedings, you have to submit your paper by the deadline indicated in the Announcement.

Thank you in advance for your contribution toward the success of WCCN. We are looking forward to welcoming you in 18th WCCN 2014.

Yours sincerely,

(Asst. Prof. Dr. Wiriyaphomkong)
Chairman, 18th WCCN Technical Program



December 1-3, 2014: Ubon Ratchathani, THAILAND
 18th World Congress on Clinical Nutrition (WCCN)
 "Agriculture, Food and Nutrition for Health and Wellness"

Anti-Inflammatory Potential of Ethanolic Bulb Extract of *Allium ascalonicum* Through Alteration in Production of Inducible Nitric Oxide Synthase and Pro-inflammatory Cytokines

**Nuttiya Werawattanachai^{a*}, Rawiwun Kaewamatawong^a,
 Jintana Junlatat^b, and Bung-orn Sripanidkulchai^b**

^aFaculty of Pharmaceutical Sciences, Ubon Ratchathani University,
 85 Sathonlamark Rd., Warin Chamrap, Ubon Ratchathani 34190 Thailand
^bFaculty of Pharmaceutical Sciences and Center for Research and Development
 of Herbal Health Products, Khon Kaen University, Khon Kaen 40002 Thailand

*Corresponding Author's E-mail: phnuttwe@mail2 ubu.ac.th

Abstract

Allium ascalonicum L. is used as a spice and has been used in traditional folk medicines. The anti-inflammatory effect of the ethanolic extract obtained from the bulbs of *Allium ascalonicum* L. (AAE) was evaluated *in vitro*. The effects of AAE on lipopolysaccharide (LPS) induced expressions of inducible nitric oxide synthase (iNOS), cyclooxygenase (COX)-2, COX-1, tumor necrosis factor (TNF)- α , interleukin (IL)-1 β and IL-6 in the murine macrophage cell line, RAW264.7 cells, were examined. The gene expressions were tested using reverse transcription polymerase chain reaction (RT-PCR). The results indicated that the expressions of iNOS, TNF- α , IL-1 β , and IL-6 at the mRNA level were inhibited by AAE in a concentration-dependent manner. AAE suppressed production of mRNA for COX-1, while did not significantly affect COX-2. AAE performed anti-inflammatory action via mixed inhibitory actions against iNOS and pro-inflammatory cytokines. Total phenolic content analysis was performed by Folin-Ciocalteu reaction. The total phenolic compound of AAE was 15.964 ± 0.122 mg gallic acid equivalent. g⁻¹ plant extract. Total flavonoid content was determined by aluminium chloride colorimetric method. Total flavonoid content of AAE was 11.742 ± 0.012 mg quercetin equivalent. g⁻¹ plant extract. The present study revealed that ethanolic extract of *Allium ascalonicum* contained constituents such as total phenol and total flavonoid contents and exhibited anti-inflammatory activity in the murine macrophage cell line, supporting that it could be further developed to be an alternative anti-inflammatory agent.

Keywords: *Allium ascalonicum*; anti-inflammatory; iNOS; COX-2; pro-inflammatory cytokines



Anti-Inflammatory Potential of Ethanolic Bulb Extract of *Allium ascalonicum* Through Alteration in Production of Inducible Nitric Oxide Synthase and Pro-inflammatory Cytokines

Nuttiya Werawattanachai^a, Rawiwun Kaewamatawong^a,

Jintana Junlatat^b, and Bung-or Sripanidkulchai^b

^a Faculty of Pharmaceutical Sciences, Ubon Ratchathani University, Ubon Ratchathani 34190 Thailand

^b Faculty of Pharmaceutical Sciences and Center for Research and Development

of Herbal Health Products, Khon Kaen University, Khon Kaen 40002 Thailand

*Corresponding Author's E-mail: phnutwa@mail2.ubu.ac.th

Introduction

Inflammation is a normal protective response to tissue injury caused by any noxious stimulus to destroy the invading organisms. Macrophages are the main pro-inflammatory cells responsible for invading pathogens by releasing inflammatory mediators such as nitric oxide (NO) produced by inducible NO synthase (iNOS), prostaglandins (PG) by cyclooxygenase-2 (COX-2), and pro-inflammatory cytokines including tumor necrosis factor (TNF)- α , interleukin (IL)-1 β , and IL-6. Recent evidence has indicated that cytokines are involved in the pathophysiology of many inflammatory diseases, including sepsis, rheumatoid arthritis, atherosclerosis and asthma. Various compounds of plants show anti-inflammatory activity by inhibiting inducible nitric oxide synthase, cyclooxygenases or modulating the expressions level of inflammation-associated genes (Calixto et al., 2004). *Allium ascalonicum* is an important part of the diet of many populations and widely beneficial to health. To date, there has been report about the anti-inflammatory activity of *Allium ascalonicum*. However, there is scant work regarding the detailed mechanisms associated with anti-inflammatory action of *Allium ascalonicum*. Thus, in the present study we determined the effects of the ethanolic extract of *Allium ascalonicum* (AAE) on the expressions of inflammation-associated genes in RAW264.7 macrophage cell line stimulated with lipopolysaccharide.

Methods

Preparation of the plant extract:

The bulbs of *Allium ascalonicum* growing in Sri Saket Province, Thailand were used as plant materials. They were cut into small pieces and macerated in ethanol for 3 days and filtered. The filtrate was evaporated under reduced pressure until dry and then was lyophilized.

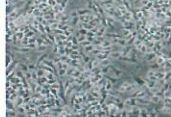


Murine macrophage cell culture:

RAW264.7 cells were cultured in Dulbecco's Modified Eagle's Medium (DMEM) containing 10% fetal bovine serum (FBS) and 1% penicillin-streptomycin and incubated at 37 °C in humidified atmosphere of 5% CO₂/95% air.

Cell viability assay:

RAW264.7 cells (1x10⁴ cells/well) were treated with various concentrations of extract and incubated at 37°C for 2 h. Cell viability was assessed by the 3-[4,5-dimethylthiazol-2-yl]-2,5-diphenyl tetrazolium bromide (MTT) assay. The absorbance in each well was measured by using microplate reader at a wavelength of 570 nm. The results were calculated for % inhibition.



Detection of mRNA expressions of iNOS, COX-2, COX-1, TNF- α , IL-1 β , IL-6 by reverse transcription polymerase chain reaction (RT-PCR) analysis: RAW264.7 cells (1x10⁶ cells/well) were overnight cultured and treated with various concentrations of extract. After incubation for 22 h, the LPS was added to a final concentration of 10 µg/ml and then further incubated for 2 h. Total RNA was purified from the cells using the RNA extraction kit according to the manufacturer's directions. The cDNA was synthesized from total RNA (40 ng) with Omniscript reverse transcriptase kit. Amplification was completed for 27 cycles by using a PCR thermal cycler (GeneAmp® PCR system 2400, Perkin-Elmer, USA) and the cycle conditions for PCR amplification were followed previous reports (Sugawara et al., 2003; Won et al., 2006). The RT-PCR products were separated with 1.5% agarose gel electrophoresis and stained with Novel Juice and visualized under UV light. The density of target bands including iNOS, COX-2, COX-1, TNF- α , IL-1 β , IL-6 were measured by gel documentation and system analysis device (InGenius®, Bio-Rad, USA). Results were expressed as the relative mRNA expression values which were normalized with mRNA expression of β -actin.

Determination of total phenolic and total flavonoid contents:

Total phenolic content was determined by using Folin-Ciocalteau method with gallic acid as standard whereas total flavonoid content was determined by using aluminium chloride colorimetric method with quercetin as standard.

Statistical analysis:

Data are presented as mean ± standard error of mean (SEM) (n=3). The statistical significance of the difference between groups was evaluated by one way ANOVA followed by Least Significant Difference (p<0.05).

Results & Discussion

The effect of AAE on RAW264.7 cell viability:

There were no significant inhibitory effects on cell survival with AAE at concentrations ranging from 62.5-250 µg/ml.

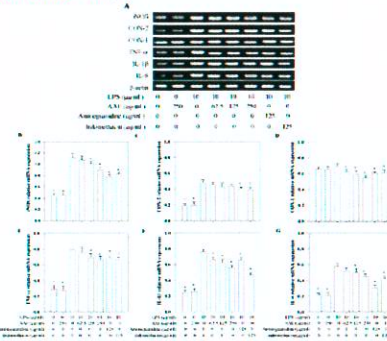


Figure 1. Inhibitory effects of AAE on the expressions of inflammation-associated genes in RAW264.7 cells (A) Amplified bands of iNOS, COX-2, COX-1, TNF- α , IL-1 β , IL-6, and β -actin of representative samples (B), (C), (D), (E), (F), and (G) the relative mRNA expressions of iNOS, COX-2, COX-1, TNF- α , IL-1 β , and IL-6, respectively, which were normalized to β -actin.

*Significantly different from the LPS treatment alone at p<0.05.

Influence of AAE on LPS-induced mRNA expressions:

The expressions of inflammation-associated genes, including iNOS, COX-2, COX-1, TNF- α , IL-1 β , and IL-6 markedly increased following LPS stimulation (Fig 1A lane 3). Aminoguanidine and indometacin, positive controls, significantly reduced the LPS-induced mRNA expressions of those inflammation-associated genes. Pretreating cells with AAE significantly decreased mRNA expressions of iNOS, COX-1, TNF- α , IL-1 β , and IL-6 in a concentration-dependent manner (Fig 1B, 1D, 1E, 1F, 1G, respectively). The expression of COX-2 was not significantly inhibited by AAE (Fig 1C). The prolonged production of inflammatory mediators lead to many pathological states. The iNOS inhibitors have been investigated for the treatment of septic shock, arthritis, atherosclerosis, asthma, inflammatory diseases and carcinogenesis. TNF- α , IL-1 β , and IL-6 are primary cytokines involved in the progression of chronic joint inflammation and the concomitant erosive changes in cartilage and bone. Inhibition of COX-2 inhibits inflammation, while inhibition of COX-1 reduces basal production of cytoprotective prostaglandins and causes ulceration or renal dysfunction (Calixto et al., 2004; Won et al., 2006). AAE could be possible candidate to be considered in the treatment of various inflammatory diseases since it reduced the productions of iNOS, TNF- α , IL-1 β , and IL-6. However, the anti-inflammatory activity of AAE might not directly through inhibiting COX-2 activity and it is possible that AAE could provoke some unwanted adverse effects such as gastric ulcer by inhibiting COX-1 activity.

Total phenolic and total flavonoid contents: The total phenolic compound of AAE was 15.964 ± 0.122 mg gallic acid equivalent g⁻¹ plant extract and the total flavonoid content of AAE was 11.742 ± 0.012 mg quercetin equivalent g⁻¹ plant extract. Phenolic and flavonoid compounds have been used as nutritional supplements for anti-inflammatory activity. The inhibitory effect against iNOS, TNF- α , IL-1 β , and IL-6 gene expression of AAE may be related to these compounds.

Conclusion

In conclusion, the ethanolic extract of *Allium ascalonicum* contained total phenolic and total flavonoid compounds and exhibited inhibitory effect against iNOS, and pro-inflammatory cytokines, TNF- α , IL-1 β , and IL-6 gene expressions, in the LPS-stimulated RAW264.7 cells. Thus, *Allium ascalonicum* could provide a beneficial effect for inflammatory-mediated diseases.

Selected References

1. Calixto, J.B., Campos, M.M., Otsuki, M.F. and Santos, A.R. (2004). "Anti-inflammatory compounds of plant origin. Part II. modulation of pro-inflammatory cytokines, chemokines and adhesion molecules". *Planta medica*, Vol. 70, pp. 93-103.
2. Sugawara, I., Yamada, H., and Mizuno, S. (2003). "Relative importance of STAT4 in murine tuberculosis". *Journal of medical microbiology*, Vol. 52, pp. 29-34.
3. Won, J.H., Im, H.T., Kim, Y.H., Yun, K.J., Park, H.J., Choi, J.W., Lee, K.T. (2006). "Anti-inflammatory effect of budlejajaponin IV through the inhibition of iNOS and COX-2 expression in RAW264.7 macrophages via the NF-κB activation". *British journal of pharmacology*, Vol. 148, pp. 216-225.

Acknowledgement

This study was financially supported by National Research Council of Thailand. The authors wish to thank Professor Koichi Ueno and Assistant Professor Hiromi Sato, Chiba University, Japan, for technical assistance in the preliminary study.

**Manuscript for publication
entitled “Anti-inflammatory activities of shallot and garlic extracts on
lipopolysaccharide-activated murine macrophage cell line”**

1 **Anti-inflammatory activities of shallot and garlic extracts on**
 2 **lipopolysaccharide-activated murine macrophage cell line**

5 **Nuttiya Werawattanachai^a, Rawiwun Kaewamatawong^a, Timothy J Maher^b,**
 6 **Hiromi Sato^c, Koichi Ueno^c, Jintana Junlatat^d, Bung-orn Sripanidkulchai^d**

7
 8 ^a Faculty of Pharmaceutical Sciences, Ubon Ratchathani University, Ubon Ratchathani 34190
 9 Thailand

10 ^b Department of Pharmaceutical Sciences, Massachusetts College of Pharmacy and Health
 11 Sciences, 179 Longwood Avenue, Boston, MA 02115 USA

12 ^c Department of Geriatric Pharmacology and Therapeutics, Chiba University, 1-8-1, Inohana,
 13 Chuo-ku, Chiba, 260-8675, JAPAN

14 ^d Faculty of Pharmaceutical Sciences and Center for Research and Development of Herbal
 15 Health Products, Khon Kaen University, Khon Kaen 40002 Thailand

16
 17 * Corresponding author, e-mail: phnuttwe@mail2.ubu.ac.th

18
 19 **ABSTRACT:** The anti-inflammatory effects of the ethanolic extracts obtained from the bulbs
 20 of shallot (*Allium ascalonicum* L.) and garlic (*Allium sativa* L.) were evaluated *in vitro*. The
 21 effects of shallot and garlic extract on lipopolysaccharide (LPS) induced expression of
 22 inducible nitric oxide synthase (iNOS), cyclooxygenase (COX)-2, COX-1, tumor necrosis
 23 factor (TNF)- α , interleukin (IL)-1 β and IL-6 in the murine macrophage cell line RAW 264.7
 24 were examined. The gene expressions were tested using reverse transcription polymerase
 25 chain reaction (RT-PCR). The results indicated that the expression of iNOS, TNF- α , IL-1 β
 26 and IL-6 at the mRNA level were inhibited by both shallot and garlic extracts in a
 27 concentration-dependent manner (125 and 250 μ g/ml). The garlic extract caused reduction in
 28 LPS-induced COX-2 and COX-1 mRNA expression. The shallot extract at concentration of
 29 62.5, 125 and 250 μ g/ml suppressed production of mRNA for COX-1, while did not
 30 significantly affect COX-2. These results suggest that the anti-inflammatory properties of
 31 shallot and garlic extracts may be due to the inhibitory effects on iNOS, cyclooxygenase
 32 enzymes and pro-inflammatory cytokines. This study supports the traditional use of shallot
 33 and garlic for the treatment of rheumatoid arthritis and other inflammatory disorder.

34
 35 **KEYWORDS:** *Allium ascalonicum*, *Allium sativum*, pro-inflammatory cytokines, iNOS,
 36 COX-2

37
 38 **INTRODUCTION**

39 Inflammation is a normal protective response to tissue injury caused by any noxious stimulus
 40 to destroy the invading organisms, remove irritants and set the stage for tissue repair. It is
 41 triggered by the release of different cellular and humoral mediators from the injured tissues
 42 and migrating cells. Macrophages are the main pro-inflammatory cells responsible for
 43 invading pathogens by releasing inflammatory mediators such as nitric oxide (NO) produced

44 by inducible NO synthase (iNOS), prostaglandins (PG) by cyclooxygenase-2 (COX-2;
 45 prostaglandin H₂ synthase), and pro-inflammatory cytokines including tumor necrosis factor
 46 (TNF)- α , interleukin (IL)-1 β , and IL-6. Recent evidence has indicated that cytokines are
 47 involved in the pathophysiology of many inflammatory diseases, including sepsis, rheumatoid
 48 arthritis, atherosclerosis and asthma. These pathological states appear to be an imbalance of
 49 the cytokine network and to be excessive recruitment of leukocytes to the inflammatory sites
 50 as well as uncontrolled and prolonged inflammatory reactions. Various compounds of plant
 51 origins show anti-inflammatory activity by inhibition of nitric oxide synthase,
 52 cyclooxygenases or modulating the expression level of inflammation-associated genes¹.

53 Shallot (*Allium ascalonicum*) and garlic (*Allium sativa*) belong to the family Alliaceae. Both
 54 shallot and garlic are an important part of the diet of many populations and are widely
 55 beneficial to health. To date, there are reports about the pharmacological properties of shallot
 56 and garlic. The biological activities of shallot are anti-fungal^{2,3}, antibacterial⁴, anti-oxidant⁵,
 57 hypoglycemic effect in rats with fructose-induced insulin resistance⁶, protective potential
 58 against cyclosporin-induced nephrotoxicity⁷, anti-angiogenic⁸, anticancer and anti-
 59 inflammatory activities⁹. Garlic has been shown to exert anti-lipidemic, anti-hypertensive,
 60 anti-platelet aggregation, anti-coagulant, fibrinolytic¹⁰, antibacterial¹¹, anti-oxidant^{5,12},
 61 hypoglycemic¹³, anticancer^{14,15}, and anti-inflammatory effects^{16,17}.

62 A number of chemical constituents such as saponins, sapogenins, sulphur containing
 63 compounds, flavonoids and poly-phenolic derivatives have been identified in shallot and
 64 garlic¹⁸. In folk remedies, shallot has been used in the treatment of several ailments including,
 65 jaundice, gonorrhea, cholera, atherosclerosis, essential hypertension, chest pain, asthma, and
 66 for wound healing¹⁹. The traditional uses of garlic include tuberculosis, bronchitis, sinusitis,
 67 paralysis, loss of memory, ulcer, fever, colic pains, atherosclerosis, diabetes, rheumatism, and
 68 inflammation²⁰.

69 Shallot and garlic were reported to exert anti- inflammatory activities *in vitro*²¹⁻²⁴. The *in vivo*
 70 anti-inflammatory activity of shallot has also been conducted. Animal studies demonstrated
 71 that shallot extract significantly exhibited dose-dependent inhibition of albumin-induced paw
 72 edema in rats (at 3 hours post treatment) and significantly reduced both the early and the late
 73 phases of formalin-induced paw licking in rats¹⁹. The aqueous extract of shallot also
 74 demonstrated a significant anti-inflammatory activity in acetic acid-induced vascular
 75 permeability assay *in vivo*⁹. However, there is scant work regarding the detailed mechanisms
 76 associated with anti-inflammatory actions of shallot and garlic extracts. It is likely that shallot
 77 and garlic alleviate the inflammatory pain by inhibiting the iNOS, COX enzymes and/or the
 78 expression of pro-inflammatory cytokines.

79 Thus, in the present study we examined whether the ethanolic extracts of shallot and garlic
 80 affect iNOS, COX-2, COX-1 and the expression of pro-inflammatory cytokines TNF- α ,
 81 IL-1 β , and IL-6 in lipopolysaccharide (LPS) stimulated RAW 267.4 cells.

83 MATERIALS AND METHODS

84 **Plant materials:** The plant materials were purchased from local market in Sri Saket Province,
 85 Thailand, and were identified by Dr. Rawiwun Kaewammatawong, Faculty of Pharmaceutical
 86 Sciences, Ubon Ratchathani University, Ubon Ratchathani, Thailand.

87

88 **Extraction:** The plant materials were cut into small pieces and were macerated in ethanol for
 89 3 days and filtered. The filtrate was evaporated under reduced pressure until dryness and then
 90 were lyophilized.

91

92 Drugs and chemicals:

93 The chemicals and reagents used in this study included: Dulbecco's Modified Eagle's
 94 Medium (DMEM) (Invitrogen, UK), fetal bovine serum (FBS)(Invitrogen, UK), 3-[4, 5-
 95 dimethylthiazol-2-yl]-2,5-diphenyl tetra-zolium bromide (Invitrogen, USA), *Escherichia coli*
 96 lipopolysaccharide (LPS), RNA extraction kit (GE Healthcare, UK), molecular biology
 97 agarose (Bio-Rad, Spain), 1kb DNA ladder (Promega, U.S.A.), Blue/Orange 6X loading dye
 98 (Promega, U.S.A.), primer iNOS, TNF- α , IL-1 β , IL-6, COX-2, COX-1, β -actin (Eurofins
 99 MWG Operon, Germany), tris base, glacial acetic acid, EDTA (Ajax/Australia), RNA
 100 extraction kit (GE Healthcare, UK), RNase free DNase Set (QIAGEN, Germany), Omniscript
 101 reverse transcriptase kit (QIAGEN, Germany), TopTaq MasterMix kit (QIAGEN, Germany),
 102 Novel Juice (GeneDirex), PCR Thermal Cycler (AB Applied Biosystems Gene Amp® PCR
 103 system 2400, Perkin-Elmer, Roche, NJ, USA), Gel Documentation Analysis system
 104 (InGenius® L, Bio-Rod Lab, Hercules, CA, USA).

105

106 Macrophage cell culture:

107 The murine macrophage cell line, RAW 264.7 cells, was purchased from PromoCell,
 108 Germany. The cells were cultured in DMEM medium, containing 10% fetal bovine serum and
 109 1% penicillin-streptomycin and incubated at 37°C in humidified atmosphere of 5% CO₂ /95%
 110 air.

111

112 Cell viability assay:

113 The viability of cells was assessed by the 3-(4,5-dimethylthiazol-2-yl)-2,5-
 114 diphenyltetrazolium bromide (MTT) assay in which MTT is reduced to formazan in viable
 115 cells²⁵. In brief, RAW 264.7 cells were seeded onto a 96-well plate at a density of 10⁴ cells per
 116 well and incubated at 37°C for 24 h. The cells were then treated with the indicated
 117 concentrations of extract (0.0625-0.25 mg/ml). After 24 h incubation, 100 μ l of the 0.25
 118 mg/ml MTT solution was added to the wells. Cultures were incubated in a 5% CO₂ incubator
 119 at 37 °C for 1 h and the culture medium in each well was aspirated off without disturbing the
 120 formazan precipitate. Then 200 μ l of DMSO was added to each well to solubilize the
 121 formazan crystals. The absorbance in each well was measured using microplate reader at a
 122 wavelength of 570 nm. The cellular reduction of MTT which represents metabolic activity and
 123 viability was expressed as the percentage of inhibition.

124

$$125 \quad \% \text{ inhibition} = [(A570_{\text{control}} - A570_{\text{treated}})/A570_{\text{control}}] \times 100$$

126

127

128

129 **Detection of mRNA expression of iNOS, COX-2, COX-1 and pro-inflammatory
 130 cytokines by reverse transcription polymerase chain reaction (RT-PCR) analysis**

131 RAW 264.7 cells were cultured at a density of 10^6 cells/well in 12-well plate overnight. The
 132 cells were pretreated with different concentration of shallot extract (62.5, 125 and 250 $\mu\text{g}/\text{ml}$),
 133 garlic extract (62.5, 125 and 250 $\mu\text{g}/\text{ml}$), and positive control including indomethacin (125
 134 $\mu\text{g}/\text{ml}$) and aminoguanidine (125 $\mu\text{g}/\text{ml}$). After incubation at 37°C in the humidified
 135 atmosphere with 5% CO₂ for 22 h, the *Escherichia coli* LPS was added to a final concentration
 136 of 10 $\mu\text{g}/\text{ml}$ and then further incubated for 2 h. After washing with PBS twice, total RNA was
 137 purified from the cells using the RNA extraction kit according to the manufacturer's
 138 directions. RNA purity was confirmed with the spectrophotometric absorbance ratio at
 139 260/280 and RNA quantity was determined by the absorbance at 260 nm. Total RNAs (40 ng)
 140 of the cells treated with each compound were converted into cDNA using Omniscript reverse
 141 transcriptase kit. RT-generated cDNAs encoding iNOS, COX-2, COX-1, TNF- α , IL-1 β , IL-
 142 6, and β -actin were amplified by PCR using specific primers (Table 1). PCR was performed
 143 by incubating each cDNA sample with 3 μl of the primers and Taq polymerase. Amplification
 144 was completed for 27 cycles by using a PCR Thermal Cycler and the cycle conditions for
 145 amplification are as shown in Table 2.

146 The RT- PCR products were separated with 1.5% agarose gel electrophoresis and stained with
 147 Novel Juice and visualized under UV light. The density of target bands were measured by
 148 Gel Documentation and System Analysis device. Results are expressed as relative ratios of
 149 band intensity between the mRNA of the individual inflammatory-related gene expression and
 150 β -actin mRNA.

151
 152 **Table 1:** Nucleotide sequences of the primers and expected sizes of PCR products used in
 153 RT-PCR analysis.

| Genes | Primer | Sequences | Expected sizes (bp) | References |
|----------------|-----------------|---|---------------------|------------|
| iNOS | Forward Reverse | AATGGCAACATCAGGTCGCCATCACT GCTGTGTGTCACAGAAGTCTCGAACTC | 454 | Ref. 26 |
| COX-2 | Forward Reverse | GGAGAGACTATCAAGATAGT ATGGTCAGTAGACTTTACA | 861 | Ref. 26 |
| COX-1 | Forward Reverse | AGTGCAGGTCCAACCTTATCC CCGCAGGTGATACTGTCGTT | 382 | Ref. 26 |
| TNF- α | Forward Reverse | ATGAGCACAGAAAGCATGATC TACAGGCTTGTCACTCGAATT | 276 | Ref. 26 |
| IL-1 β | Forward Reverse | CAGGATGAGGACATGAGCACC CTCTGCAGACTCAAACCTCCAC | 447 | Ref. 27 |
| IL-6 | Forward Reverse | CATCCAGTTGCCTTCTGGGA GCATTGGAAATTGGGGTAGGAAG | 463 | Ref. 27 |
| β -actin | Forward Reverse | TCATGAAGTGTGACGTTGACATCCGT CCTAGAACATTGCGGTGCACGATG | 285 | Ref. 26 |

154 **Table 2:** Cycle conditions for amplification of cDNA used in RT-PCR analysis

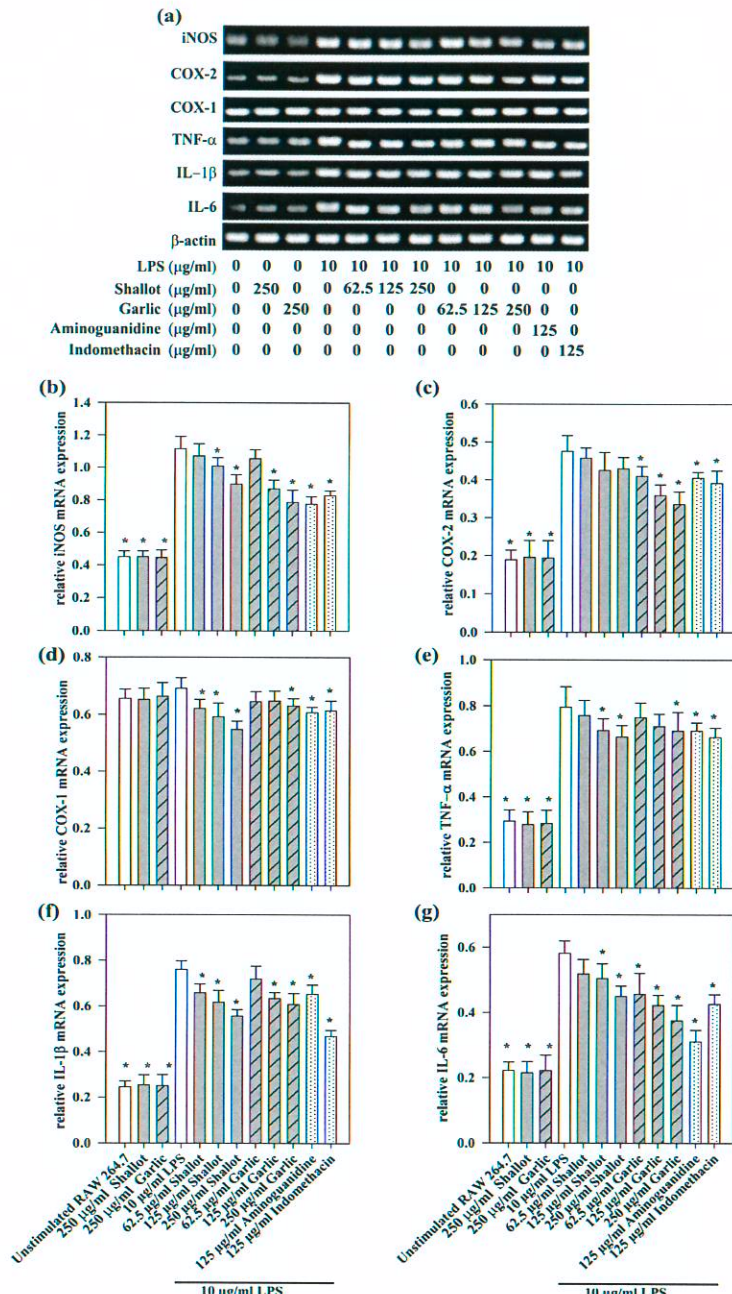
| Genes | Denaturation / RT Inactivation | For Cycles | | | Final Extension | Hold |
|---------|--------------------------------|---------------|--------------|---------------|-----------------|------|
| | | Denaturation | Annealing | Extension | | |
| iNOS | 95°C, 2 min | 95°C, 1 min | 60°C, 1 min | 72°C, 1.5 min | | |
| COX-2 | 95°C, 2 min | 94°C, 1 min | 60°C, 1 min | 72°C, 1 min | | |
| COX-1 | 95°C, 2 min | 94°C, 1 min | 55°C, 1 min | 72°C, 1 min | | |
| TNF-α | 94°C, 2 min | 94°C, 15 sec | 60°C, 1 min | 72°C, 1 min | | |
| IL-1β | 94°C, 2 min | 94 °C, 45 sec | 60°C, 45 sec | 72°C, 1 min | | |
| IL-6 | 94°C, 2 min | 94 °C, 15 sec | 60°C, 1 min | 72°C, 1 min | | |
| β-actin | 95°C, 2 min | 94 °C, 1 min | 60°C, 1 min | 72°C, 1 min | | |

155

156 **Statistical analysis**

157 All data are presented as mean ± standard error of mean (SE) obtained from three independent
 158 experiments. Statistical analysis was performed on SPSS software. One way ANOVA
 159 followed by Least Significant Difference (LSD) *post hoc* testing was used to determine the
 160 statistical significance. *P*-value < 0.05 was considered as statistically significance.

161



162
163

164 **Fig. 1:** Inhibitory effects of shallot and garlic extracts on mRNA expression of iNOS,
165 COX-2, COX-1, TNF- α , IL-1 β , and IL-6 (Fig. 1(a)). The relative mRNA expression of
166 iNOS (Fig. 1(b)), COX-2 (Fig. 1(c)), COX-1 (Fig. 1(d)), TNF- α (Fig. 1(e)), IL-1 β (Fig. 1(f)),
167 and IL-6 (Fig. 1(g)) compared with β -actin mRNA expression. Data are expressed as mean \pm
168 SE from three independent experiments. * P value < 0.05 indicates significant difference from
169 the LPS treatment alone.

170 **RESULTS**

171 **1. Effects of shallot and garlic extracts on cell viability**

172 RAW 264.7 macrophage cell viability in the presence of shallot and garlic extracts were
 173 assessed using a MTT assay. The cell survival values are expressed as a percentage of the
 174 control treated cells. After 24 h incubation, no significant inhibitory effects on cell survival
 175 were observed with shallot or garlic extract at the concentration between 62.5-250 µg/ml.
 176 However, higher doses of shallot and garlic extracts decreased cell survival. Shallot extract
 177 and garlic extract at a concentration of 500 µg/ml significantly decreased cell viability to 86%
 178 and 60%, respectively ($P < 0.05$). Therefore, cells were treated with the concentration of
 179 shallot or garlic extracts ranging from 62.5 to 250 µg/ml in the subsequent experiments.

180

181 **2. Effects of shallot and garlic extracts on LPS-activated RAW 264.7 cells**

182 Stimulation of RAW 264.7 with LPS (10 µg/ml) induced a significant increase in the mRNA
 183 expression of iNOS, COX-2, TNF-α, IL-1β, and IL-6 compared to control cells without LPS
 184 (Fig. 1(a)). Expression of β-actin, the internal control, was not significantly affected by
 185 treatment with LPS, the shallot extract or garlic extract (Fig. 1(a)). To investigate the
 186 inhibitory activity on pro-inflammatory cytokine expression, the LPS only treated group was
 187 used as a control group. Indomethacin 125 µg/kg and aminoguanidine 125 µg/kg, positive
 188 controls, inhibited iNOS, COX-2, COX-1, TNF-α, IL-1β, and IL-6 mRNA expressions.
 189 Shallot extract at concentrations of 125 and 250 µg/ml significantly inhibited mRNA
 190 expression of iNOS, TNF-α, IL-1β, and IL-6 in a concentration-dependent manner (Figs.
 191 1(b), 1(e), 1(f), 1(g), respectively). The expression of COX-2 was not significantly inhibited
 192 by shallot extract (Fig. 1(c)), but this extract inhibited COX-1 expression in a concentration-
 193 dependent manner (62.5, 125, and 250 µg/ml) (Fig. 1(d)).

194 Garlic extract at concentrations of 125 and 250 µg/ml significantly decreased iNOS, COX-2,
 195 IL-1β, and IL-6 mRNA levels in a dose-dependent manner (Figs. 1(b), 1(c), 1(f), 1(g),
 196 respectively). The expression of COX-1 and TNF-α were also significantly inhibited by
 197 garlic extract at a concentration of 250 µg/ml (Figs. 1(d), 1(e), respectively).

198

199 **DISCUSSION**

200 The anti-inflammatory activity of the shallot and garlic ethanolic extracts in LPS-stimulated
 201 RAW 264.7 cells were evaluated. The nontoxic concentrations (62.5, 125, and 250 µg/ml) of
 202 shallot and garlic extracts were used for all experiments. Our data demonstrated the inhibitory
 203 effects of shallot and garlic extracts (125, 250 µg/ml) on iNOS expression in LPS-stimulated
 204 RAW 264.7 cells. There have been reports that diallyl sulfide, diallyl trisulfide, s-allyl
 205 cysteine, and allicin from garlic could inhibit nitric oxide (NO) production through the
 206 suppression of iNOS mRNA and protein expression in LPS-stimulated RAW 264.7 cells^{23, 28-}
 207 ³⁰. iNOS, mainly responsible for the production of large amounts of NO, can elicit cellular
 208 toxicity and tissue damage which contribute to the pathophysiology of a number of disease
 209 states. The iNOS inhibitors have been investigated for the treatment of iNOS-mediated
 210 diseases and conditions including septic shock, arthritis, atherosclerosis, asthma, inflammatory
 211 diseases and carcinogenesis³¹. Based on these findings, shallot and garlic could be possible

212 candidates to be considered in the treatment of various inflammatory diseases by inhibiting
213 iNOS.

214 Cyclooxygenase, which converts arachidonic acid to prostaglandins and other eicosanoids,
215 exists in two isoforms, COX-1 and COX-2. COX-1 is constitutively expressed in many tissues
216 and mainly involved in housekeeping functions such as maintaining gastric mucosal integrity,
217 initiating platelet aggregation, regulating renal blood flow and glomerular filtration. COX-2 is
218 an inducible enzyme primarily expressed by cells that mediate inflammation such as
219 macrophages, monocytes and neutrophils. Inhibition of COX-1 reduces basal production of
220 cytoprotective prostaglandins and causes ulceration, while inhibition of COX-2 inhibits
221 inflammation³². All the classic non-steroidal anti-inflammatory drugs (NSAIDs) inhibit both
222 COX-1 and COX-2 at standard anti-inflammatory doses. The beneficial anti-inflammatory and
223 analgesic effects are based on the inhibition of COX-2. Inhibition of COX-1, linked to the
224 gastrointestinal adverse effects of NSAIDs in the upper gastrointestinal tract include
225 esophagitis, peptic ulcer and its complications, and an increased morbidity and mortality³³.
226 In this study, shallot extract did not significantly inhibit COX-2 mRNA expression while
227 garlic extract did in a concentration-dependent fashion. These results suggest that the anti-
228 inflammatory activities of shallot extract might not directly through inhibiting COX-2
229 activities. The expression of COX-2 is stimulated by growth factors, pro-inflammatory
230 cytokines, tumor promoters, and carcinogens, implying a role for COX-2 in both inflammation
231 and control of cell growth. In addition, PGE₂ is a major COX product at inflammatory sites
232 where it contributes to an increase in local blood flow, edema, and pain sensitization. Thus,
233 the compounds that inhibit the expression of COX-2 might be an important target for anti-
234 inflammation or cancer chemoprevention¹⁶. In the presence of garlic extract, COX-2 mRNA
235 levels declined in a dose-dependent manner. As observed in the present studies, the anti-
236 inflammatory action of garlic extract may involved the inhibitory effect on the synthesis of
237 COX-2 enzyme at the transcription level. The modulatory influence of garlic and the isolated
238 sulfur compounds such as diallyl sulfides, ajoene, thiacremonone on COX-2 activity in cancer
239 cells has been reported³⁴⁻³⁸.

240 In LPS-treated RAW 264.7 cells, shallot extract (62.5, 125, and 250 µg/ml) significantly
241 inhibited COX-1 expression in a concentration-dependent manner, while garlic extract
242 significantly inhibited LPS-induced COX-1 expression at 250 µg/ml, the highest
243 concentration employed in this study. Aspirin and the currently available non-aspirin NSAIDs
244 are nonselective-cyclooxygenase inhibitors, with varying relative potencies which explains
245 their anti-inflammatory effects as well as their most common side effects, including
246 gastrointestinal toxicity, renal dysfunction, and enhanced bleeding tendency³⁹. From the
247 roles of COX-1 and COX-2, it is possible that shallot and garlic extracts at the doses that
248 exhibit anti-inflammatory actions, might concurrently inhibit COX-1 functions and provoke
249 some unwanted adverse effects.

250 Cytokines, regulatory polypeptides that are produced by virtually all cells, are not
251 constitutively produced. However, in the presence of appropriate stimuli, for example LPS
252 from gram negative bacteria, increased gene expression and production of the cytokines will
253 occur, leading to the initiation of an inflammatory response. The major cytokine involved in
254 the initiation of inflammation are TNF-α. This cytokine mediates early-stage responses of

255 inflammation by regulating production of other cytokines, including IL-1 β , and IL-6. It is
 256 believed that TNF- α , IL-1 β , and IL-6 are primary cytokines involved in the progression of
 257 chronic joint inflammation and the concomitant erosive changes in cartilage and bone⁴⁰. In
 258 LPS-stimulated RAW 264.7 cells, the shallot extract effectively down-regulated the
 259 expression of TNF- α , IL-1 β and IL-6 in a concentration-dependent manner, while the garlic
 260 extract suppressed TNF- α expression at a concentration of 250 μ g/ml. The inhibitory effects
 261 on TNF- α , IL-1 β , and IL-6 mRNA by the shallot and garlic extracts suggest that shallot and
 262 garlic extracts should be investigated for their potential beneficial role in treating various
 263 inflammatory diseases.

264 Phytochemical analysis of the polar extracts from bulbs of shallot led to the isolation of two
 265 furostanol saponins, ascalonicoside A1/A2 and ascalonicoside B, respectively. Shallot is rich
 266 in flavone and polyphenolic derivatives such as isoliquiritigenin, quercetin and their
 267 glycosides¹⁸. Phenolic compounds have multiple biological properties and have been used as
 268 nutritional supplements for their anti-inflammatory and anti-oxidant properties. The anti-
 269 inflammatory effects of shallot extract in our study may be related to these components.
 270 However, it is still necessary to conduct detailed phytochemical studies of the ethanolic
 271 extracts of shallot and garlic to determine which active compounds might account for these
 272 effects. These results suggest that shallot and garlic extract have anti-inflammatory effects,
 273 and thus could be used to prevent or treat some inflammatory diseases such as rheumatoid
 274 arthritis.

275 In conclusion, our study has demonstrated that the ethanolic extracts of shallot and garlic are
 276 able to inhibit mRNA expression of pro-inflammatory cytokines including iNOS, TNF- α ,
 277 IL-1 β and IL-6 in the LPS-stimulated RAW 264.7 cells. The garlic extract also caused a
 278 reduction in LPS-induced COX-2 mRNA expression while the shallot extract was without
 279 effect on COX-2. Thus, the extracts of shallot and garlic may provide a beneficial effect for
 280 inflammatory-mediated diseases. In our study, the shallot extract at the lowest concentration
 281 also suppressed production of COX-1 mRNA expression which may be cause for concern
 282 regarding gastrointestinal bleeding, renal dysfunction and increase bleeding tendency. Further
 283 investigations are required to determine the active compounds responsible for the potent anti-
 284 inflammatory activity of the ethanolic extracts of shallot and garlic.

285
 286 *Acknowledgements:* This study was financially supported by National Research Council of
 287 Thailand (NRCT) and National Research Council of Thailand-Japan Society for the
 288 Promotion of Science (NRCT-JSPS) Joint Research Program.

289

290 REFERENCES

- 291 1. Calixto JB, Campos MM, Otuki MF, Santos AR (2004) Anti-inflammatory compounds of
 292 plant origin. Part II. modulation of pro-inflammatory cytokines, chemokines and adhesion
 293 molecules. *Planta Med* **70**, 93-103.
- 294 2. Yin MC, Tsao SM (1999) Inhibitory effect of seven Allium plants upon three Aspergillus
 295 species. *Int J Food Microbiol* **49**, 49-56.

- 296 3. Wang HX, Ng TB (2002) Ascalin, a new anti-fungal peptide with human
297 immunodeficiency virus type 1 reverse transcriptase-inhibiting activity from shallot
298 bulbs. *Peptides* **23**, 1025-1029.
- 299 4. Amin M, Kapadnis BP (2005) Heat stable antimicrobial activity of *Allium ascalonicum*
300 against bacteria and fungi. *Indian J Exp Biol* **43**, 751-754.
- 301 5. Leelarungrayub N, Rattanapanone V, Chanarat N, Gebicki JM (2006) Quantitative
302 evaluation of the antioxidant properties of garlic and shallot preparations. *Nutrition* **22**,
303 266-274.
- 304 6. Jalal R, Bagheri SM, Moghimi A, Rasuli MB (2007) Hypoglycemic effect of aqueous
305 shallot and garlic extracts in rats with fructose-induced insulin resistance. *J Clin Biochem*
306 *Nutr* **41**, 218-223.
- 307 7. Wongmekiat O, Leelarugrayub N, Thamprasert K (2008) Beneficial effect of shallot
308 (*Allium ascalonicum* L.) extract on cyclosporine nephrotoxicity in rats. *Food Chem*
309 *Toxicol* **46**, 1844-1850.
- 310 8. Seyfi P, Mostafaie A, Mansouri K, Arshadi D, Mohammadi-Motlagh HR, Kiani A (2010)
311 In vitro and in vivo anti-angiogenesis effect of shallot (*Allium ascalonicum*): a heat-stable
312 and flavonoid-rich fraction of shallot extract potently inhibits angiogenesis. *Toxicol In*
313 *Vitro* **24**, 1655-1661.
- 314 9. Mohammadi-Motlagh HR, Mostafaie A, Mansouri K (2011) Anticancer and anti-
315 inflammatory activities of shallot (*Allium ascalonicum*) extract. *Arch Med Sci* **7**, 38-44.
- 316 10. Kendler BS (1987) Garlic (*Allium sativum*) and onion (*Allium cepa*): a review of their
317 relationship to cardiovascular disease. *Prev Med* **16**, 670-685.
- 318 11. Lee YL, Cesario T, Wang Y, Shanbrom E, Thrupp L (2003) Antibacterial activity of
319 vegetables and juices. *Nutrition* **19**, 994-996.
- 320 12. Shobana S, Naidu KA (2000) Antioxidant activity of selected Indian spices.
321 *Prostaglandins Leukot Essent Fatty Acids* **62**, 107-110.
- 322 13. Eidi A, Eidi M, Esmaeili E (2006) Antidiabetic effect of garlic (*Allium sativum* L.) in
323 normal and streptozotocin-induced diabetic rats. *Phytomedicine* **13**, 624-629.
- 324 14. Thomson M, Ali M (2003) Garlic [*Allium sativum*]: a review of its potential use as an
325 anti-cancer agent. *Curr Cancer Drug Targets* **3**, 67-81.
- 326 15. Tsubura A, Lai YC, Kuwata M, Uehara N, Yoshizawa K (2011) Anticancer effects of
327 garlic and garlic-derived compounds for breast cancer control. *Anticancer Agents Med*
328 *Chem* **11**, 249-253.
- 329 16. Dirsch VM, Vollmar AM (2001) Ajoene, a natural product with non-steroidal anti-
330 inflammatory drug (NSAID)-like properties? *Biochem Pharmacol* **61**, 587-593.
- 331 17. Park HJ, Jeon BT, Kim HC, Roh GS, Shin JH, Sung NJ, Han J, Kang D (2012) Aged red
332 garlic extract reduces lipopolysaccharide-induced nitric oxide production in RAW 264.7
333 macrophages and acute pulmonary inflammation through haeme oxygenase-1 induction.
334 *Acta Physiol (Oxf)* **205**, 61-70.
- 335 18. Fattorusso E, Iorizzi M, Lanzotti V, Taglialatela-Scafati O (2002) Chemical composition
336 of shallot (*Allium ascalonicum* Hort.). *J Agric Food Chem* **50**, 5686-5690.
- 337 19. Owoyele BV, Abioye AIR, Afinowi NO, Jimoh SA, Soladoye AO (2006) Analgesic and
338 anti-inflammatory effects of *Allium ascalonicum*. *Trop J Health Sci* **13**, 28-32.

- 339 20. Kunnumakkara AB, et al (2009) Traditional uses of spices: an overview. In: Aggarwal
340 BB and Kunnumakkara AB (ed) *Molecular targets and therapeutic uses of spices-modern uses of ancient medicine*, World Scientific Publishing Co. Pte. Ltd, Singapore, pp
341 1-24.
342
- 343 21. Keiss HP, Dirsch VM, Hartung T, Haffner T, Trueman L, Auger J, Kahane R, Vollmar
344 AM (2003) Garlic (*Allium sativum* L.) modulates cytokine expression in
345 lipopolysaccharide-activated human blood thereby inhibiting NF-kappaB activity. *J Nutr*
346 **133**, 2171-2175.
- 347 22. Lee EN, et al (2011) Chloroform extract of aged black garlic attenuates TNF-alpha-
348 induced ROS generation, VCAM-1 expression, NF-kappaB activation and adhesiveness
349 for monocytes in human umbilical vein endothelial cells. *Phytother Res* **25**, 92-100.
- 350 23. Shin JH, Ryu JH, Kang MJ, Hwang CR, Han J, Kang D (2013) Short-term heating
351 reduces the anti-inflammatory effects of fresh raw garlic extracts on the LPS-induced
352 production of NO and pro-inflammatory cytokines by downregulating allicin activity in
353 RAW 264.7 macrophages. *Food Chem Toxicol* **58**, 545-551.
- 354 24. Leelarungrayub N, Rattanapanone V, Srichairatanakool S, Channarat , Gebicki JM (2004)
355 Anti-oxidative stress and anti-inflammatory effects of Thai shallot (*Allium ascalonicum*
356 L.) extracts in human monocytic (U937) cells. *Niigata J Health Welfare* **4**, 11-21.
- 357 25. Mosmann T (1983) Rapid colorimetric assay for cellular growth and survival: application
358 to proliferation and cytotoxicity assays. *J Immunol Methods* **65**, 55-63.
- 359 26. Won JH, Im HT, Kim YH, Yun KJ, Park HJ, Choi JW, Lee KT (2006) Anti-inflammatory
360 effect of buddlejasaponin IV through the inhibition of iNOS and COX-2 expression in
361 RAW 264.7 macrophages via the NF-kappaB inactivation. *Br J Pharmacol* **148**, 216-225.
- 362 27. Sugawara I, Yamada H, Mizuno S (2003) Relative importance of STAT4 in murine
363 tuberculosis. *J Med Microbiol* **52**, 29-34.
- 364 28. Chang HP, Huang SY, Chen YH (2005) Modulation of cytokine secretion by garlic oil
365 derivatives is associated with suppressed nitric oxide production in stimulated
366 acrophages. *J Agric Food Chem* **53**, 2530-2534.
- 367 29. Liu KL, Chen HW, Wang RY, Lei YP, Sheen LY, Lii CK (2006) DATS reduces LPS-
368 induced iNOS expression, NO production, oxidative stress, and NF-kappaB activation in
369 RAW 264.7 macrophages. *J Agric Food Chem* **54**, 3472-3478.
- 370 30. Kim KM, et al (2001) Differential regulation of NO availability from macrophages and
371 endothelial cells by the garlic component S-allyl cysteine. *Free Radic Biol Med* **30**, 747-
372 756.
- 373 31. Zamora R, Vodovotz Y, Billiar TR (2000) Inducible nitric oxide synthase and
374 inflammatory diseases. *Mol Med* **6**, 347-373.
- 375 32. de Leval X, Delarge J, Somers F, de Tullio P, Henrotin Y, Pirotte B, Dogne JM (2000)
376 Recent advances in inducible cyclooxygenase (COX-2) inhibition. *Curr Med Chem* **7**,
377 1041-1062.
- 378 33. Lanas A, Sopena F (2009) Nonsteroidal anti-inflammatory drugs and lower
379 gastrointestinal complications. *Gastroenterol Clin North Am* **38**, 333-352.

- 380 34. Sengupta A, Ghosh S, Das S (2004) Modulatory influence of garlic and tomato on
381 cyclooxygenase-2 activity, cell proliferation and apoptosis during azoxymethane induced
382 colon carcinogenesis in rat. *Cancer Lett* **208**, 127-136.
- 383 35. Elango EM, Asita H, Nidhi G, Seema P, Banerji A, Kuriakose MA (2004) Inhibition of
384 cyclooxygenase-2 by diallyl sulfides (DAS) in HEK 293T cells. *J Appl Genet* **45**, 469-
385 471.
- 386 36. Ban JO, et al (2007) Inhibition of cell growth and induction of apoptosis via inactivation
387 of NF-kappaB by a sulfurcompound isolated from garlic in human colon cancer cells. *J
388 Pharmacol Sci* **104**, 374-383.
- 389 37. Raman P, Dewitt DL, Nair MG (2008) Lipid peroxidation and cyclooxygenase enzyme
390 inhibitory activities of acidic aqueous extracts of some dietary supplements. *Phytother
391 Res* **22**, 204-212.
- 392 38. Lee da Y, Li H, Lim HJ, Lee HJ, Jeon R, Ryu JH (2012) Anti-inflammatory activity of
393 sulfur-containing compounds from garlic. *J Med Food* **15**, 992-999.
- 394 39. Schafer AI (1999) Effects of nonsteroidal anti-inflammatory therapy on platelets. *Am J
395 Med* **106**, 25S-36S.
- 396 40. Zhao R, Zhou H, Su SB (2013) A critical role for interleukin-1beta in the progression of
397 autoimmune diseases. *Int Immunopharmacol* **17**, 658-669.

399 FIGURE LEGENDS

400 **Fig. 1:** Inhibitory effects of shallot and garlic extracts on mRNA expression of iNOS,
401 COX-2, COX-1, TNF- α , IL-1 β , and IL-6 (Fig. 1(a)). The relative mRNA expression of
402 iNOS (Fig. 1(b)), COX-2 (Fig. 1(c)), COX-1 (Fig. 1(d)), TNF- α (Fig. 1(e)), IL-1 β (Fig. 1(f)),
403 and IL-6 (Fig. 1(g)) compared with β -actin mRNA expression. Data are expressed as mean \pm
404 SE from three independent experiments. **P value* < 0.05 indicates significant difference from
405 the LPS treatment alone.

406

407

408

409

410

411

412

413

ประวัตินักวิจัย

1. ชื่อ นางสาวนุตติยา นามสกุล วีระวัฒนชัย
Miss Nuttiya Werawattanachai
2. ตำแหน่งปัจจุบัน อาจารย์ระดับ 7
3. หน่วยงานที่อยู่ที่ติดต่อได้พร้อมโทรศัพท์ โทรสารและไปรษณีย์อิเล็กทรอนิกส์ (e-mail)
 คณะเภสัชศาสตร์ มหาวิทยาลัยอุบลราชธานี อำเภอวารินชำราบ
 จังหวัดอุบลราชธานี 34190
 โทรศัพท์ 045-353600, 353630
 โทรสาร 045-288384
 E-mail address: phnuttwe@mail2.ubu.ac.th, nuttiya_w@yahoo.com

4. ประวัติการศึกษา

| ปีที่จบการศึกษา | ระดับปริญญา | อักษรย่อ | สาขาวิชา | สถาบันการศึกษา | ประเทศ |
|-----------------|-------------|----------|-------------------|-----------------------|--------|
| ปริญญา | | | | | |
| 2550 | เอก | วท.ด. | เภสัชศาสตร์ชีวภาพ | จุฬาลงกรณ์มหาวิทยาลัย | ไทย |
| 2538 | โท | ก.ม. | เภสัชวิทยา | จุฬาลงกรณ์มหาวิทยาลัย | ไทย |
| 2535 | ตรี | พย.บ. | พยาบาลศาสตร์ | มหาวิทยาลัยมหิดล | ไทย |

5. สาขาวิชาที่มีความชำนาญเป็นพิเศษ (แต่ก็ต่างวุฒิการศึกษา)

ประสาทเภสัชวิทยา (Neuropharmacology)

6. ประสบการณ์ที่เกี่ยวข้องกับการบริหารงานวิจัยทั้งภายในและภายนอกประเทศ โดยระบุสถานภาพในการทำวิจัยว่าเป็นผู้อำนวยการแผนงานวิจัย หัวหน้าโครงการวิจัย หรือผู้ร่วมวิจัยในแต่ละหัวข้อเสนอการวิจัย

6.1 ผู้อำนวยการแผนงานวิจัย: -

6.2 หัวหน้าโครงการวิจัย

6.2.1 The screening of free radical scavenging, antioxidative and tyrosinase inhibitory activities of Ubonratchathani medicinal plants

6.2.2 การสกัดแยกและศึกษาสูตรโครงสร้างทางเคมีของสาร flavonoids ในสมุนไพรพื้นบ้านจังหวัดอุบลราชธานี วงศ์ Leguminosae

6.2.3 การจำแนกชนิด การสกัด แยกสารบริสุทธิ์และศึกษาโครงสร้างเคมีของสารที่มีฤทธิ์ทางชีวภาพจากเหง้าของพืชสมุนไพร *Curcuma cf. comosa Roxb.*

7.3 งานวิจัยที่ทำเสร็จแล้ว : ชื่อผลงานวิจัย ปีที่พิมพ์ การเผยแพร่ และแหล่งทุน

6.3.1 Bhatarabenjapol, S., Werawattanachai, N., and Suttipanta, N. (2004) Knowledge of drug utilization of people using services in drug-stores of Ubon Rajathanee province. *Journal of Ubon Rajathanee University*. Vol.1. 47-60.
แหล่งทุน: งบประมาณแผ่นดิน

6.3.2 Suttipanta, N., Prasitpuripreecha, C., Werawattanachai, N., and Intaranongpai, J. (2004) The uses of Medicinal Plants in Ubon Rajathanee. *Journal of Ubon Rajathanee University*. Vol.2. 117-138.

แหล่งทุน: งบประมาณแผ่นดิน

6.3.3 Werawattanachai N., Towiwat P., Unchern S., and Maher TJ. Neuropharmacological profile of tetrahydrofuran in mice. *Life Sciences*. 80(18) 2007: 1656-1663.

6.3.4 Werawattanachai, N, Kaewaamatawong, R. 2010. Chemical constituents from *Parinari anamense*. *Biochemical Systematics and Ecology*,
แหล่งทุน: สำนักงานกองทุนสนับสนุนงานวิจัย

6.3.5 นุตติยา วีระวันชัย และ ระวิวรรณ แก้วอมตวงศ์. ฤทธิ์ต้านอนุมูลอิสระและฤทธิ์ยับยั้งไทโรซีนของพลาโนนอยด์จากกระดังงาจีน (Free Radical Scavenging and Tyrosinase Inhibitory activities of flavonoids from *Artobotrys hexapetalus*). วารสาร

วิทยาศาสตร์และเทคโนโลยี มหาวิทยาลัยอุบลราชธานี ปีที่ 14 ฉบับที่ 1 มกราคม – มีนาคม 2555.

แหล่งทุน: งบประมาณแผ่นดิน

ประวัติผู้ร่วมโครงการวิจัย

1. ชื่อ นางสาวระวิวรรณ

นามสกุล แก้วอมตะวงศ์

Miss Rawiwun

Kaewamatawong

2. ตำแหน่งปัจจุบัน รองศาสตราจารย์

3. หน่วยงานที่อยู่ที่ติดต่อได้พร้อมโทรศัพท์ โทรสารและไปรษณีย์อิเล็กทรอนิกส์ (e-mail)

คณะเภสัชศาสตร์ มหาวิทยาลัยอุบลราชธานี อำเภอวารินชำราบ

จังหวัดอุบลราชธานี 34190

โทรศัพท์ 045-353600, 353670

โทรสาร 045-288384

E-mail address: rawiwun@yahoo.com

4. ประวัติการศึกษา

| ปีที่จบการศึกษา | ระดับปริญญา | อักษรย่อ | สาขาวิชา | สถาบันการศึกษา | ประเทศ |
|-----------------|-------------|----------|-----------------------------------|---------------------------|--------|
| ปริญญา | | | | | |
| 2546 | เอก | วท.ด. | เภสัชเคมีและ ผลิตภัณฑ์ธรรมชาติ | จุฬาลงกรณ์ มหาวิทยาลัย | ไทย |
| 2540 | โท | ภ.ม. | เภสัชเวท | จุฬาลงกรณ์ มหาวิทยาลัย | ไทย |
| 2537 | ตรี | ภ.บ. | เภสัชศาสตร์ | มหาวิทยาลัยรังสิต | ไทย |

5. สาขาวิชาที่มีความชำนาญเป็นพิเศษ (แตกต่างจากผู้สอน)

Taxonomy of Thai medicinal plants

6. ประสบการณ์ที่เกี่ยวข้องกับการบริหารงานวิจัยทั้งภายในและภายนอกประเทศ โดยระบุสถานภาพในการทำวิจัยว่าเป็นผู้อำนวยการแผนงานวิจัย หัวหน้าโครงการวิจัย หรือผู้ร่วมวิจัยในแต่ละหัวข้อเสนอการวิจัย

6.1 ผู้อำนวยการแผนงานวิจัย: -

6.2 หัวหน้าโครงการวิจัย

6.2.1 The screening of free radical scavenging, antioxidative and tyrosinase inhibitory activities of Ubonratchathani medicinal plants

6.2.2 การสกัดแยกและศึกษาสูตรโครงสร้างทางเคมีของสาร flavonoids ในสมุนไพรพื้นบ้านจังหวัดอุบลราชธานี วงศ์ Leguminosae

6.2.3 การจำแนกชนิด การสกัด แยกสารบริสุทธิ์และศึกษาโครงสร้างเคมีของสารที่มีฤทธิ์ทางชีวภาพจากเหง้าของพืชสมุนไพร *Curcuma cf. comosa Roxb.*

6.3 งานวิจัยที่ทำเสร็จแล้ว : ข้อผลงานวิจัย ปีที่พิมพ์ การเผยแพร่ และแหล่งทุน

6.3.1 Likhitwidayawuid, K., Kaewamatawong, R., Ruangrunsi. 2005. Mono- and biflavonoids from *Ochna integerrima*. Biochemical Systematics and Ecology, 33: 527-536.

แหล่งทุน: สำนักงานกองทุนสนับสนุนงานวิจัย

6.3.2 ระวีวรรณ แก้วอมดวงค์และทรงพร จังมั่นคง. 2549. ฤทธิ์ต้านอนุมูลอิสระDPPHและปริมาณสารฟินอลรวมของสารสกัดพืชสมุนไพรไทยบางชนิด. วารสารวิชาการม.อบ., 8: 76-88.

แหล่งทุน: เงินรายได้มหาวิทยาลัยอุบลราชธานี

6.3.3 Kaewamatawong, R., Likhitwidayawuid, K., Ruangrunsi, N. 2007. Chemical constituents of *Polyalthia parviflora*. Journal of Natural Medicines., 61: 349-350.

แหล่งทุน: กระทรวงศึกษาธิการ

6.3.4 Kaewamatawong, R., Kitajima, M., Kogure, N., Takayama, H. 2008. Flavonols from *Bauhinia malabarica*. Journal of Natural Medicines. 62: 364-365.

แหล่งทุน: งบประมาณแผ่นดิน

6.3.5 Kaewamatawong, R., Boonchoog, P., Theerawatanasuk, N. 2009.

Diarylheptanoids from *Curcuma comosa*. *Phytochemistry Letters*. 2: 19-21.

แหล่งทุน: งบประมาณแผ่นดิน

6.3.6 Werawatanachai, N, Kaewamatawong, R. 2010. Chemical constituents from

Parinari amanense. *Biochemical Systematics and Ecology*,

แหล่งทุน: สำนักงานกองทุนสนับสนุนงานวิจัย

6.3.7 นุตติยา วีระวันชัย และ ระวีวรรณ แก้วอมวงศ์. ฤทธิ์ต้านอนุมูลอิสระและฤทธิ์ยับยั้ง

ไฮโรซีนของฟลาโวนอยด์จากกระดังงาจีน (Free Radical Scavenging and Tyrosinase

Inhibitory activities of flavonoids from *Artobotrys hexapetalus*). วารสาร

วิทยาศาสตร์และเทคโนโลยี มหาวิทยาลัยอุบลราชธานี. ปีที่ 14 ฉบับที่ 1 มกราคม – มีนาคม 2555.

แหล่งทุน: งบประมาณแผ่นดิน